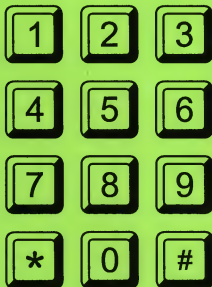


СПРАВОЧНИК

ПО УСТРОЙСТВУ И РЕМОНТУ ТЕЛЕФОННЫХ АППАРАТОВ ЗАРУБЕЖНОГО И ОТЕЧЕСТВЕННОГО ПРОИЗВОДСТВА

CIC9102E
CIC9104E
CIC9145E
CIC9192BE
ET40982
ET40992
FT58C51
HD970040D
HD970019-L
HM9100A1
HM9100B
HM9102
HM9110D
HM9112A
HM9113A
HM9121
HM91650B
HM9187
HT9102F
HT9115B
KS5804
KS5805A
KS5805B
KS58C05
KS58006
KS58C20N
KS5851
KS5853
LC7350
LC7360
LR40981A
LR40992
LR40993
M2561AB

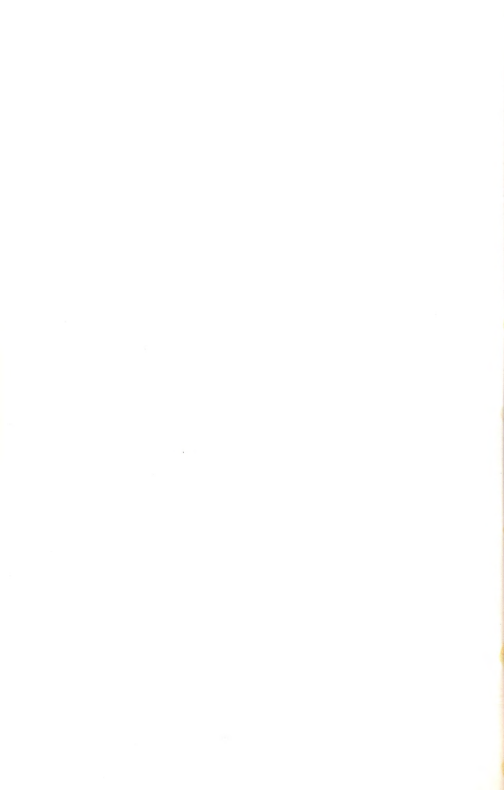
MC145412P
MK5092N
MK50981
MK50992N
MK50993
MK5173AN
S2560A
S25610
S7210A
STC2560C
T40992
T40993
TC31006P
TR50981AN
UM91210C
UM91260C
UM9151
UM9151-3
UM91610A
UM91611
VT91611
VT9145
W9145
WE9102
WE9104
WE9110
WE9192B
KP1002XJ2
KP1008BЖ1
KP1008BЖ2
KP1008BЖ3
KP1008BЖ4
KP1008BЖ5
KP1008BЖ6



KP1008BЖ7
KP1008BЖ10
KP1008BЖ11
KC1008BЖ12
KP1008BЖ14
KP1008BЖ15
KP1008BЖ16
KP1008BЖ17

KP1064BЖ5
KP1064BЖ7
KP1083BЖ1
KP1089BЖ1
KP1089BЖ2
KP1091BЖ1
KP1091BЖ2
K145ИК8П

KP1014КТ1А
KP1026УН1
KP1038ХП1
KP1064УН1
KP1064ПП1
ЭКР1436УН1
ЭКР1436ХА1
ЭКР1436ХА2



А. И. КИЗЛЮК

СПРАВОЧНИК

**ПО УСТРОЙСТВУ И РЕМОНТУ
ТЕЛЕФОННЫХ АППАРАТОВ
ЗАРУБЕЖНОГО И ОТЕЧЕСТВЕННОГО
ПРОИЗВОДСТВА**

**МОСКВА
БИБЛИОН**

1995

Все авторские права защищены. Ни одна часть настоящей публикации не может быть воспроизведена или передана в любой форме или любыми средствами, включая фотокопирование и магнитную запись, без письменного разрешения владельца авторского права. Заявку на получение такого разрешения необходимо направлять по адресу: 123481, Москва, а/я 9, Кизлюку А. И.

ДАМЫ И ГОСПОДА!

Фирма "Библион" предлагает:

- описание игровых программ для IBM AT/XT и совместимых с ними компьютеров (семь выпусков);
- справочник по устройству и ремонту телефонных аппаратов зарубежного и отечественного производства.

Готовятся очередные выпуски компьютерных игр IBM, а также другая литература по аппаратному и программному обеспечению.

Эти книги Вы можете получить наложенным платежом, отправив заказ по адресу: 125319, г. Москва, а/я 46.

Фирма приобретёт описания игровых программ для IBM.

Фирма производит обмен оптовыми партиями книг.

Наши книги можно приобрести в следующих магазинах:

г. Москва

- | | |
|----------------------------|---------------------------|
| "Московский Дом Книги" | - ул. Новый Арбат, 8 |
| "БиблиоГлобус" | - ул. Мясницкая, 6 |
| "Дом технической книги" | - Ленинский проспект, 40 |
| "Дом книги в Сокольниках" | - ул. Русаковская, 27 |
| "Скит-М" | - ул. Щербаковская, 40/42 |
| "Компьютерный супермаркет" | - ул. Нижегородская, 29 |

г. Санкт-Петербург

- | | |
|------------------------------|----------------------------|
| "Энергия" | - Московский проспект, 189 |
| "Шанс на Садовой" | - ул. Садовая, 40 |
| "С.-Петербургский Дом Книги" | - Невский проспект, 28 |
| "Техническая книга" | - ул. Пушкинская, 2 |

Телефон для оптовых заказов: (095) 190-97-68
(095) 475-49-17

ОГЛАВЛЕНИЕ

Введение	5
Сокращения, принятые в справочнике.	5
1. Основные понятия о работе телефонных станций и абонентских устройств.....	6
1.1. Коротко об отечественных телефонных сетях	6
1.2. Спаренное включение телефонных аппаратов	11
1.3. Технические характеристики и принцип работы аппаратуры АОН.....	13
1.4. Классификация телефонных аппаратов	16
1.5. Принципы построения кнопочных телефонных аппаратов	18
1.6. Структурные схемы кнопочных телефонных аппаратов	19
2. Разнообразия и характеристики отечественных и зарубежных ИС ЭНН.....	23
2.1. Разнообразия микросхем ЭНН	23
2.2. Принцип работы микросхем ЭНН	25
2.3. ИС ЭНН К145ИК8П.....	31
2.4. ИС ЭНН КР1008ВЗК2.....	33
2.5. Характеристики микросхем электронного набора номера	37
2.6. Назначение выводов микросхем номеронабирателей	43
2.7. Назначение кнопок клавиатуры в ТА с дополнительными функциональными возможностями.....	44
2.8. Порядок программирования ИС ЭНН с дополнительной памятью на 10 номеров	45
2.9. Порядок программирования ИС ЭНН с дополнительной памятью более 10 номеров.....	45
2.10. Порядок работы с памятью отечественной ИС КР1008ВЗК5.....	45
3. Разнообразия и особенности схем узлов ТА	54
3.1. Вызывное устройство (ВУ).....	54
3.2. Схема "отбой"	64
3.3. Схема питания ИС номеронабирателя.....	65
3.4. Элементы коммутации	68
3.5. Разговорный узел	71
3.6. Разговорный узел ТА с "громкой связью".....	80
3.7. Микрофонный усилитель на ИС КР1026УН1	87
3.8. Микрофоны.....	89
4. Электрические принципиальные схемы телефонных аппаратов	93
VEF TA-D.....	93
VEF TA-12.....	95

VEF TA-32.....	98
VEF Rita-201, Gunta-202, Inta-203	99
ТЕЛТА-201, ТЕЛТА-204	104
Телефонный аппарат с дополнительной памятью	104
Электрические принципиальные схемы зарубежных ТА.....	104
5. Блокиратор параллельного телефона	122
6. Ремонт телефонных аппаратов	126
6.1. Поиск неисправностей и их устранение	126
6.2. Замена микросхемы номеронабирателя.....	130
7. Защита и доработка ТА	139
7.1. Защита микросхемы номеронабирателя	139
7.2. Защита импульсного ключа ТА	140
7.3. Доработка разговорного узла	141
7.4. Замена дискового номеронабирателя на кнопочный.....	143
7.5. Устройства для проверки микросхем и транзисторов, применяемых в телефонных аппаратах	146
8. Справочный материал.....	149
8.1. Кодовая и цветовая маркировка резисторов	149
8.2. Кодовая и цветовая маркировка конденсаторов	150
8.3. Цветовая маркировка и параметры диодов и стабилитронов	153
8.4. Параметры светодиодов.....	162
8.5. Цветовая и кодовая маркировка транзисторов	163
8.6. Обозначение зарубежных радиоэлементов	165
8.7. Параметры транзисторов	167
8.8. Замена зарубежных радиоэлементов	187
Литература	191

ВВЕДЕНИЕ

В настоящее время весьма популярными стали телефонные аппараты (ТА) с *тастатурным* (кнопочным) набором номера как отечественного, так и зарубежного производства. Большое количество таких аппаратов из стран Юго - Восточной Азии продаётся сейчас по доступным ценам. Но, к сожалению, оборудование отечественных телефонных станций и сетей по своим параметрам не соответствует требованиям мировых стандартов и многих стран - производителей, а также схемотехника большинства зарубежных ТА функционально отличается от принятой в нашей стране. Это различие приводит к некачественной работе телефонных аппаратов, а нередко, и к выходу их из строя. Вместе с тем, ни объём литературы, выпускаемой до настоящего времени по данной тематике, ни полноту содержащихся в ней сведений нельзя признать удовлетворительной.

Работая над справочником, автор стремился восполнить этот пробел, особенно в части ТА зарубежного производства. Была поставлена цель провести анализ большинства схем ТА, находящихся в настоящее время в эксплуатации, обобщить и систематизировать имеющийся материал, что помогло бы обеспечить грамотное применение ТА и их ремонт. Как это удалось - судить читателю.

В справочнике приведены также данные по ряду импортных и отечественных микросхем и транзисторов, применяемых в ТА, рассмотрена возможная их взаимозаменяемость. Приведён различный справочный материал по цветовой и кодовой маркировке компонентов радиоэлектронной аппаратуры, их параметры, а также большое количество принципиальных схем телефонных аппаратов (в том числе телефонов - трубок) зарубежного и отечественного производства.

Рассмотрены вопросы ремонта и модернизации ТА, а также оригинальные способы защиты их от выхода из строя.

В справочнике уделено внимание построению ТА с частотным набором, рассмотрены принцип работы аппаратуры АОН и спаренного включения ТА.

Автор надеется, что справочник будет весьма полезен как радиолюбителям, так и ремонтным организациям.

Автор признателен Зензееву М. А. (почётный радист СССР) и Хромову В. С. за ценные замечания, сделанные ими при подготовке данного издания.

Автор будет признателен читателям, сообщившим свои критические замечания и предложения, которые будут обязательно учтены в следующих изданиях справочника. Приславшие наиболее интересные материалы (схемы отечественных и зарубежных телефонных аппаратов, техническую документацию на микросхемы для телефонов, паспортные данные микрофонов и т. п.) получат бесплатно следующее издание справочника.

Отзывы и предложения направляйте по адресу:
123481 г. Москва. А/Я - 9. Кизляку Анатолию.

СОКРАЩЕНИЯ, ПРИНЯТЫЕ В СПРАВОЧНИКЕ

АОН	- автоматический определитель номера;
АЛ	- абонентская линия;
АМТС	- автоматическая междугородная телефонная станция;
АРУ	- автоматическая регулировка усиления;
АТС	- автоматическая телефонная станция координатная;
АТСКЭ	- автоматическая телефонная станция квази - электронная;
АУ	- абонентское устройство;
ВУ	- вызывное устройство;
ИК	- импульсный ключ;
ИС	- интегральная схема;
ИН	- номеронабиратель;
ОЗУ	- оперативное запоминающее устройство;
ОУ	- операционный усилитель;
РК	- разговорный ключ;
ТА	- телефонный аппарат;
УНЧ	- усилитель низкой частоты;
ЭАТС	- электронная автоматическая телефонная станция;
ЭИН	- электронный номеронабиратель.

1. ОСНОВНЫЕ ПОНЯТИЯ О РАБОТЕ ТЕЛЕФОННЫХ СТАНЦИЙ И АБОНЕНТСКИХ УСТРОЙСТВ

1.1. КОРОТКО ОБ ОТЕЧЕСТВЕННЫХ ТЕЛЕФОННЫХ СЕТЯХ

В первой главе попробуем кратко разобраться, что же такое телефонная связь и какой принцип положен в основу коммутации телефонных сетей, а также в чем заключается основное отличие отечественных телефонных аппаратов от зарубежных и каковы величины основных параметров ТА.

С 1876 года, когда Белл изобрел первый двухпроводной телефон, принцип телефонной связи практически не изменился и заключается в следующем.

Микрофон преобразует звуковые колебания в переменный ток. Этот ток передается по проводам к телефону, преобразующему его в звуковые колебания. Для обеспечения работы микрофона необходим источник питания, который и включается в цепь микрофона. Такое включение источника питания получило название "местной батареи". Для развязки цепей микрофона и телефона по постоянному току и согласования их сопротивлений необходим трансформатор. Простейшая схема ТА с местной батареей питания приведена на рис. 1.1.

В настоящее время телефонные сети применяются только с центральной батареей питания микрофонных цепей ТА. Простейшая схема ТА с центральной батареей питания приведена на рис. 1.2.

Ток питания каждого микрофона проходит через дроссели L_1 и L_2 , общие для цепей питания обоих микрофонов. Дроссели необходимы для того, чтобы не происходило замыкания переменного (разговорного) тока через центральную батарею GB , внутреннее сопротивление которой очень мало и составляет тысячные доли ома.

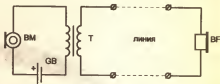


Рис. 1.1. Принцип односторонней телефонной передачи.

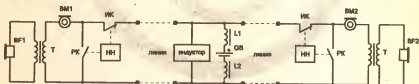


Рис. 1.2. Схема телефонной передачи с центральной батареей питания.

Дроссели L_1 и L_2 , имея относительно небольшое сопротивление постоянному току (не более 750 Ом), обладают большой индуктивностью и их полное сопротивление переменному (разговорному) току настолько велико, что он не отвечает в ЦБ и практически полностью замыкается через аппарат второго абонента.

На АТС в качестве дросселей часто используются двухобмоточные реле, служащие одновременно для получения сигнала о вызове станции абонентом и сигнала окончания разговора (отбой).

Коммутация абонентов первоначально выполнялась на телефонных станциях вручную, но со временем начали применять автоматическое соединение абонентов с использованием шаговых искателей (АТС-54), координатных соединителей (АТСК), а позднее - квазиэлектронными (АТСКЭ) и электронными

(ЗАТС) схемами коммутации АТС.

Элементами автоматизации являются шаговые искатели, электромагнитные реле, многократные координатные соединители и электронные многоканальные коммутаторы с программным управлением, которые осуществляют соединение между линиями абонентов АТС. Схемы коммутации АТС управляются импульсами постоянного тока, которые создаются номеронабирателем ТА при наборе абонентом цифр номера вызываемого абонента, или двухчастотным кодом (в ЗАТС).

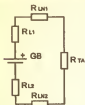


Рис. 1.3.
Распределение
нагрузок в АТС.

АТС осуществляет питание линии абонента постоянным напряжением 60 В (за рубежом 48 В). При снятой телефонной трубке к линии АТС в качестве нагрузки подключается микрофонная пара трубки, в результате чего напряжение на линейных зажимах ТА падает до величины $5 + 15$ В в зависимости от класса ТА. Это происходит вследствие образования делителя напряжения, который состоит из сопротивления ТА - $R_{ТА}$ и сопротивлений АТС - $R_{АТС}$ и линии ($R_{ЛН1}$ и $R_{ЛН2}$). $R_{АТС}$ включает в себя сопротивление обмоток реле $RL1$ и $RL2$ (рис. 1.3). Сопротивление линии в большинстве случаев невелико, но иногда, при длинной линии, может достигать 1000 Ом и более, и его необходимо учитывать при согласовании с ТА для компенсации потерь сигнала и максимального подавления местного эффекта (прослушивания в трубке собственного голоса). Сопротивления $R_{ЛН1}$ и $R_{ЛН2}$ должны быть одинаковы. Это необходимо для того, чтобы нейтрализовать действие тока линии на соседние провода, в которых могут наводиться помехи в виде постороннего разговора. Разговорный ток в прямом проводе создаёт падение напряжения с одним знаком, а в обратном проводе с противоположным знаком, и, следовательно, действия этих напряжений на соседние цепи нейтрализуются. Сопротивление центральной батареи (GB) можно не учитывать, так как его величина незначительна по сравнению с $R_{АТС}$ и $R_{ТА}$. $R_{АТС}$ в зависимости от типа станции составляет для:

- АТС-54 - до 1500 Ом;
- АТСК - до 1200 Ом;
- АТСКЭ - до 700 Ом.

Электрическое сопротивление ТА постоянному току при рабочем токе 35 мА лежит в пределах $160 + 600$ Ом (в зависимости от класса сложности).

Электрическое сопротивление ТА постоянному току во время набора номера со стороны линейных зажимов составляет:

- при замыкании линии контактами ИК номеронабирателя ≤ 50 Ом;
- при размыкании линии контактами ИК номеронабирателя ≥ 300 кОм.

Рассмотрим простейший принцип установления соединения на АТС (рис. 1.4).

Линия абонента №1 на станции включена в абонентское реле К1, через обмотки которого осуществляется питание микрофона ВМ1 аппарата абонента, а контакты номеронабирателя (НН) - ИК (импульсный ключ) и РК (разговорный ключ) используются для управления процессом соединения.

Когда абонент №1 снимает микрофонную трубку с рычага SB1 аппарата (рычажный переключатель переводится в верхнее положение), то замыкается цепь питания двухобмоточного реле К1 через замкнутый контакт ИК, микрофон ВМ1 и обмотку трансформатора Т. Реле К1 размыкает свой контакт К1.2 и замыкает контакт К1.1, в результате чего срабатывает реле К2. Это реле замедлено на отпускание. При отсутствии тока в течение 0,1 с якорь реле остается в притянутом состоянии.

При срабатывании реле К2 замыкается его контакт К2.2 и размыкается К2.1. Обмотка электромагнита шагового искателя К3 остаётся обесточенной, так как цепь разомкнута контактом К1.2 реле К1.

Для ТА с дисковым номеронабирателем, набор номера абонента осуществляется следующим образом: при вращении диска по часовой стрелке до пальцевого

ния реле КЗ. Последний отпускает якорь и вновь притягивает его, так как КЗ.4 замыкается. Работа реле КЗ продолжается до тех пор, пока подвижный контакт КЗ.3 не займет исходного положения и через обмотку реле КЗ перестанет проходить ток.

Таким образом, если посмотреть на временную диаграмму работы номеронабирателя (рис. 1.5), то наглядно виден принцип формирования импульсной последовательности, управляющей работой АТС.

Четкость работы реле и электромагнита шагового искателя непосредственно зависит от времени размыкания контакта ИК номеронабирателя телефонного аппарата. Если время размыкания будет больше 0,1 с, то при размыкании контакта К1.2 реле К2 не сможет удержать якорь и соединения не произойдет, а АТС перейдет в режим отбоя. При высокой частоте следования импульсов и малой их длительности электромагнит шагового искателя не успеет притянуть якорь и тогда соединения также не произойдет.

Именно поэтому (в соответствии с ГОСТ 10710-81), к импульсным номеронабирателям ТА для обеспечения нормальной работы приборов АТС предъявляются достаточно жесткие требования. Их временные характеристики приведены в табл. 1.1.

Табл. 1.1. Временные характеристики импульсных номеронабирателей ТА.

Характеристика	Допустимое значение	Номинальное значение
Частота создаваемых импульсов, имп./с	9 + 11	10
Период повторения, мс	95 + 105	100
Межсерийная пауза, мс, не менее	650 (но не более 10 с)	800
Время размыкания контактов ИК, тр, мс	53 + 70	60
Время замыкания контактов ИК, тз, мс	34 + 46	40
Импульсный коэффициент (отношение времени размыкания тр к времени замыкания тз контакта импульсного ключа)	1,4 + 1,7	1,5

Кнопочные ТА с частотным набором номера используются при работе с электронными и квазиэлектронными АТС. Передача каждой цифры в соответствии с ГОСТ 25554-82 в частотном номеронабирателе осуществляется многочастотным кодом 2 из 8. Для этого применяются две группы частот:

- нижняя группа частот - 697 Гц, 770 Гц, 852 Гц, 941 Гц;
- верхняя группа частот - 1209 Гц, 1336 Гц, 1477 Гц, 1633 Гц.

Этот код обеспечивает 16 комбинаций сигнальных частот, 10 из которых используются для набора номера. Кнопки # и * используются при наборе кодов дополнительных видов обслуживания. Кнопки А, В, С и D применяются в расширенной клавиатуре. Длительность двухчастотной посылки должна быть не менее 40 мс, паузы - не менее 25 мс. Стабильность частот - не хуже $\pm 1,5\%$.

Комбинация сигналов и соответствие частот каждой кнопке приведены в табл. 1.2.

Табл. 1.2. Многочастотный телефонный код.

Частота	1209 Гц	1336 Гц	1477 Гц	1633 Гц
697 Гц	1	2	3	A
770 Гц	4	5	6	B
852 Гц	7	8	9	C
941 Гц	*	0	#	D

Кроме сигналов набора номера от абонентского устройства (АУ) к АТС поступают сигналы, характеристики которых приведены в табл. 1.3. Все эти сигналы являются основными, т. е. обеспечивают взаимодействие АУ с АТС.

Табл. 1.3. Характеристики основных сигналов, поступающих от АУ к АТС.

Наименование сигнала	Характеристика сигнала
Вызов станции ("поднятие трубки" при исходящем вызове).	Непрерывное замыкание шлейфа абонентской линии (АЛ) на время ≥ 250 мс.
Ответ ("поднятие трубки" при входящем вызове).	Замыкание шлейфа АЛ на время ≥ 500 мс.
Отбой.	Размыкание шлейфа АЛ на время ≥ 400 мс (на время ≥ 800 мс, если используется дополнительный сигнал "нормированный разрыв шлейфа" (R)).

На некоторых зарубежных ТА можно увидеть кнопку "R". Эта кнопка предназначена для заказа дополнительных услуг в ЭАТС и формирует размыкание шлейфа абонентской линии на время 80 ± 40 мс.

Абоненты с АТС получают следующие виды сигналов:

- ответ станции - непрерывный гудок, который слышит абонент после снятия телефонной трубки;
- посылка вызова - сигнал вызова абонента;
- контроль посылки вызова - сигнал, предназначенный для информирования абонента о посылке вызова;
- занято - поступает при занятости абонентской линии вызываемого абонента;
- занято - перегрузка - поступает при занятости соединительных (межстанционных) линий или коммутационного оборудования.

Характеристики этих сигналов приведены в табл. 1.4.

Табл. 1.4. Характеристики основных сигналов, поступающих от АТС к АУ.

Наименование сигнала	Длительность, с		Уровень или напряжение	Частота, Гц
	Импульс	Пауза		
Ответ станции	Непрерывная передача		от -5 до -30 дБ	425 ± 25
Посылка вызова	$0,8 \pm 0,1$ или $1,0 \pm 0,1$	$3,2 \pm 0,1$ или $4,0 \pm 0,1$	16...110 В	16...50
Контроль посылки вызова	$0,8 \pm 0,1$ или $1,0 \pm 0,1$	$3,2 \pm 0,1$ или $4,0 \pm 0,1$	от -5 до -30 дБ	425 ± 25
Занято	от 0,3 до 0,4	от 0,3 до 0,4	от -5 до -30 дБ	425 ± 25
Занято - перегрузка	от 0,15 до 0,2	от 0,15 до 0,2	от -5 до -30 дБ	425 ± 25

В фазе "исходное состояние" входное сопротивление абонентского устройства сигналу вызывного тока должно быть не менее 2,5 кОм на частоте 25 Гц (номинальная частота посылки вызова).

Кроме основных сигналов в АТС применяются также следующие допол-

ительные сигналы:

- указательный - указывает на невозможность установления соединения или предоставления услуги, передаётся также перед механическим голосом;
- предупреждение - предупреждение о записи на магнитофон;
- вмешательство - информация о подключении оператора или третьего абонента;
- уведомление - информация о поступлении нового вызова;
- предупреждение об окончании оплаченного интервала времени - поступает в таксофон за 20 с до окончания оплаченного интервала времени;
- неполный состав участников или отключение участника - используется при проведении конференц - связи.

Характеристики этих сигналов приведены в табл. 1.5.

Табл. 1.5. Характеристики дополнительных сигналов, поступающих от АТС к АУ.

Наименование сигнала	Длительность, с		Уровень или напряжение	Частота, Гц
	Импульс	Пауза		
Указательный (частоты чередуются в указанном порядке)	$0,33 \pm 0,07$	$0,03 \pm 0,003$	-5 ... -30 дБ	950 ± 50
	$0,33 \pm 0,07$	$0,03 \pm 0,003$	-5 ... -30 дБ	1400 ± 50
	$0,33 \pm 0,07$	$1,0 \pm 0,25$	-5 ... -30 дБ	1800 ± 50
Предупреждение	$0,4 \pm 0,04$	15 ± 3	-10 ... -35 дБ	425 ± 25
Вмешательство (паузы чередуются в указанном порядке)	$0,25 \pm 0,025$	$0,25 \pm 0,025$	-10 ... -35 дБ	425 ± 25
		$1,25 \pm 0,3$		
Уведомление	$0,25 \pm 0,025$	$5,525 \pm 0,8$	-10 ... -35 дБ	425 ± 25
Предупреждение об окончании оплаченного интервала времени	$0,4 \pm 0,04$	$5,525 \pm 0,8$	-10 ... -35 дБ	1400 ± 20
Неполный состав участников или отключение участника	от 0,3 до 1	Посылается одиночный импульс	-10 ... -35 дБ	425 ± 25

1.2. СПАРЕННОЕ ВКЛЮЧЕНИЕ ТЕЛЕФОННЫХ АППАРАТОВ

Включение двух абонентов с разными абонентскими номерами к одной линии АТС называют спаренным включением ТА. Как правило, номера абонентов отличаются только последней цифрой номера. Особенность такого включения состоит в том, что при разговоре одного из абонентов аппарат другого абонента автоматически отключается. Вызов со стороны АТС поступает только на тот аппарат, номер которого был набран.

Для спаренного включения ТА на АТС применяются станционные устройства спаривания телефонов, а у абонентов устанавливаются приставки диодного разделения цепей, которые устанавливаются вместо розеток.

Принцип работы аппаратуры спаренного включения ТА показан на рис. 1.6. Станционное устройство спаривания телефонов производит постоянный опрос абонентов путём изменения полярности линии с частотой $0,5 + 1,0$ Гц (т.е. время опроса каждого ТА составляет $0,5 + 1,0$ с). Работа приставки диодного разделения основана на обеспечении питанием ТА, занявшего абонентскую линию, и блокированием цепи питания другого ТА, параллельно включенного через

блокиратор. Это достигается включением в линейные цепи аппаратов блокировочных диодов так, чтобы диоды одного ТА были направлены навстречу диодам другого аппарата. Поэтому напряжение подается на каждый аппарат по очереди. Абонент, который первым снимет трубку, занимает линию. При этом на АТС станционное устройство спаривания устанавливает ту полярность, которая обеспечивает питание занявшего линию ТА.



Рис. 1.6. Схема подключения спаренных телефонов.

В спаренных телефонах переменное напряжение вызывного сигнала подается не относительно нулевого потенциала, а относительно полярности напряжения питания вызываемого ТА. Следовательно амплитудное значение вызывного сигнала не должно превышать 60 В, иначе напряжение вызывного сигнала одного ТА будет поступать на другой.

Сигналы переменного тока (разговорного или вызывного) пропускаются диодами только того из двух ТА, с которого поступает или к которому направляется вызов. Этим обеспечивается избирательность вызова и исключается возможность подслушивания.

При послышке вызова абоненту с АТС, в зависимости от полярности на проводах общей абонентской линии, открываются диоды в одном из аппаратов и

работает звонок данного аппарата. Для разряда конденсатора в цепи звонка (конденсатор не может разрядиться через станционные устройства АТС из-за включенных диодов) приставки диодного разделения снабжены разрядной цепью.

На рис. 1.7 представлены схемы приставок диодного разделения цепей. Тиратрон VL1 в приставке АП-1 (рис. 1.7,а) выполняет функцию порогового элемента, режим работы которого определяется резисторами R1 и R2. В приставке ПДТ-1 (рис. 1.7,б) транзистор VT1 с замкнутыми выводами "эмиттер - база" работает в режиме лавинного пробоя. При указанном на рис. 1.7,б включении он обеспечивает

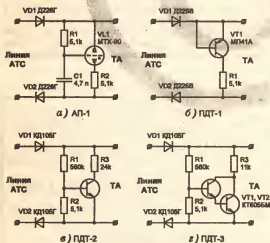


Рис. 1.7. Схемы приставок диодного разделения цепей.

напряжение пробоя $65 + 110$ В. В качестве порогового элемента в приставке ПДТ-2 (рис. 1.7,а) использован транзистор VT1 и в ПДТ-3 (рис. 1.7,б) VT1, VT2, соединённые по схеме составного транзистора. Транзисторы КТ605БМ для приставки ПДТ-2 должны отбраковываться по статическому коэффициенту передачи тока (не менее 50).

Применение блокираторов было вызвано нехваткой абонентских линий и позволяло подключать к АТС дополнительные номера. В настоящее время применение блокираторов не рекомендуется из-за усложнения аппаратуры АТС и присущих им недостатков:

- отсутствует возможность связи между спаренными телефонами;
- невозможность пользоваться телефонной связью при занятости линии другим абонентом;
- так как при занятии линии абонентом спаренного ТА напряжение на клеммах подключения другого аппарата пропадает, то в тех кнопочных ТА, где отсутствует дополнительное питание микросхемы номеронабирателя, возможна потеря номеров, находящихся в ОЗУ микросхемы;
- поскольку в спаренных телефонах используется пониженный уровень вызывного сигнала, то вызывные устройства некоторых зарубежных ТА, в которых схема рассчитана на номинальное напряжение вызывного сигнала, при спаренном включении ТА могут не работать. Как это устранить описано в главе 3.1;
- в тех ТА, в которых применяется жидкокристаллический индикатор и осуществляется его питание от линии, яркость индикатора изменяется с частотой переключения блокиратора;
- если поменять местами клеммы подключения к линии приставки диодного разделения цепей, то можно подключиться параллельно телефону другого абонента.

1.3. ТЕХНИЧЕСКИЕ ХАРАКТЕРИСТИКИ И ПРИНЦИП РАБОТЫ АППАРАТУРЫ АОН

Аппаратура АОН предназначена для автоматического определения номера телефона вызывающего абонента. Сведения о номере телефона вызывающего абонента необходимы для выписки счёта на оплату междугородного разговора. Аппаратура АОН кроме автоматической выдачи номера вызывающего абонента позволяет осуществить выдачу номера категории, присвоенного тому или иному абоненту.

Существует десять видов категорий:

Табл. 1.6. Категории абонентов АТС.

Категория	Характеристика
1	абоненты квартирные, учрежденческие, имеющие право междугородной и международной связи;
2	абоненты гостиниц, имеющие право на те же виды связи (эта категория абонентов выделена, поскольку в этом случае счёт должен быть выслан немедленно);
3	Абоненты, не имеющие права выхода на междугородные и международные сети (например, общежития);
4	Абоненты, имеющие преимущество при установлении связи (приоритет);
5	Абоненты, имеющие право связи без тарификации;
6	Категория междугородных телефонов - автоматов;
7	Абоненты, имеющие право кроме связи с междугородными и международными сетями получать дополнительные платные услуги;

Категория	Характеристика
8	Абоненты, имеющие преимущество при установлении связи в междугородних сетях и право на платные услуги;
9	Категория городских телефонов - автоматов;
0	Резерв.

Выдача номера и категории телефона вызывающего абонента осуществляется многочастотным *беспаузным* способом "два из шести". Для этой цели используются частоты 700, 900, 1100, 1300, 1500 и 1700 Гц. Действующее значение сигнала - 0,33 В. Всего применяется 12 комбинаций частот.

Код "два из шести" для АОН приведен в табл. 1.7.

Табл. 1.7. Код "два из шести" для АОН.

Значение кодовой комбинации	Комбинация передаваемых частот, Гц
1	700, 900
2	700, 1100
3	900, 1100
4	700, 1300
5	900, 1300
6	1100, 1300
7	700, 1500
8	900, 1500
9	1100, 1500
0	1300, 1500
"Начало"	1100, 1700
"Повтор"	1300, 1700

"Начало" - обозначает начало или окончание пакета двухчастотных посылок.

"Повтор" - применяется в случае, когда в номере вызывающего абонента подряд следуют одинаковые цифры. При *беспаузном* способе передачи информации отличить такие комбинации друг от друга невозможно.

Длительность каждой двухчастотной посылки - 40 ± 2 мс. Информация о категории и номере вызывающего абонента содержит 10 двухчастотных посылок.

Порядок выдачи цифр номера вызывающего абонента передающим устройством АОН и пример номера 495-27-74 категории 1 приведены в табл. 1.8.

Табл. 1.8. Порядок выдачи цифр номера передающим устройством АОН.

№ п/п	Порядок выдачи цифр номера передающим устройством АОН	Пример	
		категория и номер	частотный код
1.	"Начало"		1100, 1700
2.	Цифра категории	1	700, 900
3.	Цифра единиц номера	4	700, 1300
4.	Цифра десятков номера	7	700, 1500
5.	Цифра сотен номера	7	1300, 1700
6.	Цифра тысяч номера	2	700, 1100
7.	Третья цифра индекса станции	5	900, 1300
8.	Вторая цифра индекса станции	9	1100, 1500
9.	Первая цифра индекса станции	4	700, 1300
10.	"Начало"		1100, 1700

Аппаратура АОН состоит из передающих и приёмных устройств. Передающие устройства устанавливаются на районных АТС, приёмные на автоматической междугородной станции (АМТС). Приёмным устройством также может служить ТА местной связи с АОН. Структурная схема включения аппаратуры АОН в АТС приведена на рис. 1.8.

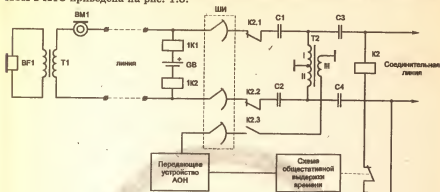


Рис. 1.8. Подключение аппаратуры АОН к АТС.

После набора номера вызываемого абонента и занятия приёмного устройства на АМТС (или ответа ТА местной связи), срабатывает реле определения номера К2 на время 400 мс. При этом замыкается контакт К2.3 и подключается передающее устройство АОН. Абонентская линия отключается контактами К2.1 и К2.2. Это необходимо для того, чтобы сигналы, появляющиеся на выходе микрофона в телефоне вызываемого абонента не влияли на передачу информации. Если за это время (400 мс) по соединительной линии от приёмного устройства поступит синусоидальный сигнал запроса частотой $500 \text{ Гц} \pm 1\%$ с уровнем 4,3 дБ и длительностью 100 мс, то схема общественной выдержки времени продлевает время удержания реле К2 ещё на 500 мс для передачи информации о категории и номере телефона вызываемого абонента.

Переменный ток сигнала запроса индуктируется в обмотку III трансформатора Т2 и через абонентский комплект поступает в передающее устройство АОН. Последнее, получив частотный запрос, начинает выдачу информации. Информация из передающего устройства АОН передаётся в обмотку III трансформатора, индуктируется в обмотки I и II и передаётся по соединительной линии на АМТС. Приёмные устройства на АМТС преобразуют частотные комбинации в числовой код и запоминают поступивший номер.

После получения сведений о номере и категории вызываемого абонента на АМТС начинается установление соединения к абоненту другого города.

Для повышения надёжности определения номера и категории телефона вызываемого абонента в системе АОН принят трёхкратный запуск передающих устройств. Так, если при первом запуске АОН на приёмном конце номер не определился, (по каким либо причинам информация АОН не была принята), то приёмные устройства кратковременно освобождаются (без нарушения соединения) и вновь посылают сигнал запроса для запуска передающих устройств. Если и при этом информация не будет принята, то формируется третий сигнал запроса. В случае отсутствия определения номера и после третьего запуска выход на АМТС прерывается.

Передающее устройство АОН будет работать аналогично, если сигнал запроса будет передаваться не с приёмного устройства АМТС, а с местного телефона с АОН.

1.4. КЛАССИФИКАЦИЯ ТЕЛЕФОННЫХ АППАРАТОВ И ИХ ОСНОВНЫЕ ПАРАМЕТРЫ

В зависимости от конструктивного исполнения и выполняемых функций (ГОСТ 7163-85) телефонные аппараты подразделяются на четыре класса сложности (табл. 1.9).

Табл. 1.9. Классы сложности телефонных аппаратов.

Основное исполнение	Класс сложности	
	Наименование	Шифр
Многофункциональные ТА.	Высший	0
ТА с дополнительными функциями и возможностями.	Первый	1
ТА с кнопочным номеронабирателем, тональным приёмником вызова, угольным микрофоном.	Второй	2
ТА с дисковым номеронабирателем, электро-механическим приёмником вызова, угольным микрофоном.	Третий	3

Параметры, характеризующие качество телефонных аппаратов, можно разделить на электрические, телефонметрические, электроакустические и временные.

Основные электрические параметры ТА различных классов приведены в табл. 1.10.

Временные параметры набора для ТА с импульсным способом передачи сигналов набора номера приведены в табл. 1.11.

Телефонметрические и электроакустические параметры характеризуют качество телефонной передачи по громкости. Для их оценки используется эквивалент затухания передачи, приёма и местного эффекта, а также коэффициент гармоник на передачу и на приём. Поскольку для измерения и объективной оценки этих параметров требуется специальное оборудование, имеющееся лишь в специализированных лабораториях, эти данные в настоящем издании не приводятся.

Табл. 1.10. Основные электрические параметры ТА.

Параметр	Норма по классам сложности			
	0	1	2	3
Напряжение собственного шума, мВ, не более	0,5	0,5	0,5	0,4
Модуль входного электрического сопротивления в режиме:				
- разговорном, Ом	450 + 800	450 + 800	—	—
- ожидания вызова, кОм, не менее	10	10	—	—
- вызова, кОм, не менее	4	4	—	—

Параметр	Норма по классам сложности			
	0	1	2	3
Электрическое сопротивление постоянному току, Ом, в разговорном режиме при токе 35 мА в положении микрофонной трубки:				
- вертикальном	160 + 400	160 + 400	160 + 400	≤320
- горизонтальном	160 + 400	160 + 400	160 + 400	≤600
Электрическое сопротивление постоянному току в режиме набора номера для ТА с импульсным способом передачи набора номера при токе питания 35 мА:				
- при замыкании шлейфа, Ом, не более	150	150	50	—
- при размыкании шлейфа, кОм, не менее	300	300	300	—
Постоянный ток, потребляемый ТА в режимах ожидания вызова и отбоя, мА, не более	1,0	0,5	0,5	—
Переменный ток, потребляемый приёмником вызывного сигнала при максимальной громкости вызывного сигнала, мА, не более	8,0	8,0	8,0	8,0
Время разрыва шлейфа для ТА, содержащих устройство нормированного разрыва шлейфа, мс	80 ± 40	80 ± 40	—	—
Значность программируемого набора номера, не менее	8	8	8	—

Табл. 1.11. Временные параметры набора номера для ТА с импульсным способом передачи сигналов набора номера.

Параметр	Норма по классам сложности			
	0	1	2	3
Период импульса в серии (Т), мс	100 ± 5	100 ± 5	100 ± 5	100 ± 10
Импульсный коэффициент	1,4 + 1,6	1,4 + 1,6	1,4 + 1,6	1,4 + 1,7
Пауза между двумя сериями импульсов, с, не менее	4Т + 10Т	4Т + 10Т	4Т + 10Т	≥800
Программируемая пауза между двумя сериями импульсов, с, не менее	2	2	2	—

1.5. ПРИНЦИПЫ ПОСТРОЕНИЯ КНОПОЧНЫХ ТЕЛЕФОННЫХ АППАРАТОВ

В кнопочных ТА функцию механических контактов номеронабирателя выполняют электронные ключи. Их подключение несколько отличается от принятого в дисковом номеронабирателе. Рассмотрим его работу по упрощенной структурной схеме кнопочного ТА отечественного производства (рис. 1.9).

С момента нажатия кнопки на наборном поле ТА и до окончания набора, РК отключает разговорную часть. Одновременно ИК замыкает линию накоротко и размыкает ее количество раз, равное цифре набора. Таким образом, диаграмма работы кнопочного НН (рис. 1.10) получается аналогичной диаграмме работы дискового с той лишь разницей, что паузы между импульсами набора и межсерийные паузы при использовании кнопочного НН нормированы и близки к оптимальным. Это повышает стабильность работы АТС и уменьшает время соединения.

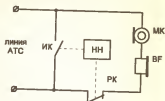


Рис. 1.9. Включение НН в кнопочных ТА отечественного производства.

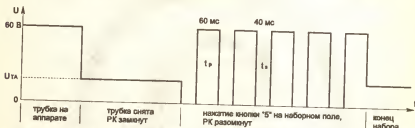


Рис. 1.10. Временная диаграмма работы номеронабирателя в кнопочных ТА отечественного производства.

В импортных ТА ИК включается последовательно с нагрузкой, в качестве которой может быть использована разговорная часть ТА (рис. 1.11,а), или в ТА более высокого класса - резистор сопротивлением $130 + 150 \text{ Ом}$ (рис. 1.11,б). В первом случае ИК коммутирует разговорную часть, во втором - разговорная часть на время набора отключается, а нагрузкой ИК является резистор R_n . Часто в зарубежных ТА для устранения щелчков во время набора номера применяется схема блокировки входов микрофонного и телефонного усилителей.

Диаграмма работы этих ТА одна и та же и представлена на рис. 1.12.

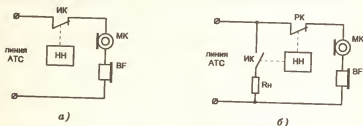


Рис. 1.11. Подключение НН в кнопочных ТА зарубежного производства.

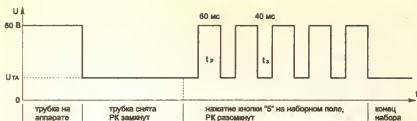


Рис. 1.12. Временная диаграмма работы номеронабирателя в кнопочных ТА зарубежного производства.

Повышенное сопротивление ИК в замкнутом состоянии может иногда приводить к сбоям в работе и неправильному соединению при использовании ТА на линиях связи отечественных АТС.

Таким образом, отличие всех вариантов заключается лишь в различии схемотехники НН, управляющих работой ИК, и в особенностях коммутации линий АТС.

1.6. СТРУКТУРНЫЕ СХЕМЫ КНОПОЧНЫХ ТЕЛЕФОННЫХ АППАРАТОВ

Структурные схемы кнопочных телефонных аппаратов приведены на рис. 1.14 + 1.16. Всем им присущи следующие основные узлы:

- вызывное устройство (ВУ) - предназначено для приема сигнала индуктора (вызова абонента АТС) и преобразования его в звуковые колебания;
- диодный мост - исключает влияние полярности напряжения линии на полярность включения ТА;
- схема "отбой" - осуществляет начальную установку ИС ЭНН;
- микропереключатель - отключает питание схемы ТА при уложенной на рычаг трубке;
- времязадающие элементы генератора определяют частоту внутреннего тактового генератора, от которой зависят все временные параметры сигналов вырабатываемых ИС ЭНН (частота набора, длительность импульсов и межсерийной паузы и т.п.);
- схема питания микросхемы НН - обеспечивает питание микросхемы во время набора номера и поддержку питания ОЗУ при уложенной на рычаг трубки;
- микросхема номеронабирателя (ИС НН) - изготавливается по КМОП-технологии и выполняет следующие функции:
 - опроса клавиатуры;
 - формирования сигналов набора номера, управляющих работой импульсного ключа;
 - формирования сигнала отключения разговорной части во время набора номера, управляющего работой разговорного ключа;
 - запоминания последнего или нескольких набираемых номеров;
 - импульсный ключ - формирует импульсы набора в линию;
 - Rл - резистор нагрузки линии, включающий ее замыкание накоротко во время формирования импульсов набора;
 - телефонный усилитель - усиливает речевой сигнал до уровня нормальной слышимости и согласует сопротивление линии с сопротивлением звукоизлучающего элемента;
 - микрофонный усилитель - усиливает сигнал микрофона. В схеме рис. 1.15 сигнал микрофона, через разделительный конденсатор С, подается на вход ИК, работающего во время разговора в режиме усилителя тока;

- **противоместная схема** - устраняет местный эффект, т.е. возможность прослушивания в телефоне трубки собственного голоса;
- **разговорный ключ** - отключает разговорную часть на время прохождения импульсов набора, что устраняет неприятные щелчки в телефоне трубки;
- **клавиатура** - выполняет функцию датчика ИС НН. Она построена по координатной схеме (рис. 1.13), где:

- **X** - координата входа;
- **Y** - координата выхода или входа в зависимости от типа ИС.

Рассмотрим принцип работы ТА по структурным схемам. Структурная схема, по которой строятся ТА отечественного производства приведена на рис. 1.14.

При снятии трубки, рычажный переключатель SB подключает ТА к линии АТС. В результате образования делителя (см. рис. 1.3), напряжение на линейных зажимах снижается до величины $5 + 15$ В. При этом схема "отбой", вследствие подачи напряжения в схему, осуществляет начальную установку ИС НН (режим готовности к набору номера).

В режиме готовности к набору номера ИС НН вырабатывает сигналы управления ИК и РК, вследствие которых разговорный узел, состоящий из микрофонного и телефонного усилителей и противоместной схемы, посредством разговорного ключа подключается к линии и в трубке прослушивается ответ станции (гудок). ИК - находится в разомкнутом (закрытом) состоянии.

При нажатии кнопок клавиатуры, ИС НН формирует последовательности импульсов, управляющих работой ИК и РК. ИК замыкает линию накоротко и размыкает ее, формируя посылки постоянного тока управляющие работой АТС. РК отключает разговорный узел от общего провода на время следования посылок набора номера, что устраняет неприятные щелчки в телефоне трубки при наборе номера.

По окончании набора РК вновь подключает разговорный узел и в трубке слышны тональные посылки АТС, свидетельствующие об окончании процесса соединения и поступления на линию вызываемого абонента посылки вызывного сигнала. При снятии абонентом трубки, Вы слышите его голос.

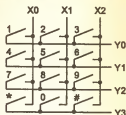


Рис. 1.13. Подключение стандартной клавиатуры к ИС НН.



Рис. 1.14. Структурная схема кнопочного ТА отечественного производства.

По окончании разговора трубка укладывается на рычаг. Рычажный переключатель SB размыкает цепь и схема ТА переходит в дежурный режим. В дежурном режиме схема питания микросхемы обеспечивает подпитку ОЗУ ИС НН, в котором хранится последний набранный номер, схема "отбой" запрещает набор номера с клавиатуры с целью сохранения последнего набранного номера, а вызывное устройство готово к приему сигналов вызова АТС.

При поступлении сигнала вызова от АТС, вызывное устройство вырабатывает звуковые сигналы информирующие о вызове другим абонентом. До снятия трубки схема ТА находится в дежурном режиме. При снятии трубки ИС устанавливается в исходное состояние с той лишь разницей, что вместо ответа станции (гудка), Вы слышите голос вызывающего вас абонента.

При кратковременном нажатии на рычажный переключатель, или нажатии кнопки "отбой" на наборном поле клавиатуры, посредством схемы "отбой" ТА переводится в исходное состояние.

Структурная схема ТА зарубежного производства, использующего в качестве нагрузки разговорный узел, приведена на рис. 1.15.



Рис. 1.15. Структурная схема кнопкичного ТА зарубежного производства, использующего в качестве нагрузки разговорный узел.

Работа этой схемы несколько отличается от предыдущей. При снятии трубки переключатель SB переходит в верхнее по схеме положение. В результате этого схема "отбой" подключает к общему проводу соответствующий вход ИС НН, осуществляя установку последней в исходное состояние при подаче напряжения на схему питания ИС. В исходном состоянии, через замкнутый (открытый) ИК, к линии АТС подключается разговорный узел и в трубке слышен ответ станции.

При наборе номера ИК отключает от линии разговорный узел и подключает его вновь, формируя тем самым импульсы набора управляющие работой АТС.

По окончании набора номера ИК остается в замкнутом состоянии. Разговорный узел подключен к линии и в трубке тональные послышки АТС, свидетельствующие об окончании процесса соединения.

Во время разговора ИК выполняет функцию усилителя тока сигнала микрофона.

По окончании разговора, уложенная на рычаг трубка переводит переключатель SB в нижнее по схеме положение, снимая напряжение питания с ИС ЭНН и подключая схему "отбой", которая в этом режиме запрещает набор номера и

обеспечивает подпитку ОЗУ ИС.

При поступлении сигнала вызова ВУ работает также, как и в предыдущей схеме. При снятии трубки осуществляется начальная установка ИС, в результате чего через открытый ИК разговорный узел подключается к линии и Вы слышите голос вызывающего вас абонента.

Структурная схема зарубежных ТА, использующих в качестве нагрузки АТС, при наборе номера, резистор R (рис. 1.16), работает аналогично схеме приведенной на рис. 1.14. Отличие состоит в том, что ИК, при наборе номера, не закорачивает линию, а замыкает ее на резистор. Разговорный ключ, в этой схеме, отключает разговорный узел от линии, а не от корпусной шины.

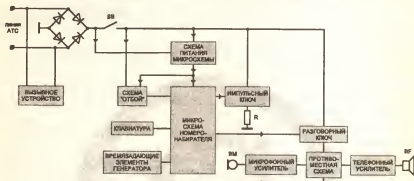


Рис. 1.16. Структурная схема кнопочного ТА, использующего в качестве нагрузки импульсного ключа резистор R.

В следующих главах подробно рассмотрена не только работа всех узлов ТА, но и способы их совершенствования с целью улучшения потребительских характеристик и повышения надежности работы ТА в целом.

2. РАЗНОВИДНОСТИ И ХАРАКТЕРИСТИКИ ОТЕЧЕСТВЕННЫХ И ЗАРУБЕЖНЫХ ИС ЭНН

Сравнивая структурные схемы ТА (рис. 1.14, 1.15, 1.16), нетрудно заметить, что всем микросхемам ЭНН присущи следующие основные входы и выходы:

- подключения клавиатуры;
- подключения времязадающих элементов генератора;
- вход схемы "отбой";
- вход питания микросхемы;
- выход "импульсный ключ";
- выход "разговорный ключ".

В микросхемах номеронабирателей выход импульсного и разговорного ключа может быть либо "логический", либо с "открытым стоком".

Выход с "открытым стоком" выполнен на p -канальном полевом транзисторе с изолированным затвором (рис. 2.1, а). Подключение выхода с "открытым стоком" показано на рис. 2.1, б. Сопротивление резистора R_n , как правило, составляет от 220 до 680 кОм. Когда ключ микросхемы открыт, он подключает ИК схемы на корпус и закрывает его, в результате чего линия размыкается (на линии 60 В). Если ключ микросхемы закрыт, напряжение с линии через резистор R_n открывает ИК схемы, который подключает разговорный узел и напряжение в линии падает до 5 + 15 В. Напряжение пробоя такого транзистора не превышает 30 В. Поэтому, если не предпринять дополнительных мер защиты (подробно описано в главе 5.2), то при определенных условиях выход ИК или РК микросхемы может быть пробит.



Рис. 2.1. Выходы импульсного и разговорного ключей ИС ЭНН.

"Логический" выход микросхемы представляет собой КМОП - инвертор и является основной структурой всего семейства логических схем КМОП (рис. 2.1, в). Выход микросхемы подключает управляющий вход ИК схемы ТА либо на корпус, (через открытый транзистор VT2), либо к плюсу питания микросхемы (через открытый транзистор VT1).

В зависимости от типа выхода ИК микросхемы, к нему подключают импульсные ключи ТА, выполненные по различным схемам (они подробно рассмотрены в разделе 3.4). Следует иметь в виду, что все ключи в схемах ТА закрыты при подаче на управляющий вход "низкого" уровня и открыты при "высоком".

2.1. РАЗНОВИДНОСТИ МИКРОСХЕМ ЭНН

Микросхемы ЭНН по своим возможностям и схемотехническим особенностям можно разделить на семь основных групп:

1. ЭНН с открытым стоком выхода ИК, открытым стоком выхода РК и запоминанием последнего номера:

CIC9192BE	KS5805A	LR40993	TR50981AN
ET40982	KS5805B	MK50581	WE9192B
ET40992	KS58C05	MK50992N	ВЦ1000A
FT58C51	KS58D05	MK50993	KP1008BЖ10
HM9100A1	KS5851	MK5173AN	KP1008BЖ11
HM9100B	KS5853	T40992	KC1008BЖ12
HD970040D	LR40981A	T40993	KP1008BЖ14
KS5804	LR40992	TC31006P	KP1008BЖ15

2. ЭНН с открытым стоком выхода ИК, логическим выходом РК и запоминанием последнего номера:

CIC9102E	UM9151	WE9102	FT9151-3
CIC9104E	UM9151-3	WE9104	KP1008BЖ17

3. ЭНН с логическим выходом ИК, логическим выходом РК и запоминанием последнего номера:

KP1002XJ12	KP1008BЖ1	KP1008BЖ7
KP1083BЖ3	KP1089BЖ2	KP1064BЖ7

4. ЭНН с логическим выходом ИК, логическим выходом РК, запоминанием последнего номера и дополнительной памятью на десять и более номеров:

LC7350	S7210A	VT91611	KP1089BЖ1
M2561AB	STC52560C	WE9110	
S2560A	UM91610A	KP1008BЖ5	
S25610	UM91611	KP1064BЖ5	

5. ЭНН с импульсным и частотным набором номера и запоминанием последнего номера:

HM9102	KS5820	UM91210C	KP1008BЖ16
HM9110D	KS58C20N	UM91260C	KP1091BЖ1
HT9102F	LC7360	UM912611	KP1091BЖ2
KS58006	MC145412P	KP1008BЖ6	

6. ЭНН с импульсным и частотным набором номера, запоминанием последнего номера и дополнительной памятью на десять и более номеров:

CIC9145E	HM9121	HT9115B	HT9112D
HM9112A	HM91650B	VT9145	

7. ЭНН с частотным набором номера:

HD970019-L	HM9187	MK5092N
------------	--------	---------

Табл. 2.1. Микросхемы номеронабирателей, выпускаемые в странах СНГ, и их зарубежные аналоги.

ИС ЭНН	Зарубежный аналог	Изготовитель
KP1008BЖ10 (FT58C51)	KS5851	НПО "ИНТЕГРАЛ", г. Минск
KP1008BЖ11	KS5805A	НПО "ИНТЕГРАЛ", г. Минск
KP1008BЖ14	WE9192B	ПО "ЭЛЕКС", г. Александров
KP1008BЖ16	KS58006	З-д "МИКРОН", г. Зеленоград
KP1008BЖ17 (FT9151-3)	UM9151-3	НПО "ИНТЕГРАЛ", г. Минск
KP1091BЖ1	UM91260C	НПО "ЭЛЕКТРОНИКА", г. Воронеж
KP1091BЖ2	UM91261	НПО "ЭЛЕКТРОНИКА", г. Воронеж

2.2. ПРИНЦИП РАБОТЫ МИКРОСХЕМ ЭНН

Рассмотрим структуру и принцип работы микросхемы ЭНН на примере широко распространенной микросхемы фирмы "SAMSUNG" KS5805A (рис. 2.2).

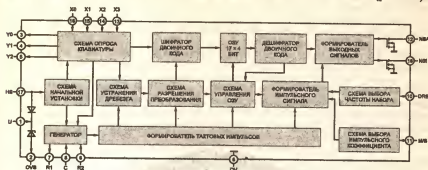


Рис. 2.2. Структурная схема ИС ЭНН KS5805A.

При подаче напряжения питания схема начальной установки приводит все узлы микросхемы НН в исходное состояние. При нажатии на одну из кнопок клавиатуры включается тактовый генератор с частотой 4 кГц, которая устанавливается RC-цепью, подключаемой к выводам 7, 8, 9. Импульсы с тактового генератора поступают на формирователь тактовых импульсов, который формирует импульсы, управляющие работой всех узлов схемы. Формирователь импульсного сигнала в зависимости от кода, поступающего со схемы выбора частоты набора формирует временной интервал межсерийной паузы (800 или 400 мс).

Схема опроса клавиатуры в момент нажатия кнопки (например "1") клавиатуры - t1 формирует на входах X1 и X2 опроса клавиатуры синфазные последовательности положительных импульсов, а на входах Y1, Y2, Y3 - синфазные последовательности отрицательных импульсов частотой 500 Гц и скважностью 2 (рис. 2.3). На входе Y0 при этом устанавливается, а на входе X0 удерживается низкий уровень.

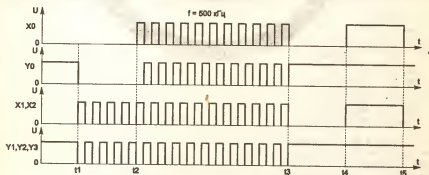


Рис. 2.3. Временная диаграмма сигналов на выводах подключения клавиатуры ИС ЭНН KS5805A.

При замыкании кнопки (в течение интервала порядка 1 мс) её контакты входят в соприкосновение друг с другом обычно от 10 до 100 раз. Чтобы на одно

нажатие кнопки микросхема не набирала несколько раз одну и ту же цифру применяется схема устранения дребезга. Схема устранения дребезга через 10 мс (длительность времени "антидребезга") включает схему разрешения преобразования, которая управляет работой шифратора двоичного кода и схемой управления ОЗУ. Схема управления ОЗУ при поступлении импульса со схемы разрешения преобразования записывает код набранной цифры в ОЗУ, а при поступлении импульса с дешифратора двоичного кода считывает из ОЗУ.

В момент отпускания кнопки на входе X0 появляются положительные, а на входе Y0 отрицательные импульсы, синхронные с импульсами на соответствующих X и Y входах. По окончании набора заданной цифры (момент времени t_3) на входах X0, X1, X2 вновь устанавливается исходный низкий уровень, а на входах Y0, Y1, Y2, Y3 - исходный высокий уровень. При нажатии кнопки сброса "отбой" на входе схемы начальной установки (вывод 17 микросхемы) (момент времени t_4), на всех входах X - устанавливается, а на Y - удерживается высокий уровень до момента отпускания кнопки (t_5), после чего на входах вновь устанавливается исходное состояние.

По окончании временного интервала межсерийной паузы формирователь выходных сигналов разрешает работу дешифратора двоичного кода, который через схему управления ОЗУ разрешает считывание двоичного кода набранной цифры. Дешифратор двоичного кода преобразует код во временной интервал, на время которого снимается удержание с триггеров формирователя выходных сигналов и на выходе 18 микросхемы (NSI) появляется последовательность импульсов частотой 10 Гц. Число импульсов соответствует цифре нажатой кнопки. Выход разговорного ключа (NSA) с момента нажатия кнопки открывается и закрывается через 5 мс после прохождения последнего импульса набора.

Схема выбора частоты набора в зависимости от логического состояния входа DRS (вывод 10), устанавливает частоту импульсов набора при "низком" уровне - 10 Гц, при "высоком" - 20 Гц и длительность межсерийной паузы соответственно 800 и 400 мс. Временные диаграммы выходов импульсного и разговорного ключей микросхемы KS5805A приведены на рис. 2.7.

В зависимости от логического состояния входа схемы выбора импульсного коэффициента M/S (вывод 11), импульсный коэффициент принимает значения:

- 1,5 при уровне "0" на выводе 11;
- 2,0 при уровне "1" на выводе 11 (рис. 2.4).



Рис. 2.4. Временная диаграмма выхода "импульсного ключа" при различных значениях напряжения на входе схемы выбора импульсного коэффициента.

Вход HS ("отбой") через встроенный диод соединен с входом питания микросхемы U (вывод 1). Это защищает ИС от перенапряжений на входе HS и поддерживает питание ОЗУ при уложенной на рычаг трубке, сохраняя тем самым последний набранный номер. Минимальное напряжение, которое необходимо для удержания номера в ОЗУ составляет 1,0 В.

Особенностью большинства зарубежных ИС ЭНН является то, что они имеют встроенный по питанию стабилизатор с номинальным напряжением стабилизации 3,0 В. Анод стабилизатора имеет отдельный вывод OVS. Поэтому, для обеспечения питания ИС достаточно подать напряжение на вход U с линии или с

разговорного узла через резистор, обеспечивающий номинальный ток стабилизации $I_{ст.}$, значение которого для ряда микросхем НН приведено в таблице 2.7. Вывод OVS следует подключить на корпус.

Наличие отдельного вывода анода стабилитрона позволяет в ряде случаев восстановить работоспособность ИС. Это возможно, если пробитый накоротко стабилитрон шунтирует питание ИС. Отключив вывод анода от корпуса, необходимо обеспечить ИС напряжением питания порядка 3 В от внешнего стабилитрона.

Выход ИК имеет защиту от переаппражений. С выхода ИК на землю включен стабилитрон (на рис 2.2 не показан), напряжение стабилизации которого $U_{заш.}$ для некоторых типов ИС приведено в таблице 2.7.

В связи с отличиями схемотехники ТА зарубежного и отечественного производства, кратко рассмотренными в главе 1, целесообразно также рассмотреть структуру и принцип работы базовой отечественной микросхемы КР1008ВЖ1 (рис. 2.6), которую производят на з-де "ЭКСИТОН" в г. Павловский Посад и на з-де "ГРАВИТОН" в г. Черновцы.

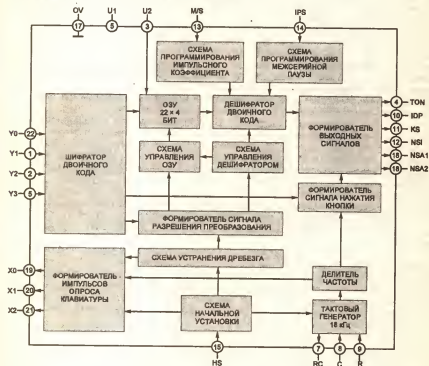


Рис. 2.5. Структурная схема ИС НН КР1008ВЖ1.

При подаче напряжения питания схема начальной установки устанавливает все триггеры микросхемы в исходное состояние, после чего формирует сигнал, отключающий генератор. При нажатии на одну из кнопок клавиатуры включается тактовый генератор с частотой 18 кГц, и формирователь импульсов опроса клавиатуры формирует на выводах 19, 20 и 21 последовательности импульсов с частотой 200 Гц и скважностью 3. Эти последовательности сдвинуты

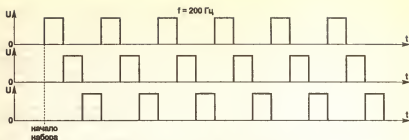


Рис. 2.6. Временная диаграмма сигналов на выводах подключения клавиатуры ИС 8NN KP1008BЖ1.

по фазе относительно друг друга (рис. 2.6). При нажатии кнопки одна из последовательностей поступает на соответствующий вход микросхемы (22, 1, 2, 5), преобразуется в двоичный код и поступает в оперативное запоминающее устройство (ОЗУ). Схема устранения дребезга устраняет дребезг и анализирует истинность нажатия кнопки (время замыкания не менее 10 мс и сопротивление замыкания не более 1 кОм). При истинном нажатии формирователь сигнала разрешения преобразования формирует сигнал разрешения преобразования и разрешает запись двоичного кода цифры в ОЗУ. Одновременно срабатывает схема управления дешифратором, и дешифратор двоичного кода преобразует код, поступающий со схемы программирования межсерийной паузы во временной интервал, соответствующий длительности межсерийной паузы.

По окончании этого интервала в схеме управления дешифратором формируется сигнал разрешения считывания из ОЗУ кода набранного числа. Этот код, поступив в дешифратор двоичного кода, также преобразуется во временной интервал. На время этого интервала снимается удержание с триггеров формирователя выходных сигналов и на "логическом" выходе NS1 микросхемы появляется последовательность импульсов частотой 10 Гц. Число импульсов соответствует номеру нажатой кнопки. Скважность импульсов соответствует двоичному коду, поступающему со схемы программирования импульсного коэффициента. После обработки набранной цифры тактовый генератор отключается.

Временные диаграммы выходов микросхемы KP1008BЖ1 приведены на рис. 2.8.

На выводе 4 (TON) микросхема формирует серии импульсов частотой 2,4 кГц и длительностью 50 мс при каждом истинном нажатии кнопки (момент времени t_1 и t_2 на рис 2.8). После заполнения ОЗУ (22 нажатия) при нажатии любой кнопки на этом выводе появляется непрерывный сигнал с указанной частотой. Этот вывод используется для формирования сигнала нажатия кнопки и подается непосредственно на пьезоэлектрический излучатель типа ЗП-3, ЗП-5 и т. п., или на вход усилителя приёма.

На выводе 10 (IDP) формируются положительные импульсы длительностью межсерийной паузы.

На выводе 11 (KS) "ключ подпитки" на период следования импульсов набора устанавливается "высокий" уровень, обеспечивающий, при необходимости подпитку ОЗУ микросхемы.

В микросхеме есть два выхода "разговорный ключ" - вывод 16 (NSA1) и вывод 18 (NSA2). На выводе 16 на протяжении всего набора номера удерживается "низкий" уровень, а на выводе 18 "низкий" уровень удерживается только на период следования импульсов набора. Использование выхода NSA2 предпочтительнее, поскольку позволяет в течение межсерийной паузы прослушивать линию. Если произойдет сбой, Вы услышите гудок и не будете дожидаться окончания набора всего номера.

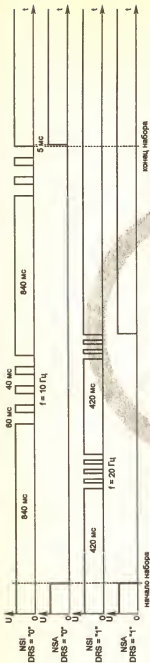


Рис. 2.7. Временные диаграммы выходов микросхемы ЭНН KS5805A.

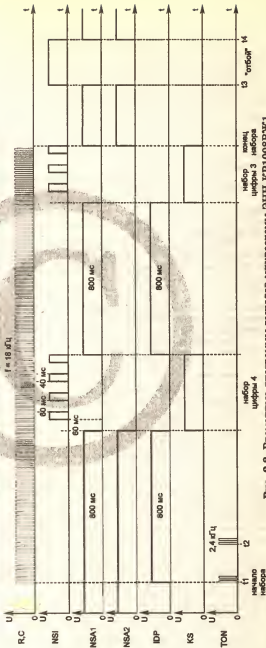


Рис. 2.8. Временные диаграммы выходов микросхемы ЭНН KS1008BЖ1.

Микросхема приводится в исходное состояние нажатием кнопки "*" ("отбой") или подачи на вход HS (вывод 15) напряжения "высокого" уровня. Следует отметить, что все микросхемы номеронабирателей, как отечественного, так и зарубежного производства приводятся в исходное состояние при подаче на вход HS "высокого" уровня. Кнопка "*" в большинстве импортных телефонах используется для повторного набора номера.

В микросхеме KP1008BЖ1 для повторного набора номера используется кнопка "*", которую после снятия режима "отбой" необходимо кратковременно нажать. Если кнопка "*" нажата после любой цифровой кнопки, то по обработке цифры, соответствующей этой кнопке, межсерийная пауза будет увеличена на 2,6 с. Это можно использовать при наборе междугородного номера, где для подключения к междугородней телефонной станции необходима увеличенная пауза.

Во многих зарубежных ТА кнопка "*" часто используется для отключения микрофона и ни к одному из выводов микросхемы не подключена.

Плюс напряжения питания микросхемы (от 2,5 до 5,0 В) подаётся на вывод 6 (U1). Вывод 17 (OV) соединяется с общим проводом (корпус). Через вывод 3 (U2) осуществляется подпитка O3V в дежурном режиме (когда трубка лежит на аппарате).

ИС KP1008BЖ1 позволяет изменять длительность межсерийной паузы и значение импульсного коэффициента. Изменение этих параметров осуществляется изменением управляющих воздействий на входах схемы программирования межсерийной паузы (M/S) и схемы программирования импульсного коэффициента (IPS). Значения этих параметров приведены в табл. 2.2.

Табл. 2.2. Программирование величины межсерийной паузы и импульсного коэффициента ИС KP1008BЖ1.

Программирование величины импульсного коэффициента		Программирование величины межсерийной паузы	
Соединить вывод 13 (M/S)	Величина импульсного коэффициента	Соединить вывод 14 (IPS)	Величина межсерийной паузы, мс
с выводом 8 (C)	2,3	с выводом 8 (C)	640
с выводом 6 (U)	2,0	с выводом 6 (U)	740
с выводом 17 (OV)	1,5	с выводом 17 (OV)	840
с выводом 9 (R)	1,0		

Сравнивая структурные схемы ИС KS5805A и ИС KP1008BЖ1 несложно заметить, что их функциональное построение сходно. И, если не затрагивать отличий в частотах тактовых генераторов, сигналах управления клавиатурой, и разных функционально-сервисных возможностях, которые и во многих зарубежных микросхемах разные, то можно выделить лишь одно принципиальное отличие - микросхема KP1008BЖ1 предназначена для работы только совместно с разговорным ключом. Попробуем это объяснить.

Если сравнивать временные диаграммы выходов разговорного ключа (NSA) (рис. 2.7 и 2.8), то нетрудно заметить, что до набора и после набора номера у обеих микросхем "высокий" уровень. Во время прохождения импульсов набора - "низкий". Следовательно, логика работы выходов разговорного ключа у обеих микросхем одинакова. На выходе импульсного ключа (NSI) до набора номера у микросхемы KP1008BЖ1 - "низкий" уровень, а у микросхемы KS5805A - "высокий". Это принципиальное отличие, так как "низкий" уровень удерживает ИК схемы в закрытом состоянии и он не может использоваться для коммутации разговорного узла, как в схеме на рис. 1.15. Как это отличие обойти при замене микросхем описано в разделе 5.2. Импульсы набора как первая, так и вторая микросхема формирует "низкого" уровня, т. е. низкий уровень на выходе NSI микросхемы во время набора номера размыкает линию, а "высокий" - замыкает. Причём это характерно для всех микросхем ЭНН.

2.3. ИС ЭНН К145ИК8П

ИС К145ИК8П является одной из первых отечественных ИС ЭНН со встроенным ОЗУ на 20 цифр и в настоящее время в телефонах больше не устанавливается. Но в эксплуатации находятся ещё много ТА, в которых она используется в качестве номеронабирателя как самостоятельно (в простейших ТА с ЭНН), так и совместно с ИС К145ИК11П и К561РУ2 (в ТА, обеспечивающих хранение номеров постоянных абонентов). Работу этих микросхем Вы можете рассмотреть на примере схем телефонов VEF TA-12 и VEF TA-32 в главе 4.

Цоколёвка ИС К145ИК8П приведена на рис. 2.12,б, назначение выводов в табл. 2.3.

Табл. 2.3. Назначение выводов микросхемы К145ИК8П.

Вывод ИС	Обозначение	Назначение	Примечание
1	U	Питание	$U = 6 + 12 В$
2	HV	Вход "Начальная установка"	Логическая "1" устанавливает в исходное состояние все узлы ИС.
3	#	Вход "Кнопка "Отбой #"	Логический "0" вызывает появление логической "1" на выходах NSA и OK и логического "0" на выходе NSI.
4	OK	Выход "Ключ отбоя"	На время нажатия кнопки "Отбой" устанавливается логическая "1", что может быть использовано для обеспечения напряжения питания при разомкнутой линии АТС.
5	NSA	Выход "Разговорный ключ"	Логический "0" вызывает подключение разговорных приборов ТА для прослушивания сигналов АТС, логическая "1" - отключение разговорных приборов во время набора номера.
6	ГИ	Выход "Пуск внешнего генератора"	Логическая "1" производит запуск внешнего генератора, если используется отдельный генератор для синхронизации работы ИС.
7	*	Вход "Кнопка повтора *"	Логический "0" вызывает повторный набор ранее набранного номера из ОЗУ ИС.
8	ПГ	Вход "Пуск генератора импульсов от ЗУ"	Логическая "1" вызывает включение внутреннего генератора импульсов.
9	RC	Вход "Общая точка RC генератора".	Выводы для подключения времязадающих элементов внутреннего генератора импульсов.
10	R	Выход "Резистор R генератора".	
11	C	Выход "12,8 кГц, точка C генератора".	

Вывод ИС	Обозначение	Назначение	Примечание
12	БК	Вход "Блокировка кодо-преобразователя"	Логический "0" запрещает работу делителя частоты на 5 и счётчика кодопреобразователя. Такой режим необходим для форсированной выборки содержимого сдвиговых регистров ОЗУ при одновременной подаче последовательности импульсов на вход СЧ.
18	10/20	Вход "Установка частоты набора 10/20 Гц"	Логическая "1" устанавливает набор номера частотой 10 Гц, а логический 0 - 20 Гц.
14	F/128	Выход "7-й разряд делителя частоты"	При работе генератора с частотой F на выводах 14, 15 и 16 - выход частоты F/128, F/64 и F/8 соответственно.
15	F/64	Выход "6-й разряд делителя частоты"	
16	F/8	Выход "8-й разряд делителя частоты"	
17	БС	Выход "Блокировка считывания ЗУ"	Логический "0" сигнализирует о динамическом режиме работы сдвиговых регистров ОЗУ.
18	БЗ	Вход "Блокировка записи в ОЗУ"	Логический "0" запрещает запись поступающей в ОЗУ информации. Такой режим используется при совместной работе с ИС K145ИК11П.
19	NSI	Выход "Импульсный ключ"	Логический 0 вызывает размыкание линии АТС, а логическая "1" - замыкание.
20	СЧ	Вход "Считывание ОЗУ"	Логическая "1" включает динамический режим работы сдвиговых регистров в ОЗУ.
21	OV	Общий	
22	8	Выход "Запись ЗУ "8"	При каждом нажатии на цифровые кнопки появляется двоичный код нажатой кнопки в импульсном виде.
25	4	Выход "Запись ЗУ "4"	
32	2	Выход "Запись ЗУ "2"	
35	1	Выход "Запись ЗУ "1"	
23	8	Вход "Кнопка "8"	Вывод подключения цифровой кнопки.
24	0	Вход "Кнопка "0"	
26	4	Вход "Кнопка "4"	
27	6	Вход "Кнопка "6"	
28	7	Вход "Кнопка "7"	
29	2	Вход "Кнопка "2"	
30	9	Вход "Кнопка "9"	
31	5	Вход "Кнопка "5"	
33	1	Вход "Кнопка "1"	
34	3	Вход "Кнопка "3"	

Выход ИС	Обозначение	Назначение	Примечание
36	BT	Вход "Блокировка тастатуры"	Логическая "1" запрещает работу цифровых кнопок клавиатуры.
37	1	Вход "Считывание ЗУ "1"	Предназначены для совместной работы с ИС K145ИК11П и K561PY2 Информация поступает в импульсном виде на входы считывания.
38	2	Вход "Считывание ЗУ "2"	
39	4	Вход "Считывание ЗУ "3"	
40	8	Вход "Считывание ЗУ "8"	

2.4. ИС ЭНН КР1008ВЖ2

ИС КР1008ВЖ2 предназначена для использования в ТА с расширенными функциональными возможностями. Цоколевка ИС КР1008ВЖ2 приведена на рис. 2.12,а, назначение выводов в табл. 2.4. Пример подключения ИС КР1008ВЖ2 совместно со схемой управления индикацией КР1008ВЖ3 и внешним ОЗУ (КР537РУ2А) приведён на рис. 2.9.

Табл. 2.4. Назначение выводов ИС КР1008ВЖ2.

Выход ИС	Обозначение	Назначение
1	RC	Вход генератора.
2	R	Выход генератора. R – 270к.
3	C	Выход генератора. C – 47 пФ.
4	MK	Выход "Задержка". Служит для управления схемой индикации. В исходном состоянии "низкий" уровень. Выход переходит в состояние "высокого" уровня на время нажатия кнопки, набора номера, а также после выбора адреса в режиме записи или чтения.
5	HS	Вход "Отбой". При подаче "высокого" уровня запускается тактовый генератор на 0,25 с и схема переводится в исходное состояние. "Низкий" уровень разрешает работу микросхемы.
6	HSG	Вход "Гарантированный отбой". При подаче "высокого" уровня минимальное время отбоя по входу HS становится равным 0,8 с.
7	X2	Выходы клавиатурные. В исходном состоянии на выходах "высокий" уровень. При нажатии на любую кнопку клавиатуры на этих выходах появляются последовательности импульсов со скважностью 4, сдвинутые по фазе относительно друг друга.
8	X1	
9	X0	
10	X4	Выходы клавиатурные. В исходном состоянии на выходах "низкий" уровень. Служат для установки режимов, выбираемых замыканием этих выводов на клавиатурные входы.
11	X3	

Вывод ИС	Обозначение	Назначение
12	Y7	Входы клавиатурные. На клавиатурные входы поступают импульсы с выходов X0, X1 и X2 во время нажатия кнопки набора номера или программирования.
13	Y6	
14	Y5	
15	Y4	
16	Y3	
17	Y2	
18	Y1	
19	Y0	
20	NSA	Выход "Разговорный ключ".
21	NSI	Выход "Импульсный ключ".
22	CH	Вход "Просмотр ЗУ".
23	D0	Выходы информационные. На выходах D0, D1, D2 и D3 формируется двоичный код цифры во время её набора в линию АТС.
25	D1	
26	D2	
27	D3	
24	OV	Общий.
28	DW	Выход информационный в ЗУ. В режиме записи в ЗУ формируется последовательный код записываемой цифры.
29	MOM	Вход - "Режим внешнего ЗУ". Подачей "высокого" уровня программируется работа с ЗУ ёмкостью 1 К, "низкого" - 2 К.
30	CS3/A9	Выходы адресные. В режиме 1 К - осуществляют выбор адреса во внешнем ЗУ. В режиме 2 К формируют импульсы выбора ячеек в ЗУ.
31	CS2/A10	
33	CS4/A8	
32	CS1	Выход адресный. На выходе формируются импульсы выбора ячеек в ЗУ.
34	A7	Выходы адресные. На выходах формируется двоичный код выбора адреса в ЗУ.
35	A6	
36	A5	
37	A4	
38	A3	
39	A2	
40	A0	
41	A1	
42	DR	Вход информации из ЗУ. В режиме считывания на вход поступает информация в последовательном коде из внешнего ЗУ.
43	SR	Выход "Сброс". При выборе адреса в режиме работы с ЗУ на выходе формируется импульс сброса длительностью 16 мс для схемы управления индикации.
44	EWR	Выход запись/чтение. После выбора адреса в режиме запись/чтение формируется "высокий" уровень.
45	WRM	Вход запись/чтение. Подачей "высокого" уровня программируется режим чтения из ЗУ, подачей "низкого" - режим записи.
46	TON	Выход сигнала нажатия кнопки. На время нажатия кнопки клавиатуры формируется сигнал частотой 512 Гц и скважностью 2.
47	WI	Вход "Прерывание". При подаче "высокого" уровня запускается генератор на время 0,25 с.
48	U	Питание. U = 2,5 + 5 В.

Табл. 2.5. Программирование параметров импульсов набора ИС КР1008ВЖ2.

Замыкание выводов между собой	Частота набора, Гц	Импульсный коэффициент	Межсерийная пауза
нет	10	1,5	8Т набора
10, 19	16	1,5	8Т набора
10, 18	20	1,5	8Т набора
10, 18, 19	600	1,5	8Т набора
10, 17	10	1,6	8Т набора
10, 16	10	1,0	8Т набора
10, 16, 17	10	2,0	8Т набора
10, 15	10	1,5	4Т набора
10, 14	10	1,5	6Т набора
10, 14, 15	10	1,5	10Т набора

Рассмотрим работу схемы, приведённой на рис. 2.9.

Схема электронного номеронабирателя с помощью ИС КР1008ВЖ2 обеспечивает формирование импульсов набора номера и управление запоминающим устройством.

На выходе импульсного ключа (NSI) (вывод 21) DD1 формируются серии импульсов, соответствующие нажатым цифровым кнопкам номеронабирателя, а на выходе разговорного ключа (NSA) (вывод 20) формируется "низкий" уровень на время следования каждой серии импульсов. Указанные сигналы обеспечивают работу электронных импульсного и разговорного ключей, в качестве которых могут использоваться токовые ключи КР1014КТ1А(В).

При уложенной на аппарат микрофонной трубке или же при нажатой кнопке # ("отбой") ИС DD1 заблокирована подачей на вход HS (вывод 5) напряжения логической "1". В этом состоянии схемы набор номера невозможен. При снятии микрофонной трубки на выходе NSI формируется импульс занятия АТС длительностью около 250 мс.

Запоминающее устройство, состоящее из ИС КР537ПУ2А ёмкостью 4096 бит, управляется ИС DD1 и обеспечивает запись и хранение информации о 40 двенадцатизначных номерах, а также выдачу сигналов на DD1 в режиме чтения информации.

При нажатии кнопки ∇ ИС DD1 устанавливается в режим записи и выбора адреса 3У вследствие подачи напряжения логического "0" на вход WRM DD1 (вывод 45). Выбор адреса производится последовательным нажатием одной из кнопок А, В, С или D и одной из цифровых кнопок, в результате чего 3У переводится в режим записи подачей напряжения логической "1" с выхода EWR (вывод 44) DD1. На адресных выходах А0 + А10 при этом устанавливается комбинация уровней сигналов, соответствующая выбранной ячейке 3У. При записи информации в выбранную ячейку 3У на выходе DW (вывод 28) DD1 формируется последовательный код нажатой кнопки.

При "низком" уровне на выходе EX (вывод 7) DD4 происходит обнуление ОЗУ при его переполнении, при "высоком" уровне обнуления не происходит.

Работа схемы в режиме набора запрограммированного номера происходит следующим образом. При выборе адреса в режиме чтения информация, записанная по этому адресу, с выхода D0 (вывод 7) DD3 поступает на вход DR (вывод 42) DD1. При записи в 3У и при чтении информации из 3У на выходах D0 + D3 (выводы 23, 25, 26, 27) DD1 появляются сигналы в параллельном коде, которые поступают на ИС управления индикацией КР1008ВЖ3 и используется для индикации номера телефона. В режиме "Просмотр 3У" на вход CH (вывод 22) DD1

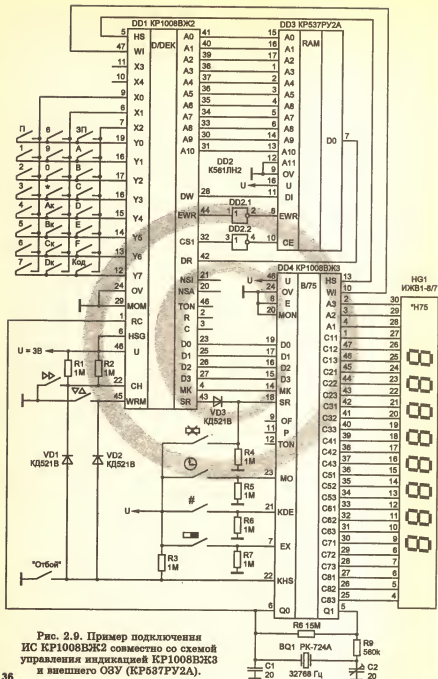


Рис. 2.9. Пример подключения ИС КР1008ВЖ2 совместно со схемой управления индикацией КР1008ВЖ3 и внешнего ОЗУ (КР537РУ2А).

при нажатии кнопки \gg подается напряжение логического "0".

Схема индикации с программатором событий включает в себя микросхему управления индикацией DD4 и восьмизнарядный семисегментный жидкокристаллический индикатор HG1, управляемый четырёхуровневыми сигналами. ИС DD4 работает от кварцевого генератора BQ1 частотой 32768 Гц. Существует четыре основных режима работы ИС KP1008BЖЗ. Режим выбирается схемой управления при подаче на входы микросхемы KHS (вывод 22) и MO (вывод 23) логического уровня в соответствии с табл. 2.6.

Логический уровень "1" на входе KHS соответствует уложенной на рычаг аппарата телефонной трубке.

Табл. 2.6. Режимы работы ИС KP1008BЖЗ.

Логический уровень		Режим
KHS	MO	
1	0	Текущее время.
1	1	Установка часов и минут текущего времени.
0	1	Время разговора.
0	0	Номер телефона.

ИС KP1008BЖЗ имеет программно - временное устройство, позволяющее программировать до 40 событий на разное время суток. С этой целью на выходе WI (вывод 10) в начале каждой текущей минуты формируется импульс длительностью около 500 мс. Этот импульс подается на вход WI (вывод

47) DD1, в результате чего производится опрос всего содержимого ЗУ путём последовательного просмотра всех адресов.

Информация из ЗУ поступает на вход DR (вывод 42) DD1, преобразуется и в параллельном четырёхбитном коде поступает на входы D0 + D3 (выводы 15, 16, 17, 19) DD4. ИС KP1008BЖЗ осуществляет преобразование поступившей информации и сравнение её с информацией текущего времени. При совпадении информации запрограммированного события с текущим временем на индикаторе HG1 отображаются в первом разряде символы событий "С" или "Н", в последующих разрядах - номер запрограммированного события или же номер телефона. Одновременно с выхода TON (вывод 12) DD4 появляется сигнал звуковой частоты, предупреждающий абонента о наступлении одного из запрограммированных событий. Этот сигнал можно подать на пьезокерамический преобразователь типа ЗП-3, ЗП-5 через импульсный усилитель, в качестве которого можно использовать инвертор ИС K561ЛН2. Выключение сигнала производится либо вручную при нажатии абонентом кнопки \otimes ("Сброс"), либо автоматически через 40 с.

Вход MON (вывод 20) DD4 предназначен для выбора режима работы ИС со светодиодным индикатором или с жидкокристаллическим.

Выход OF и вход E DD4 предназначены для наращивания разрядности индикатора при подключении двух ИС KP1008BЖЗ. При этом вывод 9 соединяется с выводом 8.

Выход P (вывод 11) DD4 предназначен для управления внешним устройством.

2.5. ХАРАКТЕРИСТИКИ МИКРОСХЕМ ЭЛЕКТРОННОГО НАБОРА НОМЕРА

В таблицах 2.7 и 2.8 приведены основные параметры ряда зарубежных и отечественных микросхем ЭНН, наиболее часто применяемых в ТА.

Сокращения принятые в таблицах:

Илк. защ. - предельное напряжение внутреннего защитного стабилитрона ИС, установленного на выходе ИК (прочерк означает отсутствие защиты).

Исм. ст. - ток внутреннего источника опорного напряжения питания ИС, равного 3 В. Максимальный ток стабилитрона - 7 + 10 мА. При этом токе на-

прижение на стабилизаторе может достигать 5,5 В (прочерк означает отсутствие внутреннего стабилизатора).

Истат. - ток, потребляемый микросхемой в статическом режиме.

Идин. - ток, потребляемый микросхемой в динамическом режиме (во время набора номера).

Напряжение питания практически всех ИС ЭНН составляет 2,5 + 5,5 В. Параметры **Истат.** и **Идин.** даны для $U = 3$ В, ненагруженных выходов ИС и отключении общем выводе внутреннего источника опорного напряжения, если он имеется. Знаком "*" помечены те параметры, которые даны для $U = 5$ В.

ОЗУ, знаков - количество знаков последнего набранного номера, которое может быть сохранено.

Доп. **ОЗУ** - для ИС, имеющих дополнительную память. Количество номеров, которое может быть сохранено и вызвано посредством функциональных клавиш (прочерк означает отсутствие дополнительной памяти). Количество знаков в номере, как правило, не соответствует количеству знаков, запоминаемых в последнем набранном номере. В большинстве ИС ЭНН количество знаков номера в дополнительной памяти не превышает 16.

Тип выхода - схемотехническое решение организации выхода импульсного (ИК) и разговорного (РК) ключей.

ОС - выход с открытым стоком (рис. 2.1,а).

Л - логический выход (рис. 2.1,е).

Л1 - логический выход РК, формирующий низкий уровень на весь период набора номера (пример - рис. 2.21, ИС КР1008ВЖ10).

Л2 - логический выход РК, формирующий низкий уровень на период набора одного знака (пример - рис. 2.20 ИС КР1008ВЖ12).

Л3 - логический выход РК, формирующий высокий уровень на весь период набора номера (пример - рис. 2.19 ИС КР1008ВЖ17).

M/S - значение импульсного коэффициента в зависимости от логического состояния входа **M/S** ("0" или "1").

IPS - значение длительности межсерийной паузы в мс в зависимости от логического состояния входа **IPS**.

DRS - значение частоты набора в Гц в зависимости от логического состояния входа **DRS**.

MODE - режим работы микросхемы "P" - импульсный, "T" - частотный, в зависимости от логического состояния на входе.

Если в графе "выходные параметры ИК при логическом состоянии входа" приведено одно значение, то в этой ИС отсутствует вход управления данным параметром и он в микросхеме жестко определен (прочерк означает отсутствие данного режима).

На рис. 2.10 + 2.13 приведены доколёвки микросхем как зарубежного, так и отечественного производства.

На рис. 2.18 приведены схемы подключения времязадающих элементов генератора ИС ЭНН. Кварцевый резонатор на частоту 3,579545 МГц, который используется в большинстве зарубежных ИС ЭНН, применяется в декодерах цветных телевизоров системы NTSC, вследствие чего получил большое распространение и является самым недорогим из стандартных кварцевых резонаторов.

На рис. 2.19 + 2.21 приведены временные диаграммы выходов импульсного (NSI) и разговорного (NSA) ключей микросхем ЭНН. Различия выходных сигналов определяются отнюдь не страной - производителем, а принципом построения ИС для ее использования в той или иной схеме.

Табл. 2.7. Характеристики микросхем номеронабирателей.

Тип ИС	Номер рис.	Номер рис. ген-ра	Кол-во выводов	Унк. защ. В	Июн.ст. мА	Истат. мкА	Идин. мкА
					При U = 3 В		
CIC9102E	2.10,с	2.18,р	18	7,5	—	12	12
CIC9104E	2.10,е	2.18,р	16	7,5	—	12	12
CIC9145E	2.13,б	2.18,я	22	—	—	0,2*	600*
CIC9192BE	2.10,з	2.18,а	16	25	0,12	25	40
ET40982	2.10,д	2.18,з,и	16	22	0,8	40	110
ET40992	2.10,а	2.18,а	18	22	0,8	25	40
FT58C51	2.10,а	2.18,б	18	17	0,7	0,1	19
HD970040D	2.10,д	2.18,з,и	16	22	0,8	35	100
HD970019-L	2.10,з	2.18,ж	16	—	—	45	550
HM9100A1	2.10,а	2.18,а	18	25	0,6	15	35
HM9100B	2.10,ж	2.18,с	16	28	—	15	35
HM9102	2.11,а	2.18,н	18	—	—	10	300
HM9110D	2.11,а	2.18,н	18	—	—	15	350
HM9112A	2.13,б	2.18,я	22	—	—	0,2*	600*
HM9113A	2.13,б	2.18,я	22	—	—	0,2*	600*
HM9121	2.13,а	2.18,п	28	—	—	10	400
HM91650B	2.13,с	2.18,ж	22	—	—	0,4*	1200*
HM9187	2.10,з	2.18,ж	16	—	—	0,5	600
HT9102F	2.11,е	2.18,я	18	—	—	0,5	400
HT9115B	2.13,с	2.18,ж	22	—	—	0,4*	1200*
KS5804	2.10,д	2.18,и	16	22	0,8	20	100
KS5805A	2.10,а	2.18,а	18	30	0,5	20	35
KS5805B	2.10,б	2.18,а	18	30	—	0,5	20
KS58C05	2.10,а	2.18,а	18	3,6	0,7	0,5	20
KS58006	2.11,а	2.18,н	18	—	—	10	100
KS5820	2.11,а	2.18,н	18	—	—	0,5	200
KS58C20N	2.11,а	2.18,н	18	—	—	0,5	200
KS5851	2.10,а	2.18,б	18	17	0,7	0,1	20
KS5853	2.10,ж	2.18,з	16	28	—	0,2	20
LC7350	2.11,б	2.18,н	18	—	—	3	100
LR40981A	2.10,д	2.18,з,и	16	25	0,7	50	90
LR40992	2.11,а	2.18,а	18	30	0,5	20	35
LR40993	2.10,б	2.18,а	18	30	—	0,5	20
M2561AB	2.11,б	2.18,з	18	—	—	3	105
MC145412P	2.11,д	2.18,н	18	—	—	5	120
MK50981	2.10,д	2.18,з,и	16	22	0,7	30	100
MK5092N	2.10,з	2.18,ж	16	—	—	45	550
MK50992N	2.10,а	2.18,а	18	30	0,5	20	35
MK50993	2.10,б	2.18,а	18	30	—	0,5	20
MK5173AN	2.10,д	2.18,з,и	18	22	0,8	40	100

Тип ИС	Номер рис.	Номер рис. ген-ра	Кол-во выво- дов	Унк. защ. В	Изн.ст. мА	Истат. мкА	Идин. мкА
					При U = 3 В		
S2560A	2.11,б	2.18,з	18	—	—	0,3	300
S25610	2.11,б	2.18,з	18	—	—	0,3	300
S7210A	2.10,и	2.18,л	16	—	—	3	80
STC52560C	2.11,б	2.18,з	18	—	—	0,2	200
T40992	2.10,а	2.18,а	18	30	0,5	20	35
T40993	2.10,б	2.18,а	18	30	—	0,5	20
TC31006P	2.11,з	2.18,к	18	—	—	170	170
TR50981AN	2.10,д	2.18,з,и	16	22	0,8	40	110
UM91210C	2.11,а	2.18,н	18	—	—	0,2	190
UM91260C	2.11,а	2.18,к	18	15	—	60	180
UM9151	2.10,с	2.18,р	18	7,5	—	12	12
UM9151-3	2.10,е	2.18,р	16	7,5	—	12	12
UM91610A	2.11,с	2.18,с	18	—	—	3	90
UM91611	2.11,б	2.18,з	18	—	—	3	105
VT91611	2.11,б	2.18,з	18	—	—	3	105
VT9145	2.13,б	2.18,л	22	—	—	0,2*	500*
W9145	2.13,б	2.18,л	22	—	—	0,2*	600*
WE9102	2.10,с	2.18,р	18	7,5	—	12	12
WE9104	2.10,е	2.18,р	16	7,5	—	12	12
WE9110	2.11,б	2.18,з	18	—	—	3	95
WE9192B	2.10,з	2.18,а	16	25	0,12	25	40
K145ИК8П	2.12,б	4.2	40	—	—	150*	300*
KP1002ХЛ2	2.12,ж	2.18,с	16	—	—	0,5	10
KP1008ВЖ1	2.11,ж	2.18,т,у	22	—	—	3	50
KP1008ВЖ2	2.12,а	2.18,ж	48	—	—	25	60
KP1008ВЖ5	2.11,з	2.18,е	22	—	—	2	15
KP1008ВЖ6	2.11,и	2.18,о	22	—	—	30	100
KP1008ВЖ7	2.11,з	2.18,е	22	—	—	2	15
KP1008ВЖ10	2.10,а	2.18,б	18	17	0,7	0,1	20
KP1008ВЖ11	2.10,а	2.18,а	18	30	0,5	20	35
KC1008ВЖ12	2.12,з	2.18,д	18	—	—	60	175
KP1008ВЖ14	2.10,з	2.18,а	16	25	0,12	25	40
KP1008ВЖ15	2.12,е	2.18,а	16	25	0,12	25	40
KP1008ВЖ16	2.11,а	2.18,н	18	—	—	10	100
KP1008ВЖ17	2.10,е	2.18,р	16	7,5	—	12	12
KP1064ВЖ5	2.11,з	2.18,е	22	—	—	2	15
KP1064ВЖ7	2.11,з	2.18,е	22	—	—	2	15
KP1083ВЖ3	2.12,д	2.18,т,у	20	—	—	3	50
KP1089ВЖ1	2.12,с	2.18,е	24	—	—	2	20
KP1089ВЖ2	2.12,с	2.18,е	24	—	—	2	20
KP1091ВЖ1	2.11,а	2.18,к	18	15	—	60	180

Табл. 2.8. Характеристики микросхем номеронабирателей.

Тип ИС	ОЗУ зна- ков	Доп. ОЗУ номе- ров	Тип выхода		Выходные параметры ИК ИС при логическом состоянии входов							
					M/S		IPS		DRS		MODE	
			ИК	РК	0	1	0	1	0	1	0	1
CIC9102E	22	-	ОС	Л3	1,5	2,0	800	400	10		P	
CIC9104E	22	-	ОС	Л3	1,5	2,0	800		10		P	
CIC9145E	31	14	Л	Л2	2,0	1,5	800		10		T	P
CIC9192BE	17	-	ОС	ОС	1,5		800		10		P	
ET40982	17	-	ОС	ОС	2,0	1,5	820		10		P	
ET40992	17	-	ОС	ОС	1,5	2,0	800		10	20	P	
FT58C51	32	-	ОС	ОС	1,5	2,0	800		10	20	P	
HD970040D	17	-	ОС	ОС	2,0	1,5	820		10		P	
HD970019-L	22	-	Л	Л	-		-		-		T	
HM9100A1	17	-	ОС	ОС	1,5	2,0	800		10	20	P	
HM9100B	17	-	ОС	ОС	1,5	2,0	800		10		P	
HM9102	22	-	ОС	ОС	1,5	2,0	800		10		T	P
HM9110D	22	10	ОС	ОС	1,5	2,0	800		10		T	P
HM9112A	31	13	Л	Л2	2,0	1,5	800		10		T	P
HM9113A	31	13	Л	Л2	2,0	1,5	800		10		T	P
HM9121	22	20	Л	Л2	1,5	2,0	800		10		T	P
HM91650B	32	14	Л	ОС	1,5		800		10		T	P
HM9187	22	-	Л	Л	-		-		-		T	
HT9102F	22	-	Л	Л1	1,5		800		10		T	P
HT9115B	32	14	Л	ОС	1,5		800		10		T	P
KS5804	17	-	ОС	ОС	2,0	1,5	820		10		P	
KS5805A	17	-	ОС	ОС	1,5	2,0	800		10	20	P	
KS5805B	17	-	ОС	ОС	1,5	2,0	800		10	20	P	
KS58C05	17	-	ОС	ОС	1,5	2,0	800		10	20	P	
KS58006	32	-	ОС	ОС	1,5	2,0	800		10		T	P
KS58C20N	22	-	ОС	ОС	1,5	2,0	830		10		T	P
KS5851	32	-	ОС	ОС	1,5	2,0	800		10	20	P	
KS5853	17	-	ОС	ОС	1,5	2,0	800		10		P	
LC7350	22	10	ОС	ОС	2,0	1,5	800	400	10	20	P	
LR40981A	17	-	ОС	ОС	2,0	1,5	820		10		P	
LR40992	17	-	ОС	ОС	1,5	2,0	800		10	20	P	
LR40993	17	-	ОС	ОС	1,5	2,0	800		10	20	P	
M2561AB	22	-	Л	Л1	2,0	1,5	800	400	10	20	P	
MC145412P	22	-	Л	Л2	1,5		800		10		T	P
MK50981	17	-	ОС	ОС	2,0	1,5	820		10		P	
MK5092N	22	-	Л	Л	-		-		-		T	
MK50992N	17	-	ОС	ОС	1,5	2,0	800		10	20	P	
MK50993	17	-	ОС	ОС	1,5	2,0	800		10	20	P	

Тип ИС	ОЗУ зна- ков	Доп. ОЗУ номе- ров	Тип выхода		Выходные параметры ИК ИС при логическом состоянии входов							
					M/S		IPS		DRS		MODE	
			ИК	РК	0	1	0	1	0	1	0	1
MK5173AN	17	-	OC	OC	2,0	1,5	820		10		P	
S2560A	22	-	Л	Л1	2,0	1,5	800	400	10	20	P	
S25610	22	10	Л	Л1	2,0	1,5	800	400	10	20	P	
S7210A	22	10	OC	OC	2,0	1,5	800		10	20	P	
STC52560C	22	10	Л	Л2	2,0	1,5	800		10	20	P	
T40992	17	-	OC	OC	1,5	2,0	800		10	20	P	
T40993	17	-	OC	OC	1,5	2,0	800		10	20	P	
TC31006P	20	-	Л	Л1	2,0	1,5	600		10	20	P	
TR50581AN	17	-	OC	OC	2,0	1,5	820		10		P	
UM91210C	22	-	OC	OC	1,5	2,0	790		10		T	P
UM91260C	22	-	OC	OC	1,5	2,0	790		10		T	P
UM9151	22	-	OC	Л3	1,5	2,0	740	560	10		P	
UM9151-8	22	-	OC	Л3	1,5	2,0	740	560	10		P	
UM91610A	22	10	Л	Л1	2,0	1,5	800		10	20	P	
UM91611	22	10	Л	Л2	2,0	1,5	800		10	20	P	
VT91611	22	10	Л	Л2	2,0	1,5	800		10	20	P	
VT9145	31	14	Л	Л2	2,0	1,5	800		10		T	P
W9145	31	14	Л	Л2	2,0	1,5	800		10		T	P
WE9102	22	-	OC	Л3	1,5	2,0	740	560	10		P	
WE9104	22	-	OC	Л3	1,5	2,0	740	560	10		P	
WE9110	22	10	Л	Л2	2,0	1,5	800		10	20	P	
WE9192B	17	-	OC	OC	1,5		800		10		P	
KP1002XL2	31	-	Л	Л1	1,5		800		10		P	
KP1008BЖ1	22	-	Л	Л	1,5	2,0	800	700	10		P	
KP1008BЖ5	22	10	Л	Л2	1,5	1,6	700	800	10	20	P	
KP1008BЖ6	22	-	Л	Л2	2,0	1,5	800		10		T	P
KP1008BЖ7	22	-	Л	Л2	1,5	1,6	700	800	10	20	P	
KP1008BЖ10	32	-	OC	OC	1,5	2,0	800		10	20	P	
KP1008BЖ11	17	-	OC	OC	1,5	2,0	800		10	20	P	
KC1008BЖ12	22	-	Л	Л2	2,0	1,5	800	400	10	20	P	
KP1008BЖ14	17	-	OC	OC	1,5		800		10		P	
KP1008BЖ15	17	-	OC	OC	1,5		800		10	20	P	
KP1008BЖ16	32	-	OC	OC	1,5	2,0	800		10		T	P
KP1008BЖ17	22	-	OC	Л3	1,5	2,0	740	560	10		P	
KP1064BЖ5	22	10	Л	Л2	1,5	1,6	700	800	10	20	P	
KP1064BЖ7	22	10	Л	Л2	1,5	1,6	700	800	10	20	P	
KP1083BЖ3	22	-	Л	Л	1,5	2,0	800	700	10		P	
KP1089BЖ1	22	10	Л	Л2	1,5	1,6	700	800	10	20	P	
KP1089BЖ2	22	-	Л	Л	1,5	1,6	700	800	10		P	

2.6. НАЗНАЧЕНИЕ ВЫВОДОВ МИКРОСХЕМ НОМЕРОНАБИРАТЕЛЕЙ

C	- вывод подключения RC - цепи генератора;
DRSA	- дополнительный вход программирования частоты набора;
DRS	- вход программирования частоты набора;
IDP	- выход межцифровой паузы;
IPS	- вход программирования длительности межцифровой паузы;
HF	- вход управления режимом "HANDSFREE";
HFN	- выход управления режимом "HANDSFREE";
HS	- вход "отбой" (рычажный переключатель);
KS	- выход "ключ подпитки";
MO	- выход индикации способа набора;
MODE	- вход выбора способа набора (импульсным или DTMF);
M/S	- вход программирования импульсного коэффициента;
MUTE	- маскирование микрофона;
NSA	- выход разговорного ключа;
NSA1	- выход разговорного ключа 1;
NSA2	- выход разговорного ключа 2;
NSI	- выход импульсного ключа;
OSC1	- вывод подключения кварцевого резонатора генератора;
OSC2	- вывод подключения кварцевого резонатора генератора;
OV	- общий вывод (корпус);
OVS	- общий вывод источника опорного напряжения;
R	- вывод подключения RC - цепи генератора;
R1	- вывод подключения RC - цепи генератора;
R2	- вывод подключения RC - цепи генератора;
RC	- вывод подключения RC - цепи генератора;
ST	- вход режима управления памятью;
STL	- выход индикации режима управления памятью;
TEST	- вход тестирования микросхемы;
TON	- выход звукового подтверждения нажатия клавиши;
TONE	- выход двухтонального многочастотного сигнала (DTMF);
U	- напряжение питания;
U1	- напряжение питания;
U2	- напряжение питания O3V;
X0 + X4	- координаты клавиатурных входов;
Y0 + Y7	- координаты клавиатурных входов.

ИС HT9102F при "высоком" или "низком" логическом уровне на входе MODE (вывод 14), находится соответственно в импульсном (10 Гц) или частотном режиме набора номера. Если же этот вход находится в неподключенном состоянии, то набор номера осуществляется в импульсном режиме с частотой 20 Гц.

Микросхемы TC31006P и MV4320 имеют дополнительный вход выбора частоты набора - DRSA. Значение частоты набора в табл. 2.8 приведено при "низком" уровне на входе DRSA. Если на этот вход подать "высокий" уровень, то частота на выходе NSI увеличится в 16 раз.

Вход TEST в ИС ЭНН используется в процессе производства микросхемы для перевода в режим тестирования. При подключении в ТА на вход TEST необходимо подать "высокий" уровень или оставить его неподключенным.

На выходе TONE присутствует двухчастотный код (DTMF) при нажатой кнопке на наборном поле. Исключение представляет только ИС KP1008BЖ6, у

которой фиксирована длительность двухчастотной посылки (50 мс). ИС должна при этом находиться в режиме частотного набора номера ("высокий" уровень на входе MODE).

Выход MUTE предназначен для блокирования микрофона в режиме частотного набора номера. На этом выходе появляется высокий уровень при нажатой кнопке набора номера. В микросхемах HM91850D, HT9115B и HT9102F выход MUTE отсутствует и в режиме набора номера частотным кодом при нажатии кнопки на наборном поле на выходе NSA появляется "низкий" уровень.

В исходном состоянии входы HF и ST не подключены. На выходах HFN и STL - "низкий" уровень.

Вход HF (HANDS FREE) предназначен для перевода ИС в режим управления "громкой связью" путем кратковременной подачи на этот вход "высокого" уровня. При этом на выходе HFN устанавливается "высокий" уровень, который переводит схему телефона в режим "громкой связи". Причём перевести ИС в режим "громкой связи" можно независимо от того, какой уровень на входе HS. В этом режиме можно осуществлять набор номера при любом уровне на входе HS. При повторной подаче на вход HF "высокого" уровня (или уровня, противоположного тому, который присутствовал на входе HS) на выходе HFN восстанавливается "низкий" уровень.

Вход ST предназначен для перевода ИС в режим управления памятью путем кратковременной подачи на этот вход "низкого" уровня. При этом на выходе STL устанавливается "высокий" уровень. В этом режиме при нажатии кнопок клавиатуры набора номера не происходит, но набранный номер заносится в ОЗУ микросхемы. При повторной подаче на вход ST "низкого" уровня (или "высокого" уровня на вход HS) на выходе STL восстанавливается "низкий" уровень и разрешается набор номера.

2.7. НАЗНАЧЕНИЕ КНОПОК КЛАВИАТУРЫ В ТА С ДОПОЛНИТЕЛЬНЫМИ ФУНКЦИОНАЛЬНЫМИ ВОЗМОЖНОСТЯМИ

На рис. 2.14 + 2.17 приведены схемы подключения клавиатуры в ИС ЭНН с дополнительными функциональными возможностями. Рассмотрим назначение дополнительных кнопок.

A, B, C и D - кнопки заказа дополнительных услуг на ЭАТС в частотном режиме набора номера.

M1, M2, M3 и M4 - кнопки прямого доступа к дополнительной памяти. Обычно на телефонах их обозначают как FIRE, POLICE, DOCTOR и SAVE.

FLASH - кнопка нормированного обрыва линии. При нажатии на эту кнопку на выходе NSI появляется низкий уровень на время 600 мс. Фактически это кнопка "отбой".

PAUSE - если эта кнопка нажата после любой цифровой кнопки, то по обработке цифры, соответствующей этой кнопке, межсерийная пауза будет увеличена на 3 с.

REDIAL - кнопка повтора последнего набранного номера. Её нужно нажимать после снятия режима "отбой". Если она нажата во время набора номера после любой цифровой кнопки, то будет выполнена функция кнопки PAUSE.

STORE - кнопка записи номера в дополнительную память.

AUTO - кнопка вызова номера из дополнительной памяти. На некоторых ТА эта кнопка имеет обозначение RECALL.

P/T - кнопка переключения в режим частотного (TONE) набора номера. Для возврата в режим импульсного (PULSE) набора номера необходимо нажать рычажный переключатель или кнопку FLASH.

2.8. ПОРЯДОК ПРОГРАММИРОВАНИЯ ИС ЭНН С ДОПОЛНИТЕЛЬНОЙ ПАМЯТЬЮ НА 10 НОМЕРОВ

Отбой - (*) и (#) одновременно.

Повтор - (#), (#).

Стирание номера из ячейки памяти N ($N=0\dots9$) - (*), (#), (*), (N).

Запись номера в память.

- 1) Снять трубку.
- 2) Нажать кнопку (*).
- 3) Набрать номер телефона (например, 495-27-74).
- 4) Нажать кнопку (*).
- 5) Нажать цифру на клавиатуре (0...9).

Выбор номера из памяти.

- 1) Снять трубку.
- 2) Нажать кнопку (#).
- 3) Нажать цифру на клавиатуре, под которой хранится номер в ОЗУ.

2.9. ПОРЯДОК ПРОГРАММИРОВАНИЯ ИС ЭНН С ДОПОЛНИТЕЛЬНОЙ ПАМЯТЬЮ БОЛЕЕ 10 НОМЕРОВ

Запись номера в память.

- 1) Снять трубку.
- 2) Нажать кнопку STORE.
- 3) Набрать номер телефона (например, 495-27-74).
- 4) Нажать кнопку STORE.
- 5) Нажать цифру на клавиатуре (0...9) или одну из дополнительных кнопок (FIRE, POLICE, DOCTOR, или SAVE), предназначенных для хранения номеров в ОЗУ.

Выбор номера из памяти (вариант 1).

- 1) Снять трубку.
- 2) Нажать одну из дополнительных кнопок, под которой хранится номер в ОЗУ.

Выбор номера из памяти (вариант 2).

- 1) Снять трубку.
- 2) Нажать кнопку AUTO (RECALL).
- 3) Нажать цифру на клавиатуре (0...9).

2.10. ПОРЯДОК РАБОТЫ С ПАМЯТЬЮ ОТЕЧЕСТВЕННОЙ ИС КР1008ВЖ5

(#)	отбой
(*), (*)	повтор последнего набранного номера
(*), (#), (#), (N), "запоминаемый номер", (#), (#)	занесение первого номера в ячейку памяти N ($N=0\dots9$)
(*), (#), (#), (N), (#), "запоминаемый номер", (#), (#)	занесение второго номера в ячейку памяти N
(*), (#), (#), (*), (#), (N)	полная очистка ячейки памяти N
(*), (N)	набор первого номера из ячейки памяти N
(*), (#), (N)	набор второго номера из ячейки памяти N

1	U		NSI	16
2	OVS	X/Y	HS	17
3	X0		Y0	18
4	X1		Y1	15
5	X2		Y2	14
6	OV		Y3	13
7	R1		NSA	12
8	C		M/S	11
9	R2		DRS	10

a)

ET40992 KS5851
 FT58C51 LR40992
 HM9100A1 MK50992N
 KS5805A T40992
 KS58C05 KP1008BK10
 KS58D05 KP1008BK11

1	U		NSI	16
2	TON	X/Y	HS	17
3	X0		Y0	18
4	X1		Y1	15
5	X2		Y2	14
6	OV		Y3	13
7	R1		NSA	12
8	C		M/S	11
9	R2		DRS	10

б)

CIC9193 KS5805B
 LR40993 MK50993
 T40993

1	U2		Y0	16
2	Y1	X/Y	X2	17
3	Y2		X1	18
4	Y3		X0	15
5	U1		OV	14
6	RC		NSA	13
7	C		HS	12
8	R		IPS	11
9	NSI		M/S	10

в)

CIC9102E UM9151
 WE9102

1	U		NSI	16
2	OVS	X/Y	HS	15
3	X0		Y0	14
4	X1		Y1	13
5	X2		Y2	12
6	OV		Y3	11
7	R1		NSA	10
8	C		R2	9

г)

CIC9192BE
 WE9192B
 KP1008BK14

1	U		NSI	16
2	OVS	X/Y	HS	15
3	X0		Y0	14
4	X1		Y1	13
5	X2		Y2	12
6	OV		Y3	11
7	OSC1		NSA	10
8	OSC2		M/S	9

д)

ET40992 MK5173AN
 HD970040D MK50991
 KS5804 TR50981AN
 LR40981A

1	Y0		X2	16
2	Y1	X/Y	X1	15
3	Y2		X0	14
4	Y3		NSA	13
5	U		OV	12
6	RC		HS	11
7	C		M/S	10
8	R		NSI	9

е)

CIC9104E
 FT9151-3
 UM9151-3
 WE9104
 KP1008BK17

1	U		NSI	16
2	X0	X/Y	HS	15
3	X1		Y0	14
4	X2		Y1	13
5	OV		Y2	12
6	R1		Y3	11
7	C		NSA	10
8	R2		M/S	9

ж)

HM9100B
 KS5853

1	U		TON	16
2	DSBL	X/Y	HS	15
3	X0		Y0	14
4	X1		Y1	13
5	X2		Y2	12
6	OV		Y3	11
7	OSC1		MUTE	10
8	OSC2		X3	9

з)

HM9167 MK5085
 KS5808 MK5089
 MK5092N HD970019-L

1	Y0		X2	16
2	Y1	X/Y	X1	15
3	Y2		X0	14
4	Y3		NSA	13
5	HS		OV	12
6	OSC1		NSI	11
7	OSC2		M/S	10
8	U		DRS	9

и)

S7210A

Рис. 2.10. Цоколёвки ИС ЭНН.

1	Y0		X3	16
2	Y1	X/Y	X2	17
3	Y2		X1	18
4	Y3		X0	15
5	HS		NSI	14
6	M/S		NSA	13
7	MODE		TONE	12
8	OSC1		OV	11
9	OSC2		U	10

a)

HM9102 UM91210C
 HM9110D UM91260C
 KS58006 KP1008BЖ16
 KS5820 KP1091BЖ1
 KS58C20N

1	Y3		X2	16
2	Y0	X/Y	X1	17
3	Y1		X0	18
4	Y2		IPS	15
5	HS		DRS	14
6	R1		U	13
7	C		M/S	12
8	R2		NSA	11
9	NSI		OV	10

б)

LC7350 WE9110
 M2561AB STC52560C
 UM91611 S2560A
 VT91611 S25610

1	Y3		X2	16
2	Y0	X/Y	X1	17
3	Y1		X0	18
4	Y2		TON	15
5	HS		DRS	14
6	R1		U	13
7	C		M/S	12
8	R2		NSA	11
9	NSI		OV	10

в)

UM91610A

1	U		TON	16
2	NSI	X/Y	Y3	17
3	NSA		Y2	18
4	M/S		Y1	15
5	DRSA		Y0	14
6	DRS		X2	13
7	HS		X1	12
8	OSC1		X0	11
9	OSC2		OV	10

г)

MV4320
 TC31006P

1	U		TONE	16
2	X3	X/Y	NSI	17
3	X0		Y0	18
4	X1		Y1	15
5	X2		Y2	14
6	OV		Y3	13
7	TON		HS	12
8	OSC1		NSA	11
9	OSC2		MODE	10

д)

MC145412P

1	X0		Y3	16
2	X1	X/Y	Y2	17
3	X2		Y1	18
4	X3		Y0	15
5	TON		MODE	14
6	OSC1		TONE	13
7	OSC2		NSI	12
8	NSA		HS	11
9	OV		U	10

е)

HT9102F

1	Y1		Y0	22
2	Y2	X/Y	X2	21
3	U2		X1	20
4	TON		X0	19
5	Y3		NSA2	18
6	U1		OV	17
7	RC		NSA1	16
8	C		HS	15
9	R		IPS	14
10	IDP		M/S	13
11	KS		NSI	12

ж)

KP1006BЖ1

1	Y1		Y0	22
2	Y2	X/Y	X2	21
3	U		X1	20
4	TON		X0	19
5	Y3		NSA	18
6	HS		OV	17
7	RC		X	16
8	C		DRS	15
9	R		IPS	14
10	TEST		M/S	13
11	X		NSI	12

з)

KP1006BЖ5 KP1064BЖ5
 KP1008BЖ7 KP1064BЖ7

1	Y1		Y0	22
2	Y2	X/Y	X3	21
3	Y3		X2	20
4	Y4		X1	19
5	M/S		X0	18
6	HS		NSI	17
7	MODE		NSA	16
8	TON		OV	15
9	OSC1		U	14
10	OSC2		TONE	13
11	MO		MUTE	12

и)

KP1006BЖ6

Рис. 2.11. Цоколёвки ИС ЭНН.

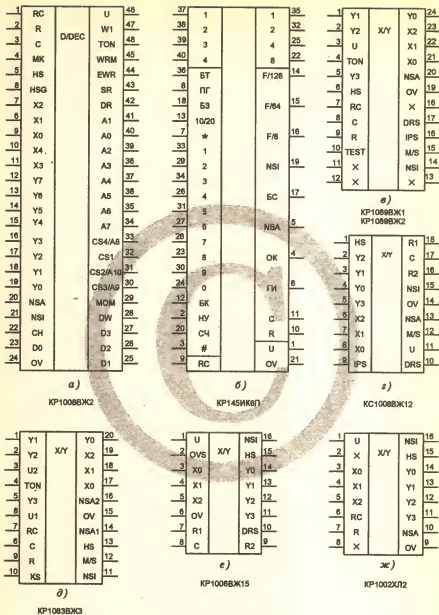


Рис. 2.12. Цоколевки ИС ЭНН.

1	X7		X8	28
2	ST	X/Y	X5	27
3	Y0		X4	26
4	Y1		X3	25
5	Y4		X2	24
6	Y2		X1	23
7	Y3		X0	22
8	HS		NSI	21
9	M/S		NSA	20
10	HF		TON	19
11	MODE		TON	18
12	OSC1		STL	17
13	OSC2		HFN	16
14	U		OV	15

а)

HM9121

1	X0		Y4	22
2	X1	X/Y	Y3	21
3	X2		Y2	20
4	X3		Y1	19
5	OV		Y0	18
6	OSC1		U	17
7	OSC2		M/S	16
8	NSA		TEST	15
9	HS		MODE	14
10	NSI		MUTE	13
11	TON		TON	12

б)

CIC9145E VT9145
HM9112A W9145
HM9113A

1	ST		STL	22
2	X0	X/Y	Y3	21
3	X1		Y2	20
4	X2		Y1	19
5	X3		Y0	18
6	X4		MODE	17
7	OSC1		TON	16
8	OSC2		NSI	15
9	NSA		HS	14
10	OV		U	13
11	HF		HFN	12

в)

HM91650B
HT9115B

Рис. 2.13. Цоколёвки ИС ЭНН.

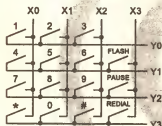


Рис. 2.14. Подключение клавиатуры ИС KP1008BЖ16.

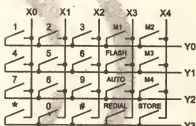


Рис. 2.15. Подключение клавиатуры ИС HM91650D и HT9115B.

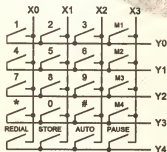


Рис. 2.16. Подключение клавиатуры ИС CIC9145E, VT9145 и W9145.

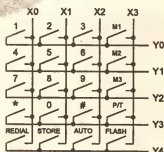


Рис. 2.17. Подключение клавиатуры ИС HM9112A и HM9113A.



a)

CIC912BE
ET40992
HM9100A1
LR40992
LR40993

MKS0992H
MK50993
KS5805A
KS5805B

KS58C05
KS58C05
T40992
T40993

WE9182B
KP1008BK11
KP1008BK14
KP1008BK15



б)

FT58C51
KS5851
KP1008BK10



в)

HM9100B
HM91810A R2=390k



г)

KS5853
M2551AB
ST55250C
S2550A

S25610
UM91911
VT91611
WE9110



д)

KC1008BK12



е)

KP1008BK5
KP1008BK7
KP1064BK3
KP1064BK7
KP1099BK1
KP1099BK2



ж)

KP1008BK2



з)

ET40982
HD970040D
KS5804
LR40981A

MKS0981
MK5173AN
TP50981N



и)

ET40982
HD970040D
KS5804
LR40981A

MKS0981
MK5173AN
TP50981N



к)

MV4320
TC31008P
UM91280C
KP1091BK1



л)

CIC9145E
HM9112A
HT9102F

ST210A
VT9145
WB145



м)

HD970019-L
HM9187
HM91850B
HT9115B

MKS085
MK5092H
KS360N
TC35300AP



н)

HM9102
HM9110D
KS5820
KS58C20N

LC7360
MC145412P
UM91210C
KP1008BK19



о)

LC7383
KP1008BK6



п)

HM9121



р)

CIC9102E
CIC9104E
FT9161-3
KP1008BK17

UM9151
UM9151-3
WE9102
WE9104



с)

KP1002X12



т)

KP1008BK1
KP1063BK3



у)

KP1008BK1
KP1063BK3

Рис. 2.18. Подключение времязадающих элементов генераторов ИС ЭНН.

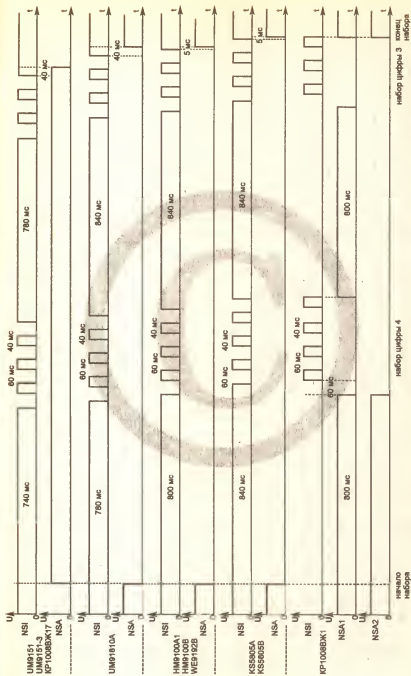


Рис. 2.19. Временные диаграммы выходов импульсного (NSI) и разговорного (NSA) ключей ИС ЭНН.

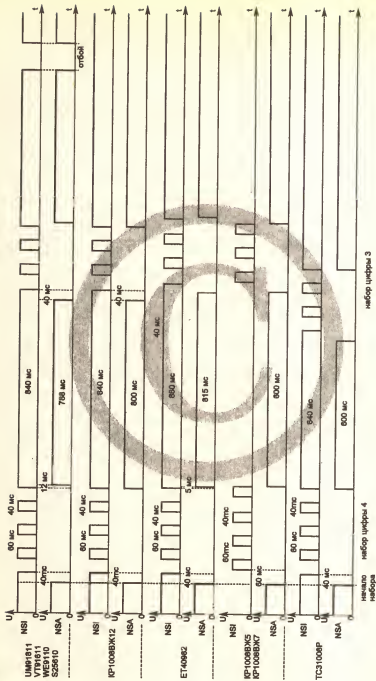


Рис. 2.20. Временные диаграммы выходов импульсного (NSI) и разговорного (NSA) ключей ИС ЭНН.

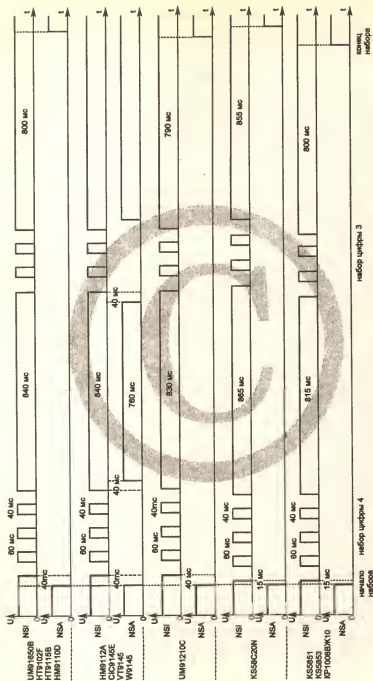


Рис. 2.21. Временные диаграммы выходов импульсного (NSI) и разговорного (NSA) ключей ИС ЭНН.

3. РАЗНОВИДНОСТИ И ОСОБЕННОСТИ СХЕМ УЗЛОВ ТА

Рассмотрим работу отдельных узлов ТА, их схемное построение, разновидности и особенности работы.

3.1. ВЫЗЫВНОЕ УСТРОЙСТВО (ВУ)

Схема ВУ, применяемая в большинстве недорогих импортных ТА, приведена на рис. 3.1. Выключатель SA1 предназначен для отключения звонка. Конденсатор C1 является разделительным для постоянного тока линии. Его сопротивление переменному сигналу индукторного вызова составляет 12 кОм.

Схема представляет собой мультивибратор, который работает на частоте резонанса пьезоэлектрического излучателя порядка 3,5 кГц.

Пьезоэлектрический излучатель представляет собой металлическую пластину "В", на которой размещен кристалл искусственного пьезоэлектрика (диоксид кремния). Внешняя поверхность кристалла металлизирована двумя контактными плоскостями "R" и "G". Если приложить напряжение между пластиной "В" и одной из плоскостей металлизации - "R", то кристалл будет деформироваться и, тем самым, создавать звуковые колебания. Упругие колебания кристалла в свою очередь генерируют напряжение на границах кристалла (на плоскости металлизации - "G").

ВУ работает следующим образом.

Напряжение положительного полупериода вызывного сигнала через конденсатор C1 и резистор R1, являющийся коллекторной нагрузкой транзистора VT1, прикладывается к обкладкам "В" - "R" пьезоэлектрика, что приводит к деформации последнего и излучению звукового сигнала, усиливаемого металлической мембраной (обкладкой) - "В".

Деформация пьезоэлектрика, вызванная приложенным к обкладкам "В" - "R" напряжением, вызывает появление напряжения положительной полярности между обкладками "В" - "G". Через резистор R3, ограничивающий ток базы, это напряжение прикладывается к эмиттерному переходу VT1 и открывает его. Открытый транзистор шунтирует обкладки "В" - "R", что приводит к уменьшению приложенного к ним напряжения и, как следствие, обратной деформации пьезоэлектрика.

Обратная деформация пьезоэлектрика вызывает появление напряжения отрицательной полярности между обкладками "В" - "G", которое через резистор R3 прикладывается к переходу эмиттер - база транзистора VT1 и запирает его.

Закрытый транзистор обладает большим сопротивлением, вследствие чего практически все напряжение вызывного сигнала вновь прикладывается к обкладкам "В" - "R" пьезоэлектрика и вновь вызывает его деформацию, появление положительного напряжения, открытие транзистора, т.е. процесс повторяется.

Таким образом, на протяжении положительного полупериода вызывного сигнала АТС частотой 25 Гц, возникают автоколебания с резонансной частотой пьезоэлектрика равной приблизительно 3,5 кГц. Отрицательный полупериод вызывного сигнала запирает транзистор и автоколебания прекращаются.

Резистор R2 устанавливает начальное смещение на базе транзистора VT1.

Следует отметить, что номиналы конденсатора C1 и сопротивлений R1 + R3 могут отличаться от приведенных на схеме, так как в определенных пределах не оказывают существенного влияния на ее работу.

При замене транзистора VT1 на транзистор структуры p-n-p схема будет работать аналогично, с тем лишь отличием, что автоколебания будут возникать во время отрицательного полупериода вызывного сигнала.

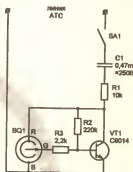


Рис. 3.1. Схема простейшего ВУ.

Если на входе вызывного устройства установить диодный мост VD1 + VD4 (рис. 3.2), то генератор будет работать при обенх полупериодах вызывного сигнала, что приведет к увеличению громкости звучания. Стабилитрон VD5 с напряжением стабилизации порядка $36 + 47$ В устраняет подзвонку пьезоэлектрического излучателя при наборе номера, т.к. для величины напряжения коммутации линии он представляет значительное сопротивление, в то время как для вызывного сигнала он препятствия практически не оказывает. В спаренном телефоне это устраняет непрерывное пощелкивание.

Необходимо убедиться в том, что пластина пьезоэлектрического излучателя не стеснена (сжата) элементами её крепления или другими деталями ТА, что может привести к снижению громкости ВУ.

Увеличить громкость пьезоизлучателя можно также путём увеличения площади центрального электрода "G" в 2 + 3 раза, сделав прорезь на металлизированной поверхности электрода "R" и соединив отделённую часть с электродом "G".

В отечественных ТА в качестве ВУ часто используется схема на специализированной ИС КР1008ВЖ4, которую производит кондери "РОДОН" в г. Ивано-Франковске. Микросхема позволяет воспроизводить три различные мелодии вызывного сигнала с соотношениями частот: 5/6; 4/5; 4/6/5.

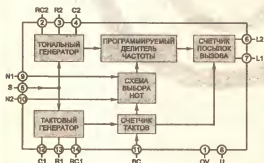
Основные электрические параметры ИС КР1008ВЖ4:

-напряжение питания $U_{cc} = 6 + 15$ В.

-ток потребления I_{cc} - не более 50 мкА (при $U_{cc} = 6$ В),

- не более 100 мкА (при $U_{cc} = 15$ В).

Микросхема требует внимательного обращения, так как допустимое значение статического потенциала составляет 30 В.



фазные сигналы. Вход S (вывод 5) при этом необходимо подключить к нулевой шине питания ИС. При соединении его с положительной шиной (вывод 8) максимальная громкость вызывного сигнала будет присутствовать во всех посылках.

ИС обеспечивает подавление импульсных помех по входу BC длительно-стью менее 250 мс.

Табл. 3.1. Назначение выводов микросхемы KP1008ВЖ4.

Вывод ИС	Обозначение	Назначение
1	OV	Общий вывод.
2	RC2	Вход подключения времязадающих элементов тонального генератора.
3	R2	Вход подключения резистора, задающего частоту тонального генератора.
4	C2	Вход подключения конденсатора, задающего частоту тонального генератора.
5	S	Вход управления уровнем громкости посылок вызова.
6	L2	Выход звуковой частоты.
7	L1	Выход звуковой частоты.
8	U	Напряжение питания.
9	N1	Вход программирования мелодии вызывного сигнала.
10	N2	Вход программирования мелодии вызывного сигнала.
11	BC	Вход разрешения запуска.
12	C1	Вход подключения конденсатора, задающего частоту тактового генератора.
13	R1	Вход подключения резистора, задающего частоту тактового генератора.
14	RC1	Вход подключения времязадающих элементов тактового генератора.

Табл. 3.2. Программирование мелодии вызывного сигнала.

Логический уровень на входах		Порядок чередования коэффициентов
N1 (вывод 9)	N2 (вывод 10)	
0	0	Начальная установка
0	1	20/24
1	0	24/30
1	1	20/30/24

Рассмотрим работу ВУ по схеме, приведенной на рис. 3.4.

Сигнал вызова абонента через ограничивающий резистор R1 и разделительный для постоянного тока линии конденсатор C1 поступает на диодный мост VD1 + VD4.

Выпрямленный сигнал ограничивается стабилитроном VD6 до величины 10 В и через диод VD7 поступает на вход питания ИС (вывод 8). Светодиод VD5 не является обязательным элементом схемы и предназначен для оптического дублирования вызывного сигнала.

Наличие напряжения "высокого" уровня на выводе 11 ИС разрешает запуск тонального и тактового генераторов.

Интегрирующая цепь R6, C6 в момент прихода первого вызывного сигнала формирует "низкий" уровень на выводе 10 ИС, осуществляя этим начальную установку микросхемы.

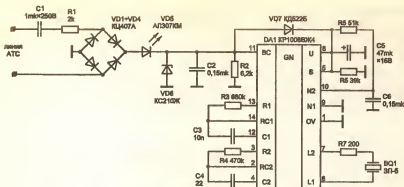


Рис. 3.4. Схема вызывного устройства на ИС KP1008BЖ4.

По окончании зарядки конденсатора C6 на выводах 9 и 10 ИС устанавливается код (N1 - "0", N2 - "1"). Этот код соответствует выбору коэффициентов деления 24 и 20 (см. табл. 3.2) программируемого делителя частоты, который будет изменять их с частотой тактового генератора (10 Гц), формируя на выводах 6 и 7 ИС два чередующихся сигнала с соотношением частот 5/6. При номиналах, указанных в схеме опорная частота тонального генератора равна 51 кГц.

Подключенный к выводам 6 и 7 ИС пьезоэлектрический излучатель сформирует двухтональный сигнал вызова.

По окончании первой послышки вызывного сигнала диод VD7 запирается, что предотвращает разряд конденсатора C5, поддерживающего питание ИС до следующей послышки. Время между двумя последовательными послышками вызова составляет 4 с.

По окончании вызывного сигнала конденсатор C5 разряжается через резистор R5. Конденсатор C2 защищает ВУ от импульсных помех.

Схема, приведенная на рис. 3.5, позволяет изменять код на входах N1 и N2 в соответствии с таблицей 3.2, выбирая переключателями SA1 и SA2 тональ-

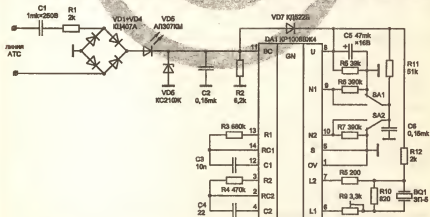


Рис. 3.5. Схема ВУ на ИС KP1008BЖ4 с программированием мелодии вызывного сигнала и ступенчатым нарастанием уровня громкости.

ность вызывного сигнала. Схема включения нагрузки позволяет также обеспечить ступенчатое нарастание уровня громкости. Общий уровень громкости регулируется потенциометром R9.

В настоящее время АО "СВЕТЛАНА" в г. С-Петербурге выпускает специализированную микросхему вызывного устройства КР1064ПП1, структурная схема которой приведена на рис. 3.6, назначение выводов в табл. 3.3. Зарубежный аналог фирмы "THOMSON" - LS1240 и LS240. Аналогичные микросхемы производят НПО "ЭЛЕКТРОНИКА" в г. Воронеже - КР1091ПТ1 и концерн "РОДОН" в г. Ивано - Франковске - КР1085ПП1.



Рис. 3.6. Структурная схема ИС КР1064ПП1.

Табл. 3.3. Назначение выводов ИС КР1064ПП1, КР1091ПТ1, КР1085ПП1.

Вывод ИС	Обозначение	Назначение
1	LN1	Вход напряжения переменного тока.
2	OV	Общий вывод.
3	C	Вывод подключения конденсатора, управляющего переключениями частот.
4	R	Вывод подключения резистора, управляющего тоном звуковой частоты.
5	OUT1	Вывод напряжения звуковой частоты.
6	OUT2	Инверсный вывод напряжения звуковой частоты.
7	U	Напряжение питания
8	LN1	Вход напряжения переменного тока.

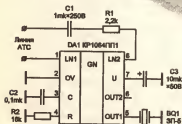


Рис. 3.7. Схема включения ИС ВУ КР1064ПП1.

управляющей переключением звуковых частот, резистор R2 определяет тон звуковой частоты. Изменение номиналов C2 и R2 в широких пределах позволяет получить на выходе сигнал близкий по звучанию сирене.

Микросхема генерирует сигнал с двумя периодически переключающимися частотами (с соотношением 1,38) и непосредственно управляет пьезоэлектрическим излучателем. Встроенный гистерезис блокирует возможность ошибочного запуска от помех в линии и импульсов номеронабирателя. Напряжение включения ИС находится в пределах $12,1 + 13,1$ В. Напряжение выключения - $7,9 + 8,9$ В. Напряжение питания $U_{cc} \leq 32$ В. Ток вызова без присоединенной нагрузки $I_{cc} \leq 1,8$ мА.

Схема включения приведена на рис. 3.7.

Конденсатор C2 устанавливает значение частоты, резистор R2 определяет тон звуковой частоты. Изменение номиналов C2 и R2 в широких пределах позволяет получить на выходе сигнал близкий по звучанию сирене.

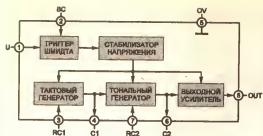


Рис. 3.8. Структурная схема ИС ВУ KP1436AP1 и её аналогов.

Микросхемы для ВУ, выпускаемые многими фирмами, можно разделить на две основные группы:

1) KP1436AP1, FT2410, KA2410, CS8204, ML8204, TA31001, DBL5001, KIA6401P, T5876H, TA3100P;

2) KP1436AP2, FT2411, KA2411, CS8205, ML8205, BA8205, TA31002P, DBL5002, CIC9106A, WTC9106.

Эти группы микросхем отличаются величиной напряжения включения и назначением входа управления (вывод 2).

Для первой группы: напряжение включения ИС находится в пределах 11,0 + 12,7 В. Напряжение выключения - 10,1 + 11,0 В. Напряжение питания $U_{cc} \leq 29$ В. Ток потребления без присоединённой нагрузки $I_{cc} \leq 2,0$ мА. Подключение управляющего входа на корпус позволяет принудительно отключить генерацию при напряжении питания равном рабочему.

Для второй группы: напряжение включения ИС находится в пределах 18,4 + 18,8 В. Напряжение выключения - 10,7 + 11,8 В. Напряжение питания $U_{cc} \leq 29$ В. Ток потребления без присоединённой нагрузки $I_{cc} \leq 1,7$ мА.

Табл. 3.4. Назначение выводов ИС ВУ KP1436AP1 и её аналогов.

Вывод ИС	Обозначение	Назначение
1	U	Напряжение питания.
2	BC	Вход управления.
3	RC1	Вход генератора низкой частоты.
4	R1	Выход генератора низкой частоты.
5	OV	Общий вывод.
6	R2	Выход генератора высокой частоты.
7	RC2	Вход генератора высокой частоты.
8	OUT	Выход напряжения звуковой частоты.

На рис. 3.9 приведён пример схемы ВУ на ИС KA2410.

Тональные частоты f_{n1} , f_{n2} и частоту переключения f_L при номиналах, указанных на схеме можно определить по следующим формулам:

$$f_{n1} = \frac{1000000}{1,515 \times R4(\text{кОм}) \times C4(\text{нФ})} = 539 \text{ (Гц)};$$

$$f_{n2} = 1,25 \times f_{n1} = 674 \text{ (Гц)};$$

$$f_L = \frac{1000}{1,234 \times R3(\text{кОм}) \times C3(\text{мФ})} = 11,5 \text{ (Гц)};$$

$$R4 = 180\text{k}; \quad C4 = 6,8\text{n};$$

$$R3 = 150\text{k}; \quad C3 = 0,47\text{mk}.$$

ТА уровень напряжения вызывного сигнала понижен (см. раздел 1.2) и при номиналах резистора R1 и конденсатора C2, приведенных в схеме, напряжение на входе U (вывод 1 DA1) за время посылки вызова (1 с) не успевает нарасти до значения 18,5 В (напряжение включения микросхемы). Чтобы обеспечить более быстрый заряд конденсатора C2 необходимо уменьшить сопротивление резистора R1 до 3 кОм и ёмкость конденсатора C2 до $1,0 + 4,7$ мкФ.

Следует отметить, что все микросхемы ВУ первой и второй группы взаимозаменяемы. Необходимо лишь учитывать, что сопротивление резистора R2 не должно быть менее 2,2 кОм, иначе микросхема не включится.

На рис. 3.12, а, б приведены схемы вызывного устройства на ИС MC34017-1P и MC34017-2P.

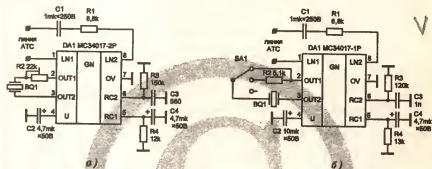


Рис. 3.12. Схемы вызывного устройства на ИС MC34017-1P и MC34017-2P.

Микросхемы генерируют три периодически переключающиеся частоты: f_1 , f_2 , f_3 . Переключение частот происходит в следующем порядке: f_1 , f_2 , f_1 , f_3 . Соотношение частот: $f_1/f_2 = 1,05$; $f_1/f_3 = 1,45$. Напряжение включения микросхем находится в пределах 27,7 + 28,7 В. Напряжение включения - 9,2 + 10,2 В. Схема на рис. 3.12, а позволяет плавно регулировать громкость звонка переменным резистором R2. Схема на рис. 3.12, б имеет три фиксированных уровня регулировки. Аналог этих микросхем - L8611.

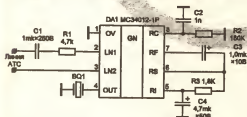


Рис. 3.13. Схема ВУ на ИС MC34012-1P.

аналогична. Для ИС MC34012-2P ёмкость конденсатора C2 = 2000 пФ.

И в заключение рассмотрим несколько вариантов схем ВУ на дискретных и логических элементах. Они могут представлять интерес для тех радиолюбителей, которым не удалось приобрести вышеперечисленные специализированные микросхемы ВУ.

ИС MC34012-1P (рис. 3.13) также содержит диодный мост, схему защиты от переходных процессов и схему управления пьезоэлектрическим преобразователем. ИС генерирует две периодически переключающиеся частоты с соотношением 1,25. Напряжение включения микросхемы - 23,5 + 25,5 В. Напряжение включения - 9,5 + 10,5 В.

Для ИС MC34012-2P и MC34012-3P схема включения



С коллектора транзистора VT2 сигнал тонального генератора подается на транзистор VT3. Здесь происходит его усиление по мощности. Для регулировки уровня громкости вызванного сигнала в коллектор транзистора VT3 последовательно с высокоомным электроакустическим преобразователем BF1 включен переменный резистор R5.

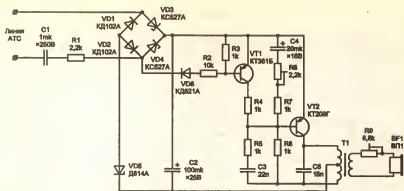


Рис. 3.15. Схема ВУ, применяемого в ТА "Уфа-82" и "Уфа-301".

На рис. 3.15 приведена схема ВУ, применяемого в ТА "Уфа-82" и "Уфа-301". Диоды VD1, VD2 и стабилитроны VD3, VD4 выпрямляют переменное напряжение вызывного сигнала. Стабилитрон VD5 выполняет функцию порогового элемента. Транзистор VT2 и трансформатор Т1 образуют тональный мультивибратор. Транзистор VT1 управляет переключением частоты мультивибратора.

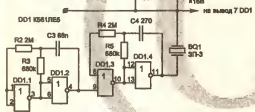


Рис. 3.16. Схема ВУ на ИС К561ЛЕ5.

мультивибраторов. Мультивибратор на логических элементах DD1.1, DD1.2 генерирует частоту порядка 15 Гц и управляет вторым мультивибратором на логических элементах DD1.3 и DD1.4, с выхода которого сигнал звуковой частоты 3,5 кГц поступает на пьезоэлектрический излучатель ЗП-3.

Схема, приведённая на рис. 3.17 аналогична предыдущей. Она состоит из одного мультивибратора на микросхеме К561ЛА7. Частоту мультивибратора можно регулировать подстроечным резистором R3.

Недостаток этих схем (рис.3.16 и 3.17) заключён в том, что у них лишь одна частота тонального генератора и отсутствует пороговая схема отключения генератора при пониженном напряжении питания.

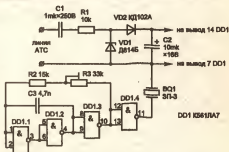


Рис. 3.17. Схема ВУ на ИС К561ЛА7.

3.2. СХЕМА "ОТБОЙ"

"Отбой" - функция, осуществляющая начальную установку микросхемы номеронабирателя в режим готовности к набору, повтору номера или к работе с внутренней памятью ИС.

Следует отметить, что у всех зарубежных и отечественных ИС ЭНН функция "отбой" осуществляется подачей "высокого" уровня на вход HS.

В соответствии с логикой работы ИС схема "отбой" обеспечивает поддержание "высокого" уровня на входе HS в дежурном режиме (когда трубка уложена на аппарат), и "низкого" уровня в разговорном режиме или при наборе номера (когда трубка снята).

"Низкий" уровень на входе HS разрешает работу ИС ЭНН, при "высоком" уровне на входе HS набор номера невозможен.

Существуют две основные разновидности схем "отбой" (рис. 3.18, 3.19). При двухпозиционном переключателе (рис. 3.18) схема "отбой" представляет собой делитель напряжения, состоящий из двух резисторов. Если переключатель SB1 находится в положении "отбой" (нижнее по схеме), к делителю приложено напряжение линии - 60 В. При указанных на схеме номиналах резисторов, с делителя на вход HS ИС подаётся напряжение 2,7 В. Если переключатель находится в положении "разговор", то через резистор R2, соединённый с нулевой шиной, на входе HS ИС поддерживается "низкий" уровень.

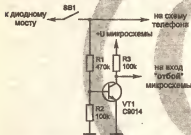


Рис. 3.19. Схема "отбой" ИС НН при однопозиционном переключателе SB1.

Следует отметить, что напряжение на входе HS ИС не может превышать напряжение питания микросхемы более чем на 0,6 В, так как этот вход соединен с входом питания ИС через встроенный диод, выполняющий функцию защиты ИС от перенапряжения на входе HS (см. рис. 2.2).

На рис. 3.19 приведена схема "отбой", с использованием однопозиционного переключателя. Когда переключатель SB1 разомкнут (находится в положении "отбой"), база транзистора VT1 через резистор R2 подключена к нулевой шине, что обеспечивает надежное запертие транзистора. Высокий уровень на входе HS ИС поддерживается напряжением питания ИС (порядка 3 В) через резистор R3. Когда переключатель SB1 замкнут (находится в положении "разговор"), ток задаваемый резистором R1 открывает транзистор VT1. Открытый транзистор подключает вход HS ИС к нулевой шине, обеспечивая на нем "низкий" уровень, разрешающий работу микросхемы.

На рис. 3.20 приведена некорректная схема "отбой", которая иногда встречается в ТА низкого класса и может стать причиной неправильной работы ТА.



Рис. 3.18. Схема "отбой" ИС НН при двухпозиционном переключателе SB1.

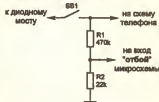


Рис. 3.20. Некорректная схема "отбой".

3.3. СХЕМА ПИТАНИЯ ИС НОМЕРОНАБИРАТЕЛЯ

Питание микросхем ЭНН осуществляется от линии АТС и обеспечивает работу ИС при наборе номера, а также в разговорном режиме. В режиме "отбой", при уложенной на рычаг трубки, схема питания ИС обеспечивает питание ОЗУ микросхемы.

Схема питания состоит из двух узлов: внутреннего и внешнего.

Внутренний узел определяется структурой построения ИС. Он может быть выполнен как с источником опорного напряжения, в простейшем случае - внутренним стабилитроном (раздел 2.2, рис. 2.2), так и без него (раздел 2.2, рис. 2.5). Значение рабочего тока стабилитрона приведено в табл. 2.7 (вн.ст.).

Внешний узел обеспечивает подачу номинального напряжения на вывод питания микросхемы (U). Построение схемы внешнего узла, как правило, зависит от наличия в ИС встроенного источника опорного напряжения.



Рис. 3.22. Схема питания ИС НН.

встроенного стабилитрона, величина которого составляет 0,1 + 1,0 мА, в зависимости от типа микросхемы (см. табл. 2.5). Конденсатор C1 поддерживает питание ИС во время следования импульсов набора. Емкость конденсатора должна быть не менее 10 мкФ. Диод VD1 предотвращает разряд конденсатора по другим цепям схемы.

Следует отметить, что резистор R1 (рис. 3.21) в некоторых случаях (если его сопротивление менее 68 кОм) может служить причиной сбоев при наборе номера из-за его шунтирующего воздействия при разомкнутом шлейфе линии.

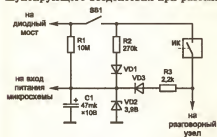


Рис. 3.24. Схема питания ИС НН.



Рис. 3.21. Схема питания ИС НН.

Если в ИС имеется внутренний стабилитрон (см. рис. 2.2), то её питание осуществляется по одной из схем, приведенных на рис. 3.21 + 3.23. На рис. 3.21 питание подается со входа импульсного ключа, а на рис. 3.22 - с его выхода. Резистор R1 в обоих случаях задаёт ток

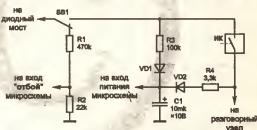


Рис. 3.23. Схема питания ИС НН совместно со схемой "отбой".

На рис. 3.23 приведена схема питания ИС НН совместно со схемой "отбой" (см. рис. 3.18). Питание на микросхему подается как со входа, так и с выхода ИК. Это обеспечивает более устойчивую работу микросхемы за счет того, что снижение тока внутреннего стабилитрона ИС через резистор R3 (при замкнутом ИК) компенсируется током через меньшее сопротивление ограничивающего резистора R4.

Если в микросхеме отсутствует встроенный источник опорного напря-

жения, то параллельно конденсатору C1 включается стабилитрон, как показано на рис. 3.24.

Способ питания ОЗУ ИС зависит от типа используемой схемы "отбой". Если схема "отбой" выполнена по схеме рис. 3.18 (рис. 3.23), то питание ОЗУ осуществляется через переключатель SB1, резистор R1 и внутренний диод ИС соединяющий вход HS со входом питания (U) (рис. 2.2).

При использовании схемы "отбой", приведенной на рис. 3.19, питание ОЗУ при уложенной на рычаг трубке обеспечивает резистор сопротивлением порядка 10 МОм, включенный между плюсовым выводом диодного моста и выводом питания ИС, как это показано на рис. 3.24.



Рис. 3.26.
КЖ101.

В схемах питания отечественных ТА часто используется микроомный кремниевый планарный р-канальный МОП-стабилитрон КС106А (рис. 3.26). Рабочий ток стабилитрона задает источник тока на стабилизаторе тока КЖ101А. Он представляет собой п-канальный МОП-транзистор с изолированным затвором и резисторами, задающими начальный ток стабилизации. Структурная электрическая схема стабилизатора тока КЖ101А представлена на рис. 3.26. Режим источника тока устанавливается подстроечным резистором R1. Номинальное сопротивление резистора R1 - 22 кОм.

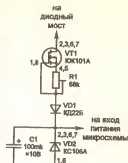


Рис. 3.25. Схема
питания отечественных
ИС НН.

Стабилизатор тока КЖ101А(Б) и стабилитрон КС106А(Б) производит з-д "ГРАВИТОН" в г. Черновцы (в корпусе типа 2101.8-1) (рис. 3.27, а, б). Стабилизатор тока в таком же корпусе, но с маркировкой МС-СТ1 и стабилитрон МС-СТ1(А) выпускает АО "ВОСХОД" в г. Калуге. На АО "СВЕТЛАНА" в г. С-Петербурге стабилитрон КС106А1 и стабилизатор тока КЖ101А1 выпускают в корпусе типа КТ-26 (ТО92) (рис. 3.27, в, г). Основные предельно допустимые и электрические параметры КЖ101 и МС-СТ1 приведены в табл. 3.5. Основные параметры стабилитронов КС106 приведены в табл. 3.6.

Табл. 3.5. Основные предельно допустимые и электрические параметры стабилизаторов тока КЖ101 и МС-СТ1.

Параметр	Стабилизатор тока	Значение
Максимальное рабочее напряжение, не более	КЖ101А, А1; МС-СТ1 КЖ101Б	75 В 120 В
Максимальное импульсное рабочее напряжение ($\tau = 1$ мс, $Q = 2$), не более	КЖ101А, А1; МС-СТ1 КЖ101Б	226 В 226 В
Начальный ток стабилизации	КЖ101А, А1 (при $U = 60$ В) КЖ101Б (при $U = 100$ В)	$100 + 160$ мкА $300 + 610$ мкА
Ток стабилизации	КЖ101А, А1 (при $U = 60$ В) КЖ101Б (при $U = 100$ В)	$80 + 130$ мкА $80 + 130$ мкА
Импульсный ток стабилизации	КЖ101А, А1, Б (при $U_{имп.} = 60$ В)	1,6 мА

Табл. 3.6. Основные предельно допустимые и электрические параметры стабилизаторов КС106 и МС-СН1(А).

Параметр	Стабилитрон	Значение
Максимально допустимый ток стабилизации, не более	КС106А, А1, В	500 мкА
Минимально допустимый ток стабилизации, не менее	КС106А, А1, В	10 мкА
Напряжение стабилизации	КС106А, А1; МС-СН1 КС106В; МС-СН1А	2,9 + 3,5 В 3,3 + 3,9 В
Дифференциальное сопротивление	КС106А, А1 КС106В	500 Ом 600 Ом

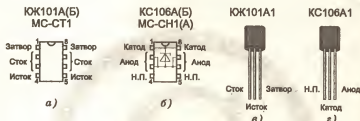


Рис. 3.27. Цоколёвка стабилизаторов тока КЖ101 и стабилитронов КС106.

НПО "ИНТЕГРАЛ" в г. Минске выпускает ИС маломощного источника питания ЭКР1436ЕП1 (зарубежный аналог TEA1080) для питания цифровых и аналоговых схем периферийных устройств телефонного аппарата. ИС использует часть избыточного тока линии, обычно отбираемого регулятором напряжения разговорной схемы. Функция снижения мощности отключает микросхему от нагрузки и уменьшает входной ток. Назначение выводов ИС ЭКР1436ЕП1 приведены в табл. 3.7, основные электрические характеристики в табл. 3.8.

Табл. 3.7. Назначение выводов ИС ЭКР1436ЕП1.

Вывод	Обозначение	Назначение
1	LN	Положительный вывод линии.
2	OV	Отрицательный вывод линии.
3	AD	Развязка усилителя.
4	PD	Выключение входа.
5	IF	Подключение входного фильтра.
6	VA	Регулировка выходного напряжения.
7	QS	Выход.
8	SP	Напряжение питания схемы блокировки.

На рис. 3.28 приведена схема включения ИС ЭКР1436ЕП1. Конденсатор С3 и резистор R1 являются элементами внешнего низкочастотного фильтра и предназначены для образования функции индуктивности совместно с внутренними элементами схемы, благодаря чему схема обладает высоким входным сопротивлением. Конденсаторы С1 и С2 предназначены для устойчивой работы схемы и ограничения искажений при высоком входном токе и большом уровне сигнала на линии. Резистор Rv предназначен для регулировки уровня выходного напряжения.

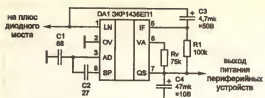


Рис. 3.28. Схема подключения ИС ЭКР1436ЕП1.

Выходное напряжение схемы можно вычислить по формуле:

$$U_o = 2 \times I_{упр.} \times R_v;$$

где $I_{упр.}$ - ток управления, типовое значение которого равно 20 мкА.

Если резистор R_v из схемы исключить, то выходное напряжение будет определяться по формуле:

$$U_o = U_{LN} - [(I_{INT} + k \times I_o) \times R_s + 0,5]$$

где k - корректирующий коэффициент, зависящий от выходного тока; $k = 1,04$ для $I_o = 1$ мА, $k = 1,08$ для $I_o = 20$ мА, $k = 1,12$ для $I_o = 30$ мА.

U_{LN} , I_{INT} , I_o и R_s - см. табл. 3.8 (R_s - внутреннее сопротивление микросхемы между выводами 1 и 8).

Табл. 3.8. Основные электрические характеристики ИС ЭКР1436ЕП1.

Параметр	Обозначение	Значение		
		мин.	тип.	макс.
Напряжение линии по постоянному току, В	U_{LN}	2,5	—	10,0
Выходное напряжение по постоянному току, В	U_o	2,0	—	9,5
Падение напряжения линия - вход, В	$U_{LN} - U_o$	—	0,5	—
Последовательное сопротивление, Ом	R_s	—	20	—
Напряжение линии по переменному току, В	$U_{LN(ск)}$	—	1,5	—
Выходной ток, мА (при $U_{LN} = 4,0$ В)	I_o	—	—	30,0
Внутренний ток потребления, мА ($U_{LN} = 4,0$ В)	I_{INT}	—	0,8	—

3.4. ЭЛЕМЕНТЫ КОММУТАЦИИ

Как правило, любой телефонный аппарат имеет два элемента коммутации:

- импульсный ключ (ИК), непосредственно формирующий при наборе номера токовые и бестоковые посылки (путём замыкания и размыкания линии), которые управляют работой коммутационных устройств АТС, осуществляющих соединение абонентов;

- разговорный ключ (РК), отключающий разговорную часть ТА от линии АТС во время набора номера.

К указанным элементам коммутации предъявляются достаточно жёсткие требования. Они должны обеспечивать:

- коммутацию постоянного напряжения 70 В при индуктивной нагрузке (обмотки реле АТС);

- коммутацию тока до 100 мА;

- выдерживать воздействие напряжения 220 В длительностью до 10 мс (в случае, когда телефонная трубка снимается во время поступления вызывного сигнала);

- требуемые параметры ТА в режиме набора номера и разговорном режиме (гл. 1.4, табл. 1.10, 1.11);

- минимальное потребление мощности по управляющей цепи.

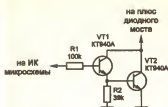


Рис. 3.29. Схема ИК, применяемая в первых моделях отечественных ТА.

В первых отечественных моделях ТА с кнопочным набором в качестве элементов коммутации использовались биполярные высоковольтные транзисторы, включенные по схеме Дарлингтона (рис. 3.29). Основное преимущество такой схемы - большое усиление по току, что позволяет снизить потребление тока управляющей цепью и соответственно микросхемой номеронабирателя. Недостаток - относительно большое падение напряжения на ключе в режиме насыщения ($1,5 + 2,0$ В).

В практических схемах ключей используются транзисторы КТ630Б, КТ683Б, КТ940А, и КТ969А.

В современных моделях отечественных ТА в качестве элементов коммутации, как правило, используется микросхема КР1014КТ1А(В). Она представляет собой токовый ключ на полевом п-канальном транзисторе с индуцированным каналом и изолированным затвором и обеспечивает:

- малое сопротивление в режиме насыщения;
- возможность работы на индуктивную нагрузку;
- практически не потребляет ток по цепи управления.

Её структурная электрическая схема приведена на рис. 3.30. Токовые ключи КР1014КТ1А(В) производят з-д "ГРАВИТОН" в г. Черновцы и з-д "ЭКСИТОН" в г. Павловский Посад (в корпусе типа 2101.8-1) (рис. 3.30,а). АО "ВОСХОД" в г. Калуге выпускает ключи в таком же корпусе, но с маркировкой МС-КН1А(В). АО "СВЕТЛАНА" в г. С-Петербурге выпускает токовый ключ КР1064КТ1А(В) с аналогичными характеристиками в корпусе типа КТ-26 (ТО-92) (рис. 3.31,б). НПО "ИНТЕГРАЛ" в г. Минске производит токовые ключи КР1501А(В) (зарубежный аналог - ZVN2120) с лучшими, чем у КР1014КТ1 характеристиками (для группы "А" $U_{ком.} = 240$ В, $I_{ком.} = 180$ мА) в корпусе КТ-26 (рис. 3.31,в). ПО "ГАММА" в г. Запорожье выпускает ключи КР1014КТ1А(В) в корпусе типа КТ-27 (ТО-126) (рис. 3.31,г).

Токовые ключи КР1014КТ1В были разработаны для управления логическими элементами ТТЛ и в настоящее время не выпускаются.

Основные предельно допустимые и электрические параметры токовых ключей приведены в табл. 3.5, цоколёвка на рис. 3.31.



Рис. 3.30. КР1014КТ1.

КР1014КТ1А(В)
МС-КН1А(В)



а)

КР1064КТ1А(В)



б)

КТ1501А(В)



в)

КР1014КТ1А(В)



г)

Рис. 3.31. Структурная схема и цоколёвка токовых ключей.

Токовые ключи группы "А" и "В" имеют отличие только по максимальному допустимому коммутируемому импульсному напряжению (при $U_{упр.} = 0$ В, $f = 50$ Гц, $Q = 2$, $t = 100$ мс) для группы "А" $U_{ком.} = 120$ В, для группы "В" $U_{ком.} = 230$ В.

Табл. 3.9. Основные параметры токовых ключей.

Параметр	Обозначение	Значение
Коммутируемый ток, не более	Iком.	110 мА
Управляющий ток (при Uупр. = 3 В), не более	Iупр.	10 мкА
Сопротивление в открытом состоянии (при Iком. = 35 мА, Uупр. = 2,5 В), не более	Rоткр.	10 Ом
Ток утечки на входе (при Uком. = 75 В, Uупр. = 0 В), не более	Iут.вт.	20 мкА
Обратное напряжение (при Iком. = 110 мА), не более	Uобр.	1,0 В
Допустимое значение статического потенциала	Uст.	500 В

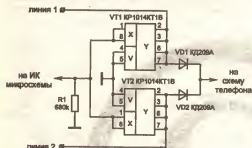


Рис. 3.32. Схема ИК на KP1014KT1B.

да. При изменении полярности напряжения линии ATC диодом будет служить другой токовый ключ. Резистор R1 предназначен для записки транзисторов в отсутствие напряжения на выходе ИК микросхемы, например при работе ТА в качестве дополнительного в системе "директор - секретарь".

В зарубежных ТА, как правило, применяются две разновидности схем ИК, в которых в качестве элементов коммутации используются высоковольтные биполярные транзисторы. На рис. 3.33 и 3.34 показаны схемы импульсных ключей для микросхем ЭНН, у которых выход ИК выполнен с открытым стоком.

На схеме рис. 3.33 транзисторы включены по схеме Дарлингтона. Как и в схеме, приведенной на рис. 3.29, данная схема также обеспечивает большой коэффициент усиления по току, что позволяет снизить потребление тока управляющей цепью, а, следовательно, и номеронабирателем в целом. Но её недостаток - относительно большое падение напряжения на ключе в режиме насыщения (1,5 + 2 В). Во время набора номера схема ИК коммутирует разговорный узел (рис. 1.11,а и 1.15).

В ряде схем ТА импульсный ключ, выполненный по такой схеме, во время разговора используется в качестве микрофонного усилителя. Сигнал при этом поступает на базу первого транзистора через конденсатор ёмкостью 20 нФ. Эта возможность обусловлена тем, что при наличии на выходе ИК высокого уровня, что имеет место во время разговора абонентов, высокое выходное сопротивление ИС практически не оказывает влияния на



Рис. 3.33. Схема ИК для ИС ЭНН с открытым стоком.

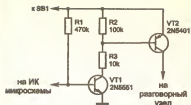


Рис. 3.34. Схема ИК для ИС ЭНН с открытым стоком.

транзистора VT1 и служит нагрузкой выхода ИС ЭНН с открытым стоком, а R3 ограничивает ток базы транзистора VT2. При использовании этой схемы, падение напряжения на ключе в режиме насыщения составляет 0,1 + 0,2 В.

Схема ИК (рис. 3.35) работает аналогично приведенной на рис. 3.34, но применяется при использовании ИС ЭНН с логическим выходом ИК. "Низкий" уровень на выходе микросхемы номеронабирателя запирает транзисторы VT1 и VT2.

Справочные данные по используемым в схемах ИК транзисторам и возможная их взаимозаменяемость, а также отечественные аналоги приведены в главе 7.

передачу звукового сигнала от микрофона в линию.

На схеме рис. 3.34 приведена двухкаскадная ключевая схема ИК, которая наиболее часто используется в аппаратах более высокого класса. Транзистор VT2 формирует импульсы набора номера (средний ток коллектора в режиме насыщения составляет порядка 35 мА), а VT1 согласует выход ИК ИС со входом ключа на транзисторе VT2. Резистор R2 обеспечивает надежное запертие транзистора VT2 при закрытом VT1. Резистор R1 задает начальное смещение на базу тран-

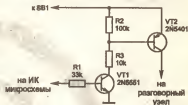


Рис. 3.35. Схема ИК для ИС ЭНН с логическим выходом.

3.5. РАЗГОВОРНЫЙ УЗЕЛ

В состав разговорного узла входят:

- усилитель сигнала микрофона;
- усилитель НЧ сигнала принимаемого с линии;
- противоэмиссионная схема;
- схема питания разговорного узла.

На рис. 3.36 приведена одна из самых распространенных схем разговорного узла, применяемая в телефонах - трубках и ТА настольного типа, в сочетании с различными микросхемами ЭНН.

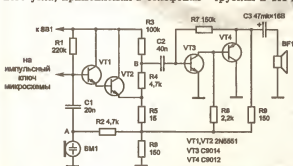


Рис. 3.36. Схема разговорного узла, применяемого с ИС ЭНН с открытым стоком ИК.

В ней импульсный ключ одновременно выполняет функцию усилителя сигнала микрофона, что возможно только при использовании тех ИС ЭНН, ИК которых имеет выход с открытым стоком.

База транзистора VT1 подключена как к выходу микрофона, через разделительный конденсатор емкостью 20 нФ, так и к выходу ИК

В ней импульсный ключ одновременно выполняет функцию усилителя сигнала микрофона, что возможно только при использовании тех ИС ЭНН, ИК которых имеет выход с открытым стоком.

ИС ЭНН. Когда на выходе ИК ИС "высокий" уровень, транзисторы VT1 и VT2 выполняют функцию усилителя сигнала микрофона, т. к. при этом высокое сопротивление закрытого выходного транзистора ИК ИС как бы отключает выход ИК ИС от базы транзистора VT1. Начальное смещение на базу VT1 задается резистором R1. Резистор R5 является элементом балансной цепи для согласования с импедансом линии. Резистор R6 представляет собой нагрузку для линии.

Речевые колебания преобразуются в электрический НЧ сигнал электретным микрофоном, рабочий ток которого ($0,25 + 0,5$ мА) устанавливается резистором R2. От величины рабочего тока зависит уровень сигнала микрофона.

НЧ сигнал с микрофона через разделительный конденсатор C1 поступает на базу составного транзистора VT1-VT2, коллекторной нагрузкой которого является Rатс (см. гл. 1 рис. 1.3). На эмиттере VT2 НЧ сигнал повторяет входной по форме и напряжению. С коллектора VT2 усиленный по напряжению, но противофазный входному, сигнал передается в линию ко второму абоненту.

Синфазный сигнал с эмиттера и противофазный сигнал с коллектора транзистора VT2, проходя через резисторы R3 и R4, которыми устанавливается соотношение амплитуд для наилучшего подавления местного эффекта, складываясь в точке "В", взаимоподавляются. Этим достигается значительное снижение слышимости своего голоса при разговоре. Такое включение резисторов и транзистора в ТА, получило название противоместной схемы.

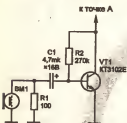


Рис. 3.37. Усилитель электродинамического микрофона.

НЧ сигнал второго абонента с линии, через открытый транзистор VT2 и резистор R4 поступает в точку "В", где складывается с синфазным сигналом, поступающим по другой цепи через R3, и через разделительный конденсатор C2 подается на базу транзистора VT3.

Транзистор VT3, включенный по схеме с общим эмиттером, усиливает сигнал по напряжению, а транзистор VT4, который представляет собой эмиттерный повторитель, по току. С эмиттера через разделительный конденсатор C3 усиленный сигнал подается на динамическую головку BF1. Резистор R7, включенный в цепь отрицательной обратной связи, задает ток смещения на базу транзистора VT3. Резисторы R8 и R9 являются соответственно коллекторной и эмиттерной нагрузками транзисторов VT3 и VT4.

Напряжение питания (порядка 3 В) телефонного усилителя и электретного микрофона снимается с резистора R6.

При использовании электродинамического микрофона для обеспечения нормальной слышимости и разборчивости в схему вводится дополнительный усилитель, включенный по схеме с общим эмиттером (рис. 3.37).

При этом резистор R2 (рис. 3.36) выполняет функцию коллекторной нагрузки транзистора VT1 (рис. 3.37), а резистор R2 (рис. 3.37) задает начальное смещение на базу. Конденсатор C1 - разделительный, а резистор R1 служит для устранения

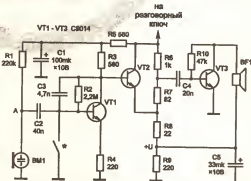


Рис. 3.38. Схема разговорного узла, применяемого с ИК или РК, приведенных на рис. 3.32, 3.34, 3.35.

возбуждения усилителя.

На рис. 3.38 приведена еще одна разновидность разговорного узла, используемого в схемах ТА, в которых ИК или РК выполнен по одной из схем приведенных на рис. 3.32, 3.34, 3.35.

НЧ сигнал с электретного микрофона ВМ1, ток которого задается резистором R1, через разделительный конденсатор C2 поступает на базу транзистора VT1, включенного по схеме с общим эмиттером. Коллекторной нагрузкой транзистора является резистор R3. Резистор R2 задает начальное смещение на базу транзистора, а R4 увеличивает входное сопротивление каскада и стабилизирует рабочую точку транзистора. Конденсатор C3, включенный в цепь отрицательной обратной связи, устраняет возбуждение усилителя. Питание усилителя и микрофона осуществляется с выхода разговорного ключа через резистор R5.

Кнопка "*" шунтирует сигнал микрофона при необходимости отключить его во время разговора.

С коллектора VT1 усиленный по напряжению сигнал поступает на вход эмиттерного повторителя на транзисторе VT2 с противоместной схемой. С коллектора VT2 усиленный сигнал через открытый разговорный ключ подается в линию АТС.

НЧ сигнал второго абонента с линии через открытый РК, цепи противоместной схемы (VT2, R6, R7) и разделительный конденсатор C4 поступает на базу усилителя на транзисторе VT3, коллекторной нагрузкой которого является динамическая головка BF1.

Питание телефонного усилителя (2,5 + 3 В) снимается с резистора R9.

Вместо резистора R9 часто используются два или три диода, включенных последовательно. Падение напряжения на каждом из диодов составляет 0,7 В. Иногда используют стабилизатор с напряжением стабилизации 3,3 В.

Телефонный усилитель может быть выполнен и по схеме эмиттерного повторителя, приведенной на рис. 3.39.



Рис. 3.39.

Схема усилителя приёма.

На рис. 3.40 приведена схема разговорного узла с противоместной схемой мостового типа. Эта схема наиболее часто применяется в ТА с дисковым номеронабирателем, но иногда используется и в ТА с кнопочным набором.

В схеме используется угольный микрофон, питание которого осуществляется непосредственно с линии через обмотку I трансформатора (линейная обмотка). Микрофон включается в диагональ моста состоящего из: сопротивления АТС и линии, сопротивления линейной обмотки трансформатора (I), балансной обмотки трансформатора (II) и балансного контура, на резисторах R1, R2 и конденсаторе C1, сопротивление которого равно эквивалентному сопротивлению линии и АТС.

Элементы балансного контура подбираются таким образом, чтобы уравновесить плечи моста, выравнивая токи в линейной и балансной обмотках.

При равных величинах токов в обмотках I и II уравновешенного моста они имеют разное направление, в результате чего токи, наводимые в телефонной обмотке (III) трансформатора, взаимно компенсируются и свой голос в телефоне трубки не прослушивается. Таким образом достигается подавление местного эффекта. При этом

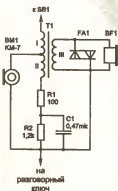


Рис. 3.40. Притивоместная мостовая схема разговорного узла.

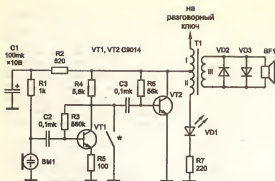


Рис. 3.41. Противоместная мостовая схема разговорного узла с электретным микрофоном.

ток микрофона второго абонента не ослабляется, так как протекает в обмотках I и II в одном направлении.

Амплитудный ограничитель уровня сигнала (фриттер) выполнен на встречно включенных диодах (FA1). Он предназначен для предохранения уха разговаривающих по телефону от акустических ударов, возникающих вследствие резкого увеличения звукового давления, развиваемого телефоном при импульсах повышенного напряжения в линии. В качестве ограничителей могут использоваться варисторы и транзисторы. В общем случае, фриттер представляет собой активное нелинейное сопротивление, шунтирующее действие которого возрастает при увеличении напряжения на зажимах аппарата.

Схема, приведенная на рис. 3.41 работает аналогично предыдущей. Отличие состоит в использовании электретного микрофона с усилителем на транзисторах VT1, VT2 и наличии светодиода в балансном контуре. Кнопкой "*" можно отключить микрофон во время разговора.

В схеме на рис. 3.42 также применяется электретный микрофон с усилителем на транзисторах VT1 и VT2. Напряжение питания микрофона снимается с элементов балансного контура R10, R11 и C5 и стабилизируется интегрирующей цепочкой на резисторе R9 и конденсаторе C4. Резистор R8 задает рабочий ток микрофона BM1. Резистор R5 и конденсатор C3 предназначены для предотвращения возбуждения микрофона. Стабилитрон VD1 служит для защиты схемы от бросков напряжения при коммутации разговорного ключа.

На рис. 3.43 приведена схема разговорного узла с противоместным дифференциальным трансформатором T1 и балансным контуром на резисторах R1, R3 и конденсаторе C1. Резистор R1 и конденсатор C1 обеспечивают также питание электретного микрофона.

Схема обладает хорошими характеристиками усиления сигнала микрофона и телефона, но подавление местного эффекта здесь несколько хуже, чем в предыдущей схеме.

На з-де "ГРАВИТОН" в г. Черновцы в настоящее время выпускается специализированная микросхема разговорного узла - КР1088ХП1А (аналог -

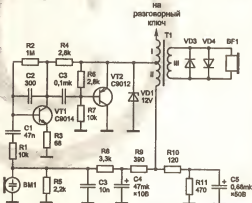


Рис. 3.42. Противоместная мостовая схема разговорного узла с электретным микрофоном.

TEA1059). В таблице 3.10 приведены назначения выводов. Схема её включения приведена на рис. 3.44. Подключение микросхемы не требует соблюдения полярности напряжения на выводах 1 и 15, поскольку в ИС предусмотрен диодный мост на входах линии. Схема имеет хорошие характеристики усиления и подавления местного эффекта. Резистор R10 позволяет регулировать громкость приема. В микросхеме имеется внутренний источник опорного напряжения для питания электретьного микрофона (вывод 3).

Предусмотрена возможность работы микросхемы в телефонных аппаратах с частотным набором номера. В этом случае двухчастотный код с выхода TONE микросхемы номеронабирателя подается на вывод 13 ИС KP1038XП1. При этом "низкий" уровень на выводе 6 блокирует микрофонный усилитель (на схеме не показан).

Табл. 3.10. Назначение выводов ИС KP1038XП1.

Вывод	Назначение
1	Вход линии.
2	Общий вывод.
3	Плюс напряжения питания.
4	Вход тракта передачи.
5	Вход тракта передачи.
6	Вход блокировки передачи.
7	Вывод для фильтра.
8	Минус напряжения питания.
9	Вход регулировки ограничения.
10	Вход тракта приёма.
11	Вход регулировки усиления тракта приёма.
12	Выход тракта приёма.
13	Вход тонального сигнала.
14	Положительный выход моста.
15	Вход линии.
16	Выход тракта передачи.

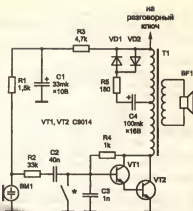


Рис. 3.43. Разговорный узел с противоместным дифференциальным трансформатором.

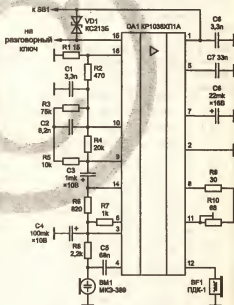


Рис. 3.44. Схема включения ИС KP1038XП1А.

АО "СВЕТЛАНА" в г. С-Петербург производит ИС разговорного узла KP1064УН1, которая является аналогом микросхемы TEA1067 фирмы "PHILIPS". Концерна "РОДСН" в г. Иваново - Франковске выпускает эту микросхему с маркировкой KP1085УН1. Микросхема имеет лучшие по сравнению с KP1038XП1 характеристики и обладает

следующими достоинствами:

- имеет внутренний стабилизированный источник питания от линии;

- возможность использования питания схемы для периферийных устройств;

- широкий динамический и частотный диапазон усиления микрофонного усилителя и усилителя прослушивания;

- симметричные высокоомные входы (64 кОм) для использования микрофонов динамического, магнитного и пьезоэлектрического типа;

- асимметричный высокоомный вход (82 кОм) для использования микрофона электретного типа;

- вход для передачи сигнала многочастотного сигнала набора номера (DTMF) и цифровой информации;

- приёмный усилитель с выходом на нагрузку (телефон) магнитного, динамического и пьезоэлектрического типа;

- возможность отключения микрофона (приёма) при передаче импульсного или многочастотного набора (вход MUTE);

- снижение питания во время импульсного набора для отсутствия искажений сигнала и щелчков в телефонной трубке;

- компенсация затухания линии;

- автоматическая регулировка усиления сигнала телефонной линии.

Цоколёвка ИС КР1064УН1 приведена на рис. 3.45, назначение выводов в табл. 3.11.

Табл. 3.11. Назначение выводов ИС КР1064УН1.

1	LN		SPLE	18
2	GAS1	XY	AGC	17
3	GAS2		REG	16
4	QR-		U	15
5	QR+		MUTE	14
6	GAR		DTMF	13
7	MIK-		PD	12
8	MIK+		IR	11
9	STAB		OV	10

Рис. 3.45. Цоколёвка ИС КР1064УН1.

Вывод	Обозначение	Назначение
1	LN	Положительный вход линии.
2	GAS1	Регулировка коэффициента усиления передающего усилителя.
3	GAS2	Регулировка коэффициента усиления передающего усилителя.
4	QR-	Инверсный выход приёмного усилителя.
5	QR+	Неинверсный выход приёмного усилителя.
6	GAR	Регулировка коэффициента усиления приёмного усилителя.
7	MIK-	Инверсный вход микрофонного усилителя.
8	MIK+	Неинверсный вход микрофонного усилителя.
9	STAB	Выход стабилизатора тока.
10	OV	Отрицательный вход линии.
11	IR	Вход приёмного усилителя.
12	PD	Вход снижения мощности потребления.
13	DTMF	Вход многочастотного набора.
14	MUTE	Вход блокировки микрофонного усилителя.
15	UST	Выход "напряжение питания периферийных устройств".
16	REG	Вход регулировки напряжения питания.
17	AGC	Вход АРУ.
18	SPLE	Вход общей регулировки усиления.

Основные характеристики микросхемы разговорного узла КР1064УН1 приведены в табл. 3.12.

Табл. 3.12. Основные характеристики ИС КР1064УН1.

Параметр	Обозначение	Значение
Напряжение внутреннего стабилизированного источника питания при подключении к телефонной линии.	ULN	4 + 4,5 В
Диапазон изменения тока линии.	ILN	10 + 100 мА
Ток потребления, не более, при - "низком" уровне на входе PD - "высоком" уровне на входе PD	ICCL ICCH	3 мА 100 мкА
Ток потребления периферийными устройствами при ILN = 35 мА, не более	IP	3,0 мА
Диапазон усиления - микрофонного усилителя - приёмного усилителя	AVD AVD	44 + 60 дБ 17 + 39 дБ
Частотный диапазон	F	200 + 20000 Гц

На рис. 3.46 приведена схема включения ИС КР1064УН1.

Микросхема и её периферийные компоненты используют питание телефонной линии, с помощью которого ИС вырабатывает собственное стабилизированное напряжение UST. Выход UST может быть использован для питания ИС ЭНН и других периферийных компонентов.

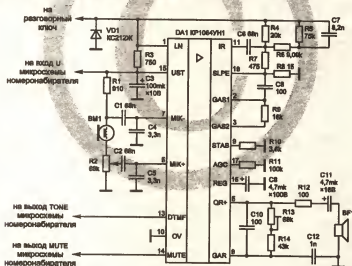


Рис. 3.46. Схема подключения ИС КР1064УН1 (TEA1067).

Внутренний стабилизатор тока включается с помощью резистора R10 сопротивлением 3,6 кОм, подключаемого с вывода 9 (STAB) на корпус.

Резистор R8 задаёт ток нагрузки линии. Изменение сопротивления резистора R8 влияет на коэффициент усиления микрофонного усилителя, усилителя сигнала приёма, местный эффект и максимальную амплитуду выходного сигнала на линию.

Микросхема содержит микрофонный усилитель со сбалансированным входным сопротивлением 64 кОм (2×32 кОм) и коэффициентом усиления 52 дБ. Это позволяет использовать микрофоны электретного типа, а также динамические и пьезоэлектрические.

Конденсатор С8 ёмкостью 100 пФ, подключенный между выводами 2 и 18 необходим для стабильной работы усилителя.

При подаче на вход MUTE (вывод 14) "высокого" уровня отключаются микрофонный и телефонный усилители, что даёт возможность передачи сигнала многочастотного кода с микросхемы номеронабирателя, подаваемого на вход DTMF (вывод 13). Коэффициент усиления усилителя сигнала DTMF составляет 25,5 дБ и регулируется одновременно с микрофонным усилителем с помощью резистора R9.

Приёмный усилитель имеет один вход IR (вывод 11) и два комплементарных выхода: прямой QR+ (вывод 5) и инверсный QR- (вывод 4). В зависимости от чувствительности и типа динамической головки могут быть задействованы один или оба выхода. Коэффициент усиления приёмного усилителя составляет 25 дБ и регулируется в диапазоне ± 8 дБ с помощью резистора R13. При использовании одновременно двух выходов усилителя усиление возрастает на 6 дБ, но при этом необходимо использовать прослушивающее устройство с сопротивлением выше 450 Ом (высокоомные динамические, магнитные и пьезоэлектрические прослушивающие устройства). Подключение конденсаторов C10 и C12 необходимо для стабильной работы усилителя.

Компенсация потерь в линии достигается автоматическим изменением коэффициента усиления микрофонного и приёмного усилителей. Это достигается включением резистора R11 с вывода 17 на корпус. Сопротивление резистора R11 выбирается в зависимости от напряжения питания в линии АТС и сопротивления питающего моста. Если нет необходимости в использовании АРУ, вывод 17 остаётся свободным. Усилители при этом обеспечивают максимальное усиление.

В течение импульсного набора происходит разрыв линии, вследствие чего прерывается питание периферийных устройств, подключенных к выводу 15. Интервалы прерывания сглаживаются конденсатором С3. "Высокий" уровень на входе PD (вывод 17) снижает потребление тока с 1 мА до 55 мкА и отсоединяет конденсатор С9, подключенный к выводу 16. Вследствие этого стабилизатор не имеет задержки включения после прерывания линии и форма тока I_{cc} в течение импульсного набора остаётся неискажённой.

Резисторы R3 + R8 составляют цепь компенсации местного эффекта.

НПО "ИНТЕГРАЛ" в г. Минск выпускает микросхему разговорного узла ЭКР1436ХА1 (аналог ТЕА1068). Эта микросхема имеет несколько лучшие характеристики, чем ИС КР1064УН1. В частности, в два раза снижен ток потребления. Цоколёвка ИС ЭКР1436ХА1 и схема включения такие же, как и КР1064УН1. На рис. 3.47 приведена схема включения ИС ЭКР1436ХА1 со специальным мостом подавления местного эффекта. Цепь компенсации местного эффекта состоит из резисторов R3, R6, R7, R9 + R11, R13.

На рис. 3.48 представлена схема разговорного узла на широко распространённой микросхеме К157УД2. ИС К157УД2 представляет собой двухканальный операционный усилитель (ОУ) универсального назначения, обладающий низким уровнем собственных шумов и малым током потребления. ОУ допускает большой диапазон входных дифференциальных напряжений, имеет защиту от коротких замыканий на выходе. Номинальное напряжение питания ± 15 В, но микросхема сохраняет работоспособность при напряжении питания от ± 3 В, что даёт возможность использовать её в схеме разговорного узла телефона.

На DA1.1 собран усилитель сигнала микрофона, а на DA1.2 усилитель сигнала приёмка с линии. ОУ включены по схеме неинвертирующего усилителя переменного тока. На транзисторе VT1, резисторах R1 и R3, конденсаторе C1, стабилитроне VD1, диоде VD2 и светодиоде VD3 собран источник питания, кото-

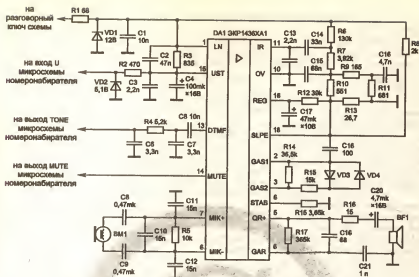


Рис. 3.47. Схема включения ИС ЭКР1436ХА1 (TEA1068).

рый обеспечивает двухполярное питание ОУ.

Транзистор VT2 обеспечивает усиление по току сигнала микрофона с выхода DA1.1. Резисторы R9 и R10 представляют собой элементы протитомостной схемы. Конденсатор C5 в цепи резистора обратной связи предназначен для исключения автоколебаний. Конденсаторы C4 и C9 предназначены для устойчивой работы ОУ с замкнутой обратной связью. Емкость конденсатора зависит от глубины обратной связи.

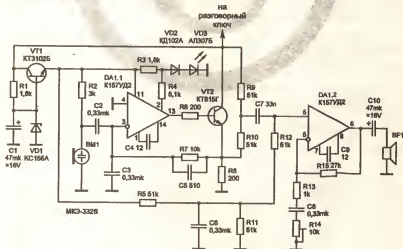


Рис. 3.48. Схема разговорного узла на ИС K157UD2.

3.6. РАЗГОВОРНЫЙ УЗЕЛ ТА С "ГРОМКОЙ СВЯЗЬЮ"

НПО "ИНТЕГРАЛ" в г. Минске производит ИС для громкоговорящего ТА ЭКР1436ХА2 (аналог фирмы "MOTOROLA" - MC34118). АО "СВЕТЛАНА" в г. С-Петербург выпускает эту микросхему с маркировкой КР1064ХА1.

Цоколёвка ИС ЭКР1436ХА2 приведена на рис. 3.49, назначение выводов в табл. 3.13. Структурная схема ИС ЭКР1436ХА2 приведена на рис. 3.50.

ИС ЭКР1436ХА2 представляет собой управляемый голосом усилитель для ТА с громкой связью. ИС включает в себя все необходимые усилители, аттенюаторы, детекторы уровня и логическую схему управления, являющиеся основой для высококачественных телефонных систем.

Микросхема включает в себя микрофонный усилитель с регулировкой усиления и блокировкой усилителя, приёмный и передающий аттенюаторы, работающие в дополняющем режиме, детекторы уровня на входах и выходах обоих аттенюаторов и идентификаторы фоновых шумов для каналов передачи и приёма. Детектор сигнала частотного набора номера блокирует выход приёмного идентификатора фоновых шумов во время сигнала частотного набора.

Микросхема включает в себя также два линейных усилителя мощности, которые могут использоваться для создания гибридной схемы связи с внешним трансформатором связи. Для фильтрации шума (50 Гц и др.) в приёмном канале может использоваться

1	FO	GND	28
2	FI	CPR	27
3	CD	RL1	26
4	VCC	RL01	25
5	НТО+	TL01	24
6	НТО-	TL1	23
7	НП	RX0	22
8	TX0	RX1	21
9	TX1	RL2	20
10	МСО	RL02	19
11	МС1	TL02	18
12	MUT	TL2	17
13	VLC	CPT	16
14	CT	VB	15

Рис. 3.49.
Цоколёвка ИС
ЭКР1436ХА2.

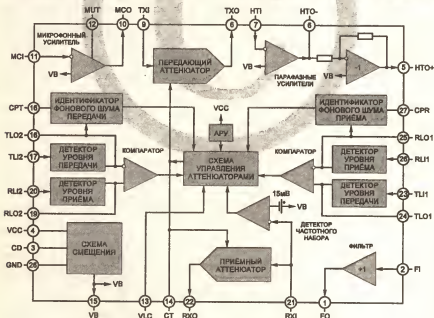


Рис. 3.50. Структурная схема ИС громкой связи ЭКР1436ХА2.

фильтр верхних частот. Вход блокировки микросхемы позволяет отключить питание всей схемы громкой связи в то время, когда этот режим не используется. ИС ЭКР1436ХА2 может работать как от источника питания, так и от телефонной линии. Напряжение питания ИС находится в пределах от 2,8 до 6,5 В. Типовой ток потребления 5 мА.

Табл. 3.13. Назначение выводов ИС ЭКР1436ХА2.

№ вывода	Обозначение	Назначение
1	FO	Выход фильтра. Выходное сопротивление менее 50 Ом.
2	FI	Вход фильтра. Входное сопротивление более 1 МОм.
3	CD	Вход блокировки микросхемы. "Низкий" уровень ($< 0,8$ В) разрешает работу ИС. "Высокий" уровень ($> 2,0$ В) запрещает работу ИС. Номинальное входное сопротивление при этом составляет 90 кОм.
4	VCC	Напряжение питания. Рабочее напряжение находится в пределах от 2,8 до 6,5 В при потребляемом токе около 5,0 мА. При снижении VCC от 3,5 до 2,8 В схема АРУ понижает усиление приёмного аттенюатора до -25 дБ в режиме приёма.
5	НТО+	Выход второго парафазного усилителя. Имеет фиксированный коэффициент усиления и равен -1. Выходной сигнал противофазный относительно выхода НТО-.
6	НТО-	Выход первого парафазного усилителя. Коэффициент усиления устанавливается внешними резисторами.
7	НТИ	Вход первого парафазного усилителя. Уровень постоянного напряжения примерно равен VB.
8	TXO	Выход передающего аттенюатора. Уровень постоянного напряжения примерно равен VB.
9	TXI	Вход передающего аттенюатора. Максимальный уровень входного сигнала 350 мВ. Входное сопротивление равно 10 кОм.
10	MCO	Выход микрофонного усилителя. Коэффициент усиления устанавливается внешними резисторами.
11	MCI	Вход микрофонного усилителя. Уровень постоянного напряжения примерно равен VB.
12	MUT	Вход блокировки микрофона. "Низкий" уровень ($< 0,8$ В) разрешает работу микрофонного усилителя. "Высокий" уровень ($> 2,0$ В) блокирует микрофонный усилитель, не оказывая влияния на остальные узлы схемы.
13	VLC	Вход управления громкостью. Приёмный аттенюатор имеет максимальное усиление в режиме приёма при напряжении на входе VLC равном VB. При напряжении на входе VLC равном 0,3 В усиление приёмного аттенюатора менее -35 дБ. На усиление в режиме передачи не влияет.
14	CT	Вход установления постоянной времени переключения аттенюаторов при помощи внешней RC-цепи.
15	VB	Выходное напряжение равно половине VCC. Это напряжение необходимо в качестве общей точки по переменному току и для управления уровнем громкости.

№ вывода	Обозначение	Назначение
16	CPT	Вход установления постоянной времени идентификатора фонового шума передачи при помощи внешней RC-цепи.
17	TLI2	Вход детектора уровня передачи со стороны микрофона.
18	TLO2	Выход детектора уровня передачи со стороны микрофона и вход идентификатора фонового шума передачи.
19	RLO2	Выход детектора уровня приёма со стороны громкоговорителя.
20	RLI2	Вход детектора уровня приёма со стороны громкоговорителя.
21	RXI	Вход приёмного аттенюатора и детектора сигнала частотного набора номера. Максимальный уровень входного сигнала 350 мВ. Входное сопротивление равно 10 кОм.
22	RXO	Выход приёмного аттенюатора. Уровень постоянного напряжения примерно равен VB.
23	TLI1	Вход детектора уровня передачи со стороны линии.
24	TLO1	Выход детектора уровня передачи со стороны линии.
25	RLO1	Выход детектора уровня приёма со стороны линии и вход идентификатора фонового шума приёма.
26	RLI1	Вход детектора уровня приёма со стороны линии.
27	CPR	Вход установления постоянной времени идентификатора фонового шума приёма при помощи внешней RC-цепи.
28	GND	Общая точка схемы по постоянному току.

В обыкновенном телефоне оба абонента могут разговаривать одновременно и при этом передача разговора происходит в обоих направлениях. В громкоговорящем телефоне этот режим реализовать трудно. Вследствие высокого усиления в передающем и приёмном канале это приводит к возникновению самовозбуждения из-за обратной связи схемы и акустической связи громкоговорителя и микрофона. Поэтому в схеме реализован такой режим, что когда один из абонентов разговаривает, то включается соответствующий канал (передающий или приёмный) и выключается другой канал (уменьшается усиление канала). В этом случае усиление в петле обратной связи поддерживается меньше единицы. ИС ЭКР1436ХА2 обладает детекторами уровня, аттенюаторами и переключающей логической схемой, необходимой для правильной работы громкоговорящего ТА.

На рис. 3.51 приведена принципиальная работы электрическая схема громкоговорящего узла ТА на ИС ЭКР1436ХА2.

Двудный мост VD1 + VD4 исключает неправильное включение полярности схемы к телефонной линии. Стабилитрон VD3 и конденсатор C3 формируют питание схемы напряжением 5,6 В. Конденсатор фильтра C3 на плате телефона необходимо расположить рядом с выводом 4 ИС. В ИС реализовано дополнительное напряжение питания VB (вывод 15), равное половине напряжения питания VCC. Это напряжение необходимо в качестве общей точки для переменного тока и обеспечивает регулировку уровня громкости путём изменения напряжения на входе VLC (вывод 13). При подаче на вход CD (вывод 3) "высокого" уровня происходит блокировка микросхемы, что позволяет снизить потребляемую мощность.

Резисторы R3 и R4 задают ток питания электретного микрофона BM1. Входное сопротивление микрофонного усилителя составляет 10 кОм. Коэффициент усиления микрофонного усилителя определяется резисторами R5 и R6. Конденсатор C7 предотвращает возбуждение усилителя. "Высокий" уровень на входе MUT (вывод 12) блокирует работу микрофонного усилителя.

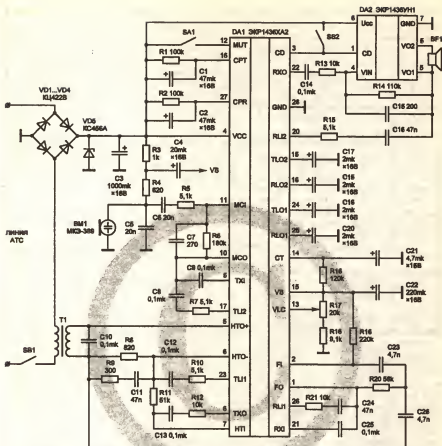


Рис. 3.51. Схема громкой связи ТА на ИС ЭКР1436ХА2 и ЭКР1436УН1.

Через конденсатор С9 сигнал с выхода микрофонного усилителя поступает на вход передающего аттенюатора ТХ1 (вывод 9), а через конденсатор С8 и резистор R7 на вход детектора уровня передачи ТЛ12 (вывод 17). С выхода передающего аттенюатора ТХ0 (вывод 8) через резистор R12 и конденсатор С13 сигнал микрофона поступает на вход парафазного усилителя НТ1 (вывод 7). Выходы парафазных усилителей НТ0- и НТ0+ (выводы 6 и 7 соответственно) соединены с внешним трансформатором Т1 и обеспечивают согласование с телефонной линией. Коэффициент усиления первого парафазного усилителя определяется резисторами R11 и R12. Коэффициент усиления второго парафазного усилителя фиксирован и равен -1. Выходное сопротивление парафазных усилителей менее 10 Ом. Резисторы R8, R9 и конденсатор С11 представляют собой балансную цепь для согласования с импедансом линии.

Сигнал с линии поступает на вход фильтра F1 (вывод 2). Элементы фильтра R19, R20, С23 и С26 подобраны таким образом, чтобы срезать помехи сетевой частоты 50 Гц, которые могут наводиться на внешние провода телефон-

ной линии. С выхода фильтра FO (вывод 1) сигнал поступает через разделительный конденсатор C25 на вход приёмного аттенюатора RXI (вывод 21) и через конденсатор C24 и резистор R21 на вход детектора уровня приёма RLI1 (вывод 26). С выхода приёмного аттенюатора RXO (вывод 22) через конденсатор C14 и резистор R13 сигнал подаётся на вход VIN (вывод 4) усилителя мощности на ИС ЭКР1436УН1. Резисторы R13 и R14 задают коэффициент усиления усилителя мощности DA2. Конденсатор C15 предназначен для исключения возбуждения усилителя. С выхода усилителя мощности VO1 (вывод 5) усиленный сигнал подаётся на громкоговоритель, а также через конденсатор C16 и резистор R15 на вход детектора уровня приёма RLI2 (вывод 20).

Четыре детектора уровня (два в приёмном канале и два в канале передачи) обеспечивают на своих выходах постоянное напряжение, пропорциональное уровню сигнала на входах. Это достигается подключением конденсаторов C17, C18, C19 и C20 на выходах детекторов уровня. Конденсаторы имеют небольшое время заряда и большое время разряда, задаваемое внутренним источником тока 4 мкА. Конденсаторы на всех четырёх выходах должны иметь одинаковую ёмкость ($\pm 10\%$). Компараторы сравнивают уровни сигналов приёма и передачи с выходах детекторов уровня и в зависимости от того, уровень какого сигнала выше, посредством схемы управления аттенюаторами открывается соответствующий аттенюатор (передачи или приёма).

Передающий и приёмный аттенюаторы работают в дополняющем режиме, т. е. когда один имеет максимальное усиление (+6,0 дБ), то другой имеет максимальное ослабление сигнала (-46 дБ), и наоборот. Они не могут быть полностью включены или полностью выключены. Сумма их коэффициентов передачи остаётся постоянной и имеет значение -40 дБ. Аттенюаторы управляются схемой управления аттенюаторами. Резистор R16 и конденсатор C21 на входе СТ (вывод 14) задают время переключения аттенюаторов. Напряжение 240 мВ на входе СТ (вывод 14) относительно напряжения VB открывает приёмный аттенюатор и закрывает передающий. Напряжение -240 мВ переводит микросхему в режим передачи. Напряжение на входе СТ равное напряжению VB переводит микросхему в режим ожидания (коэффициент передачи обоих аттенюаторов равен -20 дБ).

Резисторы R1, R2 и конденсаторы C1, C2 задают постоянную времени на входах СРТ (вывод 10) и СРР (вывод 27) идентификаторов фонового шума. Их назначение состоит в том, чтобы отличить сигнал речи (который содержит характерные всплески уровня) от фонового шума (сигнал сравнительно постоянного уровня). Выход идентификаторов фонового шума связан со схемой управления аттенюаторами.

ИС ЭКР1436УН1, которая применяется в схеме громкой связи ТА имеет зарубежный аналог фирмы MOTOROLA - MC34119. АО "СВЕТЛАНА" в г. С-Петербурге выпускает эту микросхему с маркировкой КР1064УН2. Цоколёвка ИС ЭКР1436УН1 приведена на рис. 3.52. ИС создаёт максимум усиления при минимальном напряжении питания 2,0 В. Максимальное напряжение питания ИС 16 В. Типовой ток потребления 2,7 мА. Разделительные конденсаторы к громкоговорителю не нужны. ИС допускает применение громкоговорителей с сопротивлением от 8 до 100 Ом. Выходная мощность составляет 250 мВт при работе с громкоговорителем на 82 Ом. Усилитель на ИС ЭКР1436УН1 обладает низкими нелинейными искажениями.

Рис. 3.52.
Цоколёвка ИС
ЭКР1436УН1.

Типовой ток потребления 2,7 мА. Разделительные конденсаторы к громкоговорителю не нужны. ИС допускает применение громкоговорителей с сопротивлением от 8 до 100 Ом. Выходная мощность составляет 250 мВт при работе с громкоговорителем на 82 Ом. Усилитель на ИС ЭКР1436УН1 обладает низкими нелинейными искажениями.

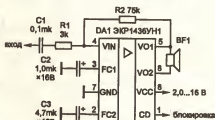


Рис. 3.53. Типовая схема УНЧ для ТА на ИС ЭКР1436УН1.

Подачей "высокого" уровня ($\geq 2,0$ В) на вход CD (вывод 1) устанавливается режим пониженной потребляемой мощности (ток покоя 65 мкА). "Низкий" уровень ($\leq 0,8$ В) разрешает работу микросхемы.

Типовая схема включения ИС ЭКР1436УН1 приведена на рис. 3.53. Резисторами R1 и R2 устанавливается коэффициент усиления УНЧ, который может составлять от 0 до 46 дБ. Входы FC2 (вывод 2) и FC1 (вывод 3) предназначены для подключения корректирующих ёмкостей. Выход FC1 (вывод 3) является общей точкой по переменному току. Конденсатор C2 позволяет увеличить коэффициент подавления неустойчивости источника питания. Этот вывод может быть использован как дополнительный вход. Конденсатор C2 увеличивает подавление пульсаций источника питания и также влияет на величину времени включения. Допускается оставлять этот вывод свободным, если достаточно ёмкости, подключенной к выводу FC1.

В зарубежных ТА часто применяется ИС громкой связи MC31018 и её аналог SC77655S. Упрощённая структурная схема ИС MC31018 приведена на рис. 3.54.

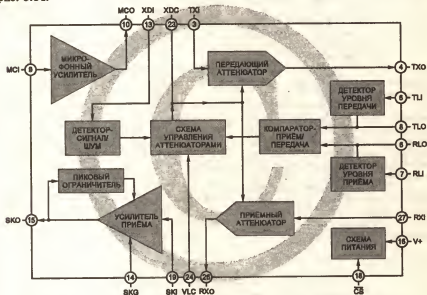


Рис. 3.54. Упрощённая структурная схема ИС громкой связи MC31018.

Структурная схема ИС MC34018 аналогична ИС MC34118. Основное отличие состоит в том, что в ИС MC34018 есть свой усилитель приёма и отсутствуют парафазные усилители и фильтр высоких частот. Детекторов уровня не четыре, как в ИС MC34118, а два.

Схема включения ИС MC34018 приведена на рис. 3.55.

Часть схемы, обведённая пунктирной рамкой, выполняет функцию индуктивности. Её можно заменить дросселем, индуктивностью 1 Гн.

Транзистор VT3, подключённый к выходу передающего аттенуатора TXO (вывод 4), включён по схеме эмиттерного повторителя. С выхода эмиттерного повторителя сигнал подаётся на базу транзистора VT4, который усиливает сигнал и передаёт его в линию.

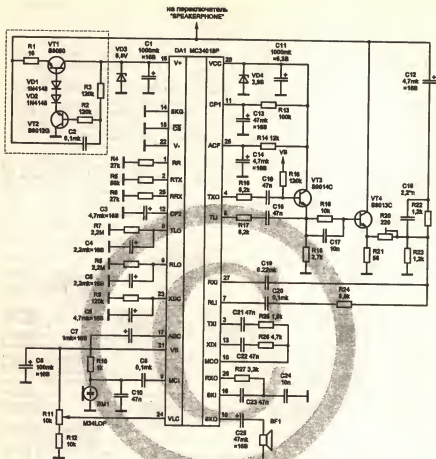


Рис. 3.55. Схема громкой связи ТА на ИС MC34018.

Резисторы R20, R22, R23 и конденсатор C18 представляют собой балансную цепь для согласования с импедансом линии.

Конденсатор C4 на выходе детектора уровня передачи TLO (вывод 6) и C5 на выходе детектора уровня приёма RLO (вывод 8) обеспечивают постоянное напряжение на выходах детекторов уровня, пропорциональное уровню сигнала на входе. Время разряда конденсаторов задаётся резисторами R7 и R8. Сигналы с выходов детекторов уровня сравниваются компаратором. С выхода компаратора сигнал поступает на схему управления аттенуаторами, который включает соответствующий канал (передачи или приёма), в зависимости от того, уровень какого сигнала выше.

Переключение аттенуаторов в ИС MC34018 осуществляется также, как и в ИС MC34118. Резистор R9 и конденсатор C6 на входе XDC (вывод 23) задают время переключения аттенуаторов. Напряжение на входе XDC на 150 мВ меньше, чем VCC переключает аттенуаторы в режим приёма, а напряжение на 6 мВ

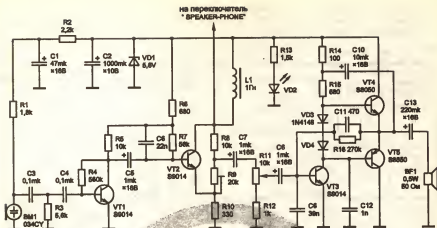


Рис. 3.56. Схема громкой связи ТА на дискретных элементах.

меньше, чем VCC переключает аттенюаторы в режим передачи.

И в заключение приведём схему громкой связи на дискретных элементах (рис. 3.56). Эта схема встречается в недорогих ТА низкого класса типа ТЕХНИКА.

Дроссель L1 предназначен для увеличения максимального тока питания усилителя приёма. Выходной каскад усилителя приёма выполнен по двухтактной схеме на транзисторах VT4, VT5 и обеспечивает номинальную выходную мощность 250 мВт на нагрузку 50 Ом. Диоды VD3 и VD4 смещают двухтактный каскад в состояние проводимости для устранения переходных искажений. Резистор R16 и конденсатор C11 представляют собой цепь отрицательной обратной связи для исключения возбуждения усилителя. Переменный резистор R9 и резистор R8 обеспечивают согласование схемы с импедансом линии для максимального подавления местного эффекта. Переменным резистором R11 можно регулировать громкость приёмного усилителя.

Резисторы R1, R2 и конденсатор C1 составляют цепь питания микрофона BM1. Усилитель сигнала микрофона выполнен на транзисторах VT1 и VT2.

Недостаток данной схемы в том, что в ней отсутствует управление усилителями приёма и передачи для их работы в дополняющем режиме.

3.7. МИКРОФОННЫЙ УСИЛИТЕЛЬ НА ИС KP1026УН1

ИС KP1026УН1 производит з-д "ГРАВИТОН" в г. Черновцы. Она предназначена для усиления сигнала звуковой частоты электретного микрофона с согласующим каскадом в составе телефонного аппарата.

Цоколёвка ИС KP1026УН1 приведена на рис. 3.57, назначение выводов в табл. 3.14.

Основные технические данные.

- минимальный ток потребления 5 мА;
- максимальный ток потребления 100 мА;
- входное сопротивление усилителя от 9 до 12 кОм;
- коэффициент усиления напряжения от 37 до 41 дБ;
- постоянное напряжение на выходе питания элек-



Рис. 3.57. Цоколёвка ИС KP1026УН1.

- третьего микрофона (выводы 3 и 5) от 4,8 до 7,0 В;
 - напряжение шумов на выходе не более 130 мВ;
 - коэффициент гармоник не более 3%.

Табл. 3.14. Назначение выводов ИС КР1026УН1.

Номер вывода	Обозначение	Назначение	Номер вывода	Обозначение	Назначение
1	MIK	Свободный	8	LN2	Вход линии
2		Вход микрофона	9	REG1	Свободный
3		Напряжение питания электретного микрофона.	10		Вход регулировки коэффициента усиления
4	OV	Свободный	11	REG2	— // —
5		Общий	12	REG3	— // —
6		Вход линии	13	REG4	— // —
7	LN1	Свободный	14	REG5	— // —

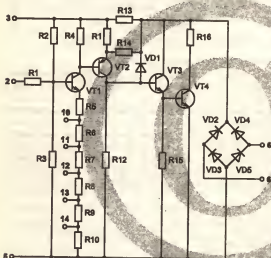
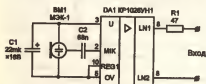
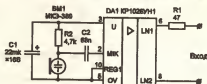


Рис. 3.58. Внутренняя электрическая схема ИС КР1026УН1.

ны два варианта схемы замены угольного микрофона в ТА на ИС КР1026УН1. В схеме на рис. 3.59, а используется микрофон с отдельным выводом питания, а на



а)



б)

Рис. 3.59. Схемы замены угольного микрофона на ИС КР1026УН1.

рис. 3.59,б применяется электретный микрофон с двумя выводами. Резистор R2 задаёт ток питания электретного микрофона. Конденсатор C1 сглаживает пульсации напряжения питания электретного микрофона.

3.8. МИКРОФОНЫ

Микрофоны классифицируются по признаку преобразования акустических колебаний в электрические и подразделяются на *электродинамические, электромагнитные, электростатические (конденсаторные и электретные), угольные и пьезоэлектрические*.

Микрофоны характеризуются следующими параметрами:

Чувствительность микрофона – это отношение напряжения на выходе микрофона к воздействию на него звуковому давлению при заданной частоте (как правило 1000 Гц), выраженное в милливольтх на паскаль (мВ/Па). Чем больше это значение, тем выше чувствительность микрофона.

Номинальный диапазон рабочих частот – диапазон частот, в котором микрофон воспринимает акустические колебания и в котором нормируются его параметры.

Неравномерность частотной характеристики – разность между максимальным и минимальным уровнем чувствительности микрофона в номинальном диапазоне частот.

Модуль полного электрического сопротивления – нормированное значение выходного или внутреннего электрического сопротивления на частоте 1 кГц.

Характеристика направленности – зависимость чувствительности микрофона (в свободном поле на определённой частоте) от угла между осью микрофона и направлением на источник звука.

Уровень собственного шума микрофона – выраженное в децибелах отношение эффективного значения напряжения, обусловленного флуктуациями давления в окружающей среде и тепловыми шумами различных сопротивлений в электрической части микрофона, к напряжению, развиваемому микрофоном на нагрузке при давлении 1 Па при воздействии на микрофон полевого сигнала с эффективным давлением 0,1 Па.

В телефонных аппаратах, в основном, применяются электродинамические, электретные и угольные микрофоны. Но, как правило, в 95% кнопочных ТА применяются электретные микрофоны, которые имеют повышенные электроакустические и технические характеристики:

- широкий частотный диапазон;
- малую неравномерность частотной характеристики;
- низкие нелинейные и переходные искажения;
- высокую чувствительность;
- низкий уровень собственных шумов.

На рис. 3.60 приведена схема, объясняющая принцип работы конденсаторного микрофона. Выполненные из электропроводного материала мембрана (1) и электрод (2) разделены изолирующим кольцом (3) и представляют собой конденсатор. Жёстко натянутая мембрана под воздействием звукового давления совершает колебательные движения относительно неподвижного электрода. Конденсатор включен в электрическую цепь последовательно с источником напряжения постоянного тока GB и активным нагрузочным сопротивлением R. При колебаниях мембраны ёмкость конденсатора меняется с частотой воздействующего на мембрану звукового давления. В электрической цепи появляется переменный ток той же частоты.

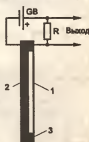


Рис. 3.60. Схема включения конденсаторного микрофона.

ты и на нагрузочном сопротивлении возникает переменное напряжение, являющееся выходным сигналом микрофона.

Электретные микрофоны по принципу работы являются теми же конденсаторными, но постоянное напряжение в них обеспечивается зарядом электрета, тонким слоем нанесенного на мембрану и сохраняющим этот заряд продолжительное время (свыше 30 лет).

Поскольку электростатические микрофоны обладают высоким выходным сопротивлением, то для его уменьшения, как правило, в корпус микрофона встраивают истоковый повторитель на полевом n -канальном транзисторе с p - n переходом. Это позволяет снизить выходное сопротивление до величины не более $3 + 4$ кОм и уменьшить потери сигнала при подключении к входу усилителя сигнала микрофона.

На рис. 3.61 приведена внутренняя схема электретного микрофона с тремя выводами МКЭ-3.

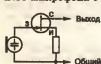


Рис. 3.63.
Внутренняя схема электретного микрофона МКЭ-389-1.

У электретных микрофонов с двумя выводами выход микрофона выполнен по схеме усилителя с открытым стоком.

На рис. 3.62 приведена внутренняя схема электретного микрофона с двумя выводами МКЭ-389-1. Схема подключения такого микрофона приведена на рис. 3.62. По этой схеме можно подключать практически все электретные микрофоны с двумя выводами, и отечественные и импортные.

На рис. 3.66 приведены размеры и назначение выводов электретных микрофонов. В табл. 3.15 приведены их технические характеристики.

Табл. 3.15. Технические характеристики электретных микрофонов.

Микрофон	Чувствительность, мВ/Па, не менее	Номинальный диапазон рабочих частот, Гц	Уровень собственного шума, дБ, не более	Напряжение питания, В
М1-А2 "Сосна"	5 + 15	150 + 7000	28	-1,2 ± 0,12
М1-В2 "Сосна"	10 + 20	150 + 7000	28	-1,2 ± 0,12
М7 "Сосна"	> 5	150 + 7000	26	-1,2 ± 0,12
МЭК-1А	6 + 20	300 + 4000	30	2,3 + 4,7
МЭК-1В	6 + 20	300 + 4000	30	2,3 + 4,7
МКЭ-3	4 + 20	50 + 15000	30	-4,5 ± 1,5
МКЭ-84	6 + 20	300 + 3400	30	1,3 + 4,5
МКЭ-377-1А	6 + 12	150 + 15000	33	2,3 + 6,0
МКЭ-377-1В	10 + 20	150 + 15000	33	2,3 + 6,0
МКЭ-377-1В	18 + 36	150 + 15000	33	2,3 + 6,0
МКЭ-378А	6 + 12	30 + 18000	33	2,3 + 6,0
МКЭ-378В	10 + 20	30 + 18000	33	2,3 + 6,0
МКЭ-389-1	6 + 12	300 + 4000	33	2,0 + 6,0



Рис. 3.61.
Внутренняя схема электретного микрофона МКЭ-3.

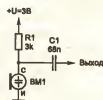


Рис. 3.62. Схема подключения электретных микрофонов с двумя выводами.

Микрофон	Чувствительность, мВ/Па, не менее	Номинальный диапазон рабочих частот, Гц	Уровень собственного шума, дБ, не более	Напряжение питания, В
МКЭ-332А	3 + 5	50 + 12500	30	2,0 + 9,0
МКЭ-332В	6 + 12	50 + 12500	30	2,0 + 9,0
МКЭ-332В	12 + 24	50 + 12500	30	2,0 + 9,0
МКЭ-332Г	24 + 48	50 + 12500	30	2,0 + 9,0
МКЭ-333А	3 + 5	50 + 12500	30	2,0 + 9,0
МКЭ-333В	6 + 12	50 + 12500	30	2,0 + 9,0
МКЭ-333В	12 + 24	50 + 12500	30	2,0 + 9,0
МКЭ-333Г	24 + 48	50 + 12500	30	2,0 + 9,0

Ток потребления микрофона МЭК-1 не более 0,2 мА, МКЭ-377-1 и МКЭ-378 не более 0,35 мА. Потребляемый ток микрофонов М1-А2, М1-В2 и М-7 не более 70 мкА.

Отличие микрофона МКЭ-332 от МКЭ-333 в том, что МКЭ-332 однонаправленный, а МКЭ-333 ненаправленный.

Коэффициент гармоник на частоте 1000 Гц при звуковом давлении 3 Па для микрофонов МКЭ-377-1 и МКЭ-389-1 не более 4 %, МКЭ-378 не более 1 %.

Неравномерность частотной характеристики чувствительности в номинальном диапазоне частот для микрофона МКЭ-8 не более 12 дБ, а для М1-А2, М1-В2, МЭК-1 и МКЭ-389-1 не более ± 2 дБ.

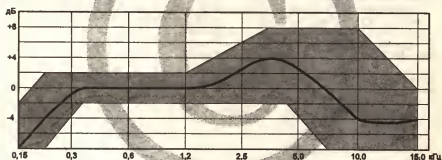


Рис. 3.64. Допусковая область частотной характеристики микрофона МКЭ-377-1.

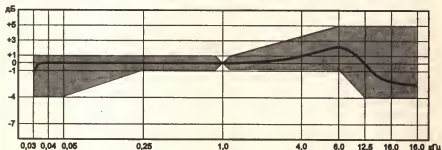


Рис. 3.65. Допусковая область частотной характеристики микрофона МКЭ-378.



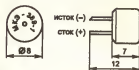
а) МКЭ-832, МКЭ833.



б) 34J9E.



в) МЭК-1.



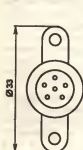
г) МКЭ-389-1.



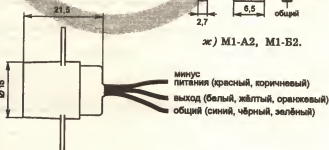
з) МКЭ-84.



е) МКЭ-377-1, МКЭ-378.



з) МКЭ-3



ж) M1-A2, M1-B2.

Рис. 3.66. Электретные микрофоны.

4. ЭЛЕКТРИЧЕСКИЕ ПРИНЦИПИАЛЬНЫЕ СХЕМЫ ТЕЛЕФОННЫХ АППАРАТОВ

Ассортимент выпускаемых телефонных аппаратов очень большой. Их производят фирмы во многих странах мира и, чтобы представить аппараты во всем их многообразии потребовалось бы многотомное издание. Поэтому автор вынужден был ограничиться электрическими принципиальными схемами лишь отдельных моделей телефонных аппаратов и телефонно-трубок различного класса сложности как зарубежного, так и отечественного производства, схемотехника которых является типовой для многих аппаратов данного класса. В качестве примера приведена также схема ТА с дисковым номеронабирателем. Автор надеется, что данный раздел поможет читателю лучше ориентироваться в схемотехнике различных ТА.

VEF TA-D

Электрическая принципиальная схема телефонного аппарата "VEF TA-D" (ТА-11432) с дисковым номеронабирателем представлена на рис. 4.1. Разговорный узел аппарата выполнен по противоместной схеме мостового типа с трансформатором Т1 и балансным контуром, состоящим из резисторов R1, R2 и конденсатора С4. Параллельно телефонному капсюлю BF1 включен амплитудный ограничитель избыточного уровня напряжения, состоящий из диодов VD8 и VD9. При уложенной на рычаг микрофонной трубки разговорный узел закорачивается герконом S3 (КЭМ-3А). Набор номера осуществляется импульсными контактами 3-4 номеронабирателя S5. Контакты 1-2 во время набора замыкают разговорный узел коротко для исключения щелчков в трубке телефона. Резистор R3 и конденсатор С5 представляют собой искрогасящую цепь во время набора номера.

В корпусе микрофонной трубки размещаются микрофонный (МК-16-М) и телефонный (ТК-67-НТ) капсюли и постоянный магнит для управления герконом. Коммутация схемы обеспечивается герконом, срабатывающим при снятии микрофонной трубки с аппарата.

При нажатии кнопки S1 ("S") происходит закорачивание микрофона, а при нажатии кнопки S2 ("отбой") — линия обрывается.

Вызывное устройство представляет собой тональный генератор с тремя переключающимися частотами. Напряжение вызывного сигнала АТС частотой 25 Гц через блокировочный для постоянного тока конденсатор С3 поступает на диодный мост VD3 + VD6. Здесь напряжение выпрямляется и фильтруется конденсатором С5. Выпрямленное напряжение стабилизируется параметрическим стабилизатором на резисторе R6, стабилитроне VD11 и конденсаторе С7. Это напряжение величиной порядка 8 В используется для питания схемы вызывного устройства.

Тональный генератор собран по схеме мультивибратора на транзисторах разной проводимости VT2 и VT3. Изменение частоты достигается переключением резисторов R15, R19 и R20 в цепи эмиттера транзистора VT2. Переключение производится подачей логического "0" с выходов мультивибратора, собранного на элементах DD1.2 + DD1.4 на диодах VD15 + VD17.

Пороговое устройство выполнено на диодах VD1, VD2, стабилитронах VD7, VD12, резисторах R9, R13, конденсаторе С9 и логическом элементе DD1.1. Оно предназначено для ограничения послезвучания ВУ. После окончания послышки вызова на выходе логического элемента DD1.1 появляется логическая "1". Через диоды VD13, VD14 она подается в цепь базы транзистора VT3 и в цепи эмиттеров транзисторов VT2, VT3 и срывает генерацию тонального генератора.

С коллектора транзистора VT3 сигнал тонального генератора подается на транзистор VT1. Здесь происходит его усиление по мощности. Для регулировки уровня громкости вызывного сигнала в коллектор транзистора VT1 последовательно с высокоомным электроакустическим преобразователем BF1 включен переменный резистор R8.

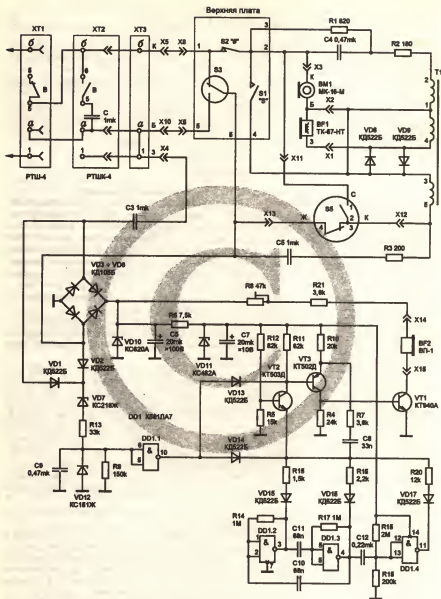


Рис. 4.1. Принципиальная электрическая схема телефонного аппарата VEF TA-D.

VEF TA-12

Телефонный аппарат VEF TA-12 (ТА 11434) имеет кнопочный номеронабиратель. Аппарат обеспечивает выполнение следующих функций:

- набор номера любой значности; неоднократный повтор последнего набранного номера значностью не более 20 цифр нажатием кнопок “#” (“отбой”) и “*” (“повтор”);
- прерывание набора номера на любом этапе набора и повторный набор номера;
- хранение информации последнего набранного номера при уложенной на аппарат микротелефонной трубке и возможность последующего набора нажатием кнопки “повтор” (хранение не ограничено во времени при наличии питания АТС и не более одного часа после отключения питания АТС);
- выключение микрофона во время разговора нажатием кнопки “S”;
- регулировку уровня громкости вызывного акустического сигнала;
- включение аппаратов по схеме “директор - секретарь”, спаренное включение через блокиратор или приставку с диодным разделением цепей.

Принципиальная схема аппарата представлена на рис. 4.2. Она включает в себя следующие функциональные узлы: разговорную схему, выполненную на трансформаторе Т1 (плата ПЗ), с подключенными к ней микрофонами ВМ1 и телефоном ВФ1; электронный номеронабиратель, выполненный на базе ИС DD3 типа K145ИК8П с блоком кнопок В2 + В4 (плата ПК); сильно - и слабооточные блоки питания; ВУ на элементах VT1 + VT3, DD1 (плата ПЗ); контакты рычажного переключателя на герконах S1 и S2; безобрывные розетки X1, X2 с вилкой X3.

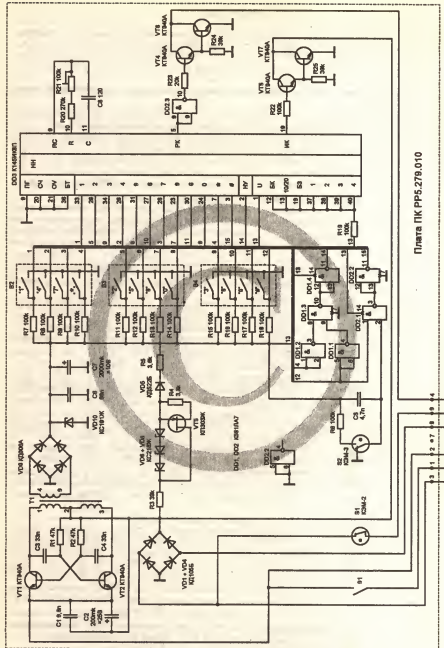
Разговорный узел выполнен по противоместной схеме мостового типа на дифференциальном трансформаторе Т1 с балансным контуром и диодным ограничителем VD1, VD2 избыточного напряжения на телефонном каскаде ВФ1.

К абонентской линии разговорная схема подключается через диодный мост VD1 + VD4, преобразователь на транзисторах VT1, VT2 и разговорный электронный ключ на транзисторах VT4, VT6.

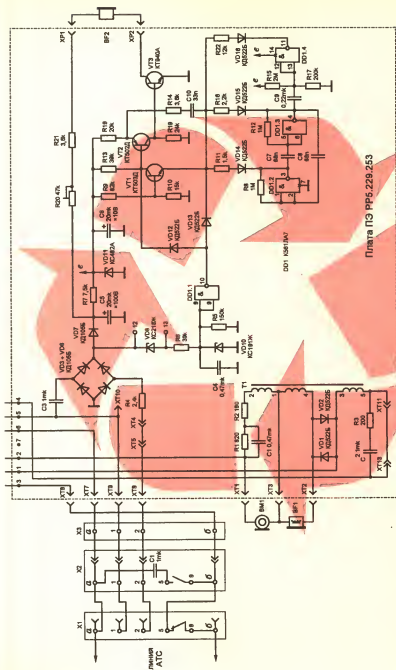
Электронный номеронабиратель состоит из микросхем DD2 и DD3, импульсного и разговорного ключей, выполненных на составных транзисторах VT4 + VT7. Управление номеронабирателем производится кнопками В2 + В4. Электронный номеронабиратель работает следующим образом. При снятии микротелефонной трубки с аппарата срабатывают герконы S1 и S2. Геркон S1 обрывает цепь ВУ, а S2 переключает схему в состояние “разговор - посылка вызова”. К абонентской линии подключается сильноточный импульсный блок питания на транзисторах VT1, VT2, конденсаторах С3, С4, резисторах R1, R2 и трансформаторе Т1, выполненный по схеме высокочастотного двухтактного мультивибратора с частотой преобразования 200 кГц. Преобразованное напряжение выпрямляется мостом VD9, фильтруется конденсаторами С6, С7 и стабилизируется стабилизатором VD10 до 9 В.

При подключении блока питания к линии происходит начальная установка элементов схемы номеронабирателя посредством подачи напряжения логического “0” на вход 2 и логической “1” на вход 3 микросхемы DD3. На выходе 5 DD3 формируется напряжение логического “0”, которое после инверсии элементом DD2.3 поступает на вход разговорного ключа VT4, VT6, открывая его. Абонентский шлейф замыкается по цепи: линия АТС (разъем X7), переключатель 6-6 (между платами ПЗ и ПК), геркон S1, диодный мост VD1 + VD4, трансформатор Т1 (обмотки 1-2, 2-3), один из открытых транзисторов VT1, VT2, разговорная схема (R1, R2, C1, T1, ВМ1, ВФ1, VD1, VD2), вывод 5 обмотки трансформатора Т1, переключатель 4-4 на открытый транзистор VT6 разговорного ключа, диодный мост VD1 + VD4, переключатель 3-3, линия АТС (разъем X6).

При нажатии на цифровые кнопки номеронабирателя на соответствующих входах (1 + 0) микросхемы DD3 устанавливается напряжение логического “0”.



Плата ПК РР5.279.010



Плата ПЗ РР6.229.253

Рис. 4.2. Принципиальная электрическая схема телефонного аппарата VEF TA-12.

В результате запускается встроенный в микросхему внутренний тактовый генератор с частотой 12,8 кГц. Его времязадающая цепь образована элементами R20, R21, C8. Происходит запись введенной кнопками информации в оперативное запоминающее устройство (ОЗУ) микросхемы.

В результате преобразования введенной информации на выводе 19 микросхемы DD3 (выход ИК) формируются импульсные последовательности набираемых номеров со стандартными временными характеристиками. Их сигналы управляют работой импульсного электронного ключа на транзисторах VT5, VT7, включенного через устройство питания в абонентский шлейф АТС. Одновременно на выводе 5 микросхемы DD3 (выход РК) на все время действия импульсной серии формируется напряжение логической "1". Через инвертор DD2.3 напряжение логического "0" поступает на вход разговорного ключа и закрывает его. Таким образом, разговорная схема отключается от абонентской линии.

Повтор последнего набранного номера производится последовательным нажатием кнопок B4 "#" и B2 "*". При нажатии кнопки B4 "#" на вход 3 микросхемы DD3 подается напряжение логического "0", вследствие чего на ее выводе 5 (РК) формируется напряжение логической "1", которое закрывает разговорный ключ VT4, VT6. Цепь питания разговорной схемы обрывается и абонентская линия размыкается, обеспечивая отбой АТС. При нажатой кнопке B2 "*" на вход 7 микросхемы DD3 подается напряжение логического "0". При этом на ее выводе 19 (ИК) формируются серии импульсов набранного перед этим и записанного в ОЗУ номера.

Хранение информации о набранном номере обеспечивается ОЗУ микросхемы DD3 с помощью устройства, выполненного на микросхеме DD1.

Питание микросхем в режиме хранения информации последнего набранного номера при уложенной микротелефонной трубке обеспечивает слаботочный узел питания ≤ 300 мкА. Он представляет собой источник тока, собранный на элементах VT3, VD6 + VD8.

ВУ преобразует высоковольтный вызывной сигнал АТС частотой 25 Гц и напряжением 80 + 90 В в низковольтный звуковой сигнал, определенной частотой - временной структуры, воспроизводимый электроакустическим преобразователем BF2.

ВУ работает следующим образом. Напряжение вызывного сигнала АТС, поступающее на аппарат с помощью элементов VD3 + VD6, VD7, C5 и параметрического стабилизатора напряжения VD11, R7, C6 преобразуется в постоянное напряжение 9 В, используемое для питания генератора вызывного сигнала на элементах VT1 + VT3, DD1. Звуковой сигнал вырабатывается мультивибратором на транзисторах VT1 + VT2, усиливается каскадом на транзисторе VT3 и подается на BF2.

Формирование частотно - временной структуры сигнала (последовательности трех сигналов разной частоты) обеспечивается устройством на элементах DD1.2 + DD1.4. Логический элемент DD1.1 является пороговым устройством, обеспечивающим необходимую скорость спадаения уровня сигнала по окончании каждой посылки вызывного сигнала АТС. Уровень громкости вызывного сигнала регулируется переменным резистором R20. Коммутация цепей ВУ производится герконом S1.

VEF TA-32.

Телефонный аппарат VEF TA-32 (TA-11430 ИН) с кнопочным набором номера и автоматическим набором до 32 программируемых абонентских номеров, предназначен для работы в абонентской линии АТС с импульсным набором номера. Обеспечивает набор номера любой значности с клавиатуры и неоднократный набор последнего набранного номера значностью до 20 цифр.

Принципиальная схема ТА приведена на рис. 4.3. Аппарат состоит из следующих основных узлов: разговорной схемы на трансформаторе Т2 с микрофоном ВМ1 и телефоном ВФ2; номеронабирателя на ИС DD1 с контактами кнопок В1 - В12; программируемого ЗУ на микросхемах DD2 + DD6, DD8 + DD10 с контактами кнопок В13 + В30; устройства питания номеронабирателя и ЗУ, включающего в себя преобразователь постоянного напряжения на транзисторах VT7, VT8 и источник тока на транзисторе VT6; тонального вызывного устройства на ИС DD7, транзисторах VT1 - VT3 и вызывном приборе ВФ1; контактов рычажного переключателя на герконах S1, S2.

Номеронабиратель построен на базе микросхемы DD1 К145ИК8П (см. VEF TA-12).

Программируемое ЗУ построено на базе специализированной микросхемы управления DD2 типа К145ИК11П и микросхем ЗУ DD3 + DD6 типа К561РУ2А. В процессе записи номера в ЗУ должна быть постоянно нажата кнопка В31, обеспечивающая подачу на вход 8 DD2 и входы 15 DD3 + DD6 напряжения логической "1" для установки режима записи. При этом с выхода 9 DD2 на вход 18 DD1 подается напряжение логического "0", блокирующее запись информации программируемого номера в ЗУ ИС DD1 и исключающее передачу номера в линию в процессе его записи.

Выбор адреса программируемого номера происходит следующим образом. При замыкании контакта В13 (В14) и замыкании контактов В15 + В30 одной из именных кнопок происходит соединение одного из выходов 20 + 27 ИС DD2 с ее входами 1, 2 (3, 4) через схему выбора адреса на элементах DD8.3, DD8.4, DD9.1, DD9.3 (DD8.3, DD8.4, DD9.2, DD9.4). В результате на выходах 28 + 35 DD2 формируется код адреса ячейки памяти.

При нажатии на одну из кнопок В1 + В10 на выходах 22, 25, 32, 35 DD1 формируется параллельный двоичный код, поступающий на входы 36, 37, 38, 40 DD2 и далее на выходы 10 + 13 DD2 и входы 12 DD3 + DD6, где фиксируется в ячейках памяти. Одновременно с кодом номера на входы 16 DD3 + DD6 поступают тактовые импульсы выбора кристалла с выхода 14 DD2. Синхронно с этим осуществляется стирание ранее записанного по этому адресу абонентского номера.

Считывание кода запрограммированного номера с выхода 13 DD3 + DD6 происходит при поступлении тактовых импульсов с выхода 14 DD2. Считанная информация записывается в ОЗУ ИС DD1 по ее входам 37 + 40, в результате чего на выходе 19 DD1 формируются серии импульсов, соответствующие набранному номеру.

Питание схем ЗУ и номеронабирателя в режиме хранения записанной в ОЗУ и ЗУ информации при уложенной на рычаг трубки осуществляется источником тока 300 мкА на транзисторе VT6.

VEF Rita-201, Gunta-202, Inta-203.

Телефонные аппараты VEF Rita-201, Gunta-202 и Inta-203 обеспечивают выполнение следующих функций:

- набор номера любой значности;
- неоднократный повтор последнего набранного номера значностью не более 22 цифр нажатием кнопки "*" ("повтор") после отбоя соединения нажатием кнопки "#" ("отбой") или рычажного переключателя;
- прерывание набора номера на любом этапе набора и повторный набор номера заново;
- хранение информации последнего набранного номера в течение неограниченного времени при уложенной на аппарат микротелефонной трубке и наличии питания в абонентской линии АТС;
- возможность прослушивания акустических сигналов АТС во время межсерийных пауз при наборе номера;
- возможность введения программируемой паузы увеличенной длительности между любыми двумя соседними цифрами номера;

- регулирование уровня громкости вызывного акустического сигнала;
- включение аппаратов по схеме "директор - секретарь" и спаренное включение через приставки с диодным разделением цепей (без сохранения информации последнего набранного номера и возможности последующего набора нажатием кнопки "повтор").

Принципиальная электрическая схема телефонных аппаратов приведена на рис. 4.4. Аппарат состоит из следующих функциональных узлов:

- вызывного устройства на ИС KP1008BЖ4 (D4);
- электронного номеронабирателя на базе ИС KP1008BЖ1 (D2) с контактами кнопок клавиатуры;
- узла питания ИС ЭНН, состоящего из стабилизатора VD7, конденсатора фильтра C9 и стабилизатора тока VT2;
- импульсного ключа на токовых ключах KP1014KT1B (D2, D3);
- разговорного ключа на токовом ключе KP1014KT1B (D5);
- разговорного узла на транзисторах VT1, VT3, VT4;
- контактов рычажного переключателя S1 и розетки XT.

При уложенной на рычаг телефонного аппарата трубке контактная группа S1 находится в исходном по схеме положении. К линии АТС через контакт S1.1 подключено вызывное устройство. Через резистор R6 подаётся напряжение на узел питания ИС ЭНН для поддержания напряжения на входе питания ОЗУ ИС ЭНН (вывод 3) и обеспечения повтора последнего набранного номера. Разговорный ключ заперт напряжением логического "0" на управляющем входе токового ключа D5 (выводы 1 и 8).

Токовые ключи D2 и D3 и диоды VD4, VD5 представляют собой диодный мост, поскольку при подаче на исток (выводы 4 и 5) токового ключа KP1014KT1B отрицательного по отношению к стоку (выводы 2, 3, 6 и 7) напряжения, ключ ведёт себя как диод.

При снятии трубки с рычага аппарата вызывное устройство отключается контактом S1.1 и на разговорную схему с выхода моста подаётся положительное напряжение линии АТС. На вывод питания ИС ЭНН (U1) через контакт S1.2 рычажного переключателя подаётся напряжение 3 В со схемы питания. Диод VD6 исключает разряд конденсатора фильтра C9 через внешние цепи. Напряжение заряженного конденсатора поддерживает питание микросхемы номеронабирателя во время набора номера. Ток стабилизатора тока VT2 задаётся резистором R13.

На выходе NSI D1 (вывод 12) остаётся напряжение логического "0", а на выходе NSA (вывод 18) появляется "высокий" уровень, который открывает разговорный ключ на D5, и к линии подключается разговорный узел. Разговорный узел соответствует приведённому на рис. 3. 37 раздела 3.5.

При нажатии на одну из кнопок клавиатуры на выходе NSA D1 появляется "низкий" уровень, который закрывает разговорный ключ D5 и отключает разговорный узел. Одновременно на управляющие входы токовых ключей D2, D3 с выхода NSI D1 поступают импульсы набора, "низкий" уровень которых замыкает линию на время 60 мс, а "высокий" замыкает линию накоротко на время 40 мс. Количество импульсов соответствует нажатой цифре на клавиатуре номеронабирателя. Напряжение "высокого" уровня на выходе NSA появляется только во время посылок импульсов набора. Во время межсерийной паузы на выходе NSA присутствует "высокий" уровень, что позволяет прослушивать линию в паузе между сериями импульсов набора. Если произойдёт сбой во время набора номера, то набор можно повторить сразу, не дожидаясь его окончания.

Стабилизатор VD9 защищает разговорный узел от выбросов напряжения во время коммутации разговорного ключа. Диод VD10 повышает напряжение питания усилителя приема на 0,6 В относительно общей точки. Переменным резистором R16 можно регулировать усиление микрофонного усилителя, а резистором R18 - глубину подавления местного эффекта.

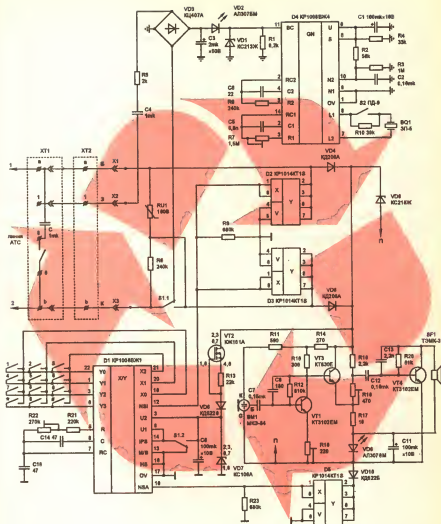


Рис. 4.4. Электрическая принципиальная схема телефонных аппаратов VEF Rita-201, VEF Guntá-202, VEF Inta-203.

ТЕЛТА-201, ТЕЛТА-204.

Телефонные аппараты ТЕЛТА-201 и ТЕЛТА-204 также обеспечивают выполнение тех же функций, что и аппараты VEF Rita-201, Gunt-202, Inta-203. Электрическая принципиальная схема аппаратов приведена на рис. 4.5. Отличия состоят в построении вызывного устройства, которое выполнено на ИС КР1064ПП1, и разговорного узла. Работа вызывного устройства на ИС КР1064ПП1 подробно рассмотрена в разделе 3.1.

В качестве микрофона применяется электродинамический капсюль ПДК-1, который подключен к базам транзисторов VT2 и VT3. С коллектора транзистора VT3 усиленный по напряжению сигнал микрофона поступает на вход эмиттерного повторителя, выполненного на транзисторах VT4 и VT5, соединенных по схеме Дарлингтона. Сигналы на эмиттерах транзисторов VT2 и VT3 находятся в противофазе, что обеспечивает дополнительное усиление на транзисторе VT3. Подстроечным резистором R16 можно регулировать усиление микрофонного усилителя. Усилитель приема сигнала с линии выполнен на транзисторе VT6. Питание усилителя осуществляется напряжением с анода стабилизатора VD5, который включен как диод. Вместо стабилизатора в приемом включении может применяться светодиод. Усиление транзистора VT6 регулируется подстроечным резистором R25.

Балансный контур состоит из резисторов R21 + R23 и конденсатора C9. Стабилизатор VD4 предназначен для защиты микрофонного усилителя от перегрузок импульсным напряжением.

ТЕЛЕФОННЫЙ АППАРАТ С ДОПОЛНИТЕЛЬНОЙ ПАМЯТЬЮ

На рис. 4.6 приведена электрическая принципиальная схема телефонного аппарата с дополнительной памятью. Вызывное устройство выполнено на ИС КР1064ПП1, работа которого подробно рассмотрена в разделе 3.1. При уложенной на рычаг трубке напряжение с линии АТС через микропереключатель SB1 и делитель напряжения на резисторах R3, R4 поступает на вход HS (вывод 6) микросхемы номеронабирателя DD1. "Высокий" уровень на этом входе запрещает работу ИС ЭНН и поддерживает питание ОЗУ микросхемы. Порядок работы с памятью ИС КР1008ВЖ5 описан в разделе 2.10. Узел питания ИС КР1008ВЖ5 выполнен на стабилизаторе тока VT1 и элементах R5, VD5, VD6, C4. Токвый ключ DA2 осуществляет коммутацию линии при наборе номера, а DA3 отключает разговорный узел на ИС КР1038ХП1А. Вместо ИС КР1038ХП1А, разговорный узел можно выполнить на ИС КР1064УН1 или ЭКР1436УНХА1.

ЭЛЕКТРИЧЕСКИЕ ПРИНЦИПИАЛЬНЫЕ СХЕМЫ ЗАРУБЕЖНЫХ ТА

Схема, представленная на рис. 4.7 применяется в телефонах-трубках и практически не встречается в ТА настольного типа. Единственным достоинством этой схемы является простота. Все остальное, к сожалению, - недостатки. Транзисторы VT1, VT2 с резисторами R9, R10, R11 представляют собой схему импульсного ключа, работа которого была рассмотрена в разделе 3.4 (рис. 3.34). Транзистор VT1 в этой схеме дополнительно согласует выходной сигнал микрофона со входом транзистора VT3, который усиливает сигнал микрофона по току. Транзистор VT2 работает в ключевом режиме и никаких других функций не выполняет.

Из-за отсутствия усилителя принимаемого сигнала с линии слышимость в ТА, использующих такую схему, достаточно низкая. Устранить этот недостаток можно применив динамическую головку, но в этом случае ослабнет сигнал микрофона. Схема такого типа может использоваться только с теми ИС ЭНН, выход ИК которых выполнен с открытым стоком. Она отличается от других схем повышенным напряжением линии в разговорном режиме (10 + 15 В).

Напряжение питания (порядка 3 В) электретного микрофона снимается с резистора R14. Конденсатор C5 в цепи динамической головки BF1 - разделительный.

На рис. 4.8 приведена схема, которая наиболее часто встречается в ТА настольного типа и телефон-трубках производства стран Юго-Восточной Азии. Схема применяется с различными микросхемами номеронабирателя (KS5805A, KS5851, UM9151-3 и т. п.). Функциональные узлы этой схемы подробно рассмотрены в соответствующих главах.

На рис. 4.9 приведена схема ТА с дополнительной памятью на 10 номеров. Порядок работы с дополнительной памятью описан в разделе 2.8. Работа ИК описана в разделе 3.4 (рис. 3.34). Разговорный узел выполнен по типу схемы, приведенной на рис. 3.36 раздела 3.5. Довольно часто в этой схеме применяется и разговорный узел, приведенный на рис. 3.38.

На рис. 4.10 представлена схема телефона "БЕЛОГРАДЧИК" производства Болгарии с дополнительной памятью на 10 номеров. Схема имеет хорошие характеристики разговорного узла. Стабилитрон VD5 - защитный. Дiod VD9 в разговорном режиме блокирует импульсный ключ, поскольку в этом режиме на выходе NSI (вывод 9) ИС DD1 напряжение "высокого" уровня.

Во время набора номера разговорный узел отключается транзисторами разговорного ключа VT1, VT2. Катод диода VD9 при этом отключается от нулевого провода, разрешая работу импульсного ключа выполненного на транзисторах VT3, VT4.

Питание ИС обеспечивается диодами VD6 + VD8, VD11.

На рис. 4.11 приведена схема ТА с режимом "HOLD".

Этот режим работает следующим образом. В разговорном режиме, когда трубка снята, транзисторы VT1, VT2 - заперты. При нажатии кнопки "HOLD" открывается транзистор VT1, который открывает транзистор VT2. Через открытый транзистор VT2, резистор R8, R12 и диод VD10 протекает ток и открывает транзистор VT3. Транзистор VT3 шунтирует микрофон BM1. Одновременно увеличивается ток через светодиод VD16, яркость свечения которого увеличивается.

Теперь, если уложить трубку на аппарат, переключатель SB1 вернется в исходное состояние, показанное на схеме. При этом подключение к линии будет удерживаться по цепи: открытый транзистор VT2, резистор R8, диод VD11, светодиод VD16. В этом режиме можно перейти к параллельному телефону и продолжить разговор.

При снятии трубки на параллельном телефоне, последний подключается к линии, и являясь дополнительным сопротивлением, понижает напряжение линии. Так как напряжение на конденсаторе C2 в этот момент не изменилось, то больший потенциал на базе транзистора VT2 закрывает его и первый телефон отключается от линии.

На рис. 4.12 приведена схема ТА с частотным набором. По своему построению схема весьма сходна со схемой, приведенной на рис. 4.8 и отличается от неё лишь тем, что управление работой АТС осуществляется многочастотным кодом 2 из 8, а не посылками напряжения постоянного тока.

На рис. 4.13 представлена схема ТА, выполненного на базе микросхемы UM9151. Напряжение смещения на выходе импульсного ключа с открытым стоком (вывод 9) подаётся с логического выхода разговорного ключа ИС (вывод 13) через резистор R16. Такое включение ИК исключает непосредственное воздействие напряжения линии на выход ИК ИС, что снижает вероятность выхода микросхемы номеронабирателя из строя.

На рис. 4.14 приведена схема телефонного аппарата "GALAX" модели UP-722TP. Корпус ТА выполнен из прозрачной пластмассы. При поступлении сигнала индукторного вызова разноцветные неоновые лампочки LP1 + LP5 выполняют функцию световой индикации вызова. В разговорном режиме и во время набора номера светодиоды LED1 и LED2 осуществляют подсветку клавиатуры телефона.

В ТА, схема которого приведена на рис. 4.15, предусмотрена возможность работы как в импульсном (PULSE), так и в частотном (TONE) режимах. Порядок программирования ИС HM9112A рассмотрен в разделе 2.9. Разговорный узел ТА состоит из двух независимых узлов, один из которых обеспечивает работу с трубкой, другой - режим "HANDSFREE", т.е. работу со встроенными в корпус ТА микрофоном и динамической головкой, что дает возможность вести разговор по телефону не снимая трубки и иметь свободные руки.

В левом, по схеме, положении переключателя SW1.2 подключена телефонная трубка, в правом осуществляется режим "HANDSFREE".

Работа узлов схем, приведенных на рис. 4.15 + 4.19, подробно описана в соответствующих разделах.

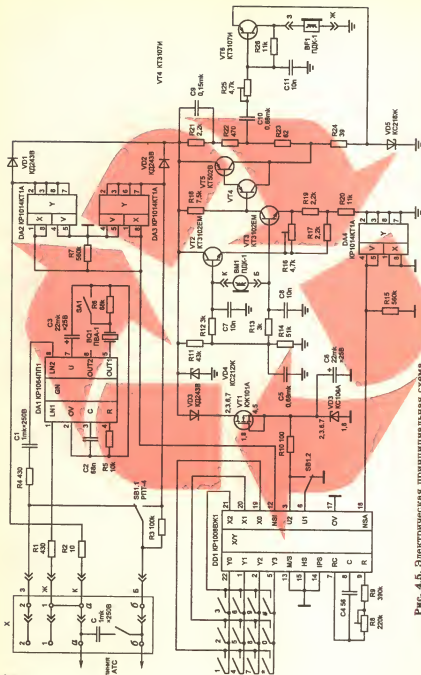


Рис. 4.5. Электрическая принципиальная схема телефонных аппаратов "ТЕЛЕ-201" и "ТЕЛЕ-204".

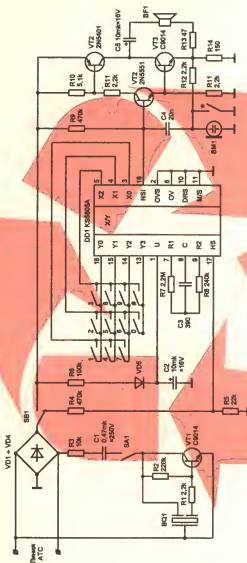


Рис. 4.7. Электрическая принципиальная схема, применяемая в недорогих телефонах-трубках зарубежного производства.

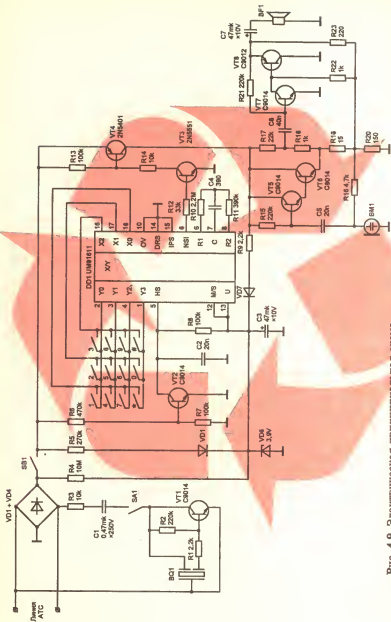


Рис. 4.9. Электрическая принципиальная схема телефонного аппарата с дополнительной памятью.

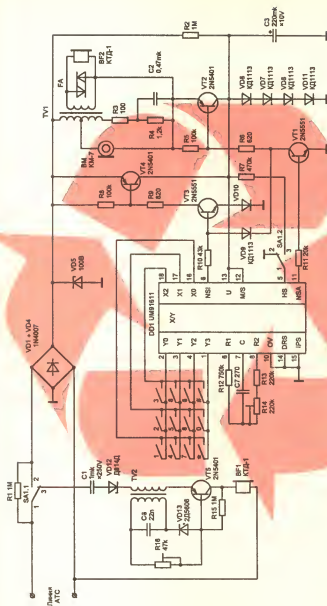


Рис. 4.10. Электрическая принципиальная схема телефонных аппаратов "БЕЛОГРАДЧИК" ТА-620 и ТА-1300.

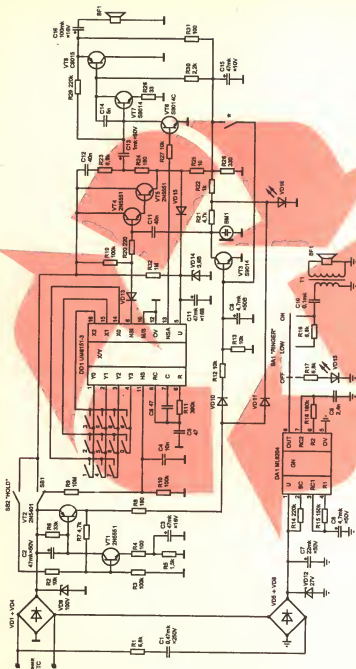


Рис. 4.11. Электрическая принципиальная схема телефонного аппарата "NORTH-AM PHONE" модель 733P с режимом "HOLD".

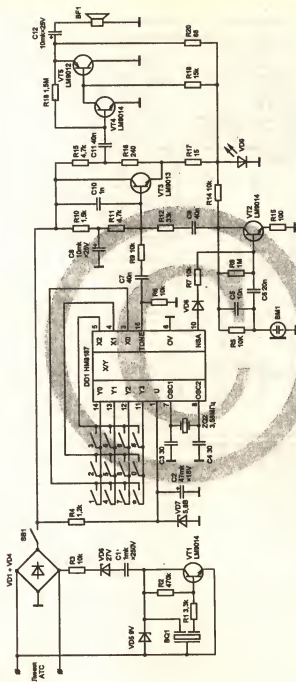


Рис. 4.12. Электрическая принципиальная схема телефонного аппарата с частотным набором номера.

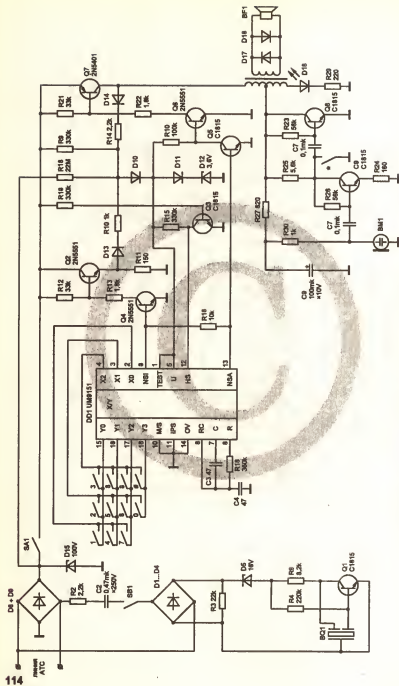


Рис. 4.13. Электрическая принципиальная схема телефонного аппарата с разговорным узлом, выполненным по трансформаторной схеме.

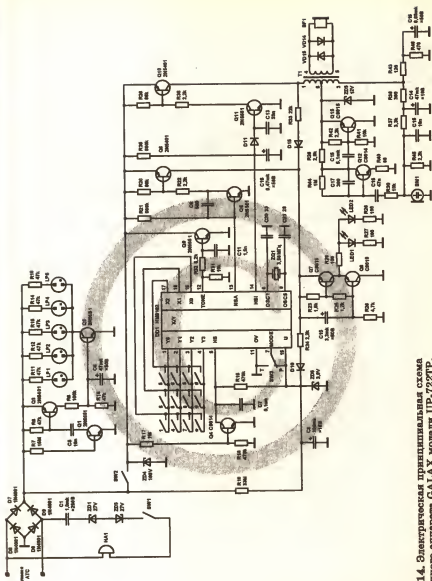
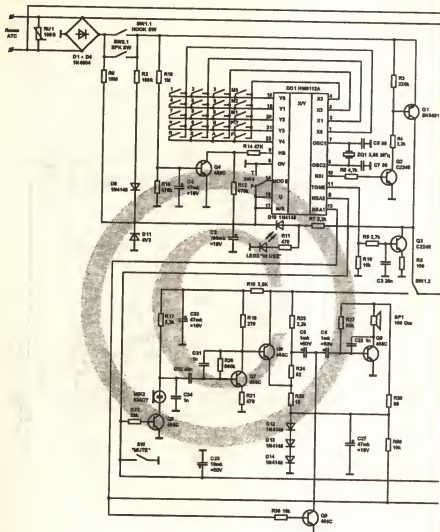
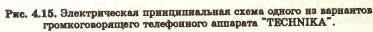


Рис. 4.14. Электрическая принципиальная схема телефонного аппарата GALAX модели UR-722ТР.





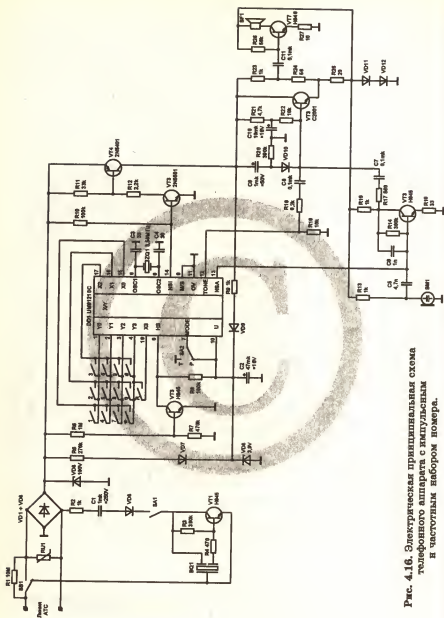


Рис. 4.16. Электрическая принципиальная схема телефонного аппарата с импульсным и частотным набором номера.

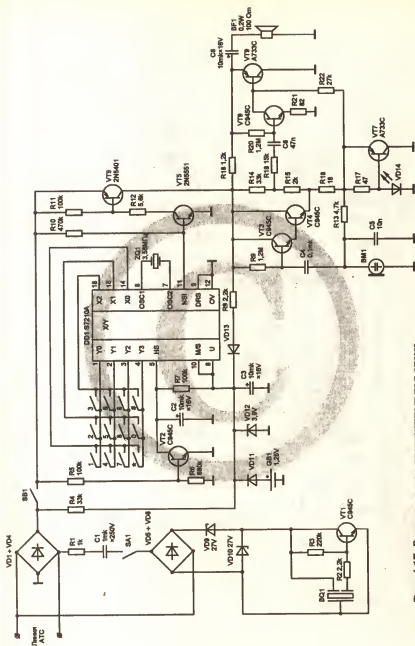


Рис. 4.17. Электрическая принципиальная схема телефонного аппарата "MASTER".

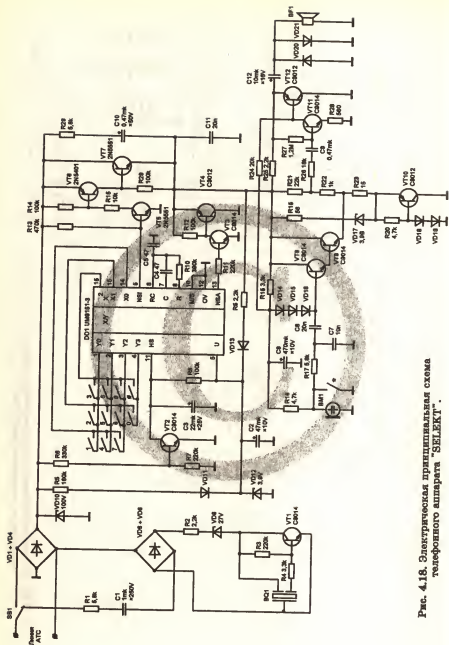


Рис. 4.18. Электрическая принципиальная схема телефонного аппарата "SELEKT".

5. БЛОКИРАТОР ПАРАЛЛЕЛЬНОГО ТЕЛЕФОНА

Блокиратор параллельного телефона (его не следует путать с блокиратором спаренного телефона) предназначен для исключения мешающего воздействия другого телефона при занятии линии одним из них. Его применение позволяет исключить возможность прослушивания разговора, ведущегося с одного из аппаратов, на другом (блокируемом). Кроме этого, блокиратор предотвращает помехи набору номера с незаблокированного ТА при любых манипуляциях с заблокированным. Блокиратор полезен также, если параллельно телефону подключен факс или модем.

Для всех блокираторов параллельного телефона обязательно соблюдение полярности подключения к линии АТС.

АП "КРЕМНИЙ" в г. Брянске выпускает микросхему КР1059КН2, которая представляет собой электронный коммутатор двух параллельных телефонных аппаратов. Её цоколёвка приведена на рис. 5.1, а структурная электрическая схема на рис. 5.2. Выводы 3, 4, 6, 7, 9, 17 и 18 в микросхеме не задействованы. Назначение остальных выводов понятны из структурной и принципиальной схем.

На рис. 5.3 приведена принципиальная электрическая схема блокиратора параллельного телефона на ИС КР1059КН2. Её работа осуществляется следующим образом.

Если снять трубку на первом ТА, то тиристор VS1 (рис. 5.2) откроется и телефон подключится к линии. Падение напряжения на тиристоре составляет не более 2 В. Одновременно схема управления запирает управляющий электрод тиристора VS2 в цепи второго ТА, что позволяет его отключить на время, пока не будет положена трубка на рычаг первого ТА. Если на момент отбоя первого ТА трубка второго окажется снятой, то происходит перекоммутация аппаратов на линию.

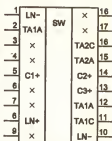


Рис. 5.1. Цоколёвка ИС КР1059КН2.

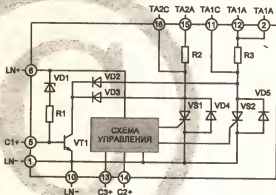


Рис. 5.2. Структурная электрическая схема ИС КР1059КН2.

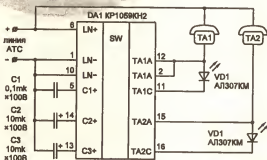


Рис. 5.3. Принципиальная электрическая схема блокиратора параллельного телефона на ИС КР1059КН2.

Ток потребления ТА от линии при уложенной на рычаг трубке должен быть не более 0,4 мА, иначе тиристор в цепи ТА не закроется после окончания разговора.

Во время набора номера на одном из аппаратов, в момент разрыва шлейфа линии происходит кратковременное отключение этого ТА от линии. Чтб снятие трубки другого аппарата на этом интервале времени не вызвало перекоммутации телефонов, в цепь схемы управления включены конденсаторы С2 и С3, которые формируют задержку переключения аппаратов. Ёмкость конденсаторов должна быть в пределах $5 + 10$ мкФ.

Светодиоды VD1 и VD2 (рис. 5.3) предназначены для индикации ТА, находящегося в разговорном режиме.

При поступлении переменного напряжения индукторного вызова ($70 + 90$ В) положительный полупериод на входе LN+ (вывод 8) ИС KP1059KH2 открывает транзистор VT1 (рис. 5.2) и через диоды VD2 и VD3 шунтирует оба тиристора в цепи телефонных аппаратов. Напряжение стабилизации стабилитрона VD1 должно быть в пределах $65 + 85$ В. Это необходимо для того, чтобы транзистор не открывался при номинальном напряжении абонентской линии 60 В. Отрицательный полупериод вызывного сигнала проходит на оба телефона через диоды VD4 и VD5.

Для телефонных линий, где максимальное напряжение в режиме набора номера превышает 70 В (ограничивается напряжением стабилизации стабилитрона), схему подключения необходимо изменить следующим образом: конденсатор С1 не подключать, а вывод 5 ИС DA1 соединить с выводами 1 и 10. При этом несколько ухудшится звучание звонка на одном из аппаратов.

Максимальное входное напряжение схемы не должно превышать 160 В. Максимальный входной ток - 100 мА. Это не значит, что такие напряжение и ток могут появиться в схеме. Это предельно допустимые значения параметров микросхемы. Ток потребления ИС KP1059KH2 при снятой трубке на одном из ТА не превышает 1,0 мА. Ток утечки тиристоров в закрытом состоянии не более 0,1 мА.

Простой блокиратор параллельного телефона можно выполнить на дискретных элементах. Его схема приведена на рис. 5.4.

Когда абонент первого аппарата снимает трубку, к аноду тиристора VS1 прикладывается напряжение линии 60 В. На управляющем электроде тиристора напряжение меньше на величину падения напряжения на стабилитроне VD1. Тиристор открывается и ТА1 подключается к линии. Если после этого второй абонент снимет трубку, к тиристор VS2 будет приложено остаточное напряжение линии $5 + 15$ В, которое меньше напряжения открывания стабилитрона VD3. Напряжение на управляющий электрод не подаётся и тиристор останется закрытым. ТА2 будет отключен до тех пор, пока первый абонент не положит трубку на рычаг аппарата. Диоды VD2 и VD4 предназначены для пропуска отрицательного полупериода переменного напряжения индукторного вызова.

Недостаток схемы состоит в том, что при снятой с рычага аппарата трубке на одном из ТА в то время, когда на другом происходит набор номера, будут создаваться помехи набору номера (происходить перекоммутация абонентов на линию). В некоторых случаях может потребоваться замена стабилитрона KC515A на стабилитрон с другим номинальным напряжением (KC512A, KC518A и т. п.). Возможно применение других диодов и тиристоров с допустимым напряжением не

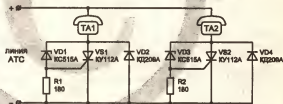


Рис. 5.4. Принципиальная электрическая схема блокиратора параллельного телефона на тиристорах KV112A.

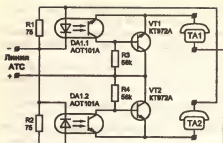


Рис. 5.5. Принципиальная электрическая схема блокиратора параллельного телефона с использованием оптрона.

неподключенным к линии до тех пор, пока абонент первого аппарата не положит на рычаг трубку. Схема имеет те же недостатки, что и схема на рис. 5.4.

Схема свободного от этих недостатков блокиратора параллельного телефона приведена на рис. 5.6. Блокиратор значительно сложнее приведенных выше, но обладает хорошими характеристиками и вносит минимальное затухание для разговорного тока.

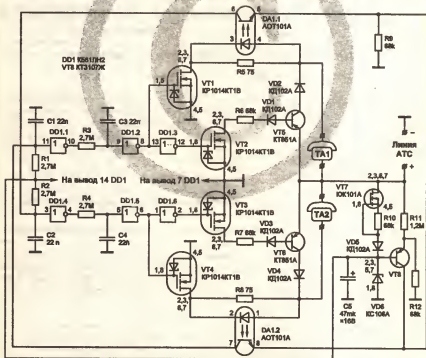


Рис. 5.6. Принципиальная электрическая схема блокиратора параллельного телефона с улучшенными характеристиками.

Стабилитрон VD6 и конденсатор C5 представляют собой источник питания напряжением 3 В для ИС DD1 K561ЛН2. Стабилизатор тока VT7 задаёт ток стабилитрона VD6. На ИС DD1 построена схема задержки времени переключения телефонов для исключения перекоммутации аппаратов во время набора номера на одном и снятой в этот момент трубке на другом.

В начальный момент, когда трубки обонх телефонов уложены на рычаги аппаратов, на входах логических элементов DD1.1 и DD1.4 устанавливается "высокий" уровень. На выходах элементов DD1.2 и DD1.5 "высокий" уровень удерживает ключи VT1 и VT4 в открытом состоянии, а на выходах элементов DD1.3 и DD1.6 "низкий" уровень запирает ключи VT2 и VT3, что обеспечивает прохождение переменного напряжения сигнала индукторного вызова на оба аппарата.

После снятия трубки на одном из аппаратов через светодиод оптрона DA1.1 начинает проходить ток, открывается транзистор оптрона и на входе логического элемента DD1.4 появляется "низкий" уровень. "Низкий" уровень на выходе элемента DD1.5 запирает токовый ключ VT4 и отключает второй телефон от линии. "Высокий" уровень на выходе элемента DD1.6 открывает ключ VT3, в результате чего открывается транзистор VT6, который шунтирует второй аппарат.

Во время набора номера на одном из аппаратов интегрирующая цепочка R3, C3 для первого ТА и R4, C4 для второго ТА удерживает заблокированный аппарат в отключённом состоянии и перекоммутация телефонов не происходит.

НАЧАЛЬНИКУ ОТДЕЛА КОМПЛЕКТАЦИИ.

НАУЧНО - ПРОИЗВОДСТВЕННОЕ ОБЪЕДИНЕНИЕ "СИММЕТРОН"

- Принимает заказы на комплектацию производственной программы Вашего предприятия радиоэлектронными компонентами (микросхемы, транзисторы, диоды и др.) отечественного производства и импортными.
- Продаёт оптом в Санкт - Петербурге и Москве комплектующие изделия для производства радиоэлектронной аппаратуры за наличный и по безналичному расчёту. Возможна доставка в любой регион страны
- Приобретает неликвидные остатки комплектующих за наличный и по безналичному расчёту.
- Рассмотрит предложения по обмену комплектующих на радиоэлектронную аппаратуру - продукцию Вашего предприятия.
- Приглашает фирм-посредников и частных лиц к взаимовыгодному сотрудничеству.

УНИКАЛЬНАЯ ИНФОРМАЦИОННАЯ ТЕХНОЛОГИЯ, РАЗРАБОТАННАЯ ИЮ "СИММЕТРОН", СВЯЗЫВАЕТ НАС С КРУПНЕЙШИМИ ПРОИЗВОДИТЕЛЯМИ И ПРОДАВЦАМИ РАДИОЭЛЕКТРОННЫХ ИЗДЕЛИЙ СО ВСЕМИ РЕГИОНАМИ СТРАНЫ И БЛИЖНЕГО ЗАРУБЕЖЬЯ.

Свои заказы и предложения Вы можете направить:

- 195196 САНКТ-ПЕТЕРБУРГ а/я 29,
- по электронной почте: E-mail: info@simmetron.spb.su,
- по факсу: (812) 528-11-08, (812) 529-91-04,
- или обсудить по телефонам: (812) 529-91-04 и (812) 528-11-08 (автоответчик работает круглосуточно).

6. РЕМОНТ ТЕЛЕФОННЫХ АППАРАТОВ

Как правило, вопросы совершенствования схем ТА (защита и улучшение потребительских качеств) начинают волновать Вас после выхода аппарата из строя. Но если Вы предусмотрительны, то переходите сразу к главе 7, чтобы не пришлось прорабатывать раздел 6.1 в ближайшем будущем.

6.1. ПОИСК НЕИСПРАВНОСТЕЙ И ИХ УСТРАНЕНИЕ

Наиболее часто в ТА выходят из строя транзисторы импульсного ключа и микросхема номеронабирателя, что составляет примерно 90% всех неисправностей. Ещё 9% можно отнести на неисправность электретоного микрофона и 1% - на все остальные. Такое соотношение весьма приблизительно, но оно даст Вам представление о характере неисправностей в ТА и поможет избежать таких ошибок, как перепайка транзисторов разговорного узла или замена электролитических конденсаторов.

Если нет схемы телефонного аппарата, который Вы собираетесь ремонтировать, не расстраивайтесь. Практически для ремонта ТА схема не нужна.

Прежде всего, необходимо определить в микросхеме номеронабирателя номер вывода её импульсного ключа (рис. 2.10 + 2.12), а также по таблице 2.8 тип выхода - с открытым стоком или логический. От типа выхода зависит построение схемы ИК телефона. На рис. 6.1 приведены три основные разновидности схем импульсного ключа, применяемых в зарубежных ТА. Ключи, приведённые на рис. 6.1,а и 6.1,б, применяются с микросхемой номеронабирателя, у которой выход ИК с открытым стоком. Ключ, приведённый на рис. 6.1,в, применяется с ИС номеронабирателя с логическим выходом её импульсного ключа. Схема ИК, приведённая на рис. 6.1,а, применяется в основном в недорогих ТА с минимальным количеством функций и невысокими потребительскими характеристиками.

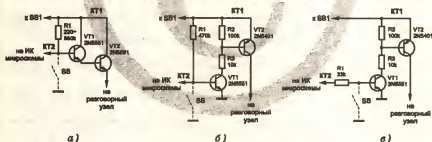


Рис. 6.1. Разновидности импульсных ключей в телефонных аппаратах.

Рассмотрим алгоритм поиска неисправностей.

Прежде всего, следует проверить напряжения в контрольных точках схемы (рис. 6.1):

- на входе ИК ТА (КТ1);
- на выходе ИК микросхемы номеронабирателя (КТ2);
- на выходе питания ИС (КТ3).

При снятой трубке напряжение в точке КТ1 должно составлять 5 + 15 В. В точке КТ3 - соответствовать напряжению питания ИС (2,5 + 3,5 В). В точке КТ2 - для ИС с открытым стоком выхода ИК должно быть на 1 + 2 В меньше, чем в точке КТ1, а для ИС с логическим выходом ИК должно быть незначительно меньше, чем в точке КТ3.

Напряжение на выходе диодного моста (равное напряжению в точке КТ1) должно быть на 1,2 В меньше напряжения на клеммах подключения ТА к линии АТС за счет падения на диодах.

Анализируя результаты измерений, можно дать предварительную оценку характера неисправности.

Напряжение в точке КТ2 близкое к нулю может свидетельствовать о неисправности микросхемы.

Если в точке КТ3 напряжение близко к нулю, можно предположить, что вышла из строя микросхема. Чтобы убедиться в этом, необходимо проверить всю цепь питания ИС (см. раздел 3.3). Только при гарантии исправности цепи питания можно приступать к замене микросхемы.

Напряжение в точке КТ1 менее 6 В может свидетельствовать о пробое диодов моста, что встречается крайне редко.

Рассмотрим различные варианты:

а) Если напряжение в точке КТ1 близко к 60 В, а в точке КТ2 близко к нулю (при номинальном напряжении питания ИС), это может свидетельствовать о том, что транзисторы ИК исправны. В этом случае, скорее всего, пробит выход ИК ИС, который замыкает базу первого транзистора ИК ТА на землю и держит его в закрытом состоянии. Для того чтобы убедиться в этом, отпаяйте выход ИК ИС от схемы ТА. Это можно сделать, сняв припой с вывода ИК ИС монтажным отсосом, или перерезав на плате дорожку от вывода ИК ИС. Если после этого напряжение в точке КТ1 (для схем ИК, приведенных рис. 6.1,а и 6.1,б) будет в норме, смело выпаивайте микросхему. Для схемы ИК, приведенной на рис. 6.1,в, чтобы открыть ключ, необходимо дополнительно соединить точки КТ2 и КТ3 перемычкой.

б) Если в точке КТ1 (рис. 6.1,а) напряжение в норме, а в точке КТ2 на 0,5 + 0,7 В, а не на 1 + 2 В, меньше, чем в точке КТ1, следовательно, пробит один из транзисторов импульсного ключа, а микросхема исправна.

в) Если напряжение в точке КТ1 в норме, а в точке КТ2 близко к нулю, то пробиты как выход ИК ИС, так и один или оба ключевых транзистора.

Чтобы убедиться в правильности работы импульсного ключа, при отключенном выводе ИК ИС к базе первого транзистора (VT1) подпаяйте кнопку SB с нормально разомкнутым контактом, как показано на схемах рис. 6.1,а + 6.1,в пунктирной линией.

При разомкнутой кнопке SB напряжение в точке КТ1 должно быть в пределах 5 + 15 В, при её замыкании напряжение должно увеличиться до 60 В. При кратковременном замыкании сигнал станции (непрерывный гудок) прекращается, что свидетельствует о приеме АТС послышки набора номера и полной исправности импульсного ключа. Если при замыкании SB напряжение в точке КТ1 не изменилось, или изменилось незначительно, то пробит один из ключевых транзисторов. Если же напряжение в точке КТ1 после замыкания кнопки будет менее 60 В, но не равно номинальному, то пугающее воздействие оказывает какой-нибудь другой элемент схемы. Им может быть пробитый защитный стабилитрон на напряжение 100 В, который устанавливается в некоторых телефонах на выходе диодного моста.

Если в Вашем ТА задействован выход разговорного ключа, следует опisanную выше проверку провести также и для этого ключа.

При выходе из строя одного из ключевых транзисторов желательно заменить оба на отечественные, как более надёжные.

Транзисторы типа 2N5551 или MPS A-42 можно заменить любым из перечисленных: КТ603Е, КТ630В, КТ683Б, КТ698 с группой Ж, И или К, КТ940А, КТ969А. Транзисторы 2N6401 или MPS A-92 можно заменить на КТ602Е, КТ698 с группой Ж, И или К, КТ9116А. Справочные данные и подборка транзисторов приведены в главе 8.

Основные неисправности и способы их устранения приведены в таблице 6.1.

Табл. 6.1. Основные неисправности в ТА и способы их устранения.

Характер неисправности	Вероятная причина	Способ выявления и устранения неисправности
<p>Не набирается номер, гудок не прерывается.</p>	<p>1. Пробит один или оба транзистора в импульсном ключе.</p> <p>2. Пробит транзистор импульсного ключа и выход ИК микросхемы ЭНН.</p> <p>3. Пробит защитный стабилитрон.</p> <p>4. Пробит диод моста.</p>	<p>Если при попытке набора номера в трубке слышны характерные щелчки, то пробит один или оба ключевых транзистора импульсного ключа ТА.</p> <p>Если щелчки при наборе номера не прослушиваются, и напряжение на выходе ИК микросхемы ЭНН равно нулю, то это свидетельствует о выходе из строя микросхемы. Но сначала необходимо убедиться в исправности транзисторов импульсного ключа. Подключите базу первого транзистора ИК на землю. Если один из транзисторов пробит, то напряжение на линии изменится незначительно. При обоих исправных транзисторах ключ закроется полностью и напряжение на линии поднимется до 60 В.</p> <p>Если разговорный узел при подключении базы первого ключевого транзистора на землю отключится (пропадет гудок), но при этом напряжение на линии будет менее 60 В, то это свидетельствует о пробое защитного стабилитрона на напряжение 100 В, устанавливаемого в некоторых телефонах на выходе диодного моста или одного из диодов моста.</p> <p>Для проверки диодов моста достаточно поменять местами клеммы подключения телефона к линии. Если после этого работа ТА восстановится, значит имеет место пробой диода. Следует отметить, что диоды моста выходят из строя крайне редко.</p>
<p>Телефон не работает, нет гудка.</p>	<p>1. Пробит выход ИК микросхемы ЭНН.</p>	<p>Необходимо проверить напряжение на выходе ИК микросхемы ЭНН и на входе ключевых транзисторов. Если напряжение на входе ключевых транзисторов близко к 60 В, а на выходе ИК микросхемы близко к нулю, значит транзисторы заперты потенциалом корпуса, поступающим через пробитый выход ИК микросхемы. Убедиться в этом, можно отпаяв выход ИК микросхемы или перерезав у вывода микросхемы дорожку печатной платы, ведущую к базе первого транзистора импульсного ключа.</p> <p>Если выход импульсного ключа ИС номеронабирателя имеет открытый сток, то транзисторы ИК откроются, разговорный узел подключится к линии, и в трубке появится гудок. Если ИС ЭНН имеет логический выход импульсного ключа, то для открытия ИК необходимо подать напряжение на его вход с вывода питания (U) ИС ЭНН.</p>

Характер неисправности	Вероятная причина	Способ выявления и устранения неисправности
	2. Нет контакта в цепи от клемм подключения телефона к линии.	Если напряжение на входе ключевых транзисторов отсутствует, то необходимо проверить цепь от клемм подключения линии до транзисторов импульсного ключа. Особое внимание следует обратить на наличие контакта в микропереключателе.
При наборе номера происходит прерывание после первого набранного импульса.	1. Неисправен фильтрующий конденсатор схемы питания ИС.	Измерить напряжение на выводе питания микросхемы номеронабирателя. Его значение должно быть в пределах ± 1 В от номинального значения. Если при отключении телефона от линии напряжение на фильтрующем конденсаторе сразу падает до нуля, конденсатор неисправен.
При наборе номера набираются не все цифры.	1. Обрыв в шлейфе, соединяющим плату, на которой расположена микросхема номеронабирателя с платой клавиатуры. 2. Неисправна микросхема номеронабирателя. 3. Отсутствует замыкающий контакт на резинке клавиатуры.	Проверить шлейф, соединяющий плату, на которой расположена микросхема номеронабирателя с платой клавиатуры. Если шлейф исправен и платы не имеют механических повреждений, значит отсутствует замыкающий контакт на резинке клавиатуры или неисправна микросхема. Восстановить замыкающий контакт на резинке клавиатуры, для чего вырезать контактную площадку из тонкой фольги и приклеить её клеем типа "Момент" или двухсторонним скотчем.
При однократном нажатии кнопки одной из цифр в линию поступает несколько пачек импульсов.	1. Загрязнение контактной площадки клавиатуры. 2. Нарушен замыкающий контакт на резинке клавиатуры. 3. Напряжение питания микросхемы номеронабирателя менее 2 В.	Протереть контактные площадки клавиатуры чистой ветошью, смоченной спиртом и прочистить кисточкой поверхность кнопок на резинке. Заменить замыкающий контакт на резинке клавиатуры, для чего вырезать контактную площадку из тонкой фольги и приклеить её клеем типа "Момент" или двухсторонним скотчем. Проверить напряжение питания микросхемы номеронабирателя. Если оно менее 2 В, необходимо увеличить ток источника опорного напряжения ИС (встроенного стабилизатора микросхемы номеронабирателя) если он есть в данной микросхеме (см. табл. 2.1) или ток стабилизатора, установленного в схеме питания ИС ЭНН (см. раздел 3.8).
Вас не слышит абонент.	1. Неисправен микрофон. 2. Обрыв цепи схемы микрофонного усилителя. 3. Отсутствует напряжение питания электретного микрофона.	Если при касании отверткой или пинцетом вывода микрофона (со стороны разделительного конденсатора) в трубке телефона раздаются щелчки, то микрофон исправен. В противном случае проверить цепь прохождения сигнала микрофона. У электретного микрофона проверить напряжение питания на положительном выводе. Оно должно быть в пределах $1 + 1,5$ В.

Характер неисправности	Вероятная причина	Способ выявления и устранения неисправности
Малый уровень сигнала микрофона при значительном уровне собственного шума микрофона.	Отсутствует контакт между общим выводом микрофона и металлическим корпусом микрофона.	Обжать ободок металлического корпуса микрофона в месте соприкосновения с выходом общего вывода микрофона.
В динамической головке слышен фон, усиливающийся при закрытии микрофона рукой.	1. Акустическая связь микрофона и динамической головки. 2. Несбалансированная дифференциальная схема.	Акустическая связь устраняется амортизацией микрофона и динамической головки от корпуса трубки при помощи пористой резины или поролона. Дифференциальная схема балансируется увеличением сопротивления резистора в балансной цепи (например, R3 на рис. 3.36).
Нет вызывного сигнала.	1. Обрыв цепи в схеме приема индукторного вызова. 2. Вышел из строя транзистор или микросхема мультивибратора вызывного устройства. 3. Неисправен пьезоэлектрический излучатель.	Замкнуть накоротко выключатель схемы вызывного устройства и разделительный конденсатор. При этом должен появиться тональный сигнал пьезоизлучателя. Если сигнала нет, проверить параметры транзистора или микросхемы ВУ, а также исправность пьезоэлектрического излучателя.

6.2. ЗАМЕНА МИКРОСХЕМЫ НОМЕРОНАБИРАТЕЛЯ

Вы убедились, что микросхема вышла из строя, и перед Вами встает вопрос "чем ее заменить?". Промышленность стран СНГ производит широкий ассортимент микросхем номеронабирателей. Большинство из них имеют зарубежные аналоги. Их цоколевки приведены на рис. 2.10 + 2.12, а характеристики в табл. 2.7 и 2.8. В большинстве случаев Вы сможете подобрать подходящий аналог для замены вышедшей из строя микросхемы. Кроме того, многие микросхемы условно взаимозаменяемы, т.е. заменяемы с небольшими доработками.

Возможность такой замены и необходимые изменения приведены в таблице 6.2.

Табл. 6.2. Возможная замена ИС ЭНН при ремонте и необходимые изменения при замене.

Заменяемая микросхема	Возможная замена	Необходимые изменения в схеме при замене
ET40992 HM9100A1 KS5805A LR40992 MK50992N T40992 KP1008BЖ11	KS5805B LR40993 MK50993 T40993	1. Поскольку в ИС возможной замены отсутствует внутренний источник опорного напряжения, то необходимо между выводом питания (1) и корпусом (вывод 6) установить стабилизатор с напряжением стабилизации 3 + 4 В (KC138Г, KC139A(Г) и т. п.). 2. Вывод 2 отключить от всех цепей схемы.

Заменяемая микросхема	Возможная замена	Необходимые изменения в схеме при замене
	FT58C51 KS5851 KP1008BЖ10	3. Изменить параметры частотозадающей цепи встроенного генератора путём увеличения сопротивления резистора, подключенного к выводу 9 микросхемы, в 1,8 раза.
	CIC9192BE WE9192B KP1008BЖ14	4. Микросхемы возможной замены имеют 16 выводов и в целом, если считать от первого вывода их цоколёвка совпадает с цоколёвкой заменяемых микросхем. Для замены необходимо установить микросхему таким образом, чтобы первый вывод ИС совпадал с контактной площадкой первого вывода выпаянной ИС. 5. Контактную площадку вывода 11 выпаянной ИС отсоединить от корпусной шины и соединить перемычкой с контактной площадкой вывода 9.
	ET40982 HD970040D KS5804 LR40981A MK5173AN MK50981 TR50981AN	Выполнить пункт 4. 6. Контактную площадку вывода 11 выпаянной ИС отсоединить от корпусной шины и соединить с плюсом питания микросхемы (вывод 1). 7. Выпаять резистор, подключенный к контактной площадке 7 и конденсатор, подключенный к контактной площадке 8. 8. От контактных площадок 7 и 8 на место выпаянных резистора и конденсатора установить конденсаторы ёмкостью по 100 пФ каждый. Противоположные выводы конденсаторов соединить с корпусной шиной (вывод 6). Между выводами 7 и 8 установить дроссель индуктивностью 1,7 мГн. Вместо дросселя можно использовать кварц частотой 480 кГц.
KS58C05	ET40992 HM9100A1 KS5805A LR40992 MK50992N T40992 KP1008BЖ11	Микросхемы заменяются без каких-либо изменений в схеме. Обратную замену производить нельзя.
	FT58C51 KS5851 KP1008BЖ10	Выполнить пункт 3.
	CIC9192BE WE9192B KP1008BЖ14 ET40982 HD970040D KS5804 LR40981A MK5173AN MK50981 TR50981AN	Выполнить пункты 4 и 5. Выполнить пункт 4, 6, 7 и 8.

Заменяемая микросхема	Возможная замена	Необходимые изменения в схеме при замене
KS5805B LR40993 MK50993 T40993	ET40992 HM9100A1 KS5805A LR40992 MK50992N T40992 KP1008BЖ11	Микросхемы заменяются без каких-либо изменений в схеме. После замены не будет выполняться функция звукового подтверждения нажатия кнопок набора номера, которая в микросхемах возможной замены отсутствует.
	FT58C51 KS5851 KP1008BЖ10	Выполнить пункт 3.
	CIC9192BE WE9192B KP1008BЖ14	Выполнить пункты 4 и 5.
	ET40982 HD970040D KS5804 LR40981A MK5173AN MK50981 TR50981AN	Выполнить пункт 4, 6, 7 и 8.
FT58C51 KS5851 KP1008BЖ10	ET40992 HM9100A1 KS5805A LR40992 MK50992N T40992 KP1008BЖ11	9. Изменить параметры частото задающей цепи встроенного генератора путём уменьшения сопротивления резистора, подключенного к выводу 9 микросхемы, в 1,8 раза.
	KS5805B	Выполнить пункты 9, 1 и 2.
	CIC9192BE WE9192B KP1008BЖ14	Выполнить пункты 9, 4 и 5.
	ET40982 HD970040D KS5804 LR40981A MK5173AN MK50981 TR50981AN	Выполнить пункты 4, 6, 7 и 8.
CIC9192BE WE9192B KP1008BЖ14	ET40992 HM9100A1 KS5805A LR40992 MK50992N T40992 KP1008BЖ11	10. Заменяемые микросхемы имеют 16 выводов, но обычно на платах ТА, где они установлены, предусмотрены дополнительные контактные площадки для ИС с 18 выводами. Снимите перемычки между контактными площадками 9 и 11 на плате ТА и установите перемычки с контактных площадок 10 и 11 на корпусную шину (вывод 6).
	KS5805B LR40993 MK50993 T40993	Выполнить пункты 10, 1 и 2.
	FT58C51 KS5851 KP1008BЖ10	Выполнить пункты 10 и 3.

Заменяемая микросхема	Возможная замена	Необходимые изменения в схеме при замене
	ET40982 HD970040D KS5804 LR40981A MK5173AN MK50981 TR50981AN	11. Удалить резисторы, подключенные к выводам 7 и 9, и конденсатор, подключенный к выводу 8. Вывод 9 соединить с плюсом питания ИС (вывод 1). <i>Выполнить пункт 8.</i>
ET40982 HD970040D KS5804 LR40981A MK5173AN MK50981 TR50981AN	CIC9192BE WE9192B KP1008BЖ14	12. Отсоединить контактную площадку вывода 9 заменяемой микросхемы от плюса питания ИС. 13. Удалить конденсаторы и дроссель, подключенные к контактным площадкам 7 и 8. С вывода 7 на место конденсатора установить резистор сопротивлением 2 МОм. С вывода 8 на место второго конденсатора установить конденсатор ёмкостью 390 пФ. 14. От вывода 9 микросхемы возможной замены к общей точке предыдущих элементов установить резистор сопротивлением 240 кОм. 15. Общую точку этих трёх элементов отсоединить от корпусной шины.
	ET40992 HM9100A1 KS5805A LR40992 MK50992N T40992 KP1008BЖ11	<i>Заменяемые микросхемы имеют 16 выводов, но обычно на платах ТА, где они установлены, предусмотрены дополнительные контактные площадки для ИС с 18 выводами.</i> 16. Отсоединить контактную площадку 11 (вывод 9 заменяемой микросхемы) от плюса питания ИС. Контактные площадки 10 и 11 соединить с корпусной шиной микросхемы (вывод 6). <i>Выполнить пункты 13, 14 и 15.</i>
	FT58C51 KS5851 KP1008BЖ10	<i>Выполнить пункты 16 и 13.</i> 17. От вывода 9 микросхемы возможной замены к общей точке предыдущих элементов установить резистор сопротивлением 430 кОм. <i>Выполнить пункт 15.</i>
	KS5805B LR40993 MK50993 T40993	<i>Выполнить пункты 16, 13, 14 и 15.</i>
KS5853	HM9100B	18. Изменить параметры частотодающей цепи встроенного генератора путём уменьшения сопротивления резистора, подключенного к выводу 8 микросхемы в два раза.
HM9100B	KS5853	19. Изменить параметры частотодающей цепи встроенного генератора путём увеличения сопротивления резистора, подключенного к выводу 8 микросхемы в два раза.

Заменяемая микросхема	Возможная замена	Необходимые изменения в схеме при замене
LC7350 M2561AB UM91611 VT91611 WE9110 STC52560C S25610	UM91610A	20. Отсоединить вывод 15 микросхемы от всех других цепей схемы.
UM91610A	LC7350 M2561AB UM91611 VT91611 WE9110 STC52560C S25610	21. Соединить вывод 15 микросхемы с корпусной шиной (вывод 10).
KP1008ВЖ1	KP1008ВЖ5 KP1008ВЖ7 KP1064ВЖ5 KP1064ВЖ7 KP1089ВЖ1 KP1089ВЖ2	22. Изменить параметры частотозадающей цепи генератора ИС путём увеличения сопротивления резистора, подключенного к выводу 9 в три раза. Вывод 15 отсоединить от других цепей схемы и соединить с корпусной шиной (вывод 17). Вывод 6 отсоединить от других цепей схемы и подключить в точку, где ранее был подключен вывод 15. <i>При замене микросхемы KP1008ВЖ1 на KP1008ВЖ5, KP1064ВЖ5 и KP1089ВЖ1 Ваш телефон будет обладать дополнительной памятью на 10 номеров.</i>
KP1008ВЖ5 KP1008ВЖ7 KP1064ВЖ5 KP1064ВЖ7 KP1089ВЖ1 KP1089ВЖ2	KP1008ВЖ1	23. Изменить параметры частотозадающей цепи генератора ИС путём уменьшения сопротивления резистора, подключенного к выводу 9 в три раза. Вывод 6 отсоединить от других цепей схемы и соединить с плюсом питания (вывод 3). Вывод 15 отсоединить от других цепей схемы и подключить в точку, где ранее был подключен вывод 6. <i>При замене ИС KP1008ВЖ5, KP1064ВЖ5 и KP1089ВЖ1 на KP1008ВЖ1 Ваш телефон потеряет дополнительные сервисные возможности и будет сохранять только последний набранный номер.</i>
KP1008ВЖ7 KP1064ВЖ7 KP1089ВЖ2	KP1008ВЖ5 KP1064ВЖ5 KP1089ВЖ1	Микросхемы заменяются без каких-либо изменений в схеме. После замены Ваш телефон будет обладать дополнительной памятью на 10 номеров.
KP1008ВЖ5 KP1064ВЖ5 KP1089ВЖ1	KP1008ВЖ7 KP1064ВЖ7 KP1089ВЖ2	Микросхемы заменяются без каких-либо изменений в схеме. После замены Ваш телефон потеряет дополнительные сервисные возможности и будет сохранять только последний набранный номер.

Заменяемая микросхема	Возможная замена	Необходимые изменения в схеме при замене
HM9102 HM9110D KS58006 KS5820 KS58C20N UM91210C KP1008BЖ16	UM91260C KP1091BЖ1	24. Изменить параметры частотозадающей цепи генератора ИС путём замены кварцевого резонатора, подключенного к выводам 8 и 9 на частоту 480 кГц.
UM91260C KP1091BЖ1	HM9102 HM9110D KS58006 KS5820 KS58C20N UM91210C KP1008BЖ16	25. Изменить параметры частотозадающей цепи генератора ИС путём замены кварцевого резонатора, подключенного к выводам 8 и 9, на частоту 3,58 МГц.

Но что же делать, если Вам так и не удалось найти подходящую микросхему по номеронабирателя для замены?

В этом случае Вам поможет универсальная схема, при помощи которой Вы сможете заменять большинство зарубежных ИС ЭНН.

Наибольшее распространение получили ИС ЭНН KP1008BЖ1, KP1008BЖ5 и KP1008BЖ7. Эти микросхемы выпускаются уже около 10 лет и наиболее доступны. Поэтому рассмотрим возможность замены большинства зарубежных ИС ЭНН именно этими микросхемами.

У всех ИС ЭНН имеются такие выводы, как:

- выводы подключения клавиатуры (X0, X1, X2, Y0, Y1, Y2 и Y3);
- вывод питания (U);
- общий вывод (OV);
- вход "отбой" (HS);
- выводы для подключения времязадающих элементов генератора;
- выход импульсного ключа (NSI);
- выход разговорного ключа (NSA).

Различные ИС ЭНН отличаются только логикой работы выходов ИК (NSI) и РК (NSA) и параметрами времязадающих элементов генератора (здесь мы не рассматриваем многофункциональные ИС для телефонов высокого класса). Функционирование по остальным выводам у всех ИС ЭНН одинаково. Во многих зарубежных телефонах выход разговорного ключа микросхемы не задействован. Поэтому если при помощи внешних элементов привести в соответствие выход импульсного ключа микросхемы, то можно заменить неисправную микросхему, подключив соответствующие выводы к контактным площадкам выпаянной микросхемы.

Если сравнивать временные диаграммы выходов разговорного ключа (NSA) (рис. 2.19 + 2.21) ИС ЭНН KP1008BЖ1, KP1008BЖ5 и KP1008BЖ7 с другими ИС ЭНН, то нетрудно заметить, что до набора и после набора номера у всех микросхем (кроме SIC9102E, SIC9104E, FT9151-3, UM9151, UM9151-3, WE9102, WE9104 и KP1008BЖ17) "высокий" уровень. Во время прохождения импульсов набора - "низкий". Следовательно, логика работы выходов разговорного ключа у этих микросхем одинакова. У выходов импульсного ключа (NSI) до набора и после набора номера у микросхем KP1008BЖ1, KP1008BЖ5 и KP1008BЖ7 - "низкий" уровень, а у остальных микросхем - "высокий". Это отличие обусловлено тем, что микросхемы KP1008BЖ1, KP1008BЖ5 и

КР1008ВЖ7 предназначены для работы только совместно с разговорным ключом. "Низкий" уровень удерживает ИК ТА в закрытом состоянии и он не может использоваться для коммутации разговорного уала, как в схеме на рис. 1.15. Импульсы набора все микросхемы номеронабирателей формируют "низкого" уровня, т. е. "низкий" уровень выхода микросхемы во время набора номера размыкает линию, а "высокий" - замыкает.

Для замены импортной ИС на КР1008ВЖ1, КР1008ВЖ5 или КР1008ВЖ7 необходимо при помощи дополнительных элементов привести в соответствие временные параметры сигналов, формируемых на выходах ИК и РК, заменяемой и заменяющей микросхем. Кроме того, в зависимости от типа выхода ИК (логический или с открытым стоком) заменяемой микросхемы необходимо обеспечить его согласование со входом импульсного ключа ТА.

Временные параметры приводятся в соответствие посредством двух диодов, включаемых с выходов ИК (NSI) и РК (NSA2) микросхемы КР1008ВЖ1 по схеме "ИЛИ", как показано на рис. 6.2. В результате, на выходе (в точке соединения диодов VD1 и VD2), формируется сигнал с временными параметрами, соответствующими параметрам выходных сигналов ИК импортных микросхем.

Эту схему можно применить для замены микросхем номеронабирателя с логическим выходом импульсного ключа, так как в точке соединения диодов VD1 и VD2 формируется сигнал с уровнем, соответствующим логическому выходу ИС КР1008ВЖ1. В схеме, при необходимости, можно задействовать выход разговорного ключа (NSA) (вывод 18).

Аналогичная схема на ИС КР1008ВЖ5 и КР1008ВЖ7 приведена на рис. 6.3.

На рис. 6.4 приведена схема замены импортной ИС с открытым стоком выхода ИК. Диоды VD1 и VD2 формируют соответствующую импульсную последовательность, а транзисторы VT1 и VT2, образуя выход с открытым коллектором, моделируют выход ИК ИС с открытым стоком.

Выводы микросхемы X0, X1, X2, Y0, Y1, Y2, Y3, 0V, U, HS и NSI подключаются на соответствующие контактные площадки заменяемой ИС. Вывод SB подключается к выводу микропереключателя со стороны транзисторов импульсного ключа (точка КТ1 на рис. 6.1).

Для замены импортной микросхемы на отечественную КР1008ВЖ1 можно изготовить переходную плату, разместив на ней необходимые дополнительные элементы. На рис. 6.5 показан чертеж переходной платы выбраны с учётом размещения её в телефон-трубке между основной платой и динамической головкой.

Контактные площадки переходной платы (в рамке на рис. 6.5) и контактные площадки заменяемой ИС на основной плате телефона соединяются между

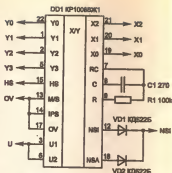


Рис. 6.2. Схема замены ИС ЭНН с логическим выходом ИК на ИС КР1008ВЖ1.

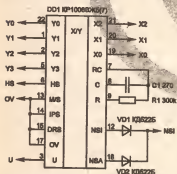


Рис. 6.3. Схема замены ИС ЭНН с логическим выходом ИК на ИС КР1008ВЖ5(7).

сособ жгутом на тонких про-
водов. Схемы соединения
контактных площадок пере-
ходной платы с контактными
площадками основной платы,
на которой выпаяна ИС ЭНН,
для различных типов ИС
различны и приведены в
таблице 6.3. В ячейках та-
блицы показаны номера выво-
дов контактных площадок
заменяемой микросхемы на
основной плате телефона.
Расположение самих ячеек
соответствует расположению
контактных площадок на
переходной плате. Например,
для микросхемы К5805А
контактную площадку Y0,
KP1008BЖ1, необходимо соеди-
нить с контактами микросхе-
мы К5805А на основной

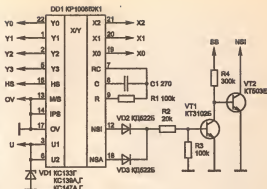


Рис. 6.4. Схема замены ИС ЭНН с открытым стоком выхода ИК на КР1008ВЖ1.

Для того чтобы в телефоне работал повтор последнего набранного номера, необходимо внести изменения на плате наборного поля. Нужно разорвать дорожку, которая идет от контактной площадки X2 к кнопке "#", и соединить разорванный конец дорожки от этой кнопки к контактной площадке X0. В телефонах-трубках, если принять контактную площадку, расположенную ближе к динамической головке за первую, то контактная площадка X0 - третья, а X2 - седьмая.

Если все соединения сделаны правильно, а номер не набирается, следует проверить напряжение на стабилитроне переходной платы. При пониженном его значении (менее 2,0 В) необходимо увеличить ток через стабилитрон при помощи резистора в цепи питания микросхемы (раздел 3.3). При замене микросхем CIC9102E, CIC9104E, KS5805B, LR40993, MK50993, T40993, UM9151, UM9151-3, WE9102 и WE9104 стабилитрон VD1 может не понадобиться, так как он должен иметься на основной плате телефона.

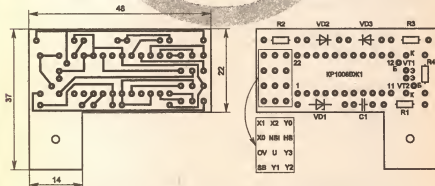


Рис. 6.5. Переходная плата для замены ИС ЭНН с открытым стоком выхода ИК, микросхемой КР1008ВЖ1.

Табл. 6.3. Соответствие контактных площадок переходной платы с контактными площадками заменяемой микросхемы.

Соответствие контактных площадок переходной платы контактными площадкам заменяемой микросхемы:														
ET40992 HM9100A1 KS5805A KS5805B KS58C05 KS5851 LR40992 LR40993 MK50992N MK50993 T40992 T40993			CIC992BE ET40982 HD970040D KS5804 LR40981A MK5173AN MK50981 TR50981AN WE912B			HM9100B KS5853			CIC9104E UM9151-3 WE9104			CIC9102E UM9151 WE9102		
4	5	16	4	5	14	3	4	14	15	16	1	16	17	18
3	18	17	3	16	15	2	16	15	14	9	11	15	9	12
6	1	13	6	1	11	5	1	11	12	5	4	10	5	4
SB	15	14	SB	13	12	SB	13	12	SB	2	8	SB	2	3

Второй вариант замены ИС ЭНН с логическим выходом ИК показан на рис. 6.6. В этом случае необходимо добавить ключ на полевом п-канальном транзисторе с индуцированным каналом и изолированным затвором KP1014KT1A(B), подключив его параллельно выходу диодного моста. Особенность схемы состоит в том, что импульсный ключ ТА используется как разговорный ключ, а набор номера осуществляется токовым ключом на KP1014KT1A(B). Если в ТА присутствует разговорный ключ, то вывод 18 ИС KP1008BЖ5(7) необходимо подключать на него, а импульсный ключ ТА отключить (вместо него будет работать токовый ключ на KP1014KT1A(B)).

Импульсы, управляющие работой ключа, подаются на затвор токового ключа с выхода ИК ИС и полностью соответствуют требованиям технических условий для отечественных телефонных сетей, так как ИС KP1014KT1A(B) в режиме насыщения имеет сопротивление менее 50 Ом.

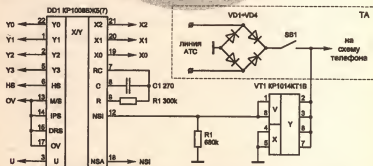


Рис. 6.6. Схема замены микросхемы номеронабирателя на ИС KP1008BЖ5(7) и токовый ключ KP1014KT1B.

7. ЗАЩИТА И ДОРАБОТКА ТА

Амплитуда посылок сигнала индукторного вызова достигает 120 В, а на некоторых станциях и 200 В. Именно это напряжение представляет наибольшую опасность для электронной "начинки" телефона. При снятии трубки во время звонка напряжение посылок индукторного вызова может вывести из строя основные элементы ТА (импульсный ключ, микросхему номеронабирателя, электрический микрофон). Это может произойти как из-за пробоя внутри элементов, так и за счёт превышения допустимой рассеиваемой мощности на них.

7.1. ЗАЩИТА МИКРОСХЕМЫ НОМЕРОНАБИРАТЕЛЯ

Самым слабым местом в ИС является выход импульсного ключа. Для ИС ЭНН пробой внутреннего полевого транзистора импульсного ключа с открытым стоком наступает при напряжении свыше 30 В. Естественно, напрашивается простейший способ защиты - ограничить напряжение, которое может появиться на выходе ИК ИС при пробое транзисторов ИК ТА или снятии трубки во время звонка.

Для этого между нулевой шиной и выходом ИК ИС включается стабилитрон с напряжением стабилизации 13 + 15 В (рис. 7.1). Но этот способ защиты не дает гарантии полной защиты, поскольку при пробитом коллекторном переходе транзистора VT1 импульсного ключа ТА (рис. 6.1,а и 6.1,б) и попытке набора номера через открытый выход ИК ИС пойдет весь ток линии, что моментально приведет к выходу из строя микросхемы номеронабирателя.

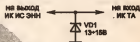


Рис. 7.1. Способ защиты выхода ИК ИС ЭНН с открытым стоком.



Рис. 7.2. Рекомендуемая схема защиты выхода ИК ИС ЭНН с открытым стоком.

Гарантированную защиту выхода ИК ИС обеспечивает применение дополнительного транзистора, включенного по схеме, приведенной на рис. 7.2. Здесь транзистор VT1 включен по схеме эмиттерного повторителя. Когда выход ИК микросхемы ЭНН находится в высокоимпедансном состоянии, то переход эмиттер - коллектор транзистора VT1 закрыт. При наборе номера выход ИК ИС подключается к общей шине. Ток, протекающий через резистор R1 (рис. 6.1,а и 6.1,б) и переход база-эмиттер защитного транзистора VT1, открывает его и подключает вход ИК ТА на землю. Импульсный ключ ТА закрывается.

Если к эмиттеру транзистора VT1 (рис. 7.2) по любой причине будет приложен высокий потенциал, то при появлении малейшего тока в цепи: эмиттер-база транзистора VT1 - выход ИК ИС - корпус, транзистор VT1 открывается и весь ток проходит через него. Это исключает выход из строя микросхемы номеронабирателя.

Наиболее опытные радиолюбители могут возразить, что защитный транзистор следует подключать так, как показало на рис. 7.3. Однако продолжительная практика использования схемы, приведенной на рис. 7.2, показала её полную надёжность.

Такой способ защиты весьма эффективен и позволяет снимать трубку даже во время междугородного звонка, если, конечно, защищены транзисторы ИК. Междугородный звонок при отсутствии описанной защиты наиболее опасен для ТА из-за повышенной частоты следования посылок вызывного сигнала, что повышает вероятность снятия трубки во время звонка.

Для ИС с логическим выходом ИК перечисленные способы не пригодны, так как напряжение

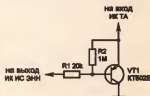


Рис. 7.3. Схема защиты выхода ИК ИС ЭНН с открытым стоком и резисторами в базовой цепи.

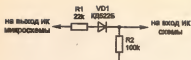


Рис. 7.4. Способ защиты выхода ИК ИС номеронабирателя с логическим выходом.

выхода ИК ИС не превышает напряжение питания ИС. В этом случае выход ИК ИС следует включить через диод, как показано на рис. 7.4. Для обеспечения надежного записывания транзистора VT1 при напряжении низкого уровня на выходе ИК ИС с его базы на корпус необходимо включить резистор R2 сопротивлением $100 + 300 \text{ кОм}$. Резистор R1 должен присутствовать на плате телефона. Его сопротивление может на-

ходиться в довольно широких пределах.

Микросхему номеронабирателя с встроенным источником опорного напряжения можно защитить и по цепи питания. Для этого необходимо с входа питания ИС на корпус включить стабилитрон с напряжением стабилизации $4,7 + 5,6 \text{ В}$ (КС147А,Г; КС156А,Г и т. п.). Но в этом, как правило, нет необходимости. При надежно запираемом выходе ИК микросхемы номеронабирателей практически не выходят из строя по питанию благодаря внутренней защите.

7.2. ЗАЩИТА ИМПУЛЬСНОГО КЛЮЧА ТА

Сравним параметры отечественных и импортных транзисторов наиболее часто используемых в схемах ИК:

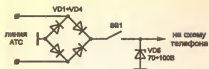
Транзистор	U _{кск} макс, В	I _к и I _{мкс} , мА	P _к макс, Вт
2N5551	180	600	0,35
KT503E	100	350	0,35
2N5401	180	600	0,35
KT502E	90	350	0,35

Предельно допустимые значения напряжения и импульсного тока зарубежных транзисторов значительно превышает аналогичные параметры отечественных. Поэтому они кажутся на первый взгляд более надежными, однако это не так. Практика показывает, что зарубежные транзисторы выходят из строя довольно часто, чем нельзя сказать об указанных отечественных, успешно используемых для их замены. Причина состоит в том, что вследствие бросков напряжения, возникающих при наборе номера, а равно воздействия высокого напряжения индукторного вызова происходит превышение предельно допустимой рассеиваемой мощности. У отечественных транзисторов имеется больший запас по допустимой рассеиваемой мощности, чем у зарубежных, несмотря на то, что паспортные данные у них одинаковые. Кроме того, необходимо также учитывать, что в недорогих импортных телефонах могут устанавливаться некондиционные компоненты, у которых параметры не соответствуют паспортным, тогда как для отечественных транзисторов это практически исключено.

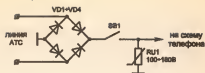
Если в линии отсутствуют броски напряжения, а трубку Вы снимаете всегда во время паузы между звонками, Ваш телефон будет длительное время работать исправно. Тем не менее, защиту следует ввести. Ведь её реализация проста и не трудоемка.

На рис. 7.5 приведены схемы подключения защитного элемента, в качестве которого можно использовать стабилитрон, варистор или неоновую лампочку. Основное назначение защитного элемента - ограничить броски напряжения в линии до величины, безопасной для транзисторов ИК.

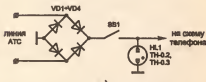
Стабилитрон (рис. 7.5,а) необходимо использовать с напряжением стабилизации от 70 до 100 В (КС568В, КС582В, КС591А, КС596В, КС600А и т. п.). Его нужно включать только после микропереключателя, иначе, после первой же посылки сигнала индукторного вызова Ваш абонент услышит короткие гудки.



а)



б)



в)

Варистор (рис. 7.5,б) представляет собой полупроводниковый резистор, сопротивление которого уменьшается с увеличением приложенного напряжения. Их желательно использовать на напряжение $100 + 180$ В типа СН 1-2-1. Варисторы с напряжением ниже 100 В применять не рекомендуется, поскольку это может вызывать сбой при наборе номера.

Неоновая лампочка (рис. 7.5,в) выполняет функцию порогового элемента с напряжением ограничения $70 + 85$ В. Металлический цоколь лампочки необходимо подключать к плюсовой цепи.

Варистор и неоновую лампочку, в отличие от стабилитрона, можно включать перед микропереключателем, непосредственно к положительному выходу диодного моста. Неоновая лампочка при таком включении во время посылки сигнала индукторного вызова будет выполнять также функцию светового индикатора вызова.

Рис. 7.5. Схемы включения защитных элементов ИК схемы ТА.

7.3. ДОРАБОТКА РАЗГОВОРНОГО УЗЛА

Если выполнена защита микросхемы и транзисторов ИК, то никаких специальных методов защиты разговорного узла применять не надо.

Целью доработки является улучшение потребительских параметров ТА, исходя из принципа - хорошо слышу я, хорошо слышат меня. Эта цель достигается улучшением характеристик микрофонного и телефонного усилителей.

Качество работы микрофонного усилителя очень зависит от типа применяемого микрофона. Если в Вашем телефоне установлен электродинамический микрофон (рис. 7.6), то улучшить работу ТА можно лишь заменив этот микрофон на электретный (рис. 7.7), обладающий значительно

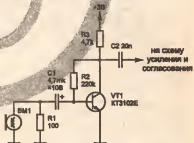


Рис. 7.6. Схема подключения электродинамического микрофона.



Рис. 7.7. Схема подключения электретного микрофона.

лучшими параметрами. В некоторых случаях этого бывает достаточно, чтобы Вас слышали хорошо.

Если уровень сигнала микрофона остался неудовлетворительным, то необходимо согласовать выходное сопротивление микрофона с входным сопротивлением микрофонного усилителя посредством эмиттерного повторителя. Его схема приведена на рис. 7.8.

Необходимость согласования обусловлена тем, что выход электретного микрофона, выполненный на полевом транзисторе, обладает высоким сопротивлением, соизмеримым с входным сопротивлением усилителя. Вследствие

этого образуется делитель напряжения, ослабляющий сигнал.

Эмиттерный повторитель уменьшает выходное сопротивление микрофона, в результате чего всё напряжение сигнала прикладывается ко входу усилителя. В этом случае усиление возрастает настолько, что приходится применять меры против возбуждения.

Возбуждение устраняется увеличением сопротивления балансного резистора противоместной схемы (например, R3 на рис. 3.36) примерно вдвое.



Рис. 7.9.
Цоколёвка
ИС KA1436UE1.



Рис. 7.10.
Цоколёвка
ИС KA1403UE2.

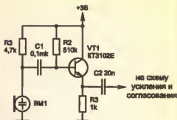


Рис. 7.8. Схема согласования
выходного сопротивления
электретного микрофона.

Можно также применить микросхемы KA1436UE1 или KA1403UE2A(Б), предназначенные для работы в качестве усилителя-повторителя для согласования выходного сопротивления электретного микрофона с входным сопротивлением усилителя НЧ. ИС KA1436UE1 производит НПО "ИНТЕГРАЛ" в г. Минске.

Цоколёвка ИС KA1436UE1 приведена на рис. 7.9, а KA1403UE2A(Б) на рис. 7.10. Их внутренняя электрическая схема приведена на рис. 7.11.

ИС представляют собой истоковый повторитель на полевом n-канальном транзисторе с p-n переходом.

Назначение выводов: 1 - плюс питания, 4 - общий, 6 - вход, 3 - выход, 2 и 5 не задействованы.

Основные электрические характеристики ИС KA1436UE1 и KA1403UE2A(Б):

- напряжение питания 0,8 + 5,0 В;
- напряжение входного сигнала в пределах $\pm 0,4$ В;
- входное сопротивление не менее 20 МОм;
- выходное сопротивление не более 2,5 КОм;
- коэффициент усиления напряжения не менее 0,4;
- ток потребления не более 160 мкА (для KA1403Б не более 180 мкА);
- эквивалентное полное напряжение шумов не более 3,5 мкВ.



Рис. 7.11.
Внутренняя
электрическая
схема ИС
KA1436UE1
и KA1403UE2.

Если Вы плохо слышите абонента, то можно установить в трубке телефона вместо часто используемого электромагнитного микрофонного капсюля динамическую головку мощностью 0,25 + 0,5 Вт и номинальным электрическим сопротивлением 8 + 50 Ом (0,25ГД-10; 0,5ГДШ-9; 0,5ГД-13 и т.п.).

Если этого будет недостаточно, необходимо заменить или дополнить усилитель приёма (например, усилителем НЧ на ИС ЭКР1436УН1).

Для повышения стабильности работы разговорного узла вместо нагрузочного резистора линии (например, R6 на рис. 3.36) желательно установить стабилитрон типа КС138А или КС433А и подключить параллельно ему электролитический конденсатор ёмкостью 47 мкФ \times 10 В. Можно использовать схему рис. 7.12, выполняющую одновременно функции стабилитрона и источника тока для светодиода VD1. Светодиод можно использовать в качестве индикатора поднятой трубки телефона.

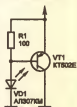


Рис. 7.12.
Схема замены
нагрузочного
резистора
линии в ТА.

7.4. ЗАМЕНА ДИСКОВОГО НОМЕРОНАБИРАТЕЛЯ НА КНОПОЧНЫЙ

Телефонные аппараты и другие оконечные абонентские устройства с дисковым номеронабирателем можно модернизировать в части установки в них кнопочного номеронабирателя. Для этого можно применить выпускаемые промышленностью номеронабиратели "ЭЛЕКТРОНИКА НК-01", "ЭЛЕКТРОНИКА НК-02" и "ЭЛЕКТРОНИКА НК-03".

Эти номеронабиратели полностью удовлетворяют требованиям, наложенным в разделе 1.1 и обеспечивают выполнение следующих функций:

- набор номера значностью до 22 цифр;
- неоднократное повторение набранного номера нажатием кнопки "*" (повтор) ;
- прерывание набора номера на любом его этапе и последующее его повторение, начиная с первой цифры;
- прослушивание сигналов АТС в паузах между цифрами набираемого номера;
- программирование паузы увеличенной длительности (2,7 мс на одно нажатие кнопки "*") между любыми последовательными цифрами номера;
- отбой АТС нажатием кнопки "#" (отбой).

Схема номеронабирателя "ЭЛЕКТРОНИКА НК-01" приведена на рис. 7.13.

Диоды VD2, VD6 и переходы "сток - подложка" токовых ключей DA2, DA3 образуют диодный мост, который обеспечивает схему положительным на-

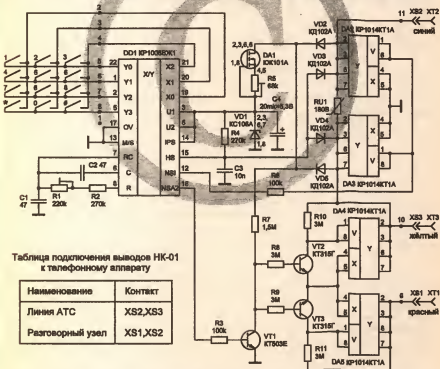


Рис. 7.13. Принципиальная электрическая схема кнопочного номеронабирателя "ЭЛЕКТРОНИКА НК-01".

прижением питания. Питание микросхемы номеронабирателя DD1 напряжением 3,2 В осуществляется стабилизатором напряжения, выполненным на стабилизаторе тока DA1, стабилитроне VD1 и конденсаторе C4. Подстроечным резистором R5 регулируется начальный ток стабилизатора тока DA1.

Разговорный ключ номеронабирателя выполнен на токовых ключах DA4, DA5 и управляется с выхода NSA2 DD1 (вывод 18). Он обеспечивает подключение телефонного аппарата к абонентской линии в разговорном режиме и отключение от неё в режиме набора номера. Транзисторы VT2 и VT3 необходимы для обеспечения работы разговорного ключа при любой полярности подключения номеронабирателя к линии АТС. Управление токовыми ключами DA4, DA5 осуществляет тот транзистор, на коллекторе которого присутствует положительный потенциал.

Импульсный ключ, построенный на токовых ключах DA2, DA3 и подключенный параллельно линейным клеммам XS2, XS3, обеспечивает передачу импульсов набора номера, формируемых на выходе NSI DD1 (вывод 12), в абонентскую линию. Межсерийная пауза увеличенной длительности формируется нажатием кнопки "*" (повтор) во время набора номера.

Нажатие кнопки "#" (отбой) приводит к закрыванию разговорного ключа, отключению разговорной схемы ТА от абонентской линии и отбою приборов АТС. Режим "отбой" осуществляется также при уложенной на аппарат трубку. При этом напряжение на клеммах XS2, XS3 исчезает. Напряжение "высокого" уровня с заряженного конденсатора C4 через резистор R4 поступает на вход HS DD1 (вывод 15) и осуществляет подготовку ИС к повтору номера. Дiodы VD3, VD4 обеспечивают "низкий" уровень на входе HS DD1 в разговорном режиме и

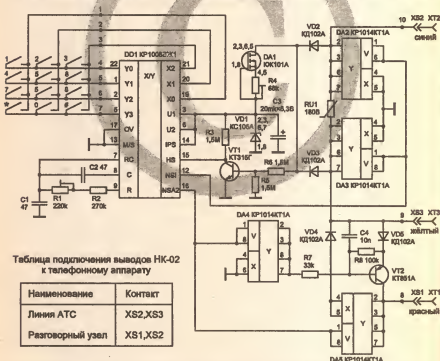


Рис. 7.14. Принципиальная электрическая схема кнопочного номеронабирателя "ЭЛЕКТРОНИКА НК-02".

предотвращают разряд конденсатора С4 при уложенной на рычаг трубке.

Варистор RU1 защищает токовые ключи от пробоя при бросках напряжения на линии и от высокого напряжения индуктивного вызова. Подстроечным резистором R1 регулируется частота набора номера.

Номеронабиратель "ЭЛЕКТРОНИКА НК-02" (рис. 7.14) отличается от номеронабирателя "ЭЛЕКТРОНИКА НК-01" усовершенствованными схемами "отбой" и отключения разговорного узла. "Низкий" уровень на входе HS в разговорном режиме обеспечивает открытый транзистор VT1. При уложенной на рычаг трубке напряжение на базе транзистора VT1 равно нулю, транзистор закрыт и на входе HS DD1 через резистор R3 с заряженного конденсатора С3 подаётся "высокий" уровень. Такая схема обеспечивает более длительный разряд конденсатора С1 и, как следствие, продолжительное время удержания в памяти ОЗУ микросхемы ЭНН последнего набранного номера.

Разговорный узел при положительном потенциале линии АТС на клемме XS3 подключается к линии АТС через диод VD5 и открытый транзистор VT2. Транзистор VT4 открывается тогда, когда открывается токовый ключ DA4 и через резистор R7 подключает базу транзистора на корпус. При отрицательном потенциале на клемме XS3 разговорный узел подключается к линии через открытый токовый ключ DA5 и диод VD4.

На рис. 7.15 приведена принципиальная электрическая схема кнопочного номеронабирателя "ЭЛЕКТРОНИКА НК-03". Узел "отбой" в нём выполнен как в "НК-01", а схема отключения разговорного узла аналогична "НК-02". Добавлена интегрирующая цепь на выводе 5 ИС ЭНН для увеличения времени антидребезга.

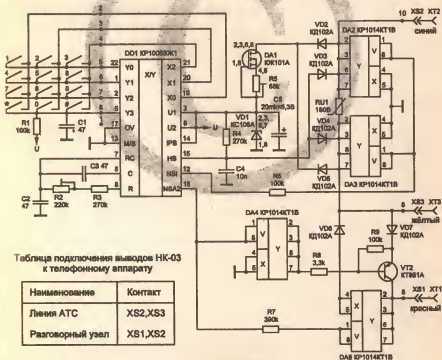


Рис. 7.15. Принципиальная электрическая схема кнопочного номеронабирателя "ЭЛЕКТРОНИКА НК-03".

7.5. УСТРОЙСТВА ДЛЯ ПРОВЕРКИ МИКРОСХЕМ И ТРАНЗИСТОРОВ, ПРИМЕНЯЕМЫХ В ТЕЛЕФОННЫХ АППАРАТАХ

Часто возникает необходимость проверить работоспособность микросхемы или транзистора перед установкой в схему, или удостовериться в исправности выпаиваемых элементов схемы.

На рис. 7.16 приведена схема устройства, позволяющего произвести проверку микросхем КР1008ВЖ1, КР1008ВЖ5, КР1008ВЖ7, КР1064ВЖ5, КР1064ВЖ7.

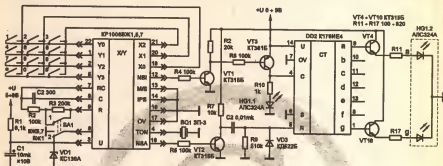


Рис. 7.16. Схема для проверки исправности ИС КР1008ВЖ1, КР1008ВЖ5(7).

Для подключения проверяемой микросхемы предусмотрена панель, в которую вставляется ИС при проверке. Питание схемы осуществляется напряжением 5 + 9 В. Резистор R1, конденсатор C1 и стабилитрон VD1 обеспечивают проверяемую ИС напряжением питания 3 В.

Цоколёвка микросхем КР1008ВЖ5 и КР1008ВЖ7 одинакова, что позволяет проверять их без каких-либо дополнений. Цоколёвка ИС КР1008ВЖ1 отличается от их цоколёвки назначением двух выводов - 6 и 15.

Вывод 15 в ИС КР1008ВЖ1 - вход "отбой" (HS), а в ИС КР1008ВЖ5 и КР1008ВЖ7 - вход установки частоты набора - 10/20 Гц (DRS). Так как функцию "отбой" можно осуществлять кнопкой "#" клавиатуры, то вывод 15 подключается к общему проводу.

Вывод 6 в ИС КР1008ВЖ1 - вход напряжения питания (U), а в ИС КР1008ВЖ5 и КР1008ВЖ7 - вход "отбой" (HS).

Переключатель SA1 в нижнем (по схеме) положении контактов позволяет осуществлять проверку ИС КР1008ВЖК1, а в верхнем - КР1008ВЖК5 и КР1008ВЖК7

При проверке ИС КР1008ВЖ1 на вывод 6 подается напряжение со стабилизатора VD1, а при проверке ИС КР1008ВЖ5 и КР1008ВЖ7 вывод 6 соединяется с общим проводом.

Поскольку при тех же параметрах времязадающей цепи (C2 и R2) частота набора у ИС КР1008ВЖ5 и КР1008ВЖ7 в три раза выше, то для обеспечения номинальной частоты набора второй контакт SA1 подключает при проверке этих микросхем в цепи генератора дополнительно резистор R3.

С выхода импульсного ключа ИС DD1 (вывод 12) импульсы набора через согласующие транзисторы VT1 и VT3 поступают на вход "С" счетчика DD2 (вывод 4), определяющего число импульсов, поступивших с выхода ИК ИС, и формирующего сигналы управления семисегментным светодиодным индикатором HG1. Светодиодный индикатор отображает число принятых импульсов в десятичном виде. Транзисторы VT4 + VT10 согласуют выход счетчика - дешифратора со светодиодным индикатором, номинальный ток которого обеспечивает резисторы R11 + R17. Импульсы набора изменяют состояние счетчика по спаду по-

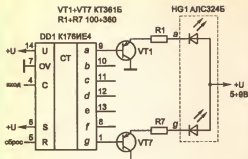


Рис. 7.17. Схема подключения светодиодного индикатора с общим анодом.

исходное состояние перед началом каждой серии импульсов набора.

В схеме применён индикатор АЛС324А с общим катодом. Вместо него могут быть использованы индикаторы АЛ304А,Б,В, АЛС321А, АЛС313А, АЛС314А, АЛС333А,Б, АЛС339А. Светодиодные матрицы с общим анодом - АЛ304Г, АЛС321Б, АЛС324Б, АЛС333Б,Г следует включать по схеме, приведённой на рис. 7.17.

Высококонтрастные индикаторы типа АЛ304Г можно включать непосредственно к выходам микросхемы, как показано на рис. 7.18. Однако из-за разброса тока короткого замыкания микросхем, в нормируемых технических условиях, яркость свечения индикаторов может быть различной. Идентичности яркости свечения частично можно достичь подбором напряжения питания индикаторов.

Для согласования выходов микросхемы К176ИЕ4 со светодиодными индикаторами, имеющими общий анод можно использовать микросхемы К176ПУ1, К176ПУ2, К176ПУ3, К561ПУ4 и К561ЛН2, как показано на рис. 7.19.

При использовании неинвертирующих микросхем (К176ПУ3, К561ПУ4) вход S (вывод 6) К176ИЕ4 следует соединить с выходом U, а при использовании

инвертирующих (К176ПУ1, К176ПУ2, К561ЛН2) - с общим проводом.

На рис. 7.20 представлена схема для проверки работоспособности двух наиболее распространенных групп зарубежных ИС. В первую входят ИС К55805А, К55851 и их аналоги, приведенные в таблице 6.2. Во вторую - WE9192В и ее аналоги.

Микросхема К55805А имеет 18 выводов, а WE9192В - 16 выводов. Но её цоколёвка повторяет цоколёвку К55805А за исключением выводов 9 - M/S

ложительных импульсов на входе "С" (вывод 4).

Светодиод VD2 мигает с частотой 10 Гц во время следования импульсов набора. В качестве него можно использовать точку светодиодной матрицы HG1.

С выхода разговорного ключа ИС DD1 (вывод 18) отрицательный перепад импульса инвертируется транзистором VT2 и поступает на дифференцирующую цепь C2, R10. Короткий импульс положительного напряжения, сформированный ею, поступает на вход R DD2 (вывод 5) и устанавливает счетчик в

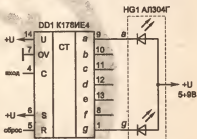


Рис. 7.18. Схема подключения светодиодного индикатора АЛ304Г.

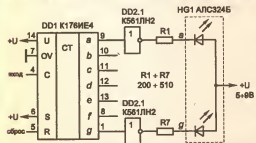


Рис. 7.19. Схема согласования выходов ИС К176ИЕ4 со светодиодными индикаторами, имеющими общий анод.

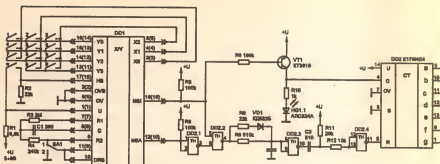


Рис. 7.20. Схема для проверки исправности ИС KS5805A, KS5851, WE9192B и их аналогов.

и 10 - DRS, которые у нее отсутствуют. На рис. 7.20 в скобках указаны номера выводов для ИС WE9192B. Переключатель SA1 служит для выбора типа проверяемой микросхемы. В положении "1" проверяются микросхемы второй группы, в положении "2" - первой.

Работа устройства осуществляется следующим образом. Импульсы набора отрицательной полярности с выхода импульсного ключа NSI (вывод 18 для KS5805A и 16 для WE9192B) проверяемой ИС инвертируются транзистором VT1 и поступают на вход "С" (вывод 4) счетчика-дешифратора K176IE4. Как и в предыдущей схеме число пришедших импульсов отображается на индикаторе. В проверяемых микросхемах выход разговорного ключа NSA (вывод 12 для KS5805A и 10 для WE9192B) формирует импульс на весь период набора. Для осуществления начальной установки счетчика после набора каждой цифры имеется формирователь сброса на микросхеме DD2. С выхода разговорного ключа NSA импульс отрицательной полярности через инвертор на элементе DD2.1 управляет ключом на элементе DD2.2, разрешающим прохождение импульсов набора на интегрирующую цепочку R8, R9, VD1, C2.

Элементы цепочки рассчитаны таким образом, чтобы импульсы набора не позволяли разрядиться конденсатору C2, поддерживающему на время следования импульсов набора одной цифры потенциал логической "1" на входе инвертора DD2.3. За период межсериальной паузы конденсатор C2 разряжается до уровня переключения логического элемента DD2.3. Дифференцирующая цепочка на выходе последнего формирует короткий отрицательный импульс, который инвертируется элементом DD2.4 и устанавливает счетчик в исходное состояние.

Для проверки работоспособности транзисторов можно применить простое и надежное устройство, в основу которого положено использование импортного трехвыводного пьезоизлучателя. Схема устройства приведена на рис. 7.21. Схема не критична к напряжению питания, которое может быть в пределах 5 + 15 В. В верхнем по схеме положении переключателя SA1 проверяются транзисторы структуры р-п-р, а в нижнем - п-р-п. Если транзистор исправен и цоколевка совпадает с указанной, Вы услышите тональный сигнал пьезоизлучателя

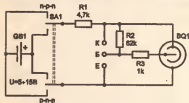


Рис. 7.21. Схема для проверки исправности транзисторов.

BQ1 частотой около 3,5 кГц. Схема позволяет не только определять исправность транзисторов, но и определять структуру и цоколевку транзисторов, на которые нет справочных данных, так как неправильное включение не выводит транзисторы из строя.

8. СПРАВОЧНЫЙ МАТЕРИАЛ

8.1. КОДОВАЯ И ЦВЕТОВАЯ МАРКИРОВКА РЕЗИСТОРОВ

Кодированное обозначение номинальных сопротивлений резисторов состоит из трёх или четырёх знаков, включающих две цифры и букву или три цифры и букву. Буква кода является множителем, обозначающим сопротивление в омах, и определяет положение запятой десятичного знака. Кодированное обозначение допускаемого отклонения состоит из буквы латинского алфавита (табл. 8.1).

Табл. 8.1. Кодированное обозначение номинального сопротивления, допуска и примеры обозначения.

Сопротивление		Допуск		Примеры обозначения	
Множитель	Код	Допуск, %	Код	Полное обозначение	Код
1	R (Е)	$\pm 0,1$	B (Ж)	3,9 Ом $\pm 5\%$	3R9J
		$\pm 0,25$	C (У)	215 Ом $\pm 2\%$	215RG
10^3	K (К)	$\pm 0,5$	D (Л)	1 кОм $\pm 5\%$	1K0J
		± 1	F (Р)	12,4 кОм $\pm 1\%$	12K4F
10^6	M (М)	± 2	G (Л)	10 кОм $\pm 5\%$	10KJ
		± 5	J (И)	100 кОм $\pm 5\%$	M10J
10^9	G (Г)	± 10	K (С)	2,2 МОм $\pm 10\%$	2M2K
		± 20	M (В)	6,8 ГОм $\pm 20\%$	6G8M
10^{12}	T (Т)	± 30	N (Ф)	1 ТОм $\pm 20\%$	1T0M

Примечание. В скобках указано старое обозначение.

Цветовая маркировка наносится в виде четырёх или пяти цветных колец. Каждому цвету соответствует определённое цифровое значение (табл. 8.2). У резисторов с четырьмя цветными кольцами первое и второе кольца обозначают величину сопротивления в омах, третье кольцо - множитель, на который необходимо умножить номинальную величину сопротивления, а четвертое кольцо определяет величину допуска в процентах (рис. 8.1,а).

Табл. 8.2. Цветовая маркировка номинального сопротивления и допуска.

Цвет знака	Номинальное сопротивление, Ом				Допуск %
	Первая цифра	Вторая цифра	Третья цифра	Множитель	
Серебристый	—	—	—	10^{-2}	± 10
Золотистый	—	—	—	10^{-1}	± 5
Чёрный	—	0	—	1	—
Коричневый	1	1	1	10	± 1
Красный	2	2	2	10^2	± 2
Оранжевый	3	3	3	10^3	—
Жёлтый	4	4	4	10^4	—
Зелёный	5	5	5	10^5	$\pm 0,5$
Голубой	6	6	6	10^6	$\pm 0,25$
Фиолетовый	7	7	7	10^7	$\pm 0,1$
Серый	8	8	8	10^8	$\pm 0,05$
Белый	9	9	9	10^9	—

Резисторы с малой величиной допуска ($0,1\% + 2\%$) маркируются пятью цветовыми кольцами (рис. 8.1,б). Первые три - численная величина сопротивле-

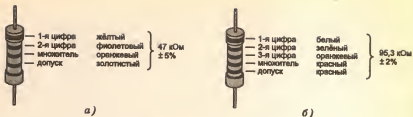


Рис. 8.1. Цветовая маркировка резисторов.

ния, четвертое - множитель, пятое - допуск.

Маркировочные знаки на резисторах сдвинуты к одному из выводов и располагаются слева направо. Если размеры резистора не позволяют разместить маркировку ближе к одному из выводов, то ширина полосы первого знака делается примерно в два раза больше других.

8.2. КОДОВАЯ И ЦВЕТОВАЯ МАРКИРОВКА КОНДЕНСАТОРОВ

Конденсаторы характеризуются следующими основными параметрами:

- **номинальная ёмкость** - ёмкость, которую должен иметь конденсатор в соответствии с нормативной документацией;
- **допуск** - допускаемое отклонение ёмкости от номинальной;
- **номинальное напряжение** - значение напряжения, при котором конденсатор может работать в течение срока службы с сохранением заданных параметров;
- **температурный коэффициент ёмкости (ТКЕ)** - определяет относительное изменение ёмкости конденсатора при изменении температуры на 1 °C (табл. 8.4).

Маркировка конденсаторов может быть либо буквенно - цифровой, содержащая сокращённое обозначение вышеперечисленных параметров, либо цветовая.

Кодированное обозначение номинальных ёмкостей состоит из двух или трёх цифр и буквы. Буква кода является множителем, составляющим значение ёмкости (табл. 8.3), и определяет положение десятичной дроби.

Допускаемое отклонение величины ёмкости в процентах от номинального значения указывают теми же буквами, что и допуски на сопротивление резисторов, однако, с некоторыми дополнениями. Кодированные значения допустимых отклонений от номинальной ёмкости приведены в табл. 8.3. Для конденсаторов ёмкостью менее 10 пФ допускаемое отклонение устанавливается в пикофарадах:

Допуск, пФ	$\pm 0,1$	$\pm 0,25$	$\pm 0,5$	± 1
Код	В	С	Д	Е

Табл. 8.3. Кодированное обозначение номинальной ёмкости и допуска.

Ёмкость			Допуск			
Множитель	Код	Значение	Допуск, %	Код	Допуск, %	Код
10^{-12}	р	пикофарады	$\pm 0,1$	В (Ж)	± 20	М (В)
10^{-9}	п	нанофарады	$\pm 0,25$	С (У)	± 30	Н (Ф)
10^{-6}	μ	микрофарады	$\pm 0,5$	Д (Л)	-10...+30	Q (-)
10^{-3}	м	миллифарады	± 1	Е (Р)	-10...+50	Т (Э)
			± 2	Г (Л)	-10...+100	У (Ю)
			± 5	Ж (И)	-20...+50	С (Б)
1	Е	фарады	± 10	К (С)	-30...+80	З (А)

Примечание. В скобках указано старое обозначение допуска.

Табл. 8.4. Цветовая и кодовая маркировка температурного коэффициента ёмкости (ТКЕ) керамических и стеклянных конденсаторов.

Группа ТКЕ	Номинальное значение ТКЕ ($\times 10^{-6}/^{\circ}\text{C}$)	Буквен- ный код	Цветовой код		
			Новое обозначение	Старое обозначение	
				Цвет покрытия конденсатора	Маркиро- вочная точка
П100	+100	A	Красный + фиолетовый	Синий	—
П60	+60	G	—	Синий	Чёрная
П33	+33	N	Серый	Серый	—
МПО	0	C	Чёрный	Голубой	Чёрная
M33	-33	H	Коричневый	Голубой	Коричневая
M47	-47	M	Голубой + красный	Голубой	—
M75	-75	L	Красный	Голубой	Красная
M150	-150	P	Оранжевый	Красный	Оранжевая
M220	-220	R	Жёлтый	Красный	Жёлтая
M330	-330	S	Зелёный	Красный	Зелёная
M470	-470	T	Голубой	Красный	Синяя
M750	-750	U	Фиолетовый	Красный	—
M1500	-1500	V	Оранжевый + оранжевый	Зелёный	—
M2200	-2200	K	Жёлтый + оранжевый	Зелёный	—
M3300	-3300	Y	—	—	—

Для конденсаторов с нелинейной зависимостью ёмкости от температуры температурную стабильность ёмкости конденсатора характеризуют относительным изменением ёмкости при переходе от нормальной температуры ($20 \pm 5^{\circ}\text{C}$) к предельным значениям рабочей температуры (табл. 8.5).

Табл. 8.5. Цветовая и кодовая маркировка допуска керамических конденсаторов с ненормируемым ТКЕ.

Группа ТКЕ	Допускаемое изменение ёмкости, %, в интервале t° $-60...+80^{\circ}\text{C}$	Буквен- ный код	Цветовой код		
			Новое обозначение	Старое обозначение	
				Цвет покрытия конденсатора	Маркиро- вочная точка
H10	± 10	B	Оранжевый + чёрный	Оранжевый	Чёрная
H20	± 20	Z	Оранжевый + красный	Оранжевый	Красная
H30	± 30	D	Оранжевый + зелёный	Оранжевый	Зелёная
H50	± 50	X	Оранжевый + голубой	Оранжевый	Синяя
H70	± 70	E	Оранжевый + фиолетовый	Оранжевый	—
H90	± 90	F	Оранжевый + белый	Оранжевый	Белая

Табл. 8.6. Кодированное обозначение номинальных напряжений конденсаторов.

Номинальное напряжение, В	Код	Номинальное напряжение, В	Код	Номинальное напряжение, В	Код
1,0	I	25	G	200	Z
1,6	P	32	H	250	W
2,5	M	40	S	315	X
3,2	A	50	J	350	T
4,0	C	63	K	400	Y
6,3	B	80	L	450	U
10	D	100	N	500	V
16	E	125	P		
20	F	160	Q		

Конденсаторы маркируются кодом в следующем порядке:

- номинальная ёмкость;
- допускаемое отклонение ёмкости;
- ТКЕ и (или) номинальное напряжение.

Приведём примеры кодированной маркировки конденсаторов.

Сокращённая буквенно - цифровая маркировка на конденсаторе 33pKL обозначает номинальную ёмкость 33 пФ с допускаемым отклонением $\pm 10\%$ и температурной нестабильностью группы M75 ($75 \times 10^{-6} ^\circ\text{C}^{-1}$). Надпись m10SF обозначает 100 мкФ с допуском $-20...+50\%$ и номинальным напряжением 20 В.

Номинальная ёмкость 150 пФ может обозначаться 150p или n15; 4700 пФ - 4n7; 0,15 мкФ - $\mu 15$; 2,2 мкФ - 2 $\mu 2$.

Номинальная ёмкость зарубежных конденсаторов часто кодируется тремя или четырьмя цифрами, последние из которых обозначает число нулей в значении ёмкости в пикофарадах. Например, код 391 обозначает 390 пФ; 132 - 1300 пФ (1,3 нФ); 473 - 47000 пФ (47 нФ); 1623 - 162000 пФ (162 нФ); 154 - 150000 пФ (0,15 мкФ); 105 - 1000000 пФ (1 мкФ). Номинальную ёмкость конденсаторов до 99 пФ обозначают двумя подчёркнутыми цифрами. Ёмкость конденсаторов от 0,001 мкФ до 0,9 мкФ иногда обозначают десятичной дробью без первого нуля. Например, код .001 обозначает 0,001 мкФ; .02 - 0,02 мкФ. За рубежом в качестве разделителя десятичной дроби применяется не запятая, а точка.

Цветовая кодировка применяется для маркировки номинальной ёмкости, допускаемого отклонения ёмкости, номинального напряжения до 63 В (табл. 8.7) и группы ТКЕ (табл. 8.4). Маркировку наносят в виде цветных точек или полосок.

Табл. 8.7. Цветовые коды для маркировки конденсаторов.

Цветовой код	Номинальная ёмкость, пФ		Допускаемое отклонение ёмкости, %	Номинальное напряжение, В
	Первая и вторая цифры	Множитель		
Серый	-	-	-	3,2
Чёрный	10	1	± 20	4,0
Коричневый	12	10	± 1	6,3
Красный	15	10^2	± 2	10
Оранжевый	18	10^3	$\pm 0,25$	16
Жёлтый	22	10^4	$\pm 0,5$	40
Зелёный	27	10^5	± 5	25 или 20
Голубой	33	10^6	± 1	32 или 30
Фиолетовый	39	10^7	$-20...+50$	50
Серый	47	10^{-2}	$-20...+80$	-
Белый	56	10^{-1}	± 10	63
Серебристый	68	-	-	2,5
Золотистый	82	-	-	1,5

8.3. ЦВЕТОВАЯ МАРКИРОВКА И ПАРАМЕТРЫ ДИОДОВ И СТАБИЛИТРОНОВ

Табл. 8.8. Цветовая маркировка выпрямительных и импульсных диодов.

Тип диода	Цвет корпуса или метка на корпусе	Метка у выводов		Рисунок +  -
		анода (+)	катода (-)	
Д9В	-	красное кольцо	-	
Д9В	-	оранжовое или красное + оранжовое кольцо	-	
Д9Г	-	желтое или красное + желтое кольцо	-	
Д9Д	-	белое или красное + белое кольцо	-	
Д9Е	-	голубое или красное + голубое кольцо	-	
Д9Ж	-	зеленое или красное + зеленое кольцо	-	
Д9И	-	два желтых кольца	-	
Д9К	-	два белых кольца	-	
Д9Л	-	два зеленых кольца	-	
Д9М	-	два голубых кольца	-	
КД102А	-	зеленая точка	-	
КД102Б	-	синяя точка	-	
2Д102А	-	желтая точка	-	
2Д102Б	-	оранжевая точка	-	
КД103А	черный	синяя точка	-	
КД103Б	зеленый	желтая точка	-	
2Д103А	-	белая точка	-	
КД105В	точка отсутствует	белая или желтая полоса	-	
КД105В	зеленая точка	белая или желтая полоса	-	
КД105Г	красная точка	белая или желтая полоса	-	
КД105Д	белая или желтая точка	белая или желтая полоса	-	
КД208А	желтая точка	черная, зеленая или желтая точка	-	
КД208А	-	зеленая полоса	-	
КД209А	-	черная, зеленая или желтая точка	-	
КД209Б	белая точка	черная, зеленая или желтая точка	-	
КД209В	черная точка	черная, зеленая или желтая точка	-	
КД209Г	зеленая точка	черная, зеленая или желтая точка	-	
КД209А	-	красная полоса на торце корпуса	-	
КД209Б	зеленая точка	красная полоса на торце корпуса	-	
КД209В	красная точка	красная полоса на торце корпуса	-	
КД209Г	белая точка	красная полоса на торце корпуса	-	
КД221А	-	голубая точка	-	
КД221Б	белая точка	голубая точка	-	
КД221В	черная точка	голубая точка	-	
КД221Г	зеленая точка	голубая точка	-	
КД226А	-	-	оранжовое кольцо	
КД226Б	-	-	красное кольцо	
КД226В	-	-	зеленое кольцо	

Тип диода	Цвет корпуса или метка на корпусе	Метка у выводов		Рисунок + -
		анода (+)	катода (-)	
КД226Г	-	-	жёлтое кольцо	
КД226Д	-	-	белое кольцо	
КД226Е	-	-	голубое кольцо	
КД243А	-	-	фиолетовое кольцо	
КД243Б	-	-	оранжевое кольцо	
КД243В	-	-	красное кольцо	
КД243Г	-	-	зелёное кольцо	
КД243Д	-	-	жёлтое кольцо	
КД243Е	-	-	белое кольцо	
КД243Ж	-	-	голубое кольцо	
КД247А	-	-	два фиолетовых кольца	
КД247В	-	-	два оранжевых кольца	
КД247В	-	-	два красных кольца	
КД247Г	-	-	два зелёных кольца	
КД247Д	-	-	два жёлтых кольца	
КД247Е	-	-	два белых кольца	
КД247Ж	-	-	два голубых кольца	
КД410А	-	красная точка	-	
КД410В	-	синяя точка	-	
КД509А	-	синие узкое кольцо	синие широкое кольцо	
2Д509А	-	синие точка и узкое кольцо	синие широкое кольцо	
КД510А	-	два зелёных узких кольца	зелёное широкое кольцо	
2Д510А	-	зелёная точка и узкое кольцо	зелёное широкое кольцо	
КД521А	-	два синих узких кольца	синие широкое кольцо	
КД521В	-	два серых узких кольца	серое широкое кольцо	
КД521В	-	два жёлтых узких кольца	жёлтое широкое кольцо	
КД521Г	-	два белых узких кольца	белое широкое кольцо	
КД522А	-	чёрное широкое кольцо	чёрное узкое кольцо	
КД522В	-	чёрное широкое кольцо	два чёрных узких кольца	
2Д522В	-	чёрное широкое кольцо	чёрная точка	
1N4148	-	-	чёрное кольцо	
КД906	белая полоса у четвёртого вывода	-	-	
КДС111А	красная точка	-	-	
КДС111Б	зелёная точка	-	-	
КДС111В	жёлтая точка	-	-	
КЦ422А	точка отсутствует	-	чёрная точка	
КЦ422Б	белая точка	-	чёрная точка	
КЦ422В	чёрная точка	-	чёрная точка	
КЦ422Г	зелёная точка	-	чёрная точка	

Табл. 8.9. Цветовая маркировка стабилитронов и стабисторов.

Тип диода	Метка у выводов		Рисунок К  А
	катода	анода	
D814A1	—	чёрное широкое кольцо	
D814B1	—	чёрное широкое + чёрное узкое кольца	
D814B1	—	чёрное узкое кольцо	
D814Г1	—	жёлтое широкое кольцо	
D814Д1	—	три узких чёрных кольца	
D818A	чёрная метка на торце корпуса + белое кольцо	—	
D818Б	чёрная метка на торце корпуса + жёлтое кольцо	—	
D818В	чёрная метка на торце корпуса + голубое кольцо	—	
D818Г	чёрная метка на торце корпуса + зелёное кольцо	—	
D818Д	чёрная метка на торце корпуса + серое кольцо	—	
D818Е	чёрная метка на торце корпуса + оранжевое кольцо	—	
KC107A	серая метка на торце корпуса + красное кольцо	—	
KC126A	красное широкое + фиолетовое узкое + белое узкое кольца	—	
KC126Б	оранжевое широкое + чёрное узкое + белое узкое кольца	—	
KC126В	оранжевое широкое + оранжевое узкое + белое узкое кольца	—	
KC126Г	оранжевое широкое + белое узкое + белое узкое кольца	—	
KC126Д	жёлтое широкое + фиолетовое узкое + белое узкое кольца	—	
KC126Е	белое широкое + голубое узкое + белое узкое кольца	—	
KC126Ж	голубое широкое + красное узкое + белое узкое кольца	—	
KC126И	голубое широкое + серое узкое + белое узкое кольца	—	
KC126К	фиолетовое широкое + зелёное узкое + белое узкое кольца	—	
KC126Л	серое широкое + красное узкое + белое узкое кольца	—	
KC126М	белое широкое + коричневое узкое + белое узкое кольца	—	
KC207A	коричневое широкое + чёрное узкое + чёрное узкое кольца	—	
KC207Б	коричневое широкое + коричневое узкое + чёрное узкое кольца	—	
KC207В	коричневое широкое + красное узкое + чёрное узкое кольца	—	
KC133A	голубое кольцо	белое кольцо	
2C133A	белое кольцо	чёрное кольцо	
KC133Г	оранжевая метка на торце корпуса	—	
KC139A	зелёное кольцо	белое кольцо	
2C139A	зелёное кольцо	чёрное кольцо	
KC147A	серое или синее кольцо	белое кольцо	
2C147A	—	чёрное кольцо	
KC147Г	зелёная метка на торце корпуса	—	
KC156A	оранжевое кольцо	белое кольцо	
2C156A	оранжевое кольцо	чёрное кольцо	
KC156Г	красная метка на торце корпуса	—	
KC168A	красное кольцо	белое кольцо	
2C168A	красное кольцо	чёрное кольцо	
KC175Ж	белое кольцо	—	
KC182Ж	жёлтое кольцо	—	
KC191Ж	красное кольцо	—	
KC210Ж	зелёное кольцо	—	
KC211Ж	серое кольцо	—	

Тип диода	Метка у выводов		Рисунок К  А
	катода	анода	
KC212Ж	оранжовое кольцо	-	
KC213Ж	чёрное кольцо	-	
KC215Ж	белое кольцо	чёрное кольцо	
KC216Ж	жёлтое кольцо	чёрное кольцо	
KC218Ж	красное кольцо	чёрное кольцо	
KC220Ж	зелёное кольцо	чёрное кольцо	
KC222Ж	серое кольцо	чёрное кольцо	
KC224Ж	оранжовое кольцо	чёрное кольцо	
2C175Ж	голубая метка на торце корпуса + белое кольцо	-	
2C182Ж	голубая метка на торце корпуса + жёлтое кольцо	-	
2C191Ж	голубая метка на торце корпуса + красное кольцо	-	
2C210Ж	голубая метка на торце корпуса + зелёное кольцо	-	
2C211Ж	голубая метка на торце корпуса + серое кольцо	-	
2C212Ж	голубая метка на торце корпуса + оранжовое кольцо	-	
2C213Ж	голубая метка на торце корпуса + чёрное кольцо	-	
2C215Ж	голубая метка на торце корпуса + белое кольцо	чёрное кольцо	
2C216Ж	голубая метка на торце корпуса + жёлтое кольцо	чёрное кольцо	
2C218Ж	голубая метка на торце корпуса + красное кольцо	чёрное кольцо	
2C220Ж	голубая метка на торце корпуса + зелёное кольцо	чёрное кольцо	
2C222Ж	голубая метка на торце корпуса + серое кольцо	чёрное кольцо	
2C224Ж	голубая метка на торце корпуса + оранжовое кольцо	чёрное кольцо	
KC405A	чёрная метка на торце корпуса + красное кольцо	чёрное кольцо	
KC406A	чёрная метка на торце корпуса + серое кольцо	белое кольцо	
KC406B	чёрная метка на торце корпуса + белое кольцо	оранжовое кольцо	
KC407A	чёрная метка на торце корпуса + красное кольцо	голубое кольцо	
KC407B	чёрная метка на торце корпуса + красное кольцо	оранжовое кольцо	
KC407B	чёрная метка на торце корпуса + красное кольцо	жёлтое кольцо	
KC407Г	чёрная метка на торце корпуса + красное кольцо	зелёное кольцо	
KC407Д	чёрная метка на торце корпуса + красное кольцо	серое кольцо	
KC411A	белое кольцо	чёрное кольцо	
KC411B	синее кольцо	чёрное кольцо	
KC508A	чёрная метка на торце корпуса + оранжовое кольцо	зелёное кольцо	
KC508B	чёрная метка на торце корпуса + жёлтое кольцо	белое кольцо	
KC508B	чёрная метка на торце корпуса + красное кольцо	зелёное кольцо	
KC508Г	чёрная метка на торце корпуса + голубое кольцо	белое кольцо	
KC508Д	чёрная метка на торце корпуса + зелёное кольцо	белое кольцо	
KC510A	оранжовое кольцо	зелёное кольцо	
KC512A	жёлтое кольцо	зелёное кольцо	
KC515A	белое кольцо	зелёное кольцо	
KC516A	зелёное кольцо	чёрное кольцо	
KC518A	голубое кольцо	зелёное кольцо	
KC522A	серое кольцо	зелёное кольцо	
KC527A	чёрное кольцо	зелёное кольцо	

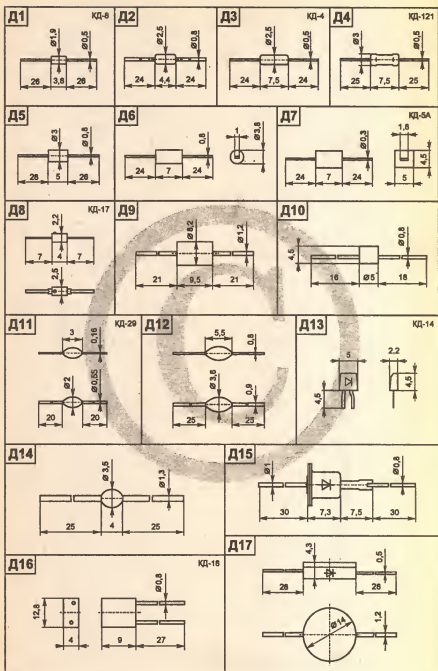
Табл. 8.10. Параметры выпрямительных и импульсных диодов.

Тип диода	Uобр (мм) В	I _р max (мм) А	Iобр max, мА	f _д max кГц	№ рис.	Тип диода	Uобр (мм) В	I _р max (мм) А	Iобр max, мА	f _д max кГц	№ рис.
Д9Б	10	90 мА	250	100	Д3	КД527А	200	3	2	50	Д14
Д9В	30	10 мА	250	100	Д3	КД527Б	400	3	2	50	Д14
Д9Г	30	30 мА	250	100	Д3	КД527В	800	3	2	50	Д14
Д9Д	30	60 мА	250	100	Д3	КД527Г	800	3	2	50	Д14
Д9Е	50	30 мА	250	100	Д3	КД527Д	1000	3	2	50	Д14
Д9Ж	100	10 мА	250	100	Д3	КД528А	200	1,5	2	50	Д14
Д9И	30	30 мА	120	100	Д3	КД528Б	400	1,5	2	50	Д14
Д9К	30	60 мА	60	100	Д3	КД528В	800	1,5	2	50	Д14
Д9Л	100	30 мА	250	100	Д3	КД528Г	800	1,5	2	50	Д14
Д9М	30	30 мА	250	100	Д3	КД528Д	1000	1,5	2	50	Д14
КД102А	250	0,1	0,1	10	Д11	КД2997А	200	30	200	100	Д17
КД102Б	300	0,1	1	10	Д11	КД2997Б	100	30	200	100	Д17
КД103А	50	0,1	0,5	20	Д11	КД2997В	50	30	200	100	Д17
КД103Б	50	0,1	0,5	20	Д11	КД2998А	15	30	20 мА	200	Д21
КД105Б	400	0,3	100	1	Д7	КД2998Б	20	30	20 мА	200	Д21
КД105В	800	0,3	100	1	Д7	КД2998В	25	30	20 мА	200	Д21
КД105Г	800	0,3	100	1	Д7	КД2998Г	35	30	20 мА	200	Д21
КД105Д	100	0,3	100	1	Д7	КД2998Д	30	30	20 мА	200	Д21
КД202А	50	5,0	1 мА	5	Д16	КД2998А	200	20	200	100	Д17
КД202В	100	5,0	1 мА	5	Д16	КД2998Б	100	20	200	100	Д17
КД202Д	200	5,0	1 мА	5	Д16	КД2998В	60	20	200	100	Д17
КД202Ж	300	5,0	1 мА	5	Д16	КД410А	1000	50 мА	3 мА	10	Д10
КД202К	400	5,0	1 мА	5	Д16	КД410Б	600	50 мА	3 мА	10	Д10
КД202М	500	5,0	1 мА	5	Д16	КД411АМ	(700)	2,0	300	30	Д15
КД202Р	800	5,0	1 мА	5	Д16	КД411БМ	(750)	2,0	300	30	Д15
2Д202Т	800	5,0	1 мА	5	Д16	КД411ВМ	(600)	2,0	300	30	Д15
КД208А	100	1,0	100	1	Д6, Д12	КД411ГМ	(500)	2,0	300	30	Д15
КД208А	400	0,7	30	1	Д6, Д12	КД411ЕМ	(300)	2,0	10	30	Д15
КД209Б	800	0,7	30	1	Д6, Д12	КД411НМ	(800)	2,0	1	30	Д15
КД209В	800	0,5	30	1	Д6, Д12	КД409А	24	50 мА	0,5	1 ГГц	Д6
КД209Г	1000	0,2	50	1	Д6, Д12	КД503А	30	50 мА	10	350 МГц	Д4
КД212А	200	1,0	50	100	Д16	КД503А	30	50 мА	10	350 МГц	Д4
КД212Б	200	1,0	100	100	Д16	КД509А	60	0,1	5	200 МГц	Д1
КД212В	100	1,0	100	100	Д16	КД510А	50	0,2	5	200 МГц	Д1
КД212Г	100	1,0	100	100	Д16	КД518А	50	0,1	5	50 МГц	Д13
КД213А	200	10,0	200	100	Д17	КД521А	75	50 мА	1	100 МГц	Д1
КД213Б	200	10,0	200	100	Д17	КД521В	50	50 мА	1	100 МГц	Д1
КД213В	200	10,0	200	100	Д17	КД521Г	30	50 мА	1	100 МГц	Д1
КД213Г	100	10,0	200	100	Д17	КД521Д	12	50 мА	1	100 МГц	Д1
КД221А	100	0,7	50	1	Д12	КД522А	30	0,1	5	100 МГц	Д1
КД221Б	200	0,5	50	1	Д12	КД522Б	50	0,1	5	100 МГц	Д1
КД221В	400	0,3	100	1	Д12	КД906А	75	0,1	2	100	Д25
КД221Г	800	0,3	150	1	Д12	КД906Б	50	0,1	2	100	Д25
КД226А	100	2,0	10	50	Д9	КД906В	30	0,1	2	100	Д25
КД226Б	200	2,0	10	50	Д9	КДС111А	300	0,2	3	20	Д19
КД226В	400	2,0	10	50	Д9	КДС111Б	300	0,2	3	20	Д19
КД226Г	800	2,0	10	50	Д9	КДС111В	300	0,2	3	20	Д19
КД226Д	800	2,0	10	50	Д9	КЦ405А	800	1,0	125	5	Д23
КД226Е	800	2,0	10	50	Д9	КЦ405Б	500	1,0	125	5	Д23
КД243А	50	1,0	10	70	Д5	КЦ405В	400	1,0	125	5	Д23
КД243Б	100	1,0	10	70	Д5	КЦ405Г	300	1,0	125	5	Д23
КД243В	200	1,0	10	70	Д5	КЦ405Д	200	1,0	125	5	Д23
КД243Г	400	1,0	10	70	Д5	КЦ405Е	100	1,0	125	5	Д23
КД243Д	800	1,0	10	70	Д5	КЦ405Ж	600	0,6	125	5	Д23
КД243Е	800	1,0	10	70	Д5	КЦ405И	500	0,6	125	5	Д23
КД243Ж	1000	1,0	10	70	Д5	КЦ407А	300	0,3	5	20	Д24
КД247А	50	1,0	10	150	Д5	КЦ410А	50	3,0	50	1	Д26
КД247Б	100	1,0	10	150	Д5	КЦ410Б	100	3,0	50	1	Д26
КД247В	200	1,0	10	150	Д5	КЦ410В	200	3,0	50	1	Д26
КД247Г	400	1,0	10	150	Д5	КЦ422А	50	0,5	50	1	Д22
КД247Д	800	1,0	10	150	Д5	КЦ422Б	100	0,5	50	1	Д22
КД247Е	800	1,0	10	150	Д5	КЦ422В	200	0,5	50	1	Д22
КД247Ж	1000	1,0	10	150	Д5	КЦ422Г	400	0,5	50	1	Д22

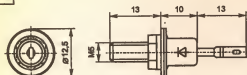
Табл. 8.11. Параметры стабилитронов и стабилиторов.

Тип	Uст, В			при Iст, мА	Iст, мА		Рмкк Вт	Rст		при Iст, мА	δU/C %	№ рис.
	мин.	ном.	макс.		мин.	макс.		Ω	Ω			
D814A(1)	7	8,0	8,5	5	3	40	0,34	8	5		+0,07	D27 (Д1)
D814B(1)	8	9,0	9,5	5	3	38	0,34	10	5		+0,08	D27 (Д1)
D814B(1)	9	10,0	10,5	5	3	32	0,34	12	5		+0,09	D27 (Д1)
D814Г(1)	10	11,0	12	5	3	29	0,34	15	5		+0,095	D27 (Д1)
D814Д(1)	11,5	13,0	14	5	3	24	0,34	18	5		+0,095	D27 (Д1)
D815A	5	5,6	8,2	1 А	50	1,4 А	8	0,8	1 А		+0,045	D20
D815B	8,1	8,8	7,5	1 А	50	1,15 А	8	0,8	1 А		+0,05	D20
D815B	7,4	8,2	9,1	1 А	50	950	8	1,0	1 А		+0,07	D20
D815Г	9,0	10,0	11	500	25	800	8	1,8	500		+0,08	D20
D815Д	10,8	12,0	13,3	500	25	850	8	2,0	500		+0,09	D20
D815E	13,3	15,0	18,4	500	25	550	8	2,5	500		+0,10	D20
D815Ж	18,2	18,0	19,8	500	25	450	8	3,0	500		+0,11	D20
D815И	4,2	4,7	5,2	1 А	50	1,4 А	8	0,82	1 А		+0,05	D20
D816A	19,8	22	24,4	150	10	230	5	7,0	150		+0,12	D20
D816B	24,2	27	29,5	150	10	180	5	8,0	150		+0,12	D20
D816B	29,5	33	38	150	10	150	5	10,0	150		+0,12	D20
D816Г	35	39	43	150	10	130	5	12,0	150		+0,12	D20
D816Д	42,5	47	51,5	150	10	110	5	15,0	150		+0,12	D20
D817A	50,5	56	81,5	50	5	90	5	35	50		+0,14	D20
D817B	81	88	75	50	5	75	5	40	50		+0,14	D20
D817B	74	82	90	50	5	80	5	45	50		+0,14	D20
D817Г	90	100	110	50	5	50	5	50	50		+0,14	D20
D818A	9	9,0	10,8	10	3	33	0,3	70	3		+0,02	D27, Д1
D818B	7,2	9,0	9	10	3	33	0,3	18	10		-0,029	D27, Д1
D818B	7,65	9,0	10,35	10	3	33	0,3	18	10		±0,01	D27, Д1
D818Г	7,65	9,0	10,35	10	3	33	0,3	18	10		±0,005	D27, Д1
D818Д	7,65	9,0	10,35	10	3	33	0,3	18	10		±0,002	D27, Д1
D818E	7,85	9,0	10,35	10	3	33	0,3	18	10		±0,001	D27, Д1
KC107A	0,63	0,7	0,77	10	1	100	0,125	12	10		-0,3	D27, Д1
KC113A	1,17	1,3	1,43	10	1	100	0,18	15	10		-0,3	D27
KC119A	1,71	1,9	2,09	10	1	100	0,28	85	10		-0,4	D27
KC126A	2,5	2,7	2,9	5	—	135	0,4	120	5		-0,075	Д1
KC128B	2,8	3,0	3,2	5	—	125	0,4	120	5		-0,075	Д1
KC128B	3,1	3,0	3,5	5	—	115	0,4	120	5		-0,075	Д1
KC126Г	3,7	3,9	4,1	5	—	95	0,4	120	5		-0,05	Д1
KC126Д	4,4	4,7	5,0	5	—	85	0,4	100	5		-0,01	Д1
KC126E	5,2	5,6	8,0	5	—	70	0,4	50	5		+0,03	Д1
KC128Ж	5,8	8,2	8,8	5	—	64	0,4	35	5		+0,06	Д1
KC126И	8,4	6,8	7,2	5	—	58	0,4	30	5		+0,06	Д1
KC128К	7,0	7,5	7,9	5	—	53	0,4	20	5		+0,07	Д1
KC126Л	7,7	8,2	8,7	5	—	47	0,4	30	5		+0,06	Д1
KC126М	8,5	9,1	9,8	5	—	43	0,4	30	5		+0,09	Д1
KC207A	9,4	10,0	10,8	5	—	40	0,4	30	5		+0,09	Д1
KC207Б	10,4	11,0	11,8	5	—	38	0,4	30	5		+0,082	Д1
KC207B	11,4	12,0	12,7	5	—	32	0,4	30	5		+0,095	Д1
KC133A	2,97	3,3	3,83	10	3	81	0,3	65	10		-0,11	D27, Д3
KC133Г	2,95	3,3	3,85	5	1	37,5	0,125	150	5		-0,1	Д3
KC139A	5,51	3,9	4,29	10	3	79	0,3	80	10		-0,1	D27, Д3
KC139Г	3,5	3,8	4,3	5	1	32	0,125	150	5		—	Д3
KC147A	4,23	4,7	5,17	10	3	58	0,3	56	10		-0,09	D27, Д3
KC147Г	4,2	4,7	5,2	5	1	28,5	0,125	150	5		-0,07	Д3
KC156A	5,04	5,6	8,18	10	3	55	0,3	48	10		+0,05	D27, Д3
KC156Г	5,0	5,8	8,2	5	1	22,4	0,125	100	5		+0,07	Д3
KC162A	5,6	8,2	6,76	10	3	22	0,15	35	10		-0,06	D29
KC168A	8,12	6,8	7,48	10	3	45	0,3	28	10		±0,06	Д3
KC188B	6,24	6,8	7,37	10	3	20	0,15	26	10		±0,05	D29
KC170A	6,85	7,0	7,35	10	3	20	0,15	20	10		±0,01	D29
KC175A	7,0	7,5	8,0	5	3	16	0,15	18	8		±0,04	D29
KC175Ж	7,1	7,5	7,9	4	0,5	17	0,125	40	4		+0,07	Д1
KC182A	7,8	8,2	8,8	5	3	17	0,15	14	5		±0,05	D29
KC182Ж	7,4	8,2	9,0	4	0,5	15	0,125	14	5		+0,08	Д1
KC191A	8,5	9,1	9,7	5	3	15	0,15	18	5		+0,06	D29
KC191Ж	8,8	9,1	9,8	4	0,5	14	0,125	40	4		+0,09	Д1
KC191И	8,85	9,1	9,55	10	5	15	0,15	18	10		±0,005	D27
KC191И	8,85	9,1	9,55	10	5	15	0,15	18	10		±0,002	D27

Тип	Уст, В			при	Ист, мА		Рмакс	Рст	при	50/°C	№
	мин.	ном.	макс.		мин.	макс.					
КС191П	8,65	9,1	9,55	10	5	15	0,15	18	10	±0,001	Д27
КС191Р	8,85	9,1	9,55	10	5	15	0,15	18	10	±0,0005	Д27
КС191С	8,85	9,1	9,55	10	3	20	0,2	18	10	±0,005	Д27
КС191Т	8,65	9,1	9,55	10	3	20	0,2	18	10	±0,0025	Д27
КС191У	8,85	9,1	9,55	10	3	20	0,2	18	10	±0,0001	Д27
КС191Ф	8,85	9,1	9,55	10	3	20	0,2	18	10	±0,0005	Д27
КС210Б	9,3	10,0	10,7	5	3	14	0,15	22	5	±0,07	Д29
КС210Ж	9,0	10,0	11,0	4	0,5	13	0,125	40	4	+0,09	Д1
КС211Ж	10,4	11,0	11,8	4	0,5	12	0,125	40	4	+0,092	Д1
КС212Ж	10,8	12,0	13,2	4	0,5	11	0,125	40	4	+0,095	Д1
КС213Б	12,1	13,0	13,9	5	3	10	0,15	25	5	+0,08	Д29
КС213Ж	12,3	13,0	13,7	4	0,5	10	0,125	40	4	+0,095	Д1
КС215Ж	13,5	15,0	16,5	5	0,5	8,3	0,125	70	2	+0,1	Д1
КС218Б	15,2	16,0	16,8	5	0,5	7,3	0,125	70	2	+0,1	Д1
КС218Ж	16,2	18,0	19,8	5	0,5	8,9	0,125	70	2	+0,1	Д1
КС220Ж	19,0	20,0	21,0	5	0,5	8,2	0,125	70	2	+0,1	Д1
КС222Ж	19,8	22,0	24,2	5	0,5	5,7	0,125	70	2	+0,1	Д1
КС224Ж	22,8	24,0	25,2	5	0,5	5,2	0,125	70	2	+0,1	Д1
КС405А	5,89	8,2	8,51	0,5	0,1	45	0,28	200	0,5	±0,002	Д1
КС406А	7,7	8,2	8,7	15	0,5	35	0,34	8,5	15	—	Д1
КС406Б	9,4	10,0	10,8	12,5	0,25	28	0,34	8,5	12,5	—	Д1
КС407А	3,1	3,3	3,5	20	1	100	0,34	28	20	—	Д1
КС407Б	3,7	3,9	4,1	20	1	83	0,34	23	20	—	Д1
КС407В	4,4	4,7	5,0	20	1	66	0,34	19	20	—	Д1
КС407Г	4,8	5,1	5,4	20	1	59	0,34	17	20	—	Д1
КС407Д	8,4	8,8	7,2	18,5	1	42	0,34	4,5	18,5	—	Д1
КС408А	5,3	5,6	5,9	5	1	46	0,33	20	5	—	Д1
КС433А	2,97	3,3	3,63	80	3	191	1,0	25	80	-0,1	Д27
КС439А	3,51	3,9	4,29	51	3	176	1,0	25	51	-0,1	Д27
КС447А	4,23	4,7	5,17	43	3	159	1,0	18	43	-0,08-0,03	Д27
КС458А	5,04	5,6	6,16	36	3	139	1,0	10	36	0+0,05	Д27
КС468А	8,12	8,8	7,48	29	3	119	1,0	5	29	0+0,085	Д27
КС482А	7,4	8,2	9,0	5	1	96	1,0	25	5	+0,08	Д27
КС508А	11,4	12,0	12,7	10,5	0,25	23	0,34	11,5	10,5	—	Д1
КС508Б	13,8	15,0	15,8	8,5	0,25	18	0,34	18	8,5	—	Д1
КС508В	15,3	18,0	17,1	7,8	0,25	17	0,34	17	7,8	—	Д1
КС508Г	18,8	18,0	19,1	7,0	0,25	15	0,34	21	7,0	—	Д1
КС508Д	22,8	24,0	25,8	5,2	0,25	11	0,34	33	5,2	—	Д1
КС510А	9,0	10,0	11,0	5	1	79	1,0	25	5	+0,1	Д27, Д2
КС512А	10,8	12,0	13,2	5	1	87	1,0	25	5	+0,1	Д27, Д2
КС515А	13,5	15,0	16,5	5	1	53	1,0	25	5	+0,1	Д27, Д2
КС515Г	14,25	15,0	15,75	10	3	31	0,5	35	10	±0,005	Д31
КС518А	18,2	18,0	19,8	5	1	45	1,0	25	5	+0,1	Д27, Д2
КС520Б	19,0	20,0	21,0	10	3	22	0,5	120	10	±0,01	Д31
КС522А	19,8	22,0	24,2	5	1	37	1,0	25	5	+0,1	Д27, Д2
КС524Г	22,8	24,0	25,2	10	3	19	0,5	40	10	±0,005	Д31
КС527А	24,3	27,0	29,7	5	1	30	1,0	40	5	+0,1	Д27, Д2
КС531Б	29,45	31,0	32,55	10	3	15	0,5	50	10	±0,005	Д31, Д28
КС533А	29,7	33,0	36,3	10	3	17	0,64	40	10	+0,1	Д29
КС539Г	37,0	39,0	41,0	10	3	17	0,72	65	10	±0,005	Д32
КС547Б	44,85	47,0	49,35	10	3	10	0,5	280	10	±0,01	Д31
КС551А	48,0	51,0	54,0	1,5	1	14,8	1,0	200	1,5	±0,12	Д27
КС568В(2)	64,8	68,0	71,4	10	3	10	0,72	400	10	±0,1	Д32 (Д30)
КС582Г	77,9	82,0	86,1	10	3	8	0,72	480	10	±0,01	Д32
КС591А	86,0	91,0	96,0	1,5	1	8,8	1,0	400	1,5	±0,12	Д27
КС596В	91,2	98,0	100,8	10	3	7	0,72	580	10	±0,01	Д32
КС600А	95	100	105	1,5	1	8,1	1,0	450	1,5	±0,12	Д27
КС620А	103	120	132	50	5	42	5,0	150	50	+0,2	Д20
КС630А	117	130	143	50	5	38	5,0	160	50	+0,2	Д20
КС650А	135	150	165	25	2,5	33	5,0	270	25	+0,2	Д20
КС680А	182	180	198	25	2,5	28	5,0	330	25	+0,2	Д20
КС920А	109	120	132	50	5	42	5,0	100	50	+0,18	Д20
КС930А	117	130	143	50	5	38	5,0	120	50	+0,18	Д20
КС950А	136	150	164	25	2,5	33	5,0	170	25	+0,16	Д20
КС980А	182	180	198	25	2,5	28	5,0	220	25	+0,16	Д20



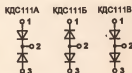
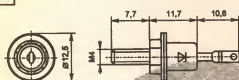
D18



D19



D20



D21



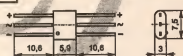
D22



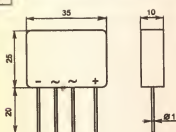
D23



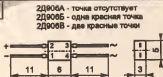
D24



D26



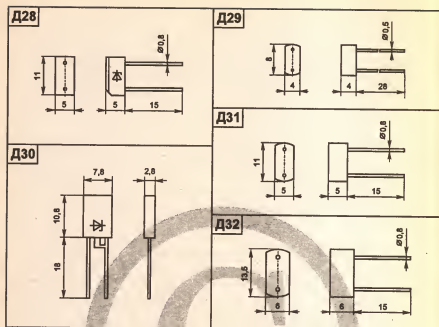
D25



2D906A - точка отсутствует
2D906B - одна красная точка
2D906B - две красные точки

D27





8.4. ПАРАМЕТРЫ СВЕТОДИОДОВ

Табл. 8.12. Параметры светодиодов АЛ307 и АЛ336.

Тип светодиода	Цвет свечения	Сила света, мкд. по макс.	Постоянное прямое напряжение (Uпр.) В. не более	При Iпр.	Максимальный постоянный прямой ток (Iпр.), мА
АЛ307АМ	красный	0,15	2,0	10	20
АЛ307БМ	красный	0,9	2,0	10	20
АЛ307ВМ	зелёный	0,4	2,8	20	22
АЛ307ГМ	зелёный	1,5	2,8	20	22
АЛ307ДМ	жёлтый	0,4	2,5	10	20
АЛ307ЕМ	жёлтый	1,5	2,5	10	20
АЛ307ЖМ	жёлтый	6,0	2,5	10	20
АЛ307КМ	красный	2,0	2,0	10	20
АЛ307ЛМ	красный	6,0	2,0	10	20
АЛ307НМ	зелёный	6,0	2,8	20	22
АЛ307ПМ	зелёный	16,0	2,8	20	22
АЛ336А	красный	6	2,0	10	20
АЛ336В	красный	20	2,0	10	20
АЛ336В	зелёный	10	2,8	10	20
АЛ336Д	жёлтый	4	2,8	10	20
АЛ336Е	жёлтый	10	2,8	10	20
АЛ336Ж	жёлтый	15	2,8	10	20
АЛ336И	зелёный	20	2,8	10	20
АЛ336К	красный	40	2,0	10	20
АЛ336Н	зелёный	50	2,8	10	20

8.5. ЦВЕТОВАЯ И КОДОВАЯ МАРКИРОВКА ТРАНЗИСТОРОВ

В цветовой и кодовой маркировке транзисторов, также как и диодов и стабилитронов, нет единых стандартов. Каждый завод, который производит транзисторы, принимает свои цветковые и кодовые обозначения. Вы можете встретить транзисторы одного типа и группы, которые изготовлены разными заводами и маркируются по разному, или разные транзисторы, которые маркируются одинаково. В этом случае их можно отличить только по некоторым дополнительным признакам, таким как длина выводов коллектора и эмиттера или окраска торцевой (противоположной выводам) поверхности транзистора.

Табл. 8.13. Цветовая и кодовая маркировка транзисторов в корпусе КТ-26.

Тип	Код	Цв. точка сбоку	Группа	Цв. точка сверху
КТ203	▲	Тёмно-красная	А	Тёмно-красная
КТ208	●	—	В	Жёлтая
КТ209	◆ или ◇	Серая	В	Тёмно-зелёная
КТ313	⬇	Оранжевая	Г	Голубая
КТ326	▼	Коричневая	Д	Синяя
КТ339	▲	Голубая	Е	Белая
КТ342	■	Синяя	Ж	Тёмно-коричневая
КТ502	●	Жёлтая	И (-*)	Серебристая
КТ503	●	Белая	К (-*)	Оранжевая
КТ3102*	▼	Тёмно-зелёная	Л (И*)	Светло-табачная
КТ3107	▼	—	М (К*)	Серая
КТ3157	▲	—		
КТ3166	Т	—		
КТ6127	Ш	—		
КТ632	—	Серебристая		
КТ638	—	Оранжевая		
КТ680	Г	—		
КТ681	Г	—		
КТ698	П	—		
КП103	⬇	—		
КП364*	А	Табачная		



Рис. 8.2. Кодовая и цветовая маркировка транзисторов в корпусе КТ-26.

Табл. 8.14. Маркировка года и месяца изготовления.

Год выпуска	Код	Месяц выпуска	Код
1986	U	Январь	1
1987	V	Февраль	2
1988	W	Март	3
1989	X	Апрель	4
1990	A	Май	5
1991	B	Июнь	6
1992	C	Июль	7
1993	D	Август	8
1994	E	Сентябрь	9
1995	F	Октябрь	O
1996	H	Ноябрь	N
1997	I	Декабрь	D
1998	K		
1999	L		
2000	M		

Цветовая маркировка транзисторов осуществляется двумя точками. Тип транзистора обозначается на боковой поверхности, а маркировка группы на торцевой (рис. 8.2).

Кодовая маркировка наносится на боковую поверхность транзистора (рис. 8.2). Тип транзистора обозначается кодовым знаком (табл. 8.13), а группа - соответствующей буквой. Дата изготовления в соответствии с ГОСТ 25486-82 кодируется двумя буквами или буквой и цифрой (табл. 8.14). Первая буква обозначает год выпуска, а следующая

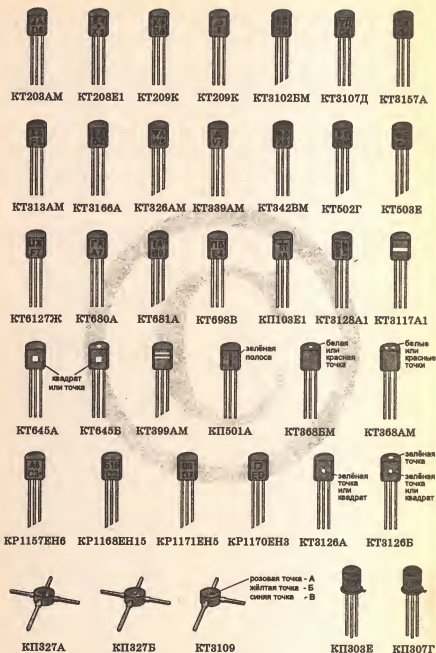


Рис. 8.3. Примеры маркировки радиоэлементов.

за ней цифра или буква - месяц. Кодированное обозначение даты изготовления применяется не только для транзисторов, но и для других радиоэлементов. На рис. 8.3 приведены примеры кодовой и цветовой маркировки транзисторов в корпусе КТ-26.

Табл. 8.15. Кодовая маркировка радиоэлементов в корпусе КТ-27.

Код	Тип
4	КТ814
5	КТ815
6	КТ816
7	КТ817
8	КТ683
9	КТ9115
12	КУ112
40	КТ940

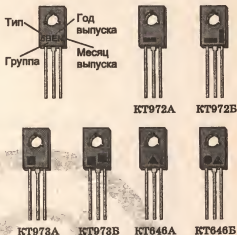


Рис. 8.4. Маркировка транзисторов в корпусе КТ-27.

Транзисторы в корпусе КТ-27 могут маркироваться или буквенно - цифровым кодом (табл. 8.15 и рис. 8.4) или кодом, состоящим из геометрических фигур (рис. 8.4).

Транзисторы в корпусе КТ-27 дополнительно маркируются окрашиванием торца корпуса, противоположного выводам:

- КТ814 - серо - бежевый;
- КТ815 - серый или сиренево - фиолетовый;
- КТ816 - розово - красный;
- КТ817 - серо - зеленый;
- КТ683 - фиолетовый;
- КТ9115 - голубой.

Транзисторы КТ814Б, КТ815Б, КТ816Б и КТ817Б иногда маркируются только окрашиванием торцевой поверхности без нанесения буквенно - цифрового кода.

Примеры маркировки транзисторов в корпусе КТ-13 приведены на рис. 8.5. Буква группы у транзисторов КТ315 наносится сбоку поверхности, а КТ361 - посередине.

Тип транзисторов КП303 и КП307 в корпусе КТ-1-12 маркируются соответственно цифрами 3 и 7, группа - соответствующей буквой. Транзисторы КП327А маркируются одной белой точкой, а КП327Б - двумя (рис. 8.3).



Рис. 8.5. Маркировка транзисторов в корпусе КТ-13.

8.6. ОБОЗНАЧЕНИЕ ЗАРУБЕЖНЫХ РАДИОЭЛЕМЕНТОВ

За рубежом существует три основные системы обозначений радиоэлементов: американская (JEDEK), европейская (PRO ELECTRON) и японская (JIS).

Американская система обозначений (JEDEK):

Первая цифра показывает количество р-п переходов:

- 1 - диод;
- 2 - транзистор;
- 3 - тиристор.

За цифрой следует буква N и затем серийный номер. Буквы за номером обозначают разные параметры для приборов одного типа. Например: 1N4148, 2N5551.

Европейская система обозначений (PRO ELECTRON):

Основное обозначение по этой системе состоит из пяти знаков. Две буквы и три цифры - для широкого применения. Три буквы и две цифры - для специальной аппаратуры. Следующая за ними буква обозначает разные параметры для приборов одного типа (для биполярных транзисторов это, как правило, коэффициент шума или статистический коэффициент передачи тока).

Первая буква - код материала:

- A - германий;
- B - кремний;
- C - арсенид галлия;
- R - сульфид кадмия.

Вторая буква - назначение:

- A - маломощный диод;
- B - варикап;
- C - маломощный низкочастотный транзистор;
- D - мощный низкочастотный транзистор;
- E - туннельный диод;
- F - маломощный высокочастотный транзистор;
- G - несколько приборов в одном корпусе;
- H - магнитоид;
- L - мощный высокочастотный транзистор;
- M - датчик Холла;
- P - фотодиод, фототранзистор;
- Q - светодиода;
- R - маломощный регулирующий или переключающий прибор;
- S - маломощный переключающий транзистор;
- T - мощный регулирующий или переключающий прибор;
- U - мощный переключающий транзистор;
- X - умножительный диод;
- Y - мощный выпрямительный диод;
- Z - стабилитрон.

Например: BZY56, BC547C, BF492, BU508.

Японская система обозначений (JIC):

Условное обозначение состоит из пяти элементов:

Первый элемент - цифра, обозначающая класс полупроводникового прибора:

- 0 - фотодиод, фототранзистор;
- 1 - диод;
- 2 - транзистор;
- 3 - тиристор.

Второй элемент - буква S (Semiconductor).

Третий элемент - тип прибора:

- A - высокочастотный p-p-р транзистор;
- B - низкочастотный n-p-n транзистор;
- C - высокочастотный n-p-n транзистор;
- D - низкочастотный p-n-p транзистор;
- E - диод Баски;
- F - тиристор;
- G - диод Ганна;
- H - однопереходный транзистор;
- I - полевой транзистор с p-каналом;
- K - полевой транзистор с n-каналом;
- M - симметричный тиристор (симистор);
- Q - светодиода;
- R - выпрямительный диод;
- S - слаботочный диод;
- T - лавинный диод;
- V - варикап;
- Z - стабилитрон.

Четвертый элемент обозначает регистрационный номер и начинается с числа 11.

Пятый - одна или две буквы, которые обозначают разные параметры для

приборов одного типа (для биполярных транзисторов это коэффициент шума или статический коэффициент передачи тока, реже допустимое напряжение).

Например: 2SA733, 2SB1116A, 2SC945, 2SD1555.

Маркировка на корпусе прибора часто наносится без первой цифры и буквы. Например: 2SA733 маркируется как A733; 2SB1116A - B1116A; 2SC945 - C945; 2SD1555 - D1555 и т. п.

Некоторые фирмы для обозначения своих разработок используют собственную маркировку. Например, фирма "SAMSUNG" в обозначении некоторых транзисторов использует буквы SS (SS8050B, SS9014C). Фирма "MOTOROLA" - MJ, MJE, MM, MMT, MPQ, MPS (MJ3521, MJE350, MM1812, MPS5551M, MPS A-92).

Популярные транзисторы фирмы "SAMSUNG" - SS8050, SS8550, SS9012, SS9018, SS9014 и SS9015 маркируются без первой буквы S. Аналоги этих транзисторов выпускают многие фирмы разных стран. Поэтому, например, транзистор S9014 Вы можете встретить с маркировкой - C9014, H9014 или K9014. Транзистор S8050 - C8050 и т. п.

8.7. ПАРАМЕТРЫ ТРАНЗИСТОРОВ

В таблицах 8.16, 8.17 и 8.18 приведены параметры отечественных и зарубежных биполярных и полевых транзисторов (звездочкой помечены составные транзисторы). Приведём назначения буквенных обозначений параметров транзисторов, используемых в таблицах:

$U_{кбз}$ - максимально допустимое напряжение коллектор - база;

$U_{кбз\text{ и}}$ - максимально допустимое импульсное напряжение коллектор - база;

$U_{кэб}$ - максимально допустимое напряжение коллектор - эмиттер;

$U_{кэб\text{ и}}$ - максимально допустимое импульсное напряжение коллектор - эмиттер;

$U_{кэ}$ - напряжение насыщения коллектор - эмиттер;

$U_{си\text{ max}}$ - максимально допустимое напряжение сток - исток;

$U_{сио}$ - напряжение сток - исток при оборванном затворе;

$U_{зи\text{ max}}$ - максимально допустимое напряжение затвор - исток;

$U_{зи\text{ отс}}$ - Напряжение отсечки транзистора, при котором ток стока достигает заданного низкого значения (для полевых транзисторов с p-n переходом, и с изолированным затвором);

$U_{зи\text{ пор}}$ - Пороговое напряжение транзистора между затвором и стоком, при котором ток стока достигает заданного низкого значения (для полевых транзисторов с изолированным затвором и n-каналом);

$I_{к\text{ max}}$ - максимально допустимый постоянный ток коллектора;

$I_{к\text{ max\text{ и}}}$ - максимально допустимый импульсный ток коллектора;

$I_{с\text{ max}}$ - максимально допустимый постоянный ток стока;

$I_{с\text{ нач}}$ - начальный ток стока;

$I_{с\text{ ост}}$ - остаточный ток стока;

$I_{кбз}$ - обратный ток коллектора;

$P_{к\text{ max}}$ - максимально допустимая постоянная рассеиваемая мощность коллектора без теплоотвода;

$P_{к\text{ max\text{ т}}}$ - максимально допустимая постоянная рассеиваемая мощность коллектора с теплоотводом;

$P_{си\text{ max}}$ - максимально допустимая постоянная рассеиваемая мощность сток - исток;

$h_{из}$ - статический коэффициент передачи тока биполярного транзистора в схеме с общим эмиттером;

$R_{си\text{ отк}}$ - сопротивление сток - исток в открытом состоянии;

S - крутизна характеристики;

$f_{гр}$ - граничная частота коэффициента передачи тока в схеме с общим эмиттером;

$K_{ш}$ - коэффициент шума биполярного (полевого) транзистора;

Табл. 8.16. Параметры отечественных биполярных транзисторов.

Тип транзистора	Структура	Uкз0 (мВ)	Uкз0 (мВ)	Iк max (мА)	Pк max (Вт)	h21э	Iк0 мА	fгр. МГц	Кш дБ	№ рис.
ГТ313А	р-р-р	15	15	30	0,1	20 + 250	≤5	≥300	-	Т21
ГТ313Б	р-р-р	15	15	30	0,1	20 + 250	≤5	≥450	-	Т21
ГТ313В	р-р-р	15	15	30	0,1	30 + 170	≤5	≥350	-	Т21
ГТ328А	р-р-р	15	15	10	0,05	20 + 200	≤10	≥400	≤7	Т7а
ГТ328Б	р-р-р	15	15	10	0,05	40 + 200	≤10	≥300	≤7	Т7а
ГТ328В	р-р-р	15	15	10	0,05	10 + 70	≤10	≥300	≤7	Т7а
ГТ346А	р-р-р	20	20	10	0,05	10 + 150	≤10	≥700	≤3	Т7а
ГТ346Б	р-р-р	20	20	10	0,05	10 + 150	≤10	≥550	≤5,5	Т7а
ГТ346В	р-р-р	20	20	10	0,05	15 + 150	≤10	≥550	≤5	Т7а
ГТ806А	р-р-р	75	75	15 А	2 (30)	10 + 100	≤15 мА	≥10	-	Т18
ГТ806Б	р-р-р	100	100	15 А	2 (30)	10 + 100	≤15 мА	≥10	-	Т18
ГТ806В	р-р-р	120	120	15 А	2 (30)	10 + 100	≤15 мА	≥10	-	Т18
ГТ806Г	р-р-р	50	50	15 А	2 (30)	10 + 100	≤15 мА	≥10	-	Т18
ГТ806Д	р-р-р	140	140	15 А	2 (30)	10 + 100	≤15 мА	≥10	-	Т18
1Т813А	р-р-р	100	100	30 (40) А	1,5 (50)	10 + 80	≤16 мА	≥5	-	Т18
1Т813Б	р-р-р	125	125	30 (40) А	1,5 (50)	10 + 80	≤16 мА	≥5	-	Т18
1Т813В	р-р-р	150	150	30 (40) А	1,5 (50)	10 + 80	≤16 мА	≥5	-	Т18
ГТ905А	р-р-р	75	75	3 (7) А	(8)	35 + 100	≤20 мА	≥80	-	Т27
ГТ905Б	р-р-р	60	60	3 (7) А	(8)	35 + 100	≤20 мА	≥80	-	Т27
ГТ906А(М)	р-р-р	75	75	8 А	(15)	30 + 150	≤8 мА	≥30	-	Т20 (Т27)
КТ117А	п-баз	30	30	50 (1А)	0,3	0,5 + 0,7	≤1	0,2	-	Т8а
КТ117Б	п-баз	30	30	50 (1А)	0,3	0,65 + 0,9	≤1	0,2	-	Т8а
КТ117В	п-баз	30	30	50 (1А)	0,3	0,5 + 0,7	≤1	0,2	-	Т8а
КТ117Г	п-баз	30	30	50 (1А)	0,3	0,65 + 0,9	≤1	0,2	-	Т8а
КТ201А(М)	п-р-п	20	20	20 (100)	0,15	20 + 80	≤1	≥10	-	Т8а (Т1а)
КТ201Б(М)	п-р-п	20	20	20 (100)	0,15	30 + 90	≤1	≥10	-	Т8а (Т1а)
КТ201В(М)	п-р-п	10	10	20 (100)	0,15	30 + 90	≤1	≥10	-	Т8а (Т1а)
КТ201Г(М)	п-р-п	10	10	20 (100)	0,15	70 + 210	≤1	≥10	-	Т8а (Т1а)
КТ201Д(М)	п-р-п	10	10	20 (100)	0,15	30 + 90	≤1	≥10	≤15	Т8а (Т1а)
КТ203А(М)	р-р-р	60	60	10 (50)	0,15	≥9	≤1	≥5	-	Т8а (Т1а)
КТ203Б(М)	р-р-р	30	30	10 (50)	0,15	30 + 150	≤1	≥5	-	Т8а (Т1а)
КТ203В(М)	р-р-р	15	15	10 (50)	0,15	30 + 200	≤1	≥5	-	Т8а (Т1а)
КТ208А(1)	р-р-р	20	20	300 (500)	0,2	20 + 80	≤1	≥5	-	Т85 (Т1а)
КТ208Б(1)	р-р-р	20	20	300 (500)	0,2	40 + 120	≤1	≥5	-	Т85 (Т1а)
КТ208В(1)	р-р-р	20	20	300 (500)	0,2	80 + 240	≤1	≥5	≤4	Т85 (Т1а)
КТ208Г(1)	р-р-р	30	30	300 (500)	0,2	20 + 80	≤1	≥5	-	Т85 (Т1а)
КТ208Д(1)	р-р-р	30	30	300 (500)	0,2	40 + 120	≤1	≥5	-	Т85 (Т1а)
КТ208Е(1)	р-р-р	30	30	300 (500)	0,2	80 + 240	≤1	≥5	≤4	Т85 (Т1а)
КТ208Ж(1)	р-р-р	45	45	300 (500)	0,2	20 + 80	≤1	≥5	-	Т85 (Т1а)
КТ208И(1)	р-р-р	45	45	300 (500)	0,2	40 + 120	≤1	≥5	-	Т85 (Т1а)
КТ208К(1)	р-р-р	45	45	300 (500)	0,2	80 + 240	≤1	≥5	≤4	Т85 (Т1а)
КТ208Л(1)	р-р-р	80	80	300 (500)	0,2	20 + 80	≤1	≥5	-	Т85 (Т1а)
КТ208М(1)	р-р-р	80	80	300 (500)	0,2	40 + 120	≤1	≥5	-	Т85 (Т1а)
КТ209А	р-р-р	15	15	300 (500)	0,2	20 + 80	≤1	≥5	-	Т1а (К53)
КТ209Б	р-р-р	15	15	300 (500)	0,2	40 + 120	≤1	≥5	-	Т1а (К53)
КТ209Б1	р-р-р	15	15	300 (500)	0,2	≥12	≤1	≥5	-	Т1а (К53)
КТ209В	р-р-р	15	15	300 (500)	0,2	80 + 240	≤1	≥5	≤5	Т1а (К53)
КТ209В1	р-р-р	15	15	300 (500)	0,2	≥30	≤1	≥5	≤5	Т1а (К53)
КТ209Б2	р-р-р	15	15	300 (500)	0,2	≥200	≤1	≥5	≤5	Т1а (К53)
КТ209Г	р-р-р	30	30	300 (500)	0,2	20 + 80	≤1	≥5	-	Т1а (К53)
КТ209Д	р-р-р	30	30	300 (500)	0,2	40 + 120	≤1	≥5	-	Т1а (К53)
КТ209Е	р-р-р	30	30	300 (500)	0,2	80 + 240	≤1	≥5	≤5	Т1а (К53)
КТ208Ж	р-р-р	45	45	300 (500)	0,2	20 + 80	≤1	≥5	-	Т1а (К53)
КТ208И	р-р-р	45	45	300 (500)	0,2	40 + 120	≤1	≥5	-	Т1а (К53)
КТ208К	р-р-р	45	45	300 (500)	0,2	80 + 180	≤1	≥5	≤5	Т1а (К53)
КТ209Л	р-р-р	80	80	300 (500)	0,2	20 + 80	≤1	≥5	-	Т1а (К53)

Тип трансистора	Структура	Uкзо (м) В	Uкзо (м) В	Iк max (м) мА	Pк max (т) Вт	h21э	Iкзо мкА	fгр. МГц	Кш дБ	№ рис.
КТ209М	р-п-р	60	60	300 (500)	0,2	40 + 120	≤1	≥5	—	T1a (КБ3)
КТ306А(М)	п-р-п	15	10	30 (50)	0,15	20 + 60	≤0,5	≥300	—	T106 (T1a)
КТ306Б(М)	п-р-п	15	10	30 (50)	0,15	40 + 120	≤0,5	≥500	—	T106 (T1a)
КТ306В(М)	п-р-п	15	10	30 (50)	0,15	20 + 100	≤0,5	≥300	—	T106 (T1a)
КТ306Г(М)	п-р-п	15	10	30 (50)	0,15	40 + 200	≤0,5	≥500	—	T106 (T1a)
КТ306Д(М)	п-р-п	15	10	30 (50)	0,15	30 + 150	≤0,5	≥200	—	T106 (T1a)
КТ3101А-2	п-р-п	15	15	20 (40)	0,1	35 + 300	≤0,5	≥4000	≤4,5	T32
КТ3102А(М)	п-р-п	50	50	100 (200)	0,25	100 + 200	≤0,05	≥150	≤10	T6a (T1a)
КТ3102Б(М)	п-р-п	50	50	100 (200)	0,25	200 + 500	≤0,05	≥150	≤10	T6a (T1a)
КТ3102В(М)	п-р-п	30	30	100 (200)	0,25	200 + 500	≤0,015	≥150	≤10	T6a (T1a)
КТ3102Г(М)	п-р-п	20	20	100 (200)	0,25	400 + 1000	≤0,015	≥150	≤10	T6a (T1a)
КТ3102Д(М)	п-р-п	30	30	100 (200)	0,25	200 + 500	≤0,015	≥150	≤4	T6a (T1a)
КТ3102Е(М)	п-р-п	20	20	100 (200)	0,25	400 + 1000	≤0,015	≥150	≤4	T6a (T1a)
КТ3102Ж(М)	п-р-п	20	20	100 (200)	0,25	100 + 250	≤0,05	≥150	—	T6a (T1a)
КТ3102И(М)	п-р-п	20	20	100 (200)	0,25	200 + 500	≤0,05	≥150	—	T6a (T1a)
КТ3102К(М)	п-р-п	20	20	100 (200)	0,25	200 + 500	≤0,015	≥150	—	T6a (T1a)
КТ3107А	р-п-р	50	45	100 (200)	0,3	70 + 140	≤0,1	≥200	≤10	T1a (КБ3)
КТ3107Б	р-п-р	50	45	100 (200)	0,3	120 + 220	≤0,1	≥200	≤10	T1a (КБ3)
КТ3107В	р-п-р	30	25	100 (200)	0,3	70 + 140	≤0,1	≥200	≤10	T1a (КБ3)
КТ3107Г	р-п-р	30	25	100 (200)	0,3	120 + 220	≤0,1	≥200	≤10	T1a (КБ3)
КТ3107Д	р-п-р	30	25	100 (200)	0,3	180 + 480	≤0,1	≥200	≤10	T1a (КБ3)
КТ3107Е	р-п-р	25	20	100 (200)	0,3	120 + 220	≤0,1	≥200	≤4	T1a (КБ3)
КТ3107Ж	р-п-р	25	20	100 (200)	0,3	180 + 480	≤0,1	≥200	≤4	T1a (КБ3)
КТ3107И	р-п-р	50	45	100 (200)	0,3	180 + 480	≤0,1	≥200	≤10	T1a (КБ3)
КТ3107К	р-п-р	30	25	100 (200)	0,3	380 + 800	≤0,1	≥200	≤10	T1a (КБ3)
КТ3107Л	р-п-р	25	20	100 (200)	0,3	380 + 800	≤0,1	≥200	≤4	T1a (КБ3)
КТ3108А	р-п-р	60	60	200	0,3	50 + 150	≤0,2	≥250	≤8	T6a
КТ3108Б	р-п-р	45	45	200	0,3	50 + 150	≤0,2	≥250	≤8	T6a
КТ3108В	р-п-р	45	45	200	0,3	100 + 300	≤0,2	≥300	≤8	T6a
КТ3109А	р-п-р	30	25	50	0,17	≥20	≤0,1	≥800	≤8	T30
КТ3109Б	р-п-р	25	20	50	0,17	≥20	≤0,1	≥800	≤7	T30
КТ3109В	р-п-р	25	20	50	0,17	≥15	≤0,1	≥800	≤8	T30
КТ3115А-2	п-р-п	10	10	8,5	0,07	≥15	≤0,5	≥5800	≤5	T32
КТ3115Б-2	п-р-п	10	10	8,5	0,07	≥15	≤0,5	≥5800	≤5	T32
КТ3115Г-2	п-р-п	7	7	8,5	0,05	≥15	≤0,5	≥5800	≤4	T32
КТ3117А(1)	п-р-п	60	60	400 (800)	0,3	40 + 200	≤10	≥200	—	T6a (T1a)
КТ3117Б	п-р-п	75	75	400 (800)	0,3	100 + 300	≤10	≥200	—	T6a
КТ312А	п-р-п	20	20	30 (60)	0,225	10 + 100	≤10	≥80	—	T10a
КТ312Б	п-р-п	35	35	30 (60)	0,225	25 + 100	≤10	≥120	—	T10a
КТ312В	п-р-п	20	20	30 (60)	0,225	50 + 280	≤10	≥120	—	T10a
КТ3120А	п-р-п	15	15	20 (40)	0,1	≥15	≤0,5	≥1800	≤2	T31
КТ3123А-2	п-р-п	15	15	30 (50)	0,15	≥40	≤0,01	≥5000	≤2,4	T32
КТ3123Б-2	п-р-п	15	15	30 (50)	0,15	≥40	≤0,01	≥5000	≤3	T32
КТ3123В-2	п-р-п	10	10	30 (50)	0,15	≥40	≤0,01	≥5000	≤2,4	T32
КТ3126А	п-р-п	20	20	20	0,15	25 + 100	≤1	≥500	≤5	T1a
КТ3126Б	п-р-п	20	20	20	0,15	60 + 160	≤1	≥500	≤5	T1a
КТ3127А	п-р-п	20	20	25	0,1	25 + 150	≤1	≥600	≤5	T6a
КТ3128А(1)	п-р-п	40	40	20	0,1	15 + 150	≤1	≥800	—	T6a (T1a)
КТ3129А-9	п-р-п	50	50	100 (200)	0,075	30 + 120	≤1	≥200	—	T13
КТ3129Б-9	п-р-п	50	50	100 (200)	0,075	80 + 250	≤1	≥200	—	T13
КТ3129В-9	п-р-п	30	30	100 (200)	0,075	60 + 250	≤1	≥200	—	T13
КТ3129Г-9	п-р-п	30	30	100 (200)	0,075	200 + 500	≤1	≥200	—	T13
КТ3129Д-9	п-р-п	20	20	100 (200)	0,075	200 + 500	≤1	≥200	—	T13
КТ313А(М)	п-р-п	60	60	350 (700)	0,3	30 + 120	≤0,5	≥200	—	T6a (T1a)
КТ313Б(М)	п-р-п	60	60	350 (700)	0,3	60 + 300	≤0,5	≥200	—	T6a (T1a)
КТ3130А-9	п-р-п	50	50	100	0,1	100 + 250	≤0,1	≥150	≤10	T13

Тип транзистора	Струк- тура	Uкзо (и) В	Uкзо (и) В	Iк max (и) мА	Pк max (г) Вт	h21э	Iкзо мкА	фр. МГц	Kш дБ	№ рис.
КТ3130Б-9	п-р-п	50	50	100	0,1	200 + 500	≤0,1	≥150	≤10	T13
КТ3130В-9	п-р-п	30	30	100	0,1	200 + 500	≤0,1	≥150	≤10	T13
КТ3130Г-9	п-р-п	20	20	100	0,1	400 + 1000	≤0,1	≥150	≤10	T13
КТ3130Д-9	п-р-п	30	30	100	0,1	200 + 500	≤0,1	≥150	≤10	T13
КТ3130Е-9	п-р-п	20	20	100	0,1	400 + 1000	≤0,1	≥150	≤4	T13
КТ3130Ж-9	п-р-п	30	30	100	0,1	100 + 500	≤0,1	≥150	≤4	T13
КТ315А	п-р-п	25	25	100	0,15	30 + 120	≤0,5	≥250	—	T11 (ЭКБ)
КТ315Б	п-р-п	20	20	100	0,15	50 + 350	≤0,5	≥250	—	T11 (ЭКБ)
КТ315В	п-р-п	40	40	100	0,15	30 + 120	≤0,5	≥250	—	T11 (ЭКБ)
КТ315Г	п-р-п	35	35	100	0,15	50 + 350	≤0,5	≥250	—	T11 (ЭКБ)
КТ315Г1	п-р-п	35	35	100	0,15	100 + 350	≤0,5	≥250	—	T11 (ЭКБ)
КТ315Д	п-р-п	40	40	100	0,15	20 + 90	≤0,6	≥250	—	T11 (ЭКБ)
КТ315Е	п-р-п	35	35	100	0,15	50 + 350	≤0,6	≥250	—	T11 (ЭКБ)
КТ315Ж	п-р-п	20	20	50	0,1	30 + 250	≤0,01	≥250	—	T11 (ЭКБ)
КТ315И	п-р-п	60	60	50	0,1	≥30	≤0,1	≥250	—	T11 (ЭКБ)
КТ315Н	п-р-п	20	20	100	0,1	50 + 350	≤0,6	≥250	—	T11 (ЭКБ)
КТ315Р	п-р-п	35	35	100	0,1	150 + 350	≤0,5	≥250	—	T11 (ЭКБ)
КТ3157А	р-н-р	250	250	30 (100)	0,2	≥50	≤0,1	≥80	—	T15 (КЭБ)
КТ316А(М)	п-р-п	10	10	50	0,15	20 + 60	≤0,5	≥800	—	T6a (T1a)
КТ316Б(М)	п-р-п	10	10	50	0,15	40 + 120	≤0,5	≥800	—	T6a (T1a)
КТ316В(М)	п-р-п	10	10	50	0,15	40 + 120	≤0,5	≥800	—	T6a (T1a)
КТ316Г(М)	п-р-п	10	10	50	0,15	20 + 100	≤0,5	≥800	—	T6a (T1a)
КТ316Д(М)	п-р-п	10	10	50	0,15	60 + 300	≤0,5	≥800	—	T6a (T1a)
КТ3168А-9	п-р-п	15	15	28 (56)	0,16	60 + 160	≤0,5	≥3000	≤3	T13
КТ325А(М)	п-р-п	15	15	30 (60)	0,225	30 + 90	≤0,5	≥800	—	T10 (T16)
КТ325Б(М)	п-р-п	15	15	30 (60)	0,225	70 + 210	≤0,5	≥800	—	T10 (T16)
КТ325В(М)	п-р-п	15	15	30 (60)	0,225	160 + 400	≤0,5	≥1000	—	T10 (T16)
КТ326А(М)	п-р-п	20	15	50	0,2	20 + 70	≤0,5	≥250	—	T6a (T1a)
КТ326Б(М)	п-р-п	20	15	50	0,2	45 + 160	≤0,5	≥400	—	T6a (T1a)
КТ339А(М)	п-р-п	40	25	25	0,26	≥25	≤1	≥300	—	T66 (T16)
КТ339Б	п-р-п	25	15	25	0,26	≥15	≤1	≥250	—	T66
КТ339В	п-р-п	40	25	25	0,26	≥25	≤1	≥450	—	T66
КТ339Г	п-р-п	40	25	25	0,26	≥40	≤1	≥250	—	T66
КТ339Д	п-р-п	40	25	25	0,26	≥15	≤1	≥250	—	T66
КТ342А(М)	п-р-п	25	30	50 (300)	0,25	100 + 250	≤0,05	≥250	—	T6a (T1a)
КТ342Б(М)	п-р-п	20	25	50 (300)	0,25	200 + 500	≤0,05	≥300	—	T6a (T1a)
КТ342В(М)	п-р-п	10	10	50 (300)	0,25	400 + 1000	≤0,05	≥300	—	T6a (T1a)
КТ342ГМ	п-р-п	25	30	50 (300)	0,25	100 + 250	≤0,05	≥200	—	T1a (КЭЗ)
КТ342ДМ	п-р-п	20	25	50 (300)	0,25	200 + 500	≤0,05	≥200	—	T1a (КЭЗ)
КТ345А	р-н-р	20	20	200 (300)	0,3	≥20	≤0,5	≥350	—	T1a (КЭЗ)
КТ345Б	р-н-р	20	20	200 (300)	0,3	≥50	≤0,5	≥350	—	T1a (КЭЗ)
КТ345В	р-н-р	20	20	200 (300)	0,3	≥70	≤0,5	≥350	—	T1a (КЭЗ)
КТ347А	р-н-р	15	15	50 (110)	0,15	30 + 400	≤1	≥500	—	T6a
КТ347Б	р-н-р	9	9	50 (110)	0,15	30 + 400	≤1	≥500	—	T6a
КТ347В	р-н-р	6	6	50 (110)	0,15	50 + 400	≤1	≥500	—	T6a
КТ349А	р-н-р	20	15	50 (100)	0,2	20 + 60	≤1	≥300	—	T6a, T1a
КТ349Б	р-н-р	20	15	50 (100)	0,2	40 + 160	≤1	≥300	—	T6a, T1a
КТ349В	р-н-р	20	15	50 (100)	0,2	120 + 300	≤1	≥300	—	T6a, T1a
КТ350А	р-н-р	20	20	600	0,3	20 + 200	≤1	≥100	—	T1a (КЭЗ)
КТ351А	р-н-р	20	15	(400)	0,3	20 + 60	≤1	≥200	—	T1a (КЭЗ)
КТ351Б	р-н-р	20	15	(400)	0,3	50 + 200	≤1	≥200	—	T1a (КЭЗ)
КТ352А	р-н-р	20	15	(200)	0,3	25 + 125	≤1	≥200	—	T1a (КЭЗ)
КТ352Б	р-н-р	20	15	(200)	0,3	70 + 300	≤1	≥200	—	T1a (КЭЗ)
КТ355АМ	п-р-п	15	15	30 (60)	0,225	60 + 300	≤0,5	≥1500	≤5,5	T1a (КЭЗ)
КТ361А	р-н-р	25	25	100	0,15	20 + 90	≤1	≥250	—	T11 (ЭКБ)
КТ361Б	р-н-р	20	20	100	0,15	50 + 350	≤1	≥250	—	T11 (ЭКБ)
КТ361В	р-н-р	40	40	100	0,15	40 + 160	≤1	≥250	—	T11 (ЭКБ)

Тип трансистора	Структура	Uкб0 (н) В	Uкэ0 (н) В	Iк max (н) мА	Pк max (т) Вт	h21э	Iкб0 мкА	fгр. МГц	Kш дБ	№ рмс.
КТ361Г	p-n-p	35	35	100	0,15	50 + 350	≤1	≥250	—	T11 (ЭКБ)
КТ361Г1	p-n-p	35	35	100	0,15	100 + 350	≤1	≥250	—	T11 (ЭКБ)
КТ361Д	p-n-p	40	40	50	0,15	20 + 90	≤1	≥250	—	T11 (ЭКБ)
КТ361Е	p-n-p	35	35	50	0,15	50 + 350	≤1	≥250	—	T11 (ЭКБ)
КТ361Ж	p-n-p	10	10	50	0,15	50 + 350	≤1	≥250	—	T11 (ЭКБ)
КТ361И	p-n-p	15	15	50	0,15	≥250	≤1	≥250	—	T11 (ЭКБ)
КТ361К	p-n-p	60	60	50	0,15	50 + 350	≤1	≥250	—	T11 (ЭКБ)
КТ363А(М)	p-n-p	15	15	30 (50)	0,15	20 + 120	≤0,5	≥1000	—	T6a (T1a)
КТ363Б(М)	p-n-p	15	12	30 (50)	0,15	40 + 120	≤0,5	≥1500	—	T6a (T1a)
КТ368А(М)	p-n-p	15	15	30 (80)	0,225	50 + 450	≤0,5	≥900	≤3,3	T7a (T1a)
КТ368Б(М)	p-n-p	15	15	30 (80)	0,225	50 + 450	≤0,5	≥900	—	T7a (T1a)
КТ371А	p-n-p	10	10	20 (40)	0,1	30 + 240	≤0,5	≥3000	≤5	T31
КТ372А	p-n-p	15	15	10	0,05	≥10	≤0,5	≥2400	≤3,5	T32
КТ372Б	p-n-p	15	15	10	0,05	≥10	≤0,5	≥3000	≤5,5	T32
КТ372В	p-n-p	15	15	10	0,05	≥10	≤0,5	≥2400	≤5,5	T32
КТ362А(М)	p-n-p	15	10	20 (40)	0,1	40 + 330	≤0,5	≥1800	≤3	T31 (T31)
КТ362Б(М)	p-n-p	15	10	20 (40)	0,1	40 + 330	≤0,5	≥1800	≤4,5	T31 (T31)
КТ391А-2	p-n-p	15	10	10	0,07	≥20	≤0,5	≥5000	≤4,5	T32
КТ391Б-2	p-n-p	15	10	10	0,07	≥20	≤0,5	≥5000	≤5,5	T32
КТ391В-2	p-n-p	10	10	10	0,07	≥20	≤0,5	≥4000	≤6	T32
КТ399А	p-n-p	15	15	20 (40)	0,15	≥40	≤0,5	≥1800	≤2	T7a
КТ399АМ	p-n-p	15	15	30 (60)	0,15	≥40	≤0,5	≥1800	≤2	T1a (КБ3)
КТ501А	p-n-p	15	15	300 (500)	0,35	20 + 80	≤1	≥5	—	T86
КТ501Б	p-n-p	15	15	300 (500)	0,35	40 + 120	≤1	≥5	—	T86
КТ501В	p-n-p	15	15	300 (500)	0,35	60 + 240	≤1	≥5	≤4	T86
КТ501Г	p-n-p	30	30	300 (500)	0,35	20 + 80	≤1	≥5	—	T86
КТ501Д	p-n-p	30	30	300 (500)	0,35	40 + 120	≤1	≥5	—	T86
КТ501Е	p-n-p	30	30	300 (500)	0,35	60 + 240	≤1	≥5	≤4	T86
КТ501Ж	p-n-p	45	45	300 (500)	0,35	20 + 80	≤1	≥5	—	T86
КТ501И	p-n-p	45	45	300 (500)	0,35	40 + 120	≤1	≥5	—	T86
КТ501К	p-n-p	45	45	300 (500)	0,35	60 + 240	≤1	≥5	≤4	T86
КТ501Л	p-n-p	60	60	300 (500)	0,35	20 + 80	≤1	≥5	—	T86
КТ501М	p-n-p	60	60	300 (500)	0,35	40 + 120	≤1	≥5	—	T86
КТ502А	p-n-p	40	25	150 (350)	0,35	40 + 120	≤1	≥350	—	T1a (КБ3)
КТ502Б	p-n-p	40	25	150 (350)	0,35	60 + 240	≤1	≥350	—	T1a (КБ3)
КТ502В	p-n-p	60	40	150 (350)	0,35	40 + 120	≤1	≥350	—	T1a (КБ3)
КТ502Г	p-n-p	60	40	150 (350)	0,35	60 + 240	≤1	≥350	—	T1a (КБ3)
КТ502Д	p-n-p	60	60	150 (350)	0,35	40 + 120	≤1	≥350	—	T1a (КБ3)
КТ502Е	p-n-p	90	60	150 (350)	0,35	40 + 120	≤1	≥350	—	T1a (КБ3)
КТ503А	p-n-p	40	25	150 (350)	0,35	40 + 120	≤1	≥350	—	T1a (КБ3)
К* J3Б	p-n-p	40	25	150 (350)	0,35	60 + 240	≤1	≥350	—	T1a (КБ3)
КТ503В	p-n-p	60	40	150 (350)	0,35	40 + 120	≤1	≥350	—	T1a (КБ3)
КТ503Г	p-n-p	60	40	150 (350)	0,35	60 + 240	≤1	≥350	—	T1a (КБ3)
КТ503Д	p-n-p	60	60	150 (350)	0,35	40 + 120	≤1	≥350	—	T1a (КБ3)
КТ503Е	p-n-p	100	60	150 (350)	0,35	40 + 120	≤1	≥350	—	T1a (КБ3)
КТ504А	p-n-p	400	350	1 (2) А	1 (10)	15 + 100	≤100	≥20	—	T8
КТ504Б	p-n-p	250	200	1 (2) А	1 (10)	15 + 100	≤100	≥20	—	T8
КТ504В	p-n-p	300	275	1 (2) А	1 (10)	15 + 100	≤100	≥20	—	T8
КТ505А	p-n-p	300	300	1 (2) А	1 (10)	25 + 140	≤100	≥20	—	T8
КТ505Б	p-n-p	250	250	1 (2) А	1 (10)	25 + 140	≤100	≥20	—	T8
КТ506А	p-n-p	800	800	2 (5) А	0,8 (10)	30 + 150	≤1 мА	≥10	—	T8
КТ506Б	p-n-p	800	800	2 (5) А	0,8 (10)	30 + 150	≤1 мА	≥10	—	T8
КТ601А(М)	p-n-p	100	100	30	0,25 (0,5)	≥18	≤50	≥40	—	T17 (T4a)
КТ602А(М)	p-n-p	120	100	75 (500)	0,65 (2,8)	20 + 60	≤70	≥150	—	T19 (T4a)
КТ602Б(М)	p-n-p	120	100	75 (500)	0,65 (2,8)	50 + 200	≤70	≥150	—	T19 (T4a)
КТ602В	p-n-p	60	60	75 (300)	0,65 (2,8)	15 + 60	≤70	≥150	—	T19
КТ602Г	p-n-p	60	60	75 (300)	0,65 (2,8)	≥50	≤70	≥150	—	T19

Тип трансistora	Струк- тура	Уксо (и) В	Уксо (и) В	Ik max (и) мА	Pk max (г) Вт	h _{не}	Ikco мкА	гпр. МГц	Укан В	№ рис.
КТ803А	п-р-п	30	30	300 (600)	0,5	10 + 80	≤10	≥200	<1	T17
КТ803Б	п-р-п	30	30	300 (600)	0,5	≥80	≤10	≥200	<1	T17
КТ803В	п-р-п	15	15	300 (600)	0,5	10 + 60	≤5	≥200	<1	T17
КТ803Г	п-р-п	15	15	300 (600)	0,5	≥80	≤5	≥200	<1	T17
КТ803Д	п-р-п	10	10	300 (600)	0,5	20 + 60	≤1	≥200	<1	T17
КТ803Е	п-р-п	10	10	300 (600)	0,5	60 + 200	≤1	≥200	<1	T17
КТ803И	п-р-п	30	30	300 (600)	0,5	≥20	≤10	≥200	<1	T17
КТ804А(М)	п-р-п	300	250	200	0,8 (3)	10 + 40	≤20	≥40	<8	T19 (T4a)
КТ804Б(М)	п-р-п	300	250	200	0,8 (3)	30 + 120	≤20	≥40	<8	T19 (T4a)
КТ805А(М)	п-р-п	300	250	100 (200)	0,4	10 + 40	≤20	≥40	<8	T17 (T4a)
КТ805Б(М)	п-р-п	300	250	100 (200)	0,4	30 + 120	≤20	≥40	<8	T17 (T4a)
КТ808А	п-р-п	60 (80)	60 (80)	400 (800)	0,5	20 + 60	≤10	≥200	<1	T17
КТ808Б	п-р-п	60 (80)	60 (80)	400 (800)	0,5	40 + 160	≤10	≥200	<1	T17
КТ811АМ	п-р-п	200	160	100	0,8 (3)	10 + 40	≤100	≥60	<0,8	T4a (ЭКБ)
КТ811БМ	п-р-п	200	160	100	0,8 (3)	30 + 120	≤100	≥60	<0,8	T4a (ЭКБ)
КТ8127А	р-п-р	90	90	2 А	0,8	≥30	≤20	≥200	<0,15	T1a (КБЗ)
КТ8127Б	р-п-р	70	70	2 А	0,8	≥30	≤20	≥200	<0,15	T1a (КБЗ)
КТ8127В	р-п-р	50	50	2 А	0,8	≥50	≤20	≥200	<0,3	T1a (КБЗ)
КТ8127Г	р-п-р	30	30	2 А	0,8	≥50	≤20	≥200	<0,3	T1a (КБЗ)
КТ8127Д	р-п-р	20	12	2 А	0,8	≥50	≤20	≥200	<0,3	T1a (КБЗ)
КТ8127Е	р-п-р	10	12	2 А	0,8	≥50	≤20	≥200	<0,3	T1a (КБЗ)
КТ8127Ж	р-п-р	120	120	2 А	0,8	≥30	≤20	≥200	<0,2	T1a (КБЗ)
КТ8127И	р-п-р	180	180	2 А	0,8	≥30	≤20	≥200	<0,2	T1a (КБЗ)
КТ8127К	р-п-р	200	200	2 А	0,8	≥30	≤20	≥200	<0,25	T1a (КБЗ)
КТ826А	р-п-р	45	45	0,5 (1,5) А	(8,5)	40 + 250	≤10	≥75	<1	T46 (БКЗ)
КТ826Б	р-п-р	60	60	0,5 (1,5) А	(8,5)	30 + 100	≤50	≥75	<1	T46 (БКЗ)
КТ826В	р-п-р	80	80	0,5 (1,5) А	(8,5)	40 + 120	≤50	≥45	<1	T46 (БКЗ)
КТ826Г	р-п-р	20	20	0,5 (1,5) А	(8,5)	15 + 60	≤150	≥45	<1	T46 (БКЗ)
КТ826Д	р-п-р	20	20	0,5 (1,5) А	(8,5)	40 + 250	≤150	≥45	<1	T46 (БКЗ)
КТ830А	п-р-п	120	120	1 (2) А	0,8	40 + 120	≤1	≥50	<0,3	T8
КТ830Б	п-р-п	120	120	1 (2) А	0,8	60 + 240	≤1	≥50	<0,3	T8
КТ830В	п-р-п	150	150	1 (2) А	0,8	40 + 120	≤1	≥50	<0,3	T8
КТ830Г	п-р-п	100	100	1 (2) А	0,8	40 + 120	≤1	≥50	<0,3	T8
КТ830Д	п-р-п	60	60	1 (2) А	0,8	60 + 240	≤1	≥50	<0,3	T8
КТ830Е	п-р-п	60	60	1 (2) А	0,8	160 + 480	≤1	≥50	<0,3	T8
КТ839А	р-п-р	45	45	1,5 (2) А	1 (12,5)	40 + 100	≤0,1	≥80	<0,5	T4a (ЭКБ)
КТ839Б	р-п-р	45	45	1,5 (2) А	1 (12,5)	63 + 160	≤0,1	≥80	<0,5	T4a (ЭКБ)
КТ839В	р-п-р	45	45	1,5 (2) А	1 (12,5)	100 + 250	≤0,1	≥80	<0,5	T4a (ЭКБ)
КТ839Г	р-п-р	60	60	1,5 (2) А	1 (12,5)	40 + 100	≤0,1	≥80	<0,5	T4a (ЭКБ)
КТ839Д	р-п-р	60	60	1,5 (2) А	1 (12,5)	63 + 160	≤0,1	≥80	<0,5	T4a (ЭКБ)
КТ839Е	р-п-р	100	100	1,5 (2) А	1	40 + 100	≤0,1	≥80	<0,5	T4a (ЭКБ)
КТ839Ж	р-п-р	100	100	1,5 (2) А	1	63 + 160	≤0,1	≥80	<0,5	T4a (ЭКБ)
КТ839И	р-п-р	30	30	1,5 (2) А	1	180 + 400	≤0,1	≥80	<0,5	T4a (ЭКБ)
КТ844А	р-п-р	60	60	0,8 (1) А	1 (12,5)	40 + 120	≤1	≥200	<0,4	T4a (ЭКБ)
КТ844Б	р-п-р	60	60	0,8 (1) А	1 (12,5)	100 + 300	≤1	≥200	<0,4	T4a (ЭКБ)
КТ844В	р-п-р	60	40	0,8 (1) А	1 (12,5)	40 + 120	≤1	≥200	<0,4	T4a (ЭКБ)
КТ844Г	р-п-р	60	40	0,8 (1) А	1 (12,5)	100 + 300	≤1	≥200	<0,4	T4a (ЭКБ)
КТ845А	п-р-п	60	60	300 (800)	0,5 (1)	20 + 200	≤10	≥200	<0,5	T1a (КБЗ)
КТ845Б	п-р-п	40	40	300 (800)	0,5	≥80	≤10	≥200	<0,5	T1a (КБЗ)
КТ846А	п-р-п	60	60	1 (1,2) А	1 (2,5)	40 + 200	≤10	≥200	<0,85	T4a (ЭКБ)
КТ846Б	п-р-п	40	40	1 (1,2) А	1 (2,5)	150 + 200	≤10	≥200	<0,85	T4a (ЭКБ)
КТ860А	п-р-п	50	50	800	0,5	110 + 220	≤1	≥200	<0,5	T1a (КБЗ)
КТ860Б	п-р-п	30	30	600	0,5	200 + 450	≤1	≥200	<0,5	T1a (КБЗ)
КТ868А	р-п-р	50	45	100 (200)	0,5	75 + 140	≤15	≥200	>0,3	T1a (КБЗ)
КТ868Б	р-п-р	50	45	100 (200)	0,5	125 + 250	≤15	≥200	<0,3	T1a (КБЗ)
КТ868В	р-п-р	50	45	100 (200)	0,5	220 + 475	≤15	≥200	<0,3	T1a (КБЗ)
КТ868ОА	п-р-п	30	25	0,8 (2) А	0,35	65 + 300	≤10	≥120	<0,5	T1a (КБЗ)

Тип транзистора	Структура	Uкз0 (и) В	Uкз0 (и) В	Iк max (и) мА	Pк max (г) Вт	h21э	Iк0 мА	fгр. МГц	Uкэн В	№ рис.
КТ681А	p-n-p	30	25	0,8 (2) А	0,35	85 + 300	≤10	≥120	<0,2	T1a (КБ3)
КТ683А	n-p-n	150	150	1 (2) А	1,2 (8)	40 + 120	≤1	≥50	<0,45	T4a (ЭКБ)
КТ683Б	n-p-n	120	120	1 (2) А	1,2 (8)	80 + 240	≤1	≥50	<0,45	T4a (ЭКБ)
КТ683В	n-p-n	120	120	1 (2) А	1,2 (8)	40 + 120	≤1	≥50	<0,45	T4a (ЭКБ)
КТ683Г	n-p-n	100	100	1 (2) А	1,2 (8)	40 + 120	≤1	≥50	<0,45	T4a (ЭКБ)
КТ683Д	n-p-n	80	80	1 (2) А	1,2 (8)	80 + 240	≤1	≥50	<0,45	T4a (ЭКБ)
КТ683Е	n-p-n	80	80	1 (2) А	1,2 (8)	160 + 480	≤1	≥50	<0,45	T4a (ЭКБ)
КТ684А	p-n-p	45	45	1 (1,5) А	0,6	40 + 250	≤0,1	≥40	<0,5	T1a (КБ3)
КТ684Б	p-n-p	80	80	1 (1,5) А	0,6	40 + 160	≤0,1	≥40	<0,5	T1a (КБ3)
КТ684В	p-n-p	100	100	1 (1,5) А	0,6	40 + 160	≤0,1	≥40	<0,5	T1a (КБ3)
КТ685А	p-n-p	60	40	0,6 А	0,6	40 + 120	≤0,02	≥200	<0,4	T1a (КБ3)
КТ685Б	p-n-p	80	80	0,6 А	0,6	40 + 120	≤0,01	≥200	<0,4	T1a (КБ3)
КТ685В	p-n-p	80	40	0,6 А	0,6	100 + 300	≤0,02	≥200	<0,4	T1a (КБ3)
КТ685Г	p-n-p	80	80	0,6 А	0,6	100 + 300	≤0,01	≥200	<0,4	T1a (КБ3)
КТ685Д	p-n-p	30	25	0,6 А	0,6	70 + 200	≤0,02	≥300	<0,3	T1a (КБ3)
КТ685Е	p-n-p	30	25	0,6 А	0,6	40 + 120	≤0,02	≥250	<0,3	T1a (КБ3)
КТ685Ж	p-n-p	30	25	0,6 А	0,6	100 + 300	≤0,02	≥250	<0,3	T1a (КБ3)
КТ686А	p-n-p	50	45	0,8 (1,5) А	0,625 (1,4)	100 + 250	≤0,1	≥100	<0,7	T1a (КБ3)
КТ686Б	p-n-p	50	45	0,8 (1,5) А	0,625 (1,4)	160 + 400	≤0,1	≥100	<0,7	T1a (КБ3)
КТ686В	p-n-p	50	45	0,8 (1,5) А	0,625 (1,4)	250 + 630	≤0,1	≥100	<0,7	T1a (КБ3)
КТ686Г	p-n-p	30	25	0,8 (1,5) А	0,625 (1,4)	100 + 250	≤0,1	≥100	<0,7	T1a (КБ3)
КТ686Д	p-n-p	30	25	0,8 (1,5) А	0,625 (1,4)	160 + 400	≤0,1	≥100	<0,7	T1a (КБ3)
КТ686Е	p-n-p	30	25	0,8 (1,5) А	0,625 (1,4)	250 + 630	≤0,1	≥100	<0,7	T1a (КБ3)
КТ686Ж	p-n-p	30	25	0,8 (1,5) А	0,625 (1,4)	100 + 250	≤0,1	≥100	<0,7	T1a (КБ3)
КТ695А	n-p-n	30	25	30	0,45	50 + 200	≤0,1	≥300	<0,4	T12 (ЭКБ)
КТ698А	n-p-n	90	90	2 А	0,6	≥20	≤20	≥200	<0,25	T1a (КБ3)
КТ698Б	n-p-n	70	70	2 А	0,6	≥20	≤20	≥200	<0,25	T1a (КБ3)
КТ698В	n-p-n	50	50	2 А	0,6	≥50	≤20	≥200	<0,25	T1a (КБ3)
КТ698Г	n-p-n	30	30	2 А	0,6	≥50	≤20	≥200	<0,2	T1a (КБ3)
КТ698Д	n-p-n	12	12	2 А	0,6	≥50	≤20	≥200	<0,2	T1a (КБ3)
КТ698Е	n-p-n	12	12	2 А	0,6	≥50	≤20	≥200	<0,12	T1a (КБ3)
КТ698Ж	n-p-n	120	120	2 А	0,6	≥30	≤20	≥200	<0,25	T1a (КБ3)
КТ698И	n-p-n	160	160	2 А	0,6	≥30	≤20	≥200	<0,3	T1a (КБ3)
КТ698К	n-p-n	200	200	2 А	0,6	≥30	≤20	≥200	<0,35	T1a (КБ3)
2Т709А2*	p-n-p	100	100	10 (20) А	1 (30)	≥500	≤1 мА	≥5	<2	T5a (ЭКБ)
2Т709Б2*	p-n-p	80	80	10 (20) А	1 (30)	≥750	≤1 мА	≥5	<2	T5a (ЭКБ)
2Т709В2*	p-n-p	80	80	10 (20) А	1 (30)	≥750	≤1 мА	≥5	<2	T5a (ЭКБ)
2Т716А1*	n-p-n	100	100	10 (20) А	1 (30)	≥500	≤1 мА	≥5	<2	T5a (ЭКБ)
2Т716Б1*	n-p-n	80	80	10 (20) А	1 (30)	≥750	≤1 мА	≥5	<2	T5a (ЭКБ)
2Т716В1*	n-p-n	80	80	10 (20) А	1 (30)	≥750	≤1 мА	≥5	<2	T5a (ЭКБ)
КТ710А	n-p-n	(3000)	(3000)	5 (7,5) А	(50)	≥3,5	≤2 мА	≥1,5	<3,5	T14a
2Т713А	n-p-n	2500	2500	3 А	(50)	5 + 20	≤1 мА	≥1,5	<1	T14a
КТ801А	n-p-n	80	80	2 А	(5)	15 + 50	≤10 мА	≥10	<2	T19
КТ801Б	n-p-n	80	80	2 А	(5)	30 + 150	≤10 мА	≥10	<2	T19
КТ802А	n-p-n	150	130	5 А	(50)	≥15	≤80 мА	≥10	<5	T16
КТ803А	n-p-n	80	(80)	10 А	(60)	10 + 70	≤5 мА	≥20	<2,5	T16
КТ805АМ	n-p-n	80(160)	80(160)	5 (8) А	(30)	≥15	(≤25) мА	≥20	<2,5	T5a (ЭКБ)
КТ805БМ	n-p-n	80(135)	80(135)	5 (8) А	(30)	≥15	(≤25) мА	≥20	<5	T5a (ЭКБ)
КТ805ВМ	n-p-n	80(135)	80(135)	5 (8) А	(30)	≥15	(≤25) мА	≥20	<2,5	T5a (ЭКБ)
КТ805ИМ	n-p-n	80(135)	80(135)	5 (8) А	(30)	≥15	(≤25) мА	≥20	<2,5	T5a (ЭКБ)
КТ807А	n-p-n	100	100	0,5 (1,5) А	(10)	15 + 45	≤5 мА	≥5	<1	T26
КТ807Б	n-p-n	100	100	0,5 (1,5) А	(10)	30 + 100	≤5 мА	≥5	<1	T26
КТ808А	n-p-n	120(250)	120(250)	10 А	5 (50)	10 + 50	≤3 мА	≥7,2	<2,5	T16
КТ808АМ	n-p-n	120(250)	120(250)	10 А	(60)	20 + 125	≤2 мА	≥8	<2,5	T14a
КТ808БМ	n-p-n	100(160)	100(160)	10 А	(60)	20 + 125	≤2 мА	≥8	<2,5	T14a
КТ808ВМ	n-p-n	80(135)	80(135)	10 А	(60)	20 + 125	≤2 мА	≥8	<2,5	T14a

Тип транзистора	Структура	Uкзо (мВ)	Uкзо (мВ)	Iк max (мА)	Pк max (Вт)	h _{21э}	Iкзо мкА	fгр. МГц	Uкэн В	№ рис.
КТ808ГМ	п-р-п	70(80)	70(80)	10 А	(80)	20 + 125	≤2 мА	≥8	<2,5	T14a
КТ809А	п-р-п	400	400	3 (5) А	(40)	15 + 100	≤3 мА	≥5,1	<1,5	T18
КТ8101А	п-р-п	200	180	18 А	(150)	≥20	≤2 мА	≥10	<2	T22 (БКЗ)
КТ8101Б	п-р-п	180	120	18 А	(150)	≥20	≤2 мА	≥10	<2	T22 (БКЗ)
КТ8102А	р-п-р	200	180	18 А	(150)	≥20	≤2 мА	≥10	<2	T22 (БКЗ)
КТ8102Б	р-п-р	180	120	18 А	(150)	≥20	≤2 мА	≥10	<2	T22 (БКЗ)
КТ8104А	п-р-п	350	350	20 (25) А	(150)	≥1000	≤5 мА	≥10	<2,2	T14a
КТ8105А	п-р-п	200	200	20 (25) А	(150)	≥1000	≤5 мА	≥10	<2,2	T14a
КТ8106А	п-р-п	90	80	20 (30) А	(125)	750+10000	≤5 мА	≥4	<2	T22 (БКЗ)
КТ8106Б	п-р-п	80	45	20 (30) А	(125)	750+10000	≤5 мА	≥4	<2	T22 (БКЗ)
КТ8107А	п-р-п	1500	700	8 (15) А	(100)	≥2,25	≤1 мА	≥7	<1	T14a
КТ8107Б	п-р-п	1500	700	5 (7,5) А	(125)	≥2,25	≤1 мА	≥7	<1	T14a
КТ8107В	п-р-п	1500	600	5 (8) А	(50)	8 + 12	≤1 мА	≥7	<5	T14a
КТ8108А	п-р-п	850	500	5 (7) А	(70)	10 + 50	≤2 мА	≥5	<1	T56 (БКЗ)
КТ8108Б	п-р-п	850	500	5 (7) А	(70)	40 + 80	≤2 мА	≥5	<1	T56 (БКЗ)
КТ8109А*	п-р-п	350	350	7 (10) А	(80)	≥150	≤1 мА	≥7	<1,5	T56 (БКЗ)
КТ8109Б*	п-р-п	300	300	7 (10) А	(80)	≥150	≤1 мА	≥7	<1,5	T56 (БКЗ)
КТ8110А	п-р-п	500	450	7 (14) А	(80)	15 + 30	≤2 мА	≥20	<0,8	T56 (БКЗ)
КТ8110Б	п-р-п	500	450	7 (14) А	(80)	≥15	≤2 мА	≥20	<0,8	T56 (БКЗ)
КТ8110В	п-р-п	500	450	7 (14) А	(80)	≥15	≤2 мА	≥20	<0,8	T56 (БКЗ)
КТ8111А*	п-р-п	100	50	20 А	(125)	750+18000	≤2 мА	≥10	<2	T24a (БКЗ)
КТ8111Б*	п-р-п	80	40	20 А	(125)	750+18000	≤2 мА	≥10	<2	T24a (БКЗ)
КТ8111В*	п-р-п	60	30	20 А	(125)	750+18000	≤2 мА	≥10	<2	T24a (БКЗ)
КТ8114А	п-р-п	700 (1500)	700 (1500)	8 (15) А	(125)	—	≤100	≥7	<1	T24a (БКЗ)
КТ8114Б	п-р-п	700 (1500)	700 (1500)	8 (15) А	(125)	—	≤100	≥7	<5	T24a (БКЗ)
КТ8114В	п-р-п	700 (1200)	700 (1200)	8 (15) А	(125)	≥6	≤100	≥7	<2,5	T24a (БКЗ)
КТ8116А*	п-р-п	100	100	8 (18) А	(85)	≥1000	≤10	≥7	<2	T56 (БКЗ)
КТ8118Б*	п-р-п	80	80	8 (18) А	(85)	≥1000	≤10	≥7	<2	T56 (БКЗ)
КТ8118Б*	п-р-п	60	60	8 (18) А	(85)	≥1000	≤10	≥7	<2	T56 (БКЗ)
КТ8117А	п-р-п	500	400	10 (15) А	(100)	≥10	≤1 мА	≥4	<1,5	T22 (БКЗ)
КТ8118А	п-р-п	900	600	3 (10) А	(50)	10 + 40	≤1 мА	≥15	<2	T56 (БКЗ)
КТ812А	п-р-п	700	700	8 (12) А	(50)	≥4	≤5 мА	≥3	<2,5	T56 (БКЗ)
КТ812Б	п-р-п	500	500	8 (12) А	(50)	≥4	≤5 мА	≥3	<2,5	T14a
КТ812В	п-р-п	300	300	8 (12) А	(50)	≥10	≤5 мА	≥3	<2,5	T14a
2Т812А	п-р-п	700	700	10 (17) А	(50)	≥5	≤5 мА	≥3	<2,5	T14a
2Т812Б	п-р-п	500	500	10 (17) А	(50)	≥5	≤5 мА	≥3	<2,5	T14a
КТ8120А	п-р-п	800	450	8 (18) А	(80)	≥10	≤1 мА	≥20	<1	T56 (БКЗ)
КТ8121А	п-р-п	700	400	4 (8) А	(75)	8 + 80	≤1 мА	≥4	<1	T56 (БКЗ)
КТ8121Б	п-р-п	600	300	4 (8) А	(75)	8 + 80	≤1 мА	≥4	<1	T56 (БКЗ)
КТ8123А	п-р-п	200	150	2 (3) А	(25)	≥40	≤1 мА	≥5	<1	T56 (БКЗ)
КТ8124А	п-р-п	400	200	7 (15) А	(80)	≥10	≤1 мА	≥10	<1	T56 (БКЗ)
КТ8124Б	п-р-п	400	200	7 (15) А	(80)	≥10	≤1 мА	≥10	<1	T56 (БКЗ)
КТ8124В	п-р-п	330	150	7 (15) А	(80)	≥10	≤1 мА	≥10	<1	T56 (БКЗ)
КТ8127А(1)	п-р-п	1500	700	5 (7,5) А	(100)	≤35	≤0,9 мА	≥2	<1	T14a (Т25)
КТ8127Б(1)	п-р-п	1200	700	5 (7,5) А	(100)	≥6	≤0,8 мА	≥2	<1	T14a (Т25)
КТ8127В(1)	п-р-п	1500	700	5 (7,5) А	(100)	≤35	≤0,9 мА	≥2	<1	T14a (Т25)
КТ8129А	п-р-п	1500	700	5 А	(100)	≥2,25	≤4,5 мА	≥4	<4,5	T14a
КТ8130А*	р-п-р	40	40	4 А	(20)	500+15000	≤0,5 мА	≥25	<2	T4a (ЗКБ)
КТ8130Б*	р-п-р	80	80	4 А	(20)	500+15000	≤0,5 мА	≥25	<2	T4a (ЗКБ)
КТ8130В*	р-п-р	80	80	4 А	(20)	500+15000	≤0,5 мА	≥25	<2	T4a (ЗКБ)
КТ8131А*	п-р-п	40	40	4 А	(20)	500+15000	≤0,5 мА	≥25	<2	T4a (ЗКБ)
КТ8131Б*	п-р-п	80	80	4 А	(20)	500+15000	≤0,5 мА	≥25	<2	T4a (ЗКБ)
КТ8131В*	п-р-п	80	80	4 А	(20)	500+15000	≤0,5 мА	≥25	<2	T4a (ЗКБ)

Тип транзистора	Структура	Uкб0 (к) В	Uкэ0 (к) В	Iк max (к) мА	Pк max (т) Вт	h21э	Iкб0 мкА	fгр. МГц	Uкэн В	№ рис.
КТ8136А	п-р-п	600	400	10 (15) А	(60)	10 + 50	≤2 мА	≥7	<1	T55 (БКЗ)
КТ8140А	п-р-п	400	200	7 (10) А	(60)	≥10	≤2 мА	≥7	<1	T55 (БКЗ)
КТ8144А	р-п-р	40	25	1,5 (3) А	1 (10)	40 + 275	≤50	≥3	<0,6	T4a (ЗКБ)
КТ8146	р-п-р	50	40	1,5 (3) А	1 (10)	40 + 275	≤50	≥3	<0,6	T4a (ЗКБ)
КТ8148	р-п-р	70	60	1,5 (3) А	1 (10)	40 + 275	≤50	≥3	<0,6	T4a (ЗКБ)
КТ814Г	р-п-р	100	60	1,5 (3) А	1 (10)	30 + 275	≤50	≥3	<0,6	T4a (ЗКБ)
КТ815А	п-р-п	40	30	1,5 (3) А	1 (10)	40 + 275	≤50	≥3	<0,6	T4a (ЗКБ)
КТ815Б	п-р-п	50	45	1,5 (3) А	1 (10)	40 + 275	≤50	≥3	<0,6	T4a (ЗКБ)
КТ815В	п-р-п	70	65	1,5 (3) А	1 (10)	40 + 275	≤50	≥3	<0,6	T4a (ЗКБ)
КТ815Г	п-р-п	100	65	1,5 (3) А	1 (10)	30 + 275	≤50	≥3	<0,6	T4a (ЗКБ)
КТ816А	р-п-р	40	40	3 (6) А	1 (25)	25 + 275	≤100	≥3	<1	T4a (ЗКБ)
КТ816А2	р-п-р	40	40	3 (6) А	1 (25)	≥200	≤100	≥3	<0,6	T4a (ЗКБ)
КТ816Б	р-п-р	45	45	3 (6) А	1 (25)	25 + 275	≤100	≥3	<1	T4a (ЗКБ)
КТ816В	р-п-р	60	60	3 (6) А	1 (25)	25 + 275	≤100	≥3	<1	T4a (ЗКБ)
КТ816Г	р-п-р	100	90	3 (6) А	1 (25)	25 + 275	≤100	≥3	<1	T4a (ЗКБ)
КТ817А	п-р-п	40	40	3 (6) А	1 (25)	25 + 275	≤100	≥3	<0,6	T4a (ЗКБ)
КТ817Б	п-р-п	45	45	3 (6) А	1 (25)	25 + 275	≤100	≥3	<0,6	T4a (ЗКБ)
КТ817Б2	п-р-п	45	45	3 (6) А	1 (25)	≥100	≤100	≥3	<0,12	T4a (ЗКБ)
КТ817В	п-р-п	60	60	3 (6) А	1 (25)	25 + 275	≤100	≥3	<0,6	T4a (ЗКБ)
КТ817Г	п-р-п	100	90	3 (6) А	1 (25)	25 + 275	≤100	≥3	<0,6	T4a (ЗКБ)
КТ817Г2	п-р-п	100	90	3 (6) А	1 (25)	≥100	≤100	≥3	<0,12	T4a (ЗКБ)
КТ818А	р-п-р	40	40	10 (15) А	1,5 (60)	15 + 225	≤1 мА	≥3	<2	T5a (ЗКБ)
КТ818Б	р-п-р	50	50	10 (15) А	1,5 (60)	20 + 225	≤1 мА	≥3	<2	T5a (ЗКБ)
КТ818В	р-п-р	70	70	10 (15) А	1,5 (60)	15 + 225	≤1 мА	≥3	<2	T5a (ЗКБ)
КТ818Г	р-п-р	90	90	10 (15) А	1,5 (60)	12 + 225	≤1 мА	≥3	<2	T5a (ЗКБ)
КТ818АМ	р-п-р	40	40	15 (20) А	2 (100)	15 + 225	≤1 мА	≥3	<2	T14a
КТ818БМ	р-п-р	50	50	15 (20) А	2 (100)	20 + 225	≤1 мА	≥3	<2	T14a
КТ818ВМ	р-п-р	70	70	15 (20) А	2 (100)	15 + 225	≤1 мА	≥3	<2	T14a
КТ818ГМ	р-п-р	90	90	15 (20) А	2 (100)	12 + 225	≤1 мА	≥3	<2	T14a
2Т818А	п-р-п	100	100	15 (20) А	3 (100)	20 + 225	≤1 мА	≥3	<1	T14a
2Т818Б	п-р-п	80	80	15 (20) А	3 (100)	20 + 225	≤1 мА	≥3	<1	T14a
2Т818В	п-р-п	60	60	15 (20) А	3 (100)	20 + 225	≤1 мА	≥3	<1	T14a
КТ819А	п-р-п	40	40	10 (15) А	1,5 (60)	15 + 225	≤1 мА	≥3	<2	T5a (ЗКБ)
КТ819Б	п-р-п	50	50	10 (15) А	1,5 (60)	20 + 225	≤1 мА	≥3	<2	T5a (ЗКБ)
КТ819В	п-р-п	70	70	10 (15) А	1,5 (60)	15 + 225	≤1 мА	≥3	<2	T5a (ЗКБ)
КТ819Г	п-р-п	100	100	10 (15) А	1,5 (60)	12 + 225	≤1 мА	≥3	<2	T5a (ЗКБ)
КТ819АМ	п-р-п	40	40	15 (20) А	2 (100)	15 + 225	≤1 мА	≥3	<2	T14a
КТ819БМ	п-р-п	50	50	15 (20) А	2 (100)	20 + 225	≤1 мА	≥3	<2	T14a
КТ819ВМ	п-р-п	70	70	15 (20) А	2 (100)	15 + 225	≤1 мА	≥3	<2	T14a
КТ819ГМ	п-р-п	100	100	15 (20) А	2 (100)	12 + 225	≤1 мА	≥3	<2	T14a
2Т819А	п-р-п	100	100	15 (20) А	3 (100)	20 + 225	≤1 мА	≥3	<1	T14a
2Т819Б	п-р-п	80	80	15 (20) А	3 (100)	20 + 225	≤1 мА	≥3	<1	T14a
2Т819В	п-р-п	60	60	15 (20) А	3 (100)	20 + 225	≤1 мА	≥3	<1	T14a
2Т825А*	п-р-п	100	100	20 (40) А	(160)	500+18000	≤1 мА	≥4	<2	T14a
2Т825Б*	п-р-п	60	60	20 (40) А	(160)	750+18000	≤1 мА	≥4	<2	T14a
2Т825В*	п-р-п	80	80	20 (40) А	(160)	750+18000	≤1 мА	≥4	<2	T14a
КТ825Г*	п-р-п	90	90	20 (30) А	(125)	750+18000	≤1 мА	≥4	<2	T14a
КТ825Д*	п-р-п	60	60	20 (30) А	(125)	750+18000	≤1 мА	≥4	<2	T14a
КТ825Е*	п-р-п	30	30	20 (30) А	(125)	750+18000	≤1 мА	≥4	<2	T14a
КТ826А	п-р-п	700	700	1 (1) А	(15)	10 + 120	≤2 мА	≥6	<2,5	T14a
КТ826Б	п-р-п	700	700	1 (1) А	(15)	5 + 300	≤2 мА	≥6	<2,5	T14a
КТ826В	п-р-п	700	700	1 (1) А	(15)	5 + 120	≤2 мА	≥6	<2,5	T14a
КТ827А*	п-р-п	100	100	20 (40) А	(125)	500+18000	≤3 мА	≥4	<2	T14a
КТ827Б*	п-р-п	60	60	20 (40) А	(125)	750+18000	≤3 мА	≥4	<2	T14a
КТ827В*	п-р-п	60	60	20 (40) А	(125)	750+18000	≤3 мА	≥4	<2	T14a
КТ828А	п-р-п	600	600	5 (7,5) А	(50)	≥2,25	≤5 мА	≥4	<3	T14a
КТ828Б	п-р-п	600	600	5 (7,5) А	(50)	≥2,25	≤5 мА	≥4	<3	T14a

Тип транзистора	Структура	Uкб0 (и) В	Uкэ0 (и) В	Iк max (и) мА	Pк max (г) Вт	h21э	Iкб0 мкА	fтр. МГц	Uкэан В	№ рис.
КТ828А*	п-р-п	100	100	8 (12) А	(80)	≥750	≤0,2 мА	≥4	<2	T56 (БКЗ)
КТ829Б*	п-р-п	80	80	8 (12) А	(80)	≥750	≤0,2 мА	≥4	<2	T56 (БКЗ)
КТ829Б*	п-р-п	80	80	8 (12) А	(80)	≥750	≤0,2 мА	≥4	<2	T56 (БКЗ)
КТ829Г*	п-р-п	45	45	8 (12) А	(80)	≥750	≤0,2 мА	≥4	<2	T56 (БКЗ)
КТ834А	п-р-п	500	500	15 (20) А	(100)	≥150	≤3 мА	≥4	<2	T14а
КТ834Б	п-р-п	450	450	15 (20) А	(100)	≥150	≤3 мА	≥4	<2	T14а
КТ834В	п-р-п	400	400	15 (20) А	(100)	≥150	≤3 мА	≥4	<2	T14а
КТ835А	р-н-р	30	30	3 А	(25)	≥25	≤100	≥1	<0,35	T5а (ЭКБ)
КТ835Б	р-н-р	45	45	7,5 А	(25)	10 + 100	≤150	≥1	<0,35	T5а (ЭКБ)
КТ837А	р-н-р	80	80	7,5 А	(30)	10 + 40	≤150	≥1	<2,5	T5а (ЭКБ)
КТ837Б	р-н-р	80	80	7,5 А	(30)	20 + 80	≤150	≥1	<2,5	T5а (ЭКБ)
КТ837В	р-н-р	80	80	7,5 А	(30)	50 + 150	≤150	≥1	<2,5	T5а (ЭКБ)
КТ837Г	р-н-р	80	45	7,5 А	(30)	10 + 40	≤150	≥1	<0,9	T5а (ЭКБ)
КТ837Д	р-н-р	80	45	7,5 А	(30)	20 + 80	≤150	≥1	<0,9	T5а (ЭКБ)
КТ837Е	р-н-р	80	45	7,5 А	(30)	50 + 150	≤150	≥1	<0,9	T5а (ЭКБ)
КТ837Ж	р-н-р	45	30	7,5 А	(30)	10 + 40	≤150	≥1	<0,5	T5а (ЭКБ)
КТ837И	р-н-р	45	30	7,5 А	(30)	20 + 80	≤150	≥1	<0,5	T5а (ЭКБ)
КТ837К	р-н-р	45	30	7,5 А	(30)	50 + 150	≤150	≥1	<0,5	T5а (ЭКБ)
КТ837Л	р-н-р	80	60	7,5 А	(30)	10 + 40	≤150	≥1	<2,5	T5а (ЭКБ)
КТ837М	р-н-р	80	60	7,5 А	(30)	20 + 80	≤150	≥1	<2,5	T5а (ЭКБ)
КТ837Н	р-н-р	80	80	7,5 А	(30)	50 + 150	≤150	≥1	<2,5	T5а (ЭКБ)
КТ837П	р-н-р	60	45	7,5 А	(30)	10 + 40	≤150	≥1	<0,9	T5а (ЭКБ)
КТ837Р	р-н-р	60	45	7,5 А	(30)	20 + 80	≤150	≥1	<0,9	T5а (ЭКБ)
КТ837С	р-н-р	60	45	7,5 А	(30)	50 + 150	≤150	≥1	<0,9	T5а (ЭКБ)
КТ837Т	р-н-р	45	30	7,5 А	(30)	10 + 40	≤150	≥1	<0,5	T5а (ЭКБ)
КТ837У	р-н-р	45	30	7,5 А	(30)	20 + 80	≤150	≥1	<0,5	T5а (ЭКБ)
КТ837Ф	р-н-р	45	30	7,5 А	(30)	50 + 150	≤150	≥1	<0,5	T5а (ЭКБ)
КТ838А	п-р-п	(1500)	(1500)	5 (7,5) А	(12,5)	≥4	≤1 мА	3	<5	T14а
КТ839А	п-р-п	1500	1500	10 А	(50)	≥5	≤1 мА	3	<1,5	T14а
КТ840А	п-р-п	400	400	8 (8) А	(80)	10 + 60	≤3 мА	≥8	<3	T14а
КТ840Б	п-р-п	350	350	8 (8) А	(80)	≥10	≤3 мА	≥8	<3	T14а
КТ841А	п-р-п	800	800	10 (15) А	3 (50)	≥12	≤3 мА	≥10	<1,5	T14а
КТ841Б	п-р-п	800	800	10 (15) А	3 (50)	≥12	≤3 мА	≥10	<1,5	T14а
КТ841В	п-р-п	800	800	10 (15) А	3 (50)	≥12	≤3 мА	≥10	<1,5	T14а
КТ846А	п-р-п	1500	1500	5 (7,5) А	(12,5)	-	≤1 мА	2	<1	T14а
КТ846Б	п-р-п	1200	1200	5 (7,5) А	(12,5)	-	≤1 мА	2	<1	T14а
КТ846В	п-р-п	1500	1500	5 (7,5) А	(12,5)	-	≤1 мА	2	<1	T14а
КТ847А	п-р-п	650	650	15 (25) А	(125)	8 + 25	≤5 мА	≥15	<1,5	T14а
КТ848А	п-р-п	400	400	15 А	(35)	≥20	≤3 мА	≥3	<1,5	T14а
КТ850А	п-р-п	250	200	2 (3) А	(25)	40 + 200	≤100	≥20	<1	T56 (БКЗ)
КТ850Б	п-р-п	300	250	2 (3) А	(25)	≥20	≤500	≥20	<1	T56 (БКЗ)
КТ850В	п-р-п	130	150	2 (3) А	(25)	≥20	≤500	≥20	<1	T56 (БКЗ)
КТ851А	п-р-п	250	200	2 (3) А	(25)	40 + 200	≤100	≥20	<1	T56 (БКЗ)
КТ851Б	п-р-п	300	250	2 (3) А	(25)	≥20	≤500	≥20	<1	T56 (БКЗ)
КТ851В	п-р-п	130	150	2 (3) А	(25)	≥20	≤500	≥20	<1	T56 (БКЗ)
КТ852А*	п-р-п	100	100	2,5 (4) А	(50)	≥500	≤500	≥7	<2,5	T56 (БКЗ)
КТ852Б*	п-р-п	80	60	2,5 (4) А	(50)	≥500	≤500	≥7	<2,5	T56 (БКЗ)
КТ852В*	п-р-п	80	60	2,5 (4) А	(50)	≥1000	≤500	≥7	<2,5	T56 (БКЗ)
КТ852Г*	п-р-п	45	45	2,5 (4) А	(50)	≥1000	≤500	≥7	<2,5	T56 (БКЗ)
КТ853А*	п-р-п	100	100	8 (12) А	(80)	≥750	≤500	≥7	<2	T56 (БКЗ)
КТ853Б*	п-р-п	80	80	8 (12) А	(80)	≥750	≤500	≥7	<2	T56 (БКЗ)
КТ853В*	п-р-п	80	80	8 (12) А	(80)	≥750	≤500	≥7	<2	T56 (БКЗ)
КТ853Г*	п-р-п	45	45	8 (12) А	(80)	≥750	≤500	≥7	<2	T56 (БКЗ)
КТ854А	п-р-п	800	800	10 (15) А	(80)	≥20	≤3 мА	≥10	<2	T56 (БКЗ)
КТ854Б	п-р-п	400	400	10 (15) А	(80)	≥20	≤3 мА	≥10	<2	T56 (БКЗ)
КТ855А	п-р-п	250	250	5 (8) А	(40)	≥20	≤1 мА	≥5	<1	T56 (БКЗ)

Тип транзистора	Структура	Uкз0 (н) В	Uкз0 (н) В	Iк max (н) мА	Pк max (н) Вт	h21э	Iк0 мкА	fгр. МГц	Uкн В	№ рис.
КТ855Б	п-п-п	150	180	5 (8) А	(40)	≥20	≤100	≥5	<1	T56 (БКЗ)
КТ855В	п-п-п	150	150	5 (8) А	(40)	≥15	≤1 мА	≥5	<1	T56 (БКЗ)
КТ857А	п-п-п	250	250	7 (10) А	(80)	≥7,5	≤5 мА	≥10	<1	T56 (БКЗ)
КТ858А	п-п-п	400	400	7 (10) А	(80)	≥10	≤1 мА	≥10	<1	T56 (БКЗ)
КТ859А	п-п-п	800	800	3 (4) А	(40)	≥10	≤1 мА	≥10	<1,5	T56 (БКЗ)
КТ863А	п-п-п	30	30	10 А	(50)	≥100	≤1 мА	≥4	<0,3	T56 (БКЗ)
КТ872А	п-п-п	700 (1500)	700 (1500)	8 (15) А	(100)	—	≤1 мА	7	<1	T24а (БКЗ)
КТ872Б	п-п-п	700 (1500)	700 (1500)	8 (15) А	(100)	—	≤1 мА	7	<1	T24а (БКЗ)
КТ872В	п-п-п	600 (1200)	600 (1200)	8 (15) А	(100)	≥6	≤0,8 мА	7	<1	T24а (БКЗ)
КТ878А	п-п-п	800	800	30 (50) А	(150)	12 + 50	≤3 мА	≥10	<1,5	T14а
КТ878Б	п-п-п	800	800	30 (50) А	(150)	12 + 50	≤3 мА	≥10	<1,5	T14а
КТ878В	п-п-п	800	800	30 (50) А	(150)	12 + 50	≤3 мА	≥10	<1,5	T14а
КТ879А	п-п-п	200	200	50 (75) А	(250)	≥20	≤5 мА	≥10	<1,2	T18а
КТ879Б	п-п-п	200	200	50 (75) А	(250)	≥15	≤5 мА	≥10	<2	T18а
КТ886А1	п-п-п	1400	700	10 (15) А	(75)	—	≤1 мА	≥5	<1	T25 (БКЗ)
КТ886Б1	п-п-п	1000	500	10 (15) А	(75)	—	≤1 мА	≥5	<1	T25 (БКЗ)
КТ890А*	п-п-п	350	350	20 А	(120)	≥400	≤0,5 мА	≥5	<2	T22 (БКЗ)
КТ890Б*	п-п-п	350	350	20 А	(120)	≥400	≤0,5 мА	≥5	<2	T22 (БКЗ)
КТ890В*	п-п-п	350	350	20 А	(120)	≥400	≤0,5 мА	≥5	<2	T22 (БКЗ)
КТ892А*	п-п-п	350	350	15 (30) А	(100)	300 + 6000	≤5 мА	≥10	<1,8	T14а
КТ892Б*	п-п-п	400	400	15 (30) А	(100)	300 + 6000	≤5 мА	≥10	<1,8	T14а
КТ892В*	п-п-п	300	300	15 (30) А	(100)	300 + 6000	≤5 мА	≥10	<1,8	T14а
КТ896А*	п-п-п	100	50	20 А	(125)	750+18000	≤2 мА	10	<2	T22 (БКЗ)
КТ896Б*	п-п-п	80	40	20 А	(125)	750+18000	≤2 мА	10	<2	T22 (БКЗ)
КТ896В*	п-п-п	80	30	20 А	(125)	750+18000	≤2 мА	10	<2	T22 (БКЗ)
КТ897А*	п-п-п	350	350	20 (30) А	(125)	≥400	≤250	≥10	<1,8	T14а
КТ897Б*	п-п-п	200	200	20 (30) А	(125)	≥400	≤250	≥10	<1,8	T14а
КТ898А*	п-п-п	350	350	20 (30) А	(125)	≥400	≤5 мА	≥10	<1,8	T22 (БКЗ)
КТ898Б*	п-п-п	200	200	20 (30) А	(125)	≥400	≤5 мА	≥10	<1,8	T22 (БКЗ)
КТ898А1*	п-п-п	350	350	20 (30) А	(80)	≥400	≤5 мА	≥10	<1,8	T23 (БКЗ)
КТ898Б1*	п-п-п	200	200	20 (30) А	(80)	≥400	≤5 мА	≥10	<1,8	T23 (БКЗ)
КТ899А*	п-п-п	180	150	8 (15) А	(65)	≥1000	≤0,5 мА	≥7	<1,3	T56 (БКЗ)
КТ903А	п-п-п	80 (80)	60 (80)	3 (5) А	(30)	15 + 70	≤10 мА	≥120	<2,5	T18
КТ903Б	п-п-п	80 (80)	60 (80)	3 (5) А	(30)	40 + 180	≤10 мА	≥120	<2,5	T18
КТ908А	п-п-п	100	60	10 А	(50)	8 + 80	≤25 мА	≥30	<2,3	T18
КТ908Б	п-п-п	100	80	10 А	(50)	≥20	≤50 мА	≥30	<2,3	T18
КТ911Б5А	п-п-п	300	300	100 (300)	1,2 (10)	25 + 250	≤0,05	≥90	<1	T4а (ЭКБ)
КТ940А	п-п-п	300	300	100 (300)	1,2 (10)	≥25	≤0,05	≥90	<1	T4а (ЭКБ)
КТ940Б	п-п-п	250	250	100 (300)	1,2 (10)	≥25	≤0,05	≥90	<1	T4а (ЭКБ)
КТ940В	п-п-п	180	180	100 (300)	1,2 (10)	≥25	≤0,05	≥90	<1	T4а (ЭКБ)
КТ945А	п-п-п	150	180	15 (25) А	(50)	10 + 80	≤50 мА	≥51	<2,5	T14а
КТ961А	п-п-п	100	80	1,5 (2) А	1 (12,5)	40 + 100	≤10	≥50	<0,5	T4а (ЭКБ)
КТ961Б	п-п-п	80	80	1,5 (2) А	1 (12,5)	83 + 180	≤10	≥50	<0,5	T4а (ЭКБ)
КТ961В	п-п-п	80	45	1,5 (2) А	1 (12,5)	100 + 250	≤10	≥50	<0,5	T4а (ЭКБ)
КТ969А	п-п-п	300	250	100 (200)	1 (8)	50 + 250	≤0,05	≥60	<1	T4а (ЭКБ)
КТ972А*	п-п-п	80	80	4 А	(8)	≥750	≤1 мА	≥200	<1,5	T4а (ЭКБ)
КТ972Б*	п-п-п	45	45	4 А	(8)	≥750	≤1 мА	≥200	<1,5	T4а (ЭКБ)
КТ973А*	п-п-п	80	80	4 А	(8)	≥750	≤1 мА	≥200	<1,5	T4а (ЭКБ)
КТ973Б*	п-п-п	45	45	4 А	(8)	≥750	≤1 мА	≥200	<1,5	T4а (ЭКБ)
КТ997А	п-п-п	45	45	10 (20) А	(50)	≥40	≤10	≥51	<1	T56 (БКЗ)
КТ997Б	п-п-п	45	45	10 (20) А	(80)	≥20	≤10	≥51	<1	T56 (БКЗ)
КТ999А	п-п-п	250	250	50 (100) А	1,8 (5)	≥50	≤0,1	≥80	<1	T15 (ЭКБ)

Табл. 8.17. Параметры отечественных полевых транзисторов.

Тип	Структура	Uси таx В	Uзи таx (Uси0) В	Iс таx мА	Рси таx Вт	Uзи отс (пор) В	Iс нач (отс) мА	S мА/В (Кст.)	fрaб таx МГц	Кш дБ (Rси отс) Ом	№ рис.
КТ103Е(Р1)	р-п переход, р-канал	10	10	—	0,007	0,4+1,5	0,3+2,5	0,4+2,4	3	≤3	T9
КТ103Ж(Р1)		10	10	—	0,012	0,5+2,2	0,35+3,6	0,5+2,6	3	≤3	(T1e)
КТ103И(Р1)		12	10	—	0,021	0,6+3	0,6+1,6	0,6+2,6	3	≤3	T9
КТ103К(Р1)		10	10	—	0,036	1,0+4	1,0+5,5	1+3,3	3	≤3	(T1e)
КТ103Л(Р1)		12	10	—	0,066	2+6	1,8+6,6	1,8+3,6	3	≤3	T9
КТ103М(Р1)		10	10	—	0,12	2,8+7	3+12	1,3+4,4	3	≤3	(T1e)
КТ302АМ	р-п переход, п-канал	20	10	24	0,3	1,0+5	3+24 (6)	5+12	150	≤2,75	T6r
КТ302БМ		20	10	43	0,3	2,5+7	18+43 (6)	7+14	150	(≤150)	T6r
КТ302ВМ		20	12	—	0,3	3,0+10	≥33 (6)	—	150	(≤150)	T6r
КТ302ГМ		20	10	—	0,3	2,0+7	15+65 (6)	7+14	150	(≤150)	T6r
КТ303А	р-п переход, п-канал	25	30	20	0,2	0,5+3	0,5+2,5 (5)	1,0+4	100	—	T75
КТ303Б		25	30	20	0,2	0,5+3	0,5+2,5 (5)	1,0+4	100	—	T75
КТ303В		25	30	20	0,2	1,0+4	1,5+2,0 (5)	2,0+5	100	—	T75
КТ303Г		25	30	20	0,2	≤8	3,0+12 (5)	3,0+7	100	—	T75
КТ303Д		25	30	20	0,2	≤8	3,0+9,0 (5)	≥2,6	100	≤4	T75
КТ303Е		25	30	20	0,2	≤8	5,0+20 (5)	≥4	100	≤4	T75
КТ303Ж		25	30	20	0,2	0,3+3	0,3+3,0 (5)	1,0+4	100	—	T75
КТ303И		25	30	20	0,2	0,5+2	1,5+5,0 (5)	2,0+6	100	≤4	T75
КТ304А	изолиро- ванный затвор, р-канал	25	30	30	0,2	(≥5)	0,2 мкА	≥4	—	(≤100)	T7e
КТ307А	р-п переход, п-канал	25	27	25	0,25	0,5+3	3+9	4+9	600	—	T75
КТ307Б		25	27	25	0,25	1,0+5	5+15	5+10	600	—	T75
КТ307В		25	27	25	0,25	1,0+5	5+15	5+10	600	—	T75
КТ307Г		25	27	25	0,25	1,5+6	8+24	8+12	600	≤6	T75
КТ307Д		25	27	25	0,25	1,5+6	8+24	8+12	600	≤6	T75
КТ307Е		25	27	25	0,25	≤2,5	1,5+5	3+8	600	—	T75
КТ307Ж		25	27	25	0,25	≤7	3+25	4+14	600	—	T75
КТ327А	два изолиро- ванных затвора, п-канал	14	5	30	0,2	≤2,7	0,5+17	≥9,5	1200	≤3,9	T29
КТ327Б		14	5	30	0,2	≤2,7	0,5+17	≥9,5	1200	≤2,6	T29
КТ327В		14	5	30	0,2	≤2,7	≤17	≥9,5	1200	≤4,5	T29
КТ327Г		14	5	30	0,2	≤2,7	≤17	≥9,5	1200	≤3,0	T29
КТ329А	р-п переход, п-канал	50	45	—	0,25	≥1,5	≥1	≥3	200	(≤1500)	T1e
КТ329Б		40	35	—	0,25	≥1,5	≥1	≥1	200	(≤1500)	T1e
КТ333А	р-п переход, п-канал	50	45	—	0,25	1+6	(≤0,001)	≥4	—	(≤1500)	T6r
КТ333Б		40	35	—	0,25	≤4	(≤0,001)	≥2	—	(≤1500)	T6r
КТ350А	два изолиро- ванных затвора, п-канал	15	15	30	0,2	0,07+6	≤3,6	≥6	600	≤6	T7r
КТ350Б		15	15	30	0,2	0,07+6	≤3,5	≥6	600	≤6	T7r
КТ350В		15	15	30	0,2	0,07+6	≤3,5	≥7	600	≤6	T7r
КТ707А	изолиро- ванный затвор, п-канал	400	20	25 А	100	(≤5)	≤0,25 (≤1)	≥1600	120	(≤1,0)	T5e
КТ707Б		600	20	16,5 А	100	(≤5)	≤0,25 (≤1)	≥1600	120	(≤2,0)	T5e
КТ707В		800	20	12,5 А	100	(≤5)	≤0,25 (≤1)	≥1600	120	(≤3,0)	T5e
КТ707А1		400	20	≥7 А	60	(2+4,5)	≤0,25 (≤1)	≥1500	120	(≤1,0)	T5e
КТ707Б1		600	20	≥7 А	60	(2+4,5)	≤0,25 (≤1)	≥1500	120	(≤2,0)	T5e
КТ707В1		800	20	≥6 А	60	(2+4,5)	≤0,25 (≤1)	≥1500	120	(≤3,0)	T5e
КТ707В2		800	20	≥7 А	60	(2+4,5)	≤0,25 (≤1)	≥1500	120	(≤3,0)	T5e
КТ707Г1		700	20	≥6 А	60	(2+4,5)	≤0,25 (≤1)	≥1500	120	(≤2,5)	T5e
КТ707Д1		500	20	≥7 А	60	(2+4,5)	≤0,25 (≤1)	≥1500	120	(≤1,5)	T5e
КТ707Е1		750	20	≥6 А	60	(2+4,5)	≤0,25 (≤1)	≥1500	120	(≤5,0)	T5e

Тип	Структура	U _{си} max В	U _{си} max (U _{си0}) В	I _с max мА	P _{си} max Вт	U _{си} отс (пор) В	I _с нач (ост) мА	S мА/В (Кст.)	f _{раб} max МГц	Кш дБ (R _{си} отс) Ом	№ рис.
КП810А	п-канальный со статической индукцией	1300	(850)	7 А	50	—	(≤0,5)	—	15	(≤0,2)	T246
КП810Б		1000	(850)	7 А	50	—	(≤0,5)	—	15	(≤0,2)	T246
КП810В		1100	(700)	5 А	50	—	(≤0,5)	—	15	(≤0,2)	T246
КП904А	изолированный затвор, л-канал	70	30	10 А	75	—	≤350 (200)	250+510	400	—	T166
КП904Б		70	30	5 А	75	—	≤350 (200)	250+510	400	—	T166
КП905А	изолированный затвор, л-канал	60	±30	350	4	—	0,5+20 (≤1)	18+39	1500	—	T28
КП905Б		60	±30	350	4	—	0,5+20 (≤1)	18+39	1500	≤8,5	T28
КП905В		60	±30	350	4	—	0,5+20 (≤1)	18+39	1500	—	T28
КП907А	изолированный затвор, л-канал	60	±30	2,7 А	11,5	—	20+100 (≤10)	110+200	1500	—	T28
КП907Б		60	±30	1,7 А	11,5	—	20+100 (≤10)	100+200	1500	—	T28
КП907В		60	±30	1,3 А	11,5	—	20+100 (≤10)	60+110	1500	—	T26
КП922А(1)	изолированный затвор, л-канал	100	±30	10 А	60	(2+8)	(≤2)	1+2,1А/В	75	(0,13+0,2)	T146
КП922Б(1)		100	±30	10 А	60	(2+8)	(≤2)	1+2,1А/В	75	(0,2+0,4)	(T5e)
КП934А	п-канальный со статической индукцией	450	5	10 А	40	—	(≤3)	(12)	50	(≤0,1)	T146
КП934Б		300	5	10 А	40	—	(≤3)	(12)	50	(≤0,1)	T146
КП934В		400	5	10 А	40	—	(≤3)	(12)	50	(≤0,1)	T146
КП948А	п-канальный со статической индукцией	800	(450)	5 А	30	—	(≤0,5)	—	30	(0,15)	T5a
КП948Б		800	(300)	5 А	30	—	(≤0,5)	—	30	(0,15)	T5a
КП948В		700	(370)	5 А	30	—	(≤0,5)	—	30	(0,15)	T5a
КП948Г		800	(250)	5 А	30	—	(≤0,5)	—	30	(0,15)	T5a
КП953А	п-канальный со статической индукцией	800	(450)	15 А	50	—	(≤0,5)	—	20	(0,06)	T246
КП953Б		800	(300)	15 А	50	—	(≤0,5)	—	20	(0,06)	T246
КП953В		700	(430)	15 А	50	—	(≤0,5)	—	20	(0,06)	T246
КП953Г		600	(300)	15 А	50	—	(≤0,5)	—	20	(0,06)	T246
КП953Д		800	(450)	15 А	50	—	(≤0,5)	—	20	(0,065)	T246
КП954А	п-канальный со статической индукцией	150	(60)	20 А	40	—	(≤0,3)	—	60	(0,03)	T5a
КП954Б		100	(50)	20 А	40	—	(≤0,3)	—	60	(0,03)	T5a
КП954В		60	(40)	20 А	40	—	(≤0,3)	—	60	(0,03)	T5a
КП954Г		20	(20)	20 А	40	—	(≤0,3)	—	60	(0,03)	T5a
КП957А	п-канальный со статической индукцией	800	(400)	1 А	10	—	(≤0,1)	—	30	(0,6)	T4a
КП957Б		850	(300)	1 А	10	—	(≤0,1)	—	30	(0,6)	T4a
КП957В		700	(400)	1 А	10	—	(≤0,1)	—	30	(0,6)	T4a
КП958А	п-канальный со статической индукцией	150	—	20 А	70	—	(≤0,5)	—	70	(0,02)	T246
КП958Б		100	—	20 А	70	—	(≤0,5)	—	70	(0,02)	T246
КП958В		60	—	20 А	70	—	(≤0,5)	—	70	(0,02)	T246
КП958Г		20	—	20 А	70	—	(≤0,5)	—	70	(0,02)	T246
КП959А	п-канальный со статической индукцией	300	(220)	0,2 А	7	—	(≤0,02)	—	20	(5,7)	T4a
КП959Б		250	(200)	0,2 А	7	—	(≤0,02)	—	20	(5,7)	T4a
КП959В		200	(120)	0,2 А	7	—	(≤0,02)	—	20	(5,7)	T4a
КП960А	п-канальный со статической индукцией	300	(220)	0,2 А	7	—	(≤0,02)	—	20	(5,7)	T4a
КП960Б		250	(200)	0,2 А	7	—	(≤0,02)	—	20	(5,7)	T4a
КП960В		200	(120)	0,2 А	7	—	(≤0,02)	—	20	(5,7)	T4a
КП964А	п-канальный со статической индукцией	150	(60)	20 А	40	—	(≤0,3)	—	60	(0,015)	T5a
КП964Б		100	(50)	20 А	40	—	(≤0,3)	—	60	(0,015)	T5a
КП964В		60	(40)	20 А	40	—	(≤0,3)	—	60	(0,013)	T5a
КП964Г		20	(20)	20 А	40	—	(≤0,3)	—	60	(0,013)	T5a

Табл. 8.18. Параметры зарубежных биполярных транзисторов.

Тип транзистора	Структура	Uкб0 В	Uкэ0 В	Iк max мА	Rк max Вт	hFE	Iкб0 мкА	fгр. МГц	Kш дБ	№ рис.
BC223A	п-р-п	50	30	350	0,35	100 + 300	≤0,1	≥90	—	T1a (КБЗ)
BC223B	п-р-п	50	30	350	0,35	200 + 450	≤0,1	≥90	—	T1a (КБЗ)
BC237A	п-р-п	50	45	100	0,3	120 + 220	≤0,015	≥150	≤10	T1a (КБЗ)
BC237B	п-р-п	50	45	100	0,3	160 + 460	≤0,015	≥150	≤10	T1a (КБЗ)
BC237C	п-р-п	50	45	100	0,3	380 + 800	≤0,015	≥150	≤10	T1a (КБЗ)
BC238A	п-р-п	30	25	100	0,3	120 + 220	≤0,015	≥150	≤10	T1a (КБЗ)
BC238B	п-р-п	30	25	100	0,3	160 + 460	≤0,015	≥150	≤10	T1a (КБЗ)
BC238C	п-р-п	30	25	100	0,3	380 + 800	≤0,015	≥150	≤10	T1a (КБЗ)
BC239A	п-р-п	30	25	100	0,3	120 + 220	≤0,015	≥150	≤4	T1a (КБЗ)
BC239B	п-р-п	30	25	100	0,3	160 + 460	≤0,015	≥150	≤4	T1a (КБЗ)
BC239C	п-р-п	30	25	100	0,3	380 + 800	≤0,015	≥150	≤4	T1a (КБЗ)
BC307A	р-н-р	50	45	100	0,3	120 + 220	≤0,015	130	≤10	T1a (КБЗ)
BC307B	р-н-р	50	45	100	0,3	160 + 460	≤0,015	130	≤10	T1a (КБЗ)
BC307C	р-н-р	50	45	100	0,3	380 + 800	≤0,015	130	≤10	T1a (КБЗ)
BC308A	р-н-р	30	25	100	0,3	120 + 220	≤0,015	130	≤10	T1a (КБЗ)
BC308B	р-н-р	30	25	100	0,3	160 + 460	≤0,015	130	≤10	T1a (КБЗ)
BC308C	р-н-р	30	25	100	0,3	380 + 800	≤0,015	130	≤10	T1a (КБЗ)
BC309A	р-н-р	30	25	100	0,3	120 + 220	≤0,015	130	≤4	T1a (КБЗ)
BC309B	р-н-р	30	25	100	0,3	160 + 460	≤0,015	130	≤4	T1a (КБЗ)
BC309C	р-н-р	30	25	100	0,3	380 + 800	≤0,015	130	≤4	T1a (КБЗ)
BC327-16	р-н-р	50	45	800	0,625	100 + 250	≤0,1	100	—	T1a (КБЗ)
BC327-25	р-н-р	50	45	800	0,625	180 + 400	≤0,1	100	—	T1a (КБЗ)
BC327-40	р-н-р	50	45	800	0,625	250 + 630	≤0,1	100	—	T1a (КБЗ)
BC328-16	р-н-р	30	25	800	0,625	100 + 250	≤0,1	100	—	T1a (КБЗ)
BC328-25	р-н-р	30	25	800	0,625	180 + 400	≤0,1	100	—	T1a (КБЗ)
BC328-40	р-н-р	30	25	800	0,625	250 + 630	≤0,1	100	—	T1a (КБЗ)
BC337-16	п-р-п	50	45	800	0,625	100 + 250	≤0,1	100	—	T1a (КБЗ)
BC337-25	п-р-п	50	45	800	0,625	180 + 400	≤0,1	100	—	T1a (КБЗ)
BC337-40	п-р-п	50	45	800	0,625	250 + 630	≤0,1	100	—	T1a (КБЗ)
BC338-16	п-р-п	30	25	800	0,625	100 + 250	≤0,1	100	—	T1a (КБЗ)
BC338-25	п-р-п	30	25	800	0,625	180 + 400	≤0,1	100	—	T1a (КБЗ)
BC338-40	п-р-п	30	25	800	0,625	250 + 630	≤0,1	100	—	T1a (КБЗ)
BC516	р-н-р	40	30	400	0,625	≥30	≤0,2	≥250	—	T1a (КБЗ)
BC517	п-р-п	40	30	400	0,625	≥30	≤0,2	≥250	—	T1a (КБЗ)
BC546A	п-р-п	80	65	100	0,5	110 + 220	≤0,015	300	≤10	T1a (КБЗ)
BC546B	п-р-п	80	65	100	0,5	200 + 450	≤0,015	300	≤10	T1a (КБЗ)
BC546C	п-р-п	80	65	100	0,5	420 + 800	≤0,015	300	≤10	T1a (КБЗ)
BC547A	п-р-п	50	45	100	0,5	110 + 220	≤0,015	300	≤10	T1a (КБЗ)
BC547B	п-р-п	50	45	100	0,5	200 + 450	≤0,015	300	≤10	T1a (КБЗ)
BC547C	п-р-п	50	45	100	0,5	420 + 800	≤0,015	300	≤10	T1a (КБЗ)
BC548A	п-р-п	30	30	100	0,5	110 + 220	≤0,015	300	≤10	T1a (КБЗ)
BC548B	п-р-п	30	30	100	0,5	200 + 450	≤0,015	300	≤10	T1a (КБЗ)
BC548C	п-р-п	30	30	100	0,5	420 + 800	≤0,015	300	≤10	T1a (КБЗ)
BC549A	п-р-п	30	30	100	0,5	110 + 220	≤0,015	300	≤4	T1a (КБЗ)
BC549B	п-р-п	30	30	100	0,5	200 + 450	≤0,015	300	≤4	T1a (КБЗ)
BC549C	п-р-п	30	30	100	0,5	420 + 800	≤0,015	300	≤4	T1a (КБЗ)
BC550A	п-р-п	50	45	100	0,5	110 + 220	≤0,015	300	≤3	T1a (КБЗ)
BC550B	п-р-п	50	45	100	0,5	200 + 450	≤0,015	300	≤3	T1a (КБЗ)
BC550C	п-р-п	50	45	100	0,5	420 + 800	≤0,015	300	≤3	T1a (КБЗ)
BC556A	п-р-п	80	65	100	0,5	110 + 220	≤0,015	150	≤10	T1a (КБЗ)
BC556B	п-р-п	80	65	100	0,5	200 + 450	≤0,015	150	≤10	T1a (КБЗ)
BC556C	п-р-п	80	65	100	0,5	420 + 800	≤0,015	150	≤10	T1a (КБЗ)
BC557A	п-р-п	50	45	100	0,5	110 + 220	≤0,015	150	≤10	T1a (КБЗ)
BC557B	п-р-п	50	45	100	0,5	200 + 450	≤0,015	150	≤10	T1a (КБЗ)

Тип транзистора	Структура	Uкб0 В	Uкэ0 В	Iк max мА	Pк max Вт	h21э	Iкб0 мкА	fгр. МГц	Kш дБ	№ рис.
BC557C	p-n-p	50	45	100	0,5	420 + 800	≤0,015	150	≤10	T1a (K53)
BC558A	p-n-p	30	30	100	0,5	110 + 220	≤0,015	150	≤10	T1a (K53)
BC558B	p-n-p	30	30	100	0,5	200 + 450	≤0,015	150	≤10	T1a (K53)
BC558C	p-n-p	30	30	100	0,5	420 + 800	≤0,015	150	≤10	T1a (K53)
BC559A	p-n-p	30	30	100	0,5	110 + 220	≤0,015	150	≤4	T1a (K53)
BC559B	p-n-p	30	30	100	0,5	200 + 450	≤0,015	150	≤4	T1a (K53)
BC559C	p-n-p	30	30	100	0,5	420 + 800	≤0,015	150	≤4	T1a (K53)
BC560A	p-n-p	50	45	100	0,5	110 + 220	≤0,015	150	≤2	T1a (K53)
BC560B	p-n-p	50	45	100	0,5	200 + 450	≤0,015	150	≤2	T1a (K53)
BC560C	p-n-p	50	45	100	0,5	420 + 800	≤0,015	150	≤2	T1a (K53)
BC635	p-n-p	50	45	400	0,75	40 + 250	≤0,1	100	—	T1r (3K5)
BC636	p-n-p	50	45	400	0,75	40 + 250	≤0,1	100	—	T1r (3K5)
BC637	p-n-p	80	60	400	0,75	40 + 160	≤0,1	100	—	T1r (3K5)
BC638	p-n-p	80	80	400	0,75	40 + 160	≤0,1	100	—	T1r (3K5)
BC639	p-n-p	100	80	400	0,75	40 + 160	≤0,1	100	—	T1r (3K5)
BC640	p-n-p	100	80	400	0,75	40 + 160	≤0,1	100	—	T1r (3K5)
BF391	n-p-n	200	200	500	0,625	50 + 200	≤0,1	≥70	—	T1a (3BK)
BF392	n-p-n	250	250	500	0,625	50 + 200	≤0,1	≥70	—	T1a (3BK)
BF393	n-p-n	300	300	500	0,825	50 + 200	≤0,1	≥70	—	T1a (3BK)
BF422	n-p-n	250	250	100	0,83	≥50	≤0,1	≥60	—	T1r (3K5)
BF423	p-n-p	250	250	100	0,83	≥50	≤0,1	≥60	—	T1r (3K5)
BF459	n-p-n	300	300	100	1,2	25 + 240	≤0,1	≥100	—	T4a (3K5)
BF491	p-n-p	200	200	500	0,825	50 + 200	≤0,1	≥70	—	T1a (3BK)
BF492	p-n-p	250	250	500	0,825	50 + 200	≤0,1	≥70	—	T1a (3BK)
BF493	p-n-p	300	300	500	0,825	50 + 200	≤0,1	≥70	—	T1a (3BK)
MJE340	n-p-n	300	300	500	(20)	30 + 240	≤0,1	≥100	—	T4a (3K5)
MJE350	p-n-p	300	300	500	(20)	30 + 240	≤0,1	≥100	—	T4a (3K5)
MPS A-05	n-p-n	60	60	500	0,5	50 + 150	≤0,1	≥100	—	T1a (3BK)
MPS A-06	n-p-n	80	60	500	0,5	60 + 150	≤0,1	≥100	—	T1a (3BK)
MPS A-10	n-p-n	30	30	100	0,35	60 + 400	≤0,1	≥650	—	T1a (3BK)
MPS A-11	n-p-n	25	25	100	0,35	80 + 400	≤0,1	≥650	—	T1a (3BK)
MPS A-12*	n-p-n	20	10	100	0,31	≥20000	≤0,1	≥125	—	T1a (3BK)
MPS A-13*	n-p-n	30	30	500	0,5	≥10000	≤0,1	≥125	—	T1a (3BK)
MPS A-14*	n-p-n	30	30	500	0,5	≥20000	≤0,1	≥125	—	T1a (3BK)
MPS A-17	n-p-n	20	15	50	0,35	25 + 250	≤0,1	≥600	24	T1a (3BK)
MPS A-20	n-p-n	40	30	100	0,3	≥25	≤0,05	≥400	23	T1a (3BK)
MPS A-42	n-p-n	300	300	500	0,825	≥40	≤0,1	≥50	—	T1a (3BK)
MPS A-43	n-p-n	200	200	500	0,825	≥40	≤0,1	≥50	—	T1a (3BK)
MPS A-55	p-n-p	80	60	500	0,5	50 + 150	≤0,1	≥50	—	T1a (3BK)
MPS A-56	p-n-p	60	80	500	0,5	50 + 150	≤0,1	≥50	—	T1a (3BK)
MPS A-65*	p-n-p	30	30	300	0,5	≥50000	≤0,1	≥175	—	T1a (3BK)
MPS A-66*	p-n-p	30	30	300	0,5	≥75000	≤0,1	≥175	—	T1a (3BK)
MPS A-70	p-n-p	40	40	100	0,3	40 + 400	≤0,1	≥10	—	T1a (3BK)
MPS A-92	p-n-p	300	300	500	0,825	≥40	≤0,25	≥50	—	T1a (3BK)
MPS A-93	p-n-p	200	200	500	0,825	≥40	≤0,25	≥50	—	T1a (3BK)
SS8050B	n-p-n	40	25	1,5 A	1,0	85 + 160	≤0,1	≥100	—	T1a (3BK)
SS8050C	n-p-n	40	25	1,5 A	1,0	120 + 200	≤0,1	≥100	—	T1a (3BK)
SS8050D	n-p-n	40	25	1,5 A	1,0	160 + 300	≤0,1	≥100	—	T1a (3BK)
SS8550C	p-n-p	40	25	1,5 A	1,0	85 + 160	≤0,1	≥100	—	T1a (3BK)
SS8550D	p-n-p	40	25	1,5 A	1,0	120 + 200	≤0,1	≥100	—	T1a (3BK)
SS8550D	p-n-p	40	25	1,5 A	1,0	160 + 300	≤0,1	≥100	—	T1a (3BK)
SS9011D	n-p-n	50	30	30	0,4	28 + 45	≤0,1	≥150	≤4	T1a (3BK)
SS9011E	n-p-n	50	30	30	0,4	39 + 80	≤0,1	≥150	≤4	T1a (3BK)
SS9011F	n-p-n	50	30	30	0,4	54 + 80	≤0,1	≥150	≤4	T1a (3BK)
SS9011G	n-p-n	50	30	30	0,4	72 + 108	≤0,1	≥150	≤4	T1a (3BK)
SS9011H	n-p-n	50	30	30	0,4	97 + 146	≤0,1	≥150	≤4	T1a (3BK)
SS9011I	n-p-n	50	30	30	0,4	132 + 198	≤0,1	≥150	≤4	T1a (3BK)

Тип транзистора	Структура	Укбо В	Укэо В	Ik max мА	Pk max Вт	h21э	Ikбо мкА	фр. МГц	Кш дБ	№ рис.
SS9012D	p-n-p	40	20	500	0,825	84 + 91	≤0,1	150	—	T1a (36K)
SS9012E	p-n-p	40	20	500	0,825	78 + 112	≤0,1	150	—	T1a (36K)
SS9012F	p-n-p	40	20	500	0,825	98 + 135	≤0,1	150	—	T1a (36K)
SS9012G	p-n-p	40	20	500	0,825	112 + 186	≤0,1	150	—	T1a (36K)
SS9012H	p-n-p	40	20	500	0,825	144 + 202	≤0,1	150	—	T1a (36K)
SS9013D	p-n-p	40	20	500	0,825	84 + 91	≤0,1	200	—	T1a (36K)
SS9013E	p-n-p	40	20	500	0,825	78 + 112	≤0,1	200	—	T1a (36K)
SS9013F	p-n-p	40	20	500	0,825	98 + 135	≤0,1	200	—	T1a (36K)
SS9013G	p-n-p	40	20	500	0,825	112 + 188	≤0,1	200	—	T1a (36K)
SS9013H	p-n-p	40	20	500	0,825	144 + 202	≤0,1	200	—	T1a (36K)
SS9014A	p-n-p	50	45	100	0,45	60 + 150	≤0,05	≥150	≤10	T1a (36K)
SS9014B	p-n-p	50	45	100	0,45	100 + 300	≤0,05	≥150	≤10	T1a (36K)
SS9014C	p-n-p	50	45	100	0,45	200 + 600	≤0,05	≥150	≤10	T1a (36K)
SS9014D	p-n-p	50	45	100	0,45	400 + 1000	≤0,05	≥150	≤10	T1a (36K)
SS9015A	p-n-p	50	45	100	0,45	60 + 150	≤0,05	≥100	≤10	T1a (36K)
SS9015B	p-n-p	50	45	100	0,45	100 + 300	≤0,05	≥100	≤10	T1a (36K)
SS9015C	p-n-p	50	45	100	0,45	200 + 800	≤0,05	≥100	≤10	T1a (36K)
SS9018D	p-n-p	30	20	25	0,4	28 + 45	≤0,1	≥400	≤5	T1a (36K)
SS9018E	p-n-p	30	20	25	0,4	39 + 60	≤0,1	≥400	≤5	T1a (36K)
SS9018F	p-n-p	30	20	25	0,4	54 + 80	≤0,1	≥400	≤5	T1a (36K)
SS9018G	p-n-p	30	20	25	0,4	72 + 108	≤0,1	≥400	≤5	T1a (36K)
SS9018H	p-n-p	30	20	25	0,4	97 + 148	≤0,1	≥400	≤5	T1a (36K)
SS9018I	p-n-p	30	20	25	0,4	132 + 198	≤0,1	≥400	≤5	T1a (36K)
SS9018D	p-n-p	30	15	50	0,4	26 + 45	≤0,05	≥700	—	T1a (36K)
SS9018E	p-n-p	30	15	50	0,4	39 + 60	≤0,05	≥700	—	T1a (36K)
SS9018F	p-n-p	30	15	50	0,4	54 + 80	≤0,05	≥700	—	T1a (36K)
SS9018G	p-n-p	30	15	50	0,4	72 + 108	≤0,05	≥700	—	T1a (36K)
SS9018H	p-n-p	30	15	50	0,4	97 + 148	≤0,05	≥700	—	T1a (36K)
SS9018I	p-n-p	30	15	50	0,4	132 + 198	≤0,05	≥700	—	T1a (36K)
2N3903	p-n-p	60	40	200	0,31	50 + 150	≤0,05	≥250	—	T1a (36K)
2N3904	p-n-p	60	40	200	0,31	100 + 300	≤0,05	≥300	—	T1a (36K)
2N3905	p-n-p	40	40	200	0,31	50 + 150	≤0,05	≥200	—	T1a (36K)
2N3906	p-n-p	40	40	200	0,31	100 + 300	≤0,05	≥250	—	T1a (36K)
2N4123	p-n-p	40	30	200	0,35	50 + 150	≤0,05	≥250	—	T1a (36K)
2N4124	p-n-p	30	25	200	0,35	120 + 380	≤0,05	≥300	—	T1a (36K)
2N4125	p-n-p	30	30	200	0,35	50 + 150	≤0,05	≥200	≤5	T1a (36K)
2N4128	p-n-p	25	25	200	0,35	120 + 380	≤0,05	≥250	≤4	T1a (36K)
2N4400	p-n-p	60	40	600	0,35	50 + 150	≤0,1	≥200	—	T1a (36K)
2N4401	p-n-p	60	40	600	0,35	100 + 300	≤0,1	≥250	—	T1a (36K)
2N4402	p-n-p	40	40	600	0,35	50 + 150	≤0,1	≥150	—	T1a (36K)
2N4403	p-n-p	40	40	600	0,35	100 + 300	≤0,1	≥200	—	T1a (36K)
2N5086	p-n-p	50	50	50	0,35	150 + 500	≤0,05	≥40	≤3	T1a (36K)
2N5087	p-n-p	50	50	50	0,35	250 + 800	≤0,05	≥40	≤2	T1a (36K)
2N5088	p-n-p	35	30	50	0,35	350 + 900	≤0,05	≥50	≤3	T1a (36K)
2N5089	p-n-p	30	25	50	0,35	450 + 1200	≤0,05	≥50	≤2	T1a (36K)
2N5210	p-n-p	50	50	50	0,31	250 + 800	≤0,05	≥30	≤3	T1a (36K)
2N5400	p-n-p	130	120	800	0,35	40 + 160	≤0,1	100+400	≤8	T1a (36K)
2N5401	p-n-p	180	150	800	0,35	60 + 240	≤0,1	100+400	≤8	T1a (36K)
2N5550	p-n-p	180	150	800	0,35	60 + 250	≤0,1	100+300	≤8	T1a (36K)
2N5551	p-n-p	180	140	800	0,35	60 + 250	≤0,05	100+300	≤8	T1a (36K)
2N6428	p-n-p	60	50	200	0,825	250 + 850	≤0,01	100+700	≤3,5	T1a (36K)
2N6428A	p-n-p	60	50	200	0,825	250 + 850	≤0,01	100+700	≤3	T1a (36K)
2N6515	p-n-p	250	250	500	0,825	50 + 300	≤0,05	40+200	—	T1a (36K)
2N8518	p-n-p	300	300	500	0,825	45 + 270	≤0,05	40+200	—	T1a (36K)
2N8517	p-n-p	350	350	500	0,825	30 + 200	≤0,05	40+200	—	T1a (36K)
2N8516	p-n-p	250	250	500	0,825	50 + 300	≤0,05	40+200	—	T1a (36K)
2N8519	p-n-p	300	300	500	0,825	45 + 270	≤0,05	40+200	—	T1a (36K)

Тип транзистора	Структура	Uкб0 В	Uкэ0 В	Iк max мА	Pк max Вт	h21э	Iкб0 мкА	fгр. МГц	Kш дБ	№ рис.
2N6520	p-n-p	350	350	500	0,625	30 + 200	≤0,05	40+200	-	T1a (35K)
2SA539 R	p-n-p	80	45	200	0,4	40 + 80	≤0,1	≥250	-	T1a (35K)
2SA539 O	p-n-p	80	45	200	0,4	70 + 140	≤0,1	≥250	-	T1a (35K)
2SA539 Y	p-n-p	80	45	200	0,4	120 + 240	≤0,1	≥250	-	T1a (35K)
2SA542 R	p-n-p	30	25	50	0,25	40 + 80	≤0,1	100	-	T1a (35K)
2SA542 O	p-n-p	30	25	50	0,25	70 + 140	≤0,1	100	-	T1a (35K)
2SA542 Y	p-n-p	30	25	50	0,25	120 + 240	≤0,1	100	-	T1a (35K)
2SA542 G	p-n-p	30	25	50	0,25	200 + 400	≤0,1	100	-	T1a (35K)
2SA606	p-n-p	40	30	10	0,2	60 + 160	≤0,1	180	-	T1r (35K)
2SA642 O	p-n-p	30	25	300	0,4	70 + 140	≤0,1	≥100	-	T1a (35K)
2SA642 Y	p-n-p	30	25	300	0,4	120 + 240	≤0,1	≥100	-	T1a (35K)
2SA642 G	p-n-p	30	25	300	0,4	200 + 400	≤0,1	≥100	-	T1a (35K)
2SA643 R	p-n-p	40	20	500	0,5	40 + 80	≤0,2	≥100	-	T1a (35K)
2SA643 O	p-n-p	40	20	500	0,5	70 + 140	≤0,2	≥100	-	T1a (35K)
2SA643 Y	p-n-p	40	20	500	0,5	120 + 240	≤0,2	≥100	-	T1a (35K)
2SA643 G	p-n-p	40	20	500	0,5	200 + 400	≤0,2	≥100	-	T1a (35K)
2SA708 R	p-n-p	60	60	700	0,8	40 + 80	≤0,1	50	-	T1a (35K)
2SA708 O	p-n-p	60	60	700	0,8	70 + 140	≤0,1	50	-	T1a (35K)
2SA708 Y	p-n-p	60	60	700	0,8	120 + 240	≤0,1	50	-	T1a (35K)
2SA709 R	p-n-p	160	150	700	0,8	40 + 80	≤0,1	50	-	T1a (35K)
2SA709 O	p-n-p	160	150	700	0,8	70 + 140	≤0,1	50	-	T1a (35K)
2SA709 Y	p-n-p	160	150	700	0,8	120 + 240	≤0,1	50	-	T1a (35K)
2SA709 G	p-n-p	160	150	700	0,8	200 + 400	≤0,1	50	-	T1a (35K)
2SA733 R	p-n-p	60	50	150	0,25	40 + 80	≤0,1	180	6	T1a (35K)
2SA733 O	p-n-p	60	50	150	0,25	70 + 140	≤0,1	180	6	T1a (35K)
2SA733 Y	p-n-p	60	50	150	0,25	120 + 240	≤0,1	180	6	T1a (35K)
2SA733 G	p-n-p	60	50	150	0,25	200 + 400	≤0,1	180	6	T1a (35K)
2SA733 L	p-n-p	60	50	150	0,25	350 + 700	≤0,1	180	6	T1a (35K)
2SA910 R	p-n-p	150	150	50	0,6	40 + 80	≤0,1	100	-	T3 (35K)
2SA910 O	p-n-p	150	150	50	0,6	70 + 140	≤0,1	100	-	T3 (35K)
2SA910 Y	p-n-p	150	150	50	0,6	120 + 240	≤0,1	100	-	T3 (35K)
2SA916 O	p-n-p	120	120	800	0,9	60 + 180	≤0,1	120	-	T3 (35K)
2SA918 Y	p-n-p	120	120	800	0,9	120 + 240	≤0,1	120	-	T3 (35K)
2SA928A O	p-n-p	30	30	2 A	1,0	100 + 200	≤0,1	120	-	T3 (35K)
2SA928A Y	p-n-p	30	30	2 A	1,0	180 + 320	≤0,1	120	-	T3 (35K)
2SA931 R	p-n-p	60	60	700	1,0	40 + 80	≤0,1	100	-	T3 (35K)
2SA931 O	p-n-p	60	60	700	1,0	70 + 140	≤0,1	100	-	T3 (35K)
2SA931 Y	p-n-p	60	60	700	1,0	120 + 240	≤0,1	100	-	T3 (35K)
2SA954 O	p-n-p	60	60	300	0,6	90 + 180	≤0,1	100	-	T1r (35K)
2SA954 Y	p-n-p	60	60	300	0,6	135 + 270	≤0,1	100	-	T1r (35K)
2SA954 G	p-n-p	60	60	300	0,6	200 + 400	≤0,1	100	-	T1r (35K)
2SA970	p-n-p	120	120	100	0,3	200 + 700	≤0,1	100	-	T1r (35K)
2SA992P	p-n-p	120	120	50	0,5	200 + 400	≤0,05	100	-	T1r (35K)
2SA992F	p-n-p	120	120	50	0,5	300 + 600	≤0,05	100	-	T1r (35K)
2SA992E	p-n-p	120	120	50	0,5	400 + 800	≤0,05	100	-	T1r (35K)
2SA1013 R	p-n-p	160	160	500	0,9	60 + 120	≤1	50	-	T3 (35K)
2SA1013 O	p-n-p	160	160	500	0,9	100 + 200	≤1	50	-	T3 (35K)
2SA1013 Y	p-n-p	160	160	500	0,9	160 + 320	≤1	50	-	T3 (35K)
2SA1150 R	p-n-p	40	20	500	0,3	40 + 80	≤0,1	40+400	-	T2 (35K)
2SA1150 O	p-n-p	40	20	500	0,3	70 + 140	≤0,1	40+400	-	T2 (35K)
2SA1150 Y	p-n-p	40	20	500	0,3	120 + 240	≤0,1	40+400	-	T2 (35K)
2SA1150 G	p-n-p	40	20	500	0,3	200 + 400	≤0,1	40+400	-	T2 (35K)
2SA1174P	p-n-p	120	120	50	0,3	200 + 400	≤0,1	100	LN	T2 (35K)
2SA1174F	p-n-p	120	120	50	0,3	300 + 600	≤0,1	100	LN	T2 (35K)
2SA1174E	p-n-p	120	120	50	0,3	400 + 800	≤0,1	100	LN	T2 (35K)
2SA1175 R	p-n-p	60	50	150	0,25	40 + 80	≤0,1	180	6	T2 (35K)

Тип транзистора	Струк- тура	Укбо В	Укзо В	Ik max мА	Rk max Вт	h21э	Ikbo мкА	fгр. МГц	Kш дБ	№ рис.
2SA1175 O	p-n-p	60	50	150	0,25	70 + 140	≤0,1	180	8	T2 (ЗКБ)
2SA1175 Y	p-n-p	60	50	150	0,25	120 + 240	≤0,1	160	6	T2 (ЗКБ)
2SA1175 G	p-n-p	60	50	150	0,25	200 + 400	≤0,1	180	6	T2 (ЗКБ)
2SA1175 L	p-n-p	60	50	150	0,25	350 + 700	≤0,1	160	8	T2 (ЗКБ)
2SA1319	p-n-p	180	160	700	0,7	200 + 400	≤0,1	120	—	T1r (ЗКБ)
2SA1370D	p-n-p	200	200	100	1,0	80 + 120	≤0,1	150	—	T3 (ЗКБ)
2SA1370E	p-n-p	200	200	100	1,0	100 + 200	≤0,1	150	—	T3 (ЗКБ)
2SA1370F	p-n-p	200	200	100	1,0	160 + 320	≤0,1	150	—	T3 (ЗКБ)
2SA1378 O	p-n-p	30	25	300	0,3	70 + 140	≤0,1	200	—	T2 (ЗКБ)
2SA1378 Y	p-n-p	30	25	300	0,3	120 + 240	≤0,1	200	—	T2 (ЗКБ)
2SA1378 G	p-n-p	30	25	300	0,3	200 + 400	≤0,1	200	—	T2 (ЗКБ)
2SA1625M	p-n-p	400	400	500	0,75	40 + 60	≤1	≥10	—	T1a (ЗБК)
2SA1625L	p-n-p	400	400	500	0,75	60 + 120	≤1	≥10	—	T1a (ЗБК)
2SA1625K	p-n-p	400	400	500	0,75	100 + 200	≤1	≥10	—	T1a (ЗБК)
2SB564A O	p-n-p	30	25	1,0 A	0,8	70 + 140	≤0,1	110	—	T1a (ЗБК)
2SB564A Y	p-n-p	30	25	1,0 A	0,8	120 + 240	≤0,1	110	—	T1a (ЗБК)
2SB564A G	p-n-p	30	25	1,0 A	0,6	200 + 400	≤0,1	110	—	T1a (ЗБК)
2SB810 O	p-n-p	30	25	700	0,35	70 + 140	≤0,1	180	—	T2 (ЗКБ)
2SB810 Y	p-n-p	30	25	700	0,35	120 + 240	≤0,1	160	—	T2 (ЗКБ)
2SB810 G	p-n-p	30	25	700	0,35	200 + 400	≤0,1	160	—	T2 (ЗКБ)
2SB811 O	p-n-p	30	25	1,0 A	0,35	70 + 140	≤0,1	110	—	T2 (ЗКБ)
2SB811 Y	p-n-p	30	25	1,0 A	0,35	120 + 240	≤0,1	110	—	T2 (ЗКБ)
2SB811 G	p-n-p	30	25	1,0 A	0,35	200 + 400	≤0,1	110	—	T2 (ЗКБ)
2SB1116 Y	p-n-p	60	50	1,0 A	0,75	135 + 270	≤0,1	120	—	T1r (ЗКБ)
2SB1116 G	p-n-p	60	60	1,0 A	0,75	200 + 400	≤0,1	120	—	T1r (ЗКБ)
2SB1116 L	p-n-p	60	50	1,0 A	0,75	300 + 600	≤0,1	120	—	T1r (ЗКБ)
2SB1116A Y	p-n-p	60	60	1,0 A	0,75	135 + 270	≤0,1	120	—	T1r (ЗКБ)
2SB1116A G	p-n-p	60	60	1,0 A	0,75	200 + 400	≤0,1	120	—	T1r (ЗКБ)
2SB1116A L	p-n-p	60	60	1,0 A	0,75	300 + 600	≤0,1	120	—	T1r (ЗКБ)
2SC184 R	n-p-n	30	25	50	0,25	40 + 60	≤0,1	≥100	—	T1a (ЗБК)
2SC184 O	n-p-n	30	25	50	0,25	70 + 140	≤0,1	≥100	—	T1a (ЗБК)
2SC184 Y	n-p-n	30	25	50	0,25	120 + 240	≤0,1	≥100	—	T1a (ЗБК)
2SC184 G	n-p-n	30	25	50	0,25	200 + 400	≤0,1	≥100	—	T1a (ЗБК)
2SC184 L	n-p-n	30	25	50	0,25	350 + 700	≤0,1	≥100	—	T1a (ЗБК)
2SC184 V	n-p-n	30	25	50	0,25	600 + 1000	≤0,1	≥100	—	T1a (ЗБК)
2SC360	n-p-n	35	30	50	0,2	40 + 240	≤0,5	230	—	T1r (ЗКБ)
2SC368	n-p-n	30	25	50	0,3	20 + 200	≤0,1	≥300	—	T1r (ЗКБ)
2SC815 R	n-p-n	60	45	200	0,4	40 + 80	≤0,1	250	—	T1a (ЗБК)
2SC815 O	n-p-n	60	45	200	0,4	70 + 140	≤0,1	250	—	T1a (ЗБК)
2SC815 Y	n-p-n	60	45	200	0,4	120 + 240	≤0,1	250	—	T1a (ЗБК)
2SC815 G	n-p-n	60	45	200	0,4	200 + 400	≤0,1	250	—	T1a (ЗБК)
2SC836 R	n-p-n	35	25	30	0,25	40 + 60	≤0,1	250	—	T1a (ЗБК)
2SC836 O	n-p-n	35	25	30	0,25	70 + 140	≤0,1	250	—	T1a (ЗБК)
2SC836 Y	n-p-n	35	25	30	0,25	120 + 240	≤0,1	250	—	T1a (ЗБК)
2SC839 R	n-p-n	35	30	100	0,25	40 + 60	≤0,1	240	—	T1a (ЗБК)
2SC839 O	n-p-n	35	30	100	0,25	70 + 140	≤0,1	240	—	T1a (ЗБК)
2SC839 Y	n-p-n	35	30	100	0,25	120 + 240	≤0,1	240	—	T1a (ЗБК)
2SC839 G	n-p-n	35	30	100	0,25	200 + 400	≤0,1	240	—	T1a (ЗБК)
2SC900 Y	n-p-n	30	25	50	0,25	120 + 240	≤0,05	100	—	T1a (ЗБК)
2SC900 G	n-p-n	30	25	50	0,25	200 + 400	≤0,05	100	—	T1a (ЗБК)
2SC900 L	n-p-n	30	25	50	0,25	120 + 240	≤0,05	100	—	T1a (ЗБК)
2SC900 V	n-p-n	30	25	50	0,25	200 + 400	≤0,05	100	—	T1a (ЗБК)
2SC945 R	n-p-n	60	50	150	0,25	40 + 80	≤0,1	300	4	T1a (ЗБК)
2SC945 O	n-p-n	60	50	150	0,25	70 + 140	≤0,1	300	4	T1a (ЗБК)
2SC945 Y	n-p-n	60	50	160	0,25	120 + 240	≤0,1	300	4	T1a (ЗБК)
2SC945 G	n-p-n	60	50	150	0,25	200 + 400	≤0,1	300	4	T1a (ЗБК)
2SC945 L	n-p-n	60	50	150	0,25	350 + 700	≤0,1	300	4	T1a (ЗБК)

Тип транзистора	Структура	Uкзв В	Uкзо В	Iк max мА	Pк max Вт	h21э	Iкзо мкА	fтр. МГц	Kш дБ	№ рис.
2SC1008 R	n-p-n	80	80	700	0,8	40 + 80	≤0,1	50	—	T1a (36K)
2SC1008 O	n-p-n	80	80	700	0,8	70 + 140	≤0,1	50	—	T1a (36K)
2SC1008 Y	n-p-n	80	80	700	0,8	120 + 240	≤0,1	50	—	T1a (36K)
2SC1008 G	n-p-n	80	80	700	0,8	200 + 400	≤0,1	50	—	T1a (36K)
2SC1009 R	n-p-n	180	140	700	0,8	40 + 80	≤0,1	50	—	T1a (36K)
2SC1009 O	n-p-n	180	140	700	0,8	70 + 140	≤0,1	50	—	T1a (36K)
2SC1009 Y	n-p-n	180	140	700	0,8	120 + 240	≤0,1	50	—	T1a (36K)
2SC1009 G	n-p-n	180	140	700	0,8	200 + 400	≤0,1	50	—	T1a (36K)
2SC1187 R	n-p-n	30	20	30	0,25	40 + 80	≤0,1	700	—	T1a (36K)
2SC1187 O	n-p-n	30	20	30	0,25	70 + 140	≤0,1	700	—	T1a (36K)
2SC1187 Y	n-p-n	30	20	30	0,25	120 + 240	≤0,1	700	—	T1a (36K)
2SC1222 Y	n-p-n	50	45	50	0,25	120 + 240	≤0,05	100	—	T1a (36K)
2SC1222 G	n-p-n	50	45	50	0,25	200 + 400	≤0,05	100	—	T1a (36K)
2SC1222 L	n-p-n	50	45	50	0,25	350 + 700	≤0,05	100	—	T1a (36K)
2SC1222 V	n-p-n	50	45	50	0,25	800 + 1000	≤0,05	100	—	T1a (36K)
2SC1383 R	n-p-n	30	30	20	0,25	40 + 80	≤0,1	700	≤3	T1d (Б3К)
2SC1383 O	n-p-n	30	30	20	0,25	80 + 140	≤0,1	700	≤3	T1d (Б3К)
2SC1383 Y	n-p-n	30	30	20	0,25	90 + 180	≤0,1	700	≤3	T1d (Б3К)
2SC1394 R	n-p-n	30	30	20	0,25	40 + 80	≤0,1	700	≤3,5	T1d (Б3К)
2SC1394 O	n-p-n	30	30	20	0,25	80 + 140	≤0,1	700	≤3,5	T1d (Б3К)
2SC1394 Y	n-p-n	30	30	20	0,25	90 + 180	≤0,1	700	≤3,5	T1d (Б3К)
2SC1395 R	n-p-n	30	15	20	0,25	40 + 80	≤0,1	1100	—	T1a (36K)
2SC1395 O	n-p-n	30	15	20	0,25	70 + 140	≤0,1	1100	—	T1a (36K)
2SC1395 Y	n-p-n	30	15	20	0,25	12 + 240	≤0,1	1100	—	T1a (36K)
2SC1874M	n-p-n	30	20	20	0,25	20 + 80	≤0,1	800	≤5	T1a (36K)
2SC1874L	n-p-n	30	20	20	0,25	60 + 120	≤0,1	800	≤5	T1a (36K)
2SC1874K	n-p-n	30	20	20	0,25	90 + 180	≤0,1	800	≤5	T1a (36K)
2SC1875M	n-p-n	50	30	30	0,25	20 + 80	≤0,1	300	—	T1a (36K)
2SC1875L	n-p-n	50	30	30	0,25	60 + 120	≤0,1	300	—	T1a (36K)
2SC1875K	n-p-n	50	30	30	0,25	90 + 180	≤0,1	250	—	T1a (36K)
2SC1730M	n-p-n	30	15	50	0,25	20 + 60	≤0,1	1100	—	T1r (ЗКБ)
2SC1730L	n-p-n	30	15	50	0,25	60 + 120	≤0,1	1100	—	T1r (ЗКБ)
2SC1730K	n-p-n	30	15	50	0,25	90 + 180	≤0,1	1100	—	T1r (ЗКБ)
2SC1815BL	n-p-n	80	50	150	0,4	350 + 700	≤0,1	≥80	≤10	T1r (ЗКБ)
2SC1815GR	n-p-n	80	50	150	0,4	200 + 400	≤0,1	≥80	≤10	T1r (ЗКБ)
2SC1815O	n-p-n	80	50	150	0,4	70 + 140	≤0,1	≥80	≤10	T1r (ЗКБ)
2SC1815Y	n-p-n	80	50	150	0,4	120 + 240	≤0,1	≥80	≤10	T1r (ЗКБ)
2SC1815L	n-p-n	80	50	150	0,4	70 + 700	≤0,1	≥80	≤3	T1r (ЗКБ)
2SC1845P	n-p-n	120	120	50	0,5	200 + 400	≤0,05	110	—	T1r (ЗКБ)
2SC1845F	n-p-n	120	120	50	0,5	300 + 600	≤0,05	110	—	T1r (ЗКБ)
2SC1845E	n-p-n	120	120	50	0,5	400 + 600	≤0,05	110	—	T1r (ЗКБ)
2SC1845U	n-p-n	120	120	50	0,5	600 + 1200	≤0,05	110	—	T1r (ЗКБ)
2SC2001M	n-p-n	30	25	700	0,8	90 + 180	≤0,1	170	—	T1r (ЗКБ)
2SC2001L	n-p-n	30	25	700	0,8	135 + 270	≤0,1	170	—	T1r (ЗКБ)
2SC2001K	n-p-n	30	25	700	0,8	400 + 200	≤0,1	170	—	T1r (ЗКБ)
2SC2240GR	n-p-n	120	120	100	0,3	200 + 400	≤0,1	100	—	T1r (ЗКБ)
2SC2240BL	n-p-n	120	120	100	0,3	350 + 700	≤0,1	100	≤4	T1r (ЗКБ)
2SC2310 R	n-p-n	200	150	50	0,8	40 + 80	≤0,1	100	—	T3 (ЗКБ)
2SC2310 O	n-p-n	200	150	50	0,8	70 + 140	≤0,1	100	—	T3 (ЗКБ)
2SC2310 Y	n-p-n	200	150	50	0,8	120 + 240	≤0,1	100	—	T3 (ЗКБ)
2SC2318 O	n-p-n	120	120	800	0,9	80 + 180	≤0,1	120	—	T3 (ЗКБ)
2SC2318 Y	n-p-n	120	120	800	0,9	120 + 240	≤0,1	120	—	T3 (ЗКБ)
2SC2328A O	n-p-n	30	30	2 A	1,0	100 + 200	≤0,1	120	—	T3 (ЗКБ)
2SC2328A Y	n-p-n	30	30	2 A	1,0	180 + 320	≤0,1	120	—	T3 (ЗКБ)
2SC2330 R	n-p-n	300	300	100	1,0	40 + 80	≤0,1	50	—	T3 (ЗКБ)
2SC2330 O	n-p-n	300	300	100	1,0	70 + 140	≤0,1	50	—	T3 (ЗКБ)

Тип транзистора	Структура	Uкзв В	Uкзв В	Iк max мА	Pк max Вт	h21э	Iкбв мкА	fгр. МГц	Кш дБ	№ рис.
2SC2330 Y	п-р-п	300	300	100	1,0	120 + 240	≤0,1	50	—	T3 (ЭКБ)
2SC2331 R	п-р-п	60	60	700	1,0	40 + 80	≤0,1	50	—	T3 (ЭКБ)
2SC2331 O	п-р-п	60	60	700	1,0	70 + 140	≤0,1	50	—	T3 (ЭКБ)
2SC2331 Y	п-р-п	60	60	700	1,0	120 + 240	≤0,1	50	—	T3 (ЭКБ)
2SC2383 O	п-р-п	160	160	1 A	0,9	100 + 200	≤1	100	—	T3 (ЭКБ)
2SC2383 R	п-р-п	160	160	1 A	0,9	60 + 120	≤1	100	—	T3 (ЭКБ)
2SC2383 Y	п-р-п	160	160	1 A	0,9	100 + 200	≤1	100	—	T3 (ЭКБ)
2SC2500A	п-р-п	30	10	2 A	0,9	140 + 240	≤0,1	150	—	T3 (ЭКБ)
2SC2500B	п-р-п	30	10	2 A	0,9	200 + 330	≤0,1	150	—	T3 (ЭКБ)
2SC2500C	п-р-п	30	10	2 A	0,9	300 + 450	≤0,1	150	—	T3 (ЭКБ)
2SC2500D	п-р-п	30	10	2 A	0,9	420 + 600	≤0,1	150	—	T3 (ЭКБ)
2SC2669 R	п-р-п	35	30	30	0,2	40 + 80	≤0,1	250	—	T2 (ЭКБ)
2SC2669 O	п-р-п	35	30	30	0,2	70 + 140	≤0,1	250	—	T2 (ЭКБ)
2SC2669 Y	п-р-п	35	30	30	0,2	120 + 240	≤0,1	250	—	T2 (ЭКБ)
2SC2710 R	п-р-п	40	20	500	0,3	40 + 80	≤0,1	120	—	T2 (ЭКБ)
2SC2710 O	п-р-п	40	20	500	0,3	70 + 140	≤0,1	120	—	T2 (ЭКБ)
2SC2710 Y	п-р-п	40	20	500	0,3	120 + 240	≤0,1	120	—	T2 (ЭКБ)
2SC2710 G	п-р-п	40	20	500	0,3	200 + 400	≤0,1	120	—	T2 (ЭКБ)
2SC2753	п-р-п	17	12	70	0,3	30 + 180	≤1	1000	—	T1д (БЭК)
2SC2784P	п-р-п	120	120	50	0,3	200 + 400	≤0,05	110	—	T2 (ЭКБ)
2SC2784F	п-р-п	120	120	50	0,3	300 + 600	≤0,05	110	—	T2 (ЭКБ)
2SC2784E	п-р-п	120	120	50	0,3	400 + 800	≤0,05	110	—	T2 (ЭКБ)
2SC2784U	п-р-п	120	120	50	0,3	600 + 1200	≤0,05	110	—	T2 (ЭКБ)
2SC2785 O	п-р-п	60	50	150	0,25	70 + 140	≤0,1	300	—	T2 (ЭКБ)
2SC2785 Y	п-р-п	60	50	150	0,25	120 + 240	≤0,1	300	—	T2 (ЭКБ)
2SC2785 G	п-р-п	60	50	150	0,25	200 + 400	≤0,1	300	—	T2 (ЭКБ)
2SC2785 L	п-р-п	60	50	150	0,25	350 + 700	≤0,1	300	—	T2 (ЭКБ)
2SC2786 R	п-р-п	30	20	20	0,25	40 + 60	≤0,1	300	—	T2 (ЭКБ)
2SC2786 O	п-р-п	30	20	20	0,25	70 + 140	≤0,1	300	—	T2 (ЭКБ)
2SC2786 Y	п-р-п	30	20	20	0,25	120 + 240	≤0,1	300	—	T2 (ЭКБ)
2SC2787 R	п-р-п	50	30	50	0,25	40 + 80	≤0,1	300	—	T2 (ЭКБ)
2SC2787 O	п-р-п	50	30	50	0,25	70 + 140	≤0,1	300	—	T2 (ЭКБ)
2SC2787 U	п-р-п	50	30	50	0,25	120 + 240	≤0,1	300	—	T2 (ЭКБ)
2SC3488 O	п-р-п	30	25	300	0,3	70 + 140	≤0,1	300	—	T2 (ЭКБ)
2SC3488 Y	п-р-п	30	25	300	0,3	120 + 240	≤0,1	300	—	T2 (ЭКБ)
2SC3488 G	п-р-п	30	25	300	0,3	200 + 400	≤0,1	300	—	T2 (ЭКБ)
2SC5019L	п-р-п	30	10	2 A	0,75	140 + 240	≤0,1	150	—	T1r (ЭКБ)
2SC5019M	п-р-п	30	10	2 A	0,75	200 + 330	≤0,1	150	—	T1r (ЭКБ)
2SC5019N	п-р-п	30	10	2 A	0,75	300 + 450	≤0,1	150	—	T1r (ЭКБ)
2SC5019P	п-р-п	30	10	2 A	0,75	420 + 600	≤0,1	150	—	T1r (ЭКБ)
2SD227 O	п-р-п	30	25	300	0,4	70 + 140	≤0,1	100	—	T1в (ЭКБ)
2SD227 Y	п-р-п	30	25	300	0,4	120 + 240	≤0,1	100	—	T1в (ЭКБ)
2SD227 G	п-р-п	30	25	300	0,4	200 + 400	≤0,1	100	—	T1в (ЭКБ)
2SD261 R	п-р-п	40	20	500	0,5	40 + 80	≤0,1	100	—	T1в (ЭКБ)
2SD261 O	п-р-п	40	20	500	0,5	70 + 140	≤0,1	100	—	T1в (ЭКБ)
2SD261 Y	п-р-п	40	20	500	0,5	120 + 240	≤0,1	100	—	T1в (ЭКБ)
2SD261 G	п-р-п	40	20	500	0,5	200 + 400	≤0,1	100	—	T1в (ЭКБ)
2SD471A O	п-р-п	40	30	1,0 A	0,8	70 + 140	≤0,1	130	—	T1в (ЭКБ)
2SD471A Y	п-р-п	40	30	1,0 A	0,8	120 + 240	≤0,1	130	—	T1в (ЭКБ)
2SD471A G	п-р-п	40	30	1,0 A	0,8	200 + 400	≤0,1	130	—	T1в (ЭКБ)
2SD1020 O	п-р-п	30	25	700	0,35	70 + 140	≤0,1	170	—	T2 (ЭКБ)
2SD1020 Y	п-р-п	30	25	700	0,35	120 + 240	≤0,1	170	—	T2 (ЭКБ)
2SD1020 G	п-р-п	30	25	700	0,35	200 + 400	≤0,1	170	—	T2 (ЭКБ)
2SD1021 O	п-р-п	40	30	1,0 A	0,35	70 + 140	≤0,1	130	—	T2 (ЭКБ)
2SD1021 Y	п-р-п	40	30	1,0 A	0,35	120 + 240	≤0,1	130	—	T2 (ЭКБ)
2SD1021 G	п-р-п	40	30	1,0 A	0,35	200 + 400	≤0,1	130	—	T2 (ЭКБ)

Тип транзистора	Структура	Укбо В	Укзо В	Ik max мА	Pk max Вт	h21э	Ikбо мкА	fгр. МГц	Kш дБ	№ рмс.
2SD1616 Y	п-р-п	60	50	1,0 А	0,75	135 + 270	≤0,1	160	—	T1r (ЭКБ)
2SD1616 G	п-р-п	60	50	1,0 А	0,75	200 + 400	≤0,1	160	—	T1r (ЭКБ)
2SD1616 L	п-р-п	60	50	1,0 А	0,75	300 + 600	≤0,1	160	—	T1r (ЭКБ)
2SD1616A Y	п-р-п	120	60	1,0 А	0,75	135 + 270	≤0,1	160	—	T1r (ЭКБ)
2SD1616A G	п-р-п	120	80	1,0 А	0,75	200 + 400	≤0,1	160	—	T1r (ЭКБ)
2SD1616A L	п-р-п	120	80	1,0 А	0,75	300 + 600	≤0,1	160	—	T1r (ЭКБ)
2SD5041P	п-р-п	40	20	5,0 А	0,75	180 + 270	≤0,1	150	—	T1r (ЭКБ)
2SD5041Q	п-р-п	40	20	5,0 А	0,75	230 + 360	≤0,1	150	—	T1r (ЭКБ)
2SD5041R	п-р-п	40	20	5,0 А	0,75	340 + 600	≤0,1	150	—	T1r (ЭКБ)

8.7. ЗАМЕНА ЗАРУБЕЖНЫХ РАДИОЭЛЕМЕНТОВ

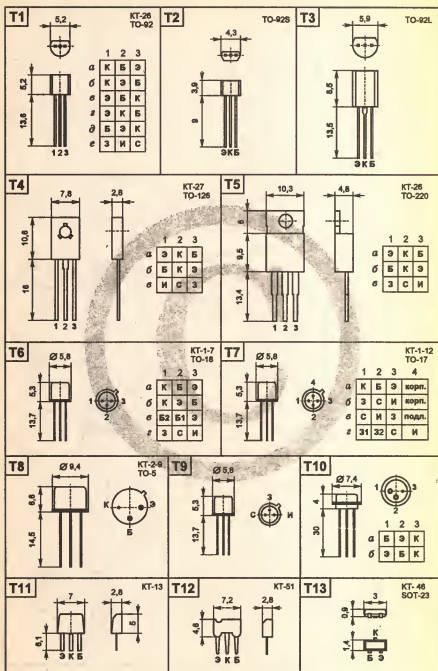
Для замены малосигнальных диодов типа 1N4148 можно использовать любой из перечисленных: КД510, КД521, КД522.

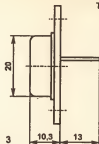
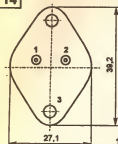
Замену выпрямительных диодов типа 1N4001, которые устанавливаются на входе ТА и в вызывном устройстве, можно произвести на КД208, КД209, КД243.

Кольцевая метка на корпусе зарубежных диодов и стабилитронов обычно расположена у катода.

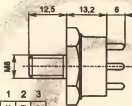
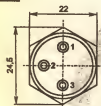
Табл. 8.19. Возможная замена зарубежных транзисторов.

Транзистор	Возможная замена	Транзистор	Возможная замена	Транзистор	Возможная замена	Транзистор	Возможная замена
BC223A	КТ860Б	BC547C	КТ3102Б	BF493	КТ505А	2N4401	КТ880А
BC223B	КТ860Б	BC546A	КТ3102В	MJE340	КТ504В	2N4402	КТ665А
BC237A	КТ3102А	BC548B	КТ3102В	MJE350	КТ505А	2N4403	КТ685В
BC237B	КТ3102Б	BC548C	КТ3102В	MPS A-42	КТ504В	2N5086	КТ3107Б
BC237C	КТ3102Б	BC549A	КТ3102В	MPS A-43	КТ6127К	2N5087	КТ3107К
BC236A	КТ3102А	BC549B	КТ3102В	MPS A-92	КТ505А	2N5088	КТ3102Е
BC236B	КТ3102В	BC549C	КТ3102В	MPS A-93	КТ898К	2N5089	КТ3102Е
BC238C	КТ3102В	BC550A	КТ3102А	SS8050B	КТ898Б	2N5210	КТ3102Б
BC239A	КТ3102Д	BC550B	КТ3102Б	SS8050C	КТ698В	2N5400	КТ898И
BC239B	КТ3102Д	BC550C	КТ3102Б	SS8050D	КТ698В	2N5401	КТ696К
BC239C	КТ3102Д	BC556A	КТ502Д	SS8550C	КТ6127В	2N5550	КТ6127И
BC307A	КТ3107Б	BC556B	КТ502Д	SS8550C	КТ6127В	2N5551	КТ6127К
BC307B	КТ3107И	BC556C	КТ502Д	SS8550D	КТ6127В	2N8428	КТ3117Б
BC307C	КТ3107И	BC557A	КТ3107Б	SS9012D	КТ681А	2N6428A	КТ3117Б
BC306A	КТ3107Г	BC557B	КТ3107И	SS9012E	КТ681А	2N6515	КТ504Б
BC308B	КТ3107Д	BC557C	КТ3107И	SS9012F	КТ681А	2N8516	КТ504В
BC308C	КТ3107К	BC558A	КТ3107Г	SS9012G	КТ681А	2N8517	КТ504А
BC309A	КТ3107Е	BC558B	КТ3107Д	SS9012H	КТ681А	2N8518	КТ505Б
BC309B	КТ3107Ж	BC558C	КТ3107К	SS9013D	КТ680А	2N8519	КТ505А
BC309C	КТ3107Л	BC559A	КТ3107Е	SS9013E	КТ680А	2N8520	КТ505А
BC327-16	КТ686А	BC559B	КТ3107Ж	SS9013F	КТ680А	2SA733 R	КТ3107А
BC327-25	КТ686Б	BC559C	КТ3107Л	SS9013G	КТ680А	2SA733 O	КТ3107А
BC327-40	КТ686В	BC560A	КТ3107Б	SS9013H	КТ680А	2SA733 Y	КТ3107Б
BC328-16	КТ688Г	BC560B	КТ3107И	SS9014A	КТ3102А	2SA733 G	КТ3107И
BC328-25	КТ688Д	BC560C	КТ3107И	SS9014B	КТ3102Б	2SA733 L	КТ3107И
BC328-40	КТ688Е	BC635	КТ503Б	SS9014C	КТ3102Б	2SC360	КТ315Г
BC337-16	КТ880А	BC636	КТ502Б	SS9014D	КТ3102Б	2SC366	КТ315Г
BC337-25	КТ680А	BC637	КТ503Г	SS9015A	КТ3107А	2SC945 R	КТ3102А
BC337-40	КТ880А	BC638	КТ502Г	SS9015B	КТ3107И	2SC945 O	КТ3102А
BC338-16	КТ680Б	BC639	КТ503Е	SS9015C	КТ3107И	2SC945 Y	КТ3102Б
BC338-25	КТ680Б	BC640	КТ502Е	2N3903	КТ645А	2SC945 G	КТ3102Б
BC338-40	КТ880Б	BF391	КТ898К	2N3904	КТ3117Б	2SC945 L	КТ3102Б
BC516	КТ868Ж	BF392	КТ504Б	2N3905	КТ313А	2SC1615BL	КТ3102Б
BC517	КТ845А	BF393	КТ504В	2N3906	КТ313Б	2SC1815GR	КТ3102Б
BC546A	КТ503Д	BF422	КТ940А	2N4123	КТ503А	2SC1615 O	КТ3102А
BC546B	КТ3117Б	BF423	КТ9115А	2N4124	КТ503Б	2SC1815Y	КТ3102Б
BC546C	КТ3117Б	BF459	КТ940А	2N4125	КТ502А	2SC1615L	КТ3102Б
BC547A	КТ3102А	BF491	КТ6127К	2N4128	КТ502Б	2SC2240GR	КТ503Е
BC547B	КТ3102Б	BF492	КТ505Б	2N4400	КТ880А	2SC2240BL	КТ503Е



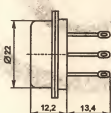
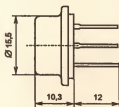
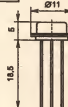
T14

	1	2	3
а	Б	Э	К
б	З	И	С

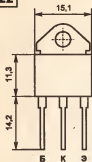
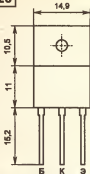
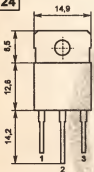
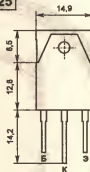
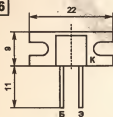
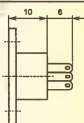
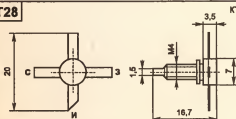
КТ-9
ТО-3**T15**КТ-50
ТО-202**T16**

	1	2	3
а	К	Б	Э
б	З	И	С

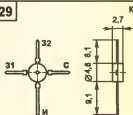
КТ-7

T17**T18****T19****T20****T21**

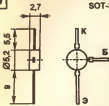
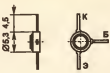
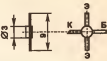
корп.

T22KT-43-1
TO-218**T23**KT-43a
TO-218**T24**KT-43-2
TO-218**T25**KT-43a-2
TO-218**T26****T27****T28**

KT-16

T29

KT-53

T30 	T31 	T32 
---	---	---

ЛИТЕРАТУРА

1. С.С. Буин, В.Н. Николаев, А. И. Чесноков. Телефонные аппараты с кнопочными номеронабирателями. Москва, "Радио и связь", 1987.
2. И.М. Губренко, Е.В. Кучумов. Телефонные аппараты и таксофоны. Москва, "Радио и связь", 1989.
3. Ю.М. Грязнов, Л. И. Сагалович. Городские телефонные станции. Москва, "Высшая школа", 1983.
4. Е.П. Дубровский. Справочник молодого телефониста. Москва, "Высшая школа", 1992.
5. А. Кналюк, А. Саков. Справочник по устройству и ремонту телефонных аппаратов зарубежного и отечественного производства. Москва, "Аквариум", 1993.
6. Интегральные микросхемы: Микросхемы для телефонов. Выпуск 1 - Москва, "ДОДЭКА", 1994.
7. Н.Н. Акимов, Е.П. Вапуков, В.А. Прохоренко, Ю.П. Ходоренко. Резисторы, конденсаторы, трансформаторы, дроссели, коммутационные устройства РЭА. Справочник. Минск, "Беларусь", 1994.
8. The Semicon international transistor index. Singapore, 1993.
9. Transistor Data Book, Vol. 1. Samsung Electronics, 1994.
10. Transistor Data Book, Vol. 2. Samsung Electronics, 1994.

ОБЩЕСТВО С ОГРАНИЧЕННОЙ ОТВЕТСТВЕННОСТЬЮ

“БИБЛИОН”

Предлагает организациям и частным лицам свою помощь в выпуске художественной и специальной технической литературы:

- Подготовка оригинал-макета.
- Издание печатной продукции.
- Размещение рекламы в своих изданиях.

Приглашаем к сотрудничеству авторов, специализирующихся в области радиоэлектроники и программирования.

Рассмотрим любые деловые предложения
телефон для справок 190-97-68 или 475-49-17.

Кизлюк Анатолий Иванович

СПРАВОЧНИК ПО УСТРОЙСТВУ И РЕМОНТУ ТЕЛЕФОННЫХ АППАРАТОВ ЗАРУБЕЖНОГО И ОТЕЧЕСТВЕННОГО ПРОИЗВОДСТВА

Формат 60х90/16. Объем 12,0 п. л.
Доп. тираж 15000 экз. Заказ № 1084.

АОЗТ „АКВАРИУМ” 125319, г. Москва, а/я 46
Издательство „БИБЛИОН” 103055 г. Москва, ул. Новолесная 7/2
ЛР № 064038 от 19.04.95

ISBN № 5-88952-003-2

Московская типография № 6 Комитета РФ по печати,
109088 Москва, Ж-88, Южнопортовая ул., 24













ЦВЕТОВАЯ МАРКИРОВКА РЕЗИСТОРОВ

Цвет знака	Номинальное сопротивление, Ом				Допуск %
	Первая цифра	Вторая цифра	Третья цифра	Множитель	
Серебристый	—	—	—	10^{-2}	± 10
Золотистый	—	—	—	10^{-1}	± 5
Чёрный	—	0	—	1	—
Коричневый	1	1	1	10	± 1
Красный	2	2	2	10^2	± 2
Оранжевый	3	3	3	10^3	—
Жёлтый	4	4	4	10^4	—
Зелёный	5	5	5	10^5	$\pm 0,5$
Голубой	6	6	6	10^6	$\pm 0,25$
Фиолетовый	7	7	7	10^7	$\pm 0,1$
Серый	8	8	8	10^8	$\pm 0,05$
Белый	9	9	9	10^9	—



ЦОКОЛЁВКИ РАДИОЭЛЕМЕНТОВ

 К 53 <p><i>п-п-п</i></p> <p>КТ342 КТ368 КТ399 КТ503 КТ645 КТ660 КТ680 КТ698 КТ3102 КТ3117</p> <p><i>р-п-р</i></p> <p>КТ203 КТ209 КТ313 КТ326 КТ363 КТ502 КТ681 КТ685 КТ686 КТ3107 КТ3126 КТ3128</p>	 3 К Б <p><i>п-п-п</i></p> <p>КТ601 КТ602 КТ604 КТ605 КТ611 КТ646 КТ683 КТ815 КТ817 КТ940 КТ961 КТ969 КТ972 КТ8131</p> <p><i>р-п-р</i></p> <p>КТ639 КТ644 КТ814 КТ816 КТ973 КТ8130 КТ9115</p>	 Б К 3 <p><i>п-п-п</i></p> <p>КТ829 КТ850 КТ854 КТ857 КТ858 КТ859 КТ863 КТ8108 КТ8109 КТ8110 КТ8116 КТ8118 КТ8120 КТ8121 КТ8123 КТ8124 КТ8136 КТ8138</p> <p><i>р-п-р</i></p> <p>КТ851 КТ852 КТ853 КТ855</p>
 КА У <p>КУ112А</p> <p>(Буква в кружочке обозначает год выпуска)</p>	 Б К 3 <p><i>р-п-р</i></p> <p>КТ626</p>	 3 К Б <p><i>п-п-п</i></p> <p>КТ716 КТ805 КТ819</p> <p><i>р-п-р</i></p> <p>КТ709 КТ712 КТ818 КТ835 КТ837</p>
 К 3 Б <p><i>п-п-п</i></p> <p>КТ325 КТ339</p> <p><i>р-п-р</i></p> <p>КТ3157</p>	 3 К Б <p><i>п-п-п</i></p> <p>КТ315 (Буква группы сбоку)</p> <p><i>р-п-р</i></p> <p>КТ361 (Буква группы посередине)</p>	 КЦ407А  КЦ422

Микросхемы, транзисторы и другие радиодетали Вы можете приобрести по доступным ценам на Митинском радиорынке в г. Москве. Места А-7 и G-26.

3401K

